

67769

YILDIZ TEKNİK ÜNİVERSİTESİ

FEN BİLİMLERİ ENSTİTÜSÜ

**YUMUŞAK ZEMİNLERE OTURAN DOLGU
BARAJLARIN ANALİZİ**

İnş. Yük. Müh. Mehmet Şükrü ÖZÇOBAN

F.B.E. İnşaat Mühendisliği Anabilim Dalı Geoteknik Programında
hazırlanan

DOKTORA TEZİ

Tez Savunma Tarihi

: 24 Kasım 1997

Tez Danışmanı

: Prof. Dr. Kutay ÖZAYDIN (Y.T.Ü.)

Jüri Üyeleri

: Prof. Dr. Remzi ÜLKER (İ.T.Ü.)

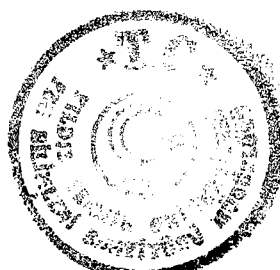
: Prof. Dr. Mete İNCECİK (İ.T.Ü.)

İSTANBUL , Kasım 1997

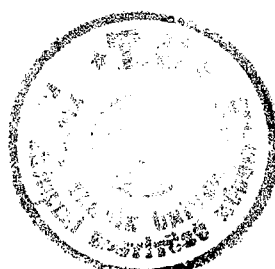


İÇİNDEKİLER

	Sayfa
SEMBOL LİSTESİ	I
ŞEKİL LİSTESİ	IV
TABLO LİSTESİ	X
TEŞEKKÜR	XII
ÖZET	XIII
SUMMARY	XIV
 BÖLÜM 1 GİRİŞ	 1
 BÖLÜM 2 ALİBEY BARAJININ TEKNİK VE GEOTEKNİK ÖZELLİKLERİ	 5
2.1. Alibey Barajının Teknik Özellikleri	5
2.1.1. Hidrolik Karakteristikleri	5
2.1.2. Baraj	5
2.1.3. Dolusavak	6
2.1.4. Derivasyon Tüneli ve Dipsavak	6
2.1.5. Dipsavak Daimi Teçhizatı	6
2.1.6. Tünel giriş yapısı	6
2.1.7. Tünel çıkış yapısı	7
2.1.8. Yapılan Dolguların Karakteristikleri	7
2.1.9. Kum Drenler	8
2.2. Baraj Yeri Topografyası ve Jeolojisi	8
2.2.1. Marmara Bölgesinin Genel Jeolojisi	8
2.2.2. Baraj Çevresinin Jeolojisi	9
2.2.3. Baraj Temel Zemini Özellikleri	11
 BÖLÜM 3 KONSOLIDASYON TEORİSİ	 26
3.1. Konsolidasyon Esasları	26



3.1.1.	Bir Boyutlu Konsolidasyonun Genel Kavramları	26
3.1.2.	Bir Boyutlu Konsolidasyon Teorisi	28
3.2.	Konsolidasyon Denkleminin Çözümü	34
3. 2.1.	Derinlik Boyunca Sabit Boşluk Suyu Basıncı Dağılımı için Çözüm	37
3.2.2.	Başlangıç Boşluk Suyu Basıncının Lineer Değişimi için Çözüm	42
3.2.3.	Başlangıç Boşluk Suyu Basıncının Sinüzoidal Değişimi için Çözüm	42
3.2.4.	Başlangıç Artık Boşluk Suyu Basınç Dağılımının Diğer Formları İçin U_{av} ve T_v 'nin İlişkileri	44
3.2.5.	Bir Boyutlu Konsolidasyon İçin Nümerik Çözümler	44
3.2.6.	Tabakalı Bir Zemin Ortamında Konsolidasyon	48
3.2.7.	Zamana Bağlı Yükleme Altında Konsolidasyon Derecesi	51
3.3.	Standart Tek Boyutlu Konsolidasyon Deneyi ve Yorumu	54
3.3.1.	Önkonsolidasyon Basıncı	56
3.3.2.	Sıkışma İndisi	59
3.3.3.	Örselenmiş Numunenin e-log σ ' Eğrisine Etkisi	60
3.4.	Tek Boyutlu Konsolidasyon Oturmasının Hesabı	62
3.4.1.	Sınırlı Bir Yüklü Alan Altında Konsolidasyon Oturmasının Hesabı	65
3.4.1.1.	Metot A	65
3.4.1.2.	Metot B	67
3.5.	Drenajsız Yüklemeye Bağlı Boşluk Suyu Basıncı Artışları	67
3.5.1.	İzotrop gerilme uygulamasına bağlı olarak gelişen boşluk suyu basıncı artımı	68
3.5.2.	Tek eksenli yüklemeye bağlı boşluk suyu basıncı artımı	70
3.5.3.	Üç eksenli deney koşulları altındaki boşluk suyu basıncı artımı	73
3.5.4.	Boşluk suyu basınç denkleminin Henkel iyileştirmesi	74
3.6.	Konsolidasyon Oturmasının Hesabında Skempton-Bjerrum Değiştirmesi (İyileştirmesi)	78
3.7.	Aşırı Konsolide Killerin Oturması	82
3.8.	Laboratuar Deney Sonuçlarından Konsolidasyon Katsayısunun Hesabı;	84

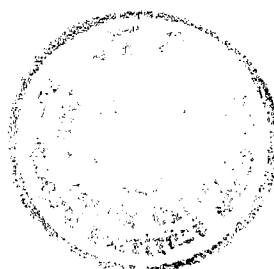


3.9.	İkincil Konsolidasyon	89
3.9.1.	İkincil Konsolidasyon Oturması	93
3.10.	Standart Tek Boyutlu Konsolidasyon Deneyi için Bazı Öneriler	94
3.10.1.	σ/σ' Yük artım oranının etkisi;	94
3.10.2.	Yük Uygulama Süresinin Etkisi	96
3.10.3.	İkincil Konsolidasyonun Ön Konsolidasyon Basıncı Üzerine Etkisi	96
3.11.	Diğer Konsolidasyon Deneyleri	98
3.11.1.	Sabit Şekil Değiştirme Hızlı Konsolidasyon Deneyi (CRS)	98
3.11.1.1.	Teori	100
3.11.1.2.	Konsolidasyon Katsayısı	105
3.11.1.3.	Deneysel Sonuçların yorumlanması	106
3.11.1.4.	$e-\sigma'_{av}$ 'nın grafiğinin elde edilmesi	106
3.11.2.	Sabit -Hidrolik Eğimli Konsolidasyon Deneyi (CGT)	108
3.11.2.1.	Teori	109
3.11.2.3.	Deneysel Sonuçların Yorumu	113
3.12.	Temel Zeminlerinin İyileştirmesinde Önyükleme (Önkonsolidasyon)	116
3.13.	Düşey Drenli Konsolidasyon	121
3.13.1.	Kum Drenler	121
3.13.2.	Sıvaşmasız Serbest Şekil Değiştirmeli Konsolidasyon	123
3.13.3.	Sıvaşmasız Eşit Şekil Değiştirmeli Konsolidasyon	126
3.13.4.	Radyal Konsolidasyon Üzerine Sıvaşma Zonu Etkisi	129
3.13.5.	Düşey ve Radyal Drenajlı Konsolidasyon Derecesinin Hesabı	130
3.13.6.	Radyal Drenajın Sayısal Çözümü	131

BÖLÜM 4 ALİBEY BARAJI ALTINDA MEYDANA GELEN

OTURMALARIN ANALİZİ

4.1.	Gözlemsel Analiz	134
4.1.1.	Oturma - Zaman İlişkisinin Esas Denklemi	135
4.1.3.	Grafiksel Oturma Tahmini	142
4.1.4.	Oturma Tahmininin Emniyet Analizi	146

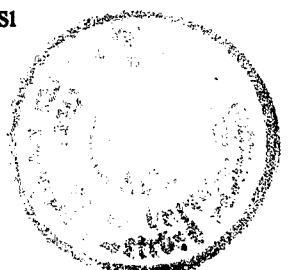


4.1.4.1.	Bazı Özel Problemler	152
4.1.4.1.1.	Kripe Bağlı İkincil Oturma	152
4.1.4.1.2.	Kum Damarlı Kil Tabakasının Oturması	153
4.1.5.	Kum Drenlerin Oturma Tahmini	154
4.1.5.1.	Kum Drenlerin Oturma Genel Tahmin Formülü	154
4.1.5.1.1.	Bir Karmaşık Sınırdeğer Problemine Pratik Bir Örnek	155
4.2.	Dolgu Altındaki Yumuşak Zeminin Stabilite Analizi	158
4.3.	Dolgu Altındaki Yumuşak Zeminin Deformasyon Analizi	159
4.4.	Dolgu Altındaki Yumuşak Zeminin Davranışının Kontrolü	162
4.4.1.	Ön Yükleme İle Zemin Davranışının Kontrolü	162
4.4.2.	Düsey Drenler İle Zemin Davranışının Kontrolü	162
4.4.3.	Kademeli Dolgu İnşaatı İle Zemin Davranışının Kontrolü	163
4.5.	Sonlu Elemanlar Yöntemi İle Gerilme Ve Deformasyon Analizi	164
4.5.1.	Alibey Barajı Bünyesinde Yapılan Çalışmalar	168
4.6.	Alibey Barajının Oturma Hesapları	172
4.7.	Arazi Ölçümleri İle Karşılaştırmalar	187
BÖLÜM 5	SONUÇLAR ve ÖNERİLER	215
5.1.	Giriş	215
5.2.	Sonuçların Değerlendirilmesi	216
5.2.1.	Gerilme Analizi Sonuçları	217
5.2.2.	Oturma Analizi Sonuçları ve Arazi Okumaları ile Karşılaştırılması	218
5.2.3.	Arazi Yatay Yerdeğiştirme Ölçümlerinin Değerlendirilmesi	220
5.2.4.	Boşluk Suyu Basıncı Ölçümlerinin Değerlendirilmesi	222
5.3.	Gelecekteki Araştırmalar için Öneriler	229
KAYNAKLAR		231
EKLER		239
ÖZGEÇMİŞ		242



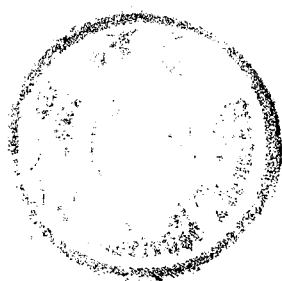
SEMBOLLER LİSTESİ

AKO	aşırı konsolidasyon oranı
α	boşluk basıncı dağılma parametresi, düzeltme faktörü
a_v	sıkışabilirlik katsayısı
$C_{c_{\text{ort}}}$	ortalama sıkışma indisi
C_α	ikincil sıkışma indisi
C_k	permeabilite indisi, $e-\log k_v$ 'nin eğimi
C_r	sıkışma indisi, tekrar sıkışma aralığındaki $e-\log \sigma_r$ 'nin eğimi
C_{ae}	boşluk oranına bağlı ikincil sıkışma katsayısı
C_c	sıkışma indisi
C_e	hacmin genleşme katsayısı
C_p	boşluk suyunun sıkışabilirliği
C_v	konsolidasyon katsayısı
C_{vr}	radyal doğrultudaki konsolidasyon katsayısı
$\Delta\sigma_t, \Delta\sigma_m, \Delta\sigma_b$	kıl tabakasının üst, orta ve altındaki gerilme artışları
ΔV_p	boşluk suyunun hacimsal değişimi;
e	boşluk oranı
\dot{e}	$\partial e / \partial t$
\bar{e}	ortalama boşluk oranı
$e_{(z, t)}$	z derinliğindeki ve t zamanındaki boşluk oranı
e_0	başlangıç boşluk oranı
E_{oed}	ödometrik modül ($d\sigma/d\varepsilon_v$)
EOP	birincil sonu
ε_l	eksensel şekil değiştirme
$\dot{\varepsilon}_v$	$\partial \varepsilon_v / \partial t$
ε_v	düşey şekil değiştirme
ε_v	hacimsel şekil değiştirme
ϕ'	efektif sürtünme açısı
γ_w	suyun birim hacim ağırlığı
H	maksimum drenaj boyu
h	A noktasındaki hidrolik yük
H_0	numunenin ilk boyu
H_i	numunenin başlangıçtaki yüksekliği
H_t	kıl tabakası kalınlığı
k_h	yatay permeabilite katsayısı
k_s	örselenmiş bölgelinin permeabilite katsayısı
k_{v0}	başlangıç düşey permeabilite katsayısı
$[K_0]_p$	sıkışma bölgesindeki yatay toprak basıncı katsayısı
K_r	tekrar sıkışma bölgesindeki yatay toprak basıncı katsayısı
K_0	sükunetteki toprak basıncı katsayısı



k_x, k_y, k_z	x, y ve z doğrultularındaki permeabilite katsayıları
m_v	hacimsal sıkışma katsayısı
n	porozite
q	zemin üzerine düzgün yayılı yük
q_c	zemin üzerine düzgün yayılı yük
q_x, q_y, q_z	x, y ve z doğrultularında giren akımlar
r	dren kuyusunun merkezinden ölçülen radyal uzaklık
r_R	herhangi bir referansa göre radyal uzaklık
R_s	birim log zamandaki ikincil oturma
R_{100}	birincil konsolidasyon aşaması süresince oturma
S_c	tek boyutlu konsolidasyon oturması
$\dot{\sigma}'_v$	$\partial\sigma'_v/\partial t$
σ'_c	önkonsolidasyon basıncı
σ'_p	önkonsolidasyon basıncı
σ'_{h0}	arazideki efektif yatay gerilme
σ'_{vi}	başlangıç düşey efektif gerilme
σ'_v	düşey efektif gerilme
σ'_{vc}	ikincil sıkışma sonucundaki önkonsolidasyon basıncı
σ'_{vf}	nihai düşey efektif gerilme
σ_v	toplam düşey gerilme
$[\sigma'_p]_h$	yatay önkonsolidasyon basıncı
$\sigma'_{v0} = [\sigma'_0]_v$	arazideki düşey efektif gerilme
σ'_0, σ'_{av}	ortalama efektif gerilme
σ'_s	örselenmemiş numunede başlangıç izotrop efektif gerilme
σ'_h	efektif yatay gerilme
t	zaman
t_a	herhangi bir yükün uygulanma zamanı
T_c	
t_p	birincil konsolidasyonun tamamlanması için gereken zaman
t_R	herhangi bir referansa göre zaman
T_r	radial akımın zaman faktörü
T_v	zaman faktörü
\bar{t}	boyutsuz zaman
\bar{u}	boyutsuz artık boşluk suyu basıncı
u	boşluk suyu basıncı
U	düşey ve radyal drenaj için ortalama konsolidasyon derecesi
u_0	ters basıncı
U_{av}, U_v	ortalama konsolidasyon derecesi
u_b	numune tabanındaki boşluk basıncı
u_R	herhangi bir referansa göre artık boşluk suyu basıncı
U_r	radial drenaja bağlı ortalama konsolidasyon derecesi
U_z	z derinliğindeki konsolidasyon derecesi

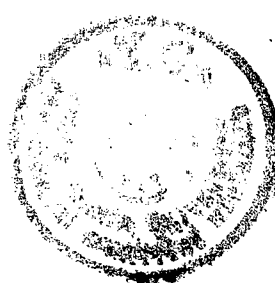
V	elemanter zemin hacmi
V_0	zeminiñ orijinal hacmi
V_s	zeminiñ elemanindaki zemin danelerinin hacmi
V_v	zeminiñ elemanindaki bosluk hacmi
w_l	likit limit
w_n	dogal su muhtevasi
w_p	plastik limit
z_R	herhangi bir referansa gore uzunluk
\bar{z}	boyutsuz derinlik



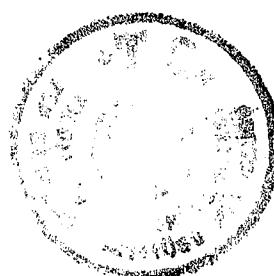
ŞEKİL LİSTESİ

	Sayfa
Şekil 2.1. Alibey Barajı Jeolojik Kesiti	11
Şekil 3.1. Zemin kesiti	27
Şekil 3.2. Sürsaj altında kıl tabakasındaki efektif gerilme ve boşluk suyu basıncının değişimi	27
Şekil 3.3. Konsolidasyona maruz kıl tabakasının kesiti	29
Şekil 3.4. Elemanter zemin prizması üzerinde süreklilik denklemlerinin çıkarımı	29
Şekil 3.5. Derinlik boyunca sabit başlangıç artık boşluk suyu basıncı dağılımı (çift yönlü drenaj)	38
Şekil 3.6. U_z 'nin z/H ve T_v ile değişimi	40
Şekil 3.7. Ortalama konsolidasyon derecesinin değişim grafiği (Şekil 3.5 , 3.8, 3.9 ve 3.10 'da verilen koşullar için)	40
Şekil 3.8. u_i 'nin derinlikle sabit olduğu tek yönlü drenaj durumunda başlangıç artık boşluk suyu basınç dağılımı	43
Şekil 3.9. Çift yönlü drenaj durumunda başlangıç artık boşluk suyu basınç dağılıminin lineer değişimi	43
Şekil 3.10. Çift yönlü drenaj durumunda başlangıç artık boşluk suyu basıncının sinüzoidal dağılımı	43
Şekil 3.11. Başlangıç artık boşluk suyu basınç dağılıminin bazı formları	45
Şekil 3.12. Başlangıç artık boşluk suyunun Şekil 3.11 'de görülen basınç diyagramları için U_{av} 'nin T_v ile değişimi	45
Şekil 3.13. Geçirimli ve geçirimsiz tabaka durumları için sonlu fark ağ elemanları	49
Şekil 3.14. İki tabakalı zemindeki konsolidasyon derecesi	49
Şekil 3.15. İki farklı killi zemin durumu için sonlu fark ağ elemanları	49
Şekil 3.16. Üniform yayılı yüze bağlı tek boyutlu konsolidasyon	52
Şekil 3.17. Üniform yayılı yük durumunda farklı T_e değerleri için U_{av} - T_v grafiği	52
Şekil 3.18. Konsolidasyon hücresi	55

Şekil 3.19	Verilen bir yük artımı için tipik bir deformasyon-log t grafiği	55
Şekil 3.20	Tipik e-log σ' grafiği	55
Şekil 3.21	Yükleme, boşaltma ve tekrar yükleme durumlarını gösteren e-log σ' grafiği	57
Şekil 3.22	Önkonsolidasyon basıncının bulunmasında Casagrande metodu grafiği	57
Şekil 3.23	C _c sıkışma indisinin bulunmasını gösteren grafik	61
Şekil 3.24	Numune örselenmesinin e-log σ' eğrisine etkisi	61
Şekil 3.25	Tek boyutlu konsolidasyon oturmasının karşılaştırılmalı hesabı	64
Şekil 3.26	Δe 'nin hesabı (Eşitlik 3.85 - 3.87)	64
Şekil 3.27	Metod A 'ya göre konsolidasyon oturmasının hesabı	66
Şekil 3.28	Metod B 'ye göre konsolidasyon oturmasının hesabı	66
Şekil 3.29	İzotrop gerilme altında zemin elemanı	69
Şekil 3.30	C _c 'nin bulunmasını gösteren grafik	69
Şekil 3.31	Tek eksenli gerilme altındaki doygun zemin elemanı	72
Şekil 3.32	C _e 'nin bulunmasını gösteren grafik	72
Şekil 3.33	Drenajsız üç eksenli deney koşulları altında artık boşluk suyu basıncı	72
Şekil 3.34	Maksimum, orta ve minimum asal gerilmeli doygun zemin elemanı	76
Şekil 3.35	Drenajsız şartlarda doygun bir zemin üzerindeki şerit yüklemenin orta çizgisi altındaki artık boşluk suyu basıncının tahmini	76
Şekil 3.36	Dairesel yüklü bir alanın merkezi altındaki artık boşluk suyu basıncının oluşumu	76
Şekil 3.37	M ₁ 'in H _t /B ile değişim grafiği	81
Şekil 3.38	Dairesel yükleme için oturma oranı (Eşitlik 3.113)	81
Şekil 3.39	Üniform şerit yüklü bir alanın merkezi altındaki artık boşluk suyu basıncının oluşumu	81
Şekil 3.40	Şerit yükleme için oturma oranı (Eşitlik 3.118)	83
Şekil 3.41	Aşırı konsolide kildeki oturma oranı	83



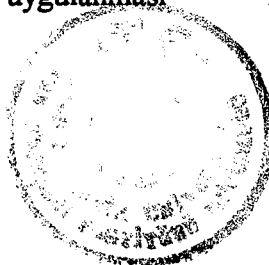
Şekil 3.42	C_v 'nin bulunmasında logaritma zaman metodunun grafiği	86
Şekil 3.43	C_v 'nin bulunmasında karekök zaman metodunun grafiği	86
Şekil 3.44	C_v 'nin bulunmasında maksimum eğim metodunun grafiği	90
Şekil 3.45	Doğal zeminler için ikincil konsolidasyon katsayıları	90
Şekil 3.46	$\Delta\sigma/\sigma'$ aynı yükleme artım oranlarının numune kalınlığı üzerine etkisi	92
Şekil 3.47	Organik Paulding kili ikincil sıkışma katsayısı	92
Şekil 3.48	Meksika kili için $\Delta\sigma/\sigma'$ 'nın konsolidasyon eğrileri üzerine etkisi	95
Şekil 3.49	Yük artım oranının e-log σ' eğrisine etkisi	95
Şekil 3.50	Leda kili üzerinde normal ve uzun süreli yük artımları için efektif basınç eğrilerinin logaritmasına karşı gelen sıkışma grafiği (sıkışma - log σ' grafiği)	97
Şekil 3.51	Normal konsolide killerin sıkışabilirliği ve jeolojik geçmişi a eğrisi : genç, normal konsolide kil $\sigma'_0=\sigma'_c$ b eğrisi : yaşlı, normal konsolide kil $\sigma'_1=\sigma'_c$	97
Şekil 3.52	Geç buzul ve buzul sonrası normal konsolide killerde gözlenen σ'/σ'_0 tipik değerleri	99
Şekil 3.53	CRS laboratuar deneyinin şematik gösterimi	99
Şekil 3.54	Massena kili üzerinde yapılan CRS deney sonuçları ve standart deneylerle karşılaştırılması	107
Şekil 3.55	Kalsiyum montmorillonit üzerinde yapılan CRS deney sonuçları ve standart deneylerle karşılaştırılması	107
Şekil 3.56	CGT konsolidasyon deneyinin şematik gösterimi	110
Şekil 3.57	Kontrollü hidrolik eğimli deneydeki aşamalar	110
Şekil 3.58	Artık boşluk suyu basınç dağılımının parabolik kalıbı ile Terzaghi izokronunun karşılaştırılması	115
Şekil 3.59	Portland, Maine bölgesinden alınan aşırı konsolide deniz kili üzerinde yapılan standart konsolidasyon deneyleri ile kontrollü hidrolik eğimli deneylerin karşılaştırılması	115



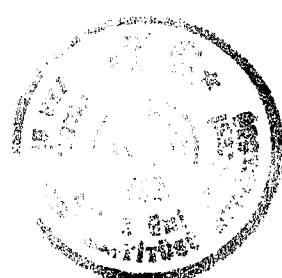
Şekil 3.60	Standart tek boyutlu deney ve kontrollü hidrolik eğimli deney işlemiyle bir numune üzerindeki efektif gerilmenin artmasındaki fark	117
Şekil 3.61	Önyükleme tekniği kavramı	117
Şekil 3.62	Ön sıkışmanın hesabında konsolidasyon derecesinin seçimi	120
Şekil 3.63	$U_{(f+s)}$ 'nin σ_s/σ_f ve σ_f/σ'_0 ile değişimi	120
Şekil 3.64	$U_{(f+s)}-T_v$ grafiği	122
Şekil 3.65	Kum drenler	122
Şekil 3.66	Killer üzerindeki esnek (a) ve rijit (b) temeller	124
Şekil 3.67	Kum drenlerin genel görünümü a. Plan b. S-S kesiti	124
Şekil 3.68	U_r konsolidasyon derecesinin T_r zaman faktörü ile değişimi	128
Şekil 3.69	k_h/k_s ve S 'nin farklı değerleri için m değerleri	128
Şekil 3.70	Farklı S ($k_h/k_s=20$) değerleri için $m-n$ grafiği	133
Şekil 3.71	Radyal drenajın sayısal çözümü için sonlu fark ağ elemanı	133
Şekil 4.1.	Üst ve alttan drenaj durumu	141
Şekil 4.2.	Üst drenaj durumu	141
Şekil 4.3a.	Kobe Limanı 'ndaki dolgu zemininin gözlemler oturmaları	142
Şekil 4.3b.	Kobe Limanı 'ndaki deniz dolgusunun oturma gözlemlerinden elde edilen p_j-p_{j-1} grafiği	143
Şekil 4.4.	Shin-Ube termoelektrik güç santralındaki oturma gözlemleri	145
Şekil 4.5.	Oturma tahmininin grafiksel yöntemi	146
Şekil 4.6.	3 nolu Kobe Limanı deniz dolgusunda Aralık 1972 'ye kadar gözlemlenen datalardan elde edilen β_0 ve β_1 'in sonraki sınırsal (marjinal) olasılık dağılım fonksiyonu	151
Şekil 4.7.	3 nolu Kobe Limanı deniz dolgusunda Aralık 1972 'ye kadar gözlemlenen datalardan elde edilen σ 'nın sonraki sınırsal (marjinal) olasılık dağılım fonksiyonu	151
Şekil 4.8.	3 nolu Kobe Limanı deniz dolgusunda Aralık 1972 'den Aralık 1976 'ya kadar olan oturmanın tahmini olasılık dağılım fonksiyonu	151



Şekil 4.9.	İnce kum bandından yatay drenaj durumu	153
Şekil 4.10.	Iwamizawa test dolgusunun enkesiti ve zemin profili	156
Şekil 4.11.	Iwamizawa test dolgusunun kum dren deneme kesitindeki oturma gözlemleri	156
Şekil 4.12.	Grafiksel yöntemin Iwamizawa test dolgusunun gözlemlerine uygulanması	157
Şekil 4.13.	Alibey Barajı Yerleşim Planı	169
Şekil 4.14.	Alibey Barajı Kesiti	170
Şekil 4.15a.	Alibey Barajı Dolgu İnşaa Programı	173
Şekil 4.15b.	Alibey Barajı Dolgu İnşaa Programı	174
Şekil 4.15c.	Alibey Barajı Dolgu İnşaa Programı	175
Şekil 4.15d.	Alibey Barajı Dolgu İnşaa Programı	176
Şekil 4.15e.	Alibey Barajı Dolgu İnşaa Programı	177
Şekil 4.15f.	Alibey Barajı Dolgu İnşaa Programı	178
Şekil 4.15g.	Alibey Barajı Dolgu İnşaa Programı	179
Şekil 4.15h.	Alibey Barajı Dolgu İnşaa Programı	180
Şekil 4.15i.	Alibey Barajı Dolgu İnşaa Programı	181
Şekil 4.15j.	Alibey Barajı Dolgu İnşaa Programı	182
Şekil 4.16.	Boşluk Suyu Basıncı Katsayısı A 'nın Değişimi	184
Şekil 4.17.	Kademeli Yükleme Altında Konsolidasyon Oturmalarının Hesaplanması	186
Şekil 4.18.	Sıkışma İndisi ve Tekrar Sıkışma İndisinin Su muhtevası ile Değişimi	189
Şekil 4.19.	Arazi Ön konsolidasyon Basıncı Profili	190
Şekil 4.20.	Menba batardosu oturma okumalarına Asaoka Yönteminin uygulanması	192
Şekil 4.21.	Menba batardosu altında ölçülen ve hesaplanan oturma okumaları	192
Şekil 4.22.	Mansap batardosu oturma okumalarına Asaoka Yönteminin uygulanması	193
Şekil 4.23.	Mansap batardosu altında ölçülen ve hesaplanan oturma okumaları	193
Şekil 4.24.	Ara dolgu oturma okumalarına Asaoka Yönteminin uygulanması	194

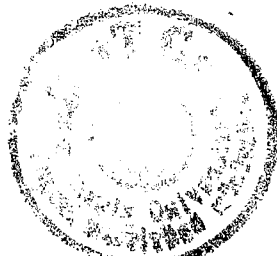


Şekil 4.25.	Ara dolgu altında ölçülen ve hesaplanan oturma okumaları	194
Şekil 4.26.	Baraj aksı dolgusu oturma okumalarına Asaoka Yönteminin uygulanması	195
Şekil 4.27.	Baraj aksı dolgusu altında ölçülen ve hesaplanan oturma okumaları	195
Şekil 4.28.	Temel yükleme testi dolgusu oturma okumalarına Asaoka Yönteminin uygulanması	196
Şekil 4.29.	Temel yükleme testi dolgusu altında ölçülen ve hesaplanan oturma okumaları	196
Şekil 5.1a.	Test dolgusu altındaki yatay yerdeğiştirmelerin Kuzey-Güney doğrultusunda derinlikle değişimi	221
Şekil 5.1b	Test dolgusu altındaki yatay yerdeğiştirmelerin Doğu-Batu doğrultusunda derinlikle değişimi	221
Şekil 5.2a.	Yükseklik farkı ölçmelerinin planı	223
Şekil 5.2b.	Yatay Hareket Vektörleri (1987-1991)	224
Şekil 5.2c.	Yatay Hareket Vektörleri (1991-1996)	224
Şekil 5.2d.	Düşey Hareket Vektörleri (1987-1994)	225
Şekil 5.2e.	Düşey Hareket Vektörleri (1991-1994)	225
Şekil 5.3a.	Boşluk suyu basınçlarının zamanla değişimi (+1.69m kotu)	226
Şekil 5.3b.	Boşluk suyu basınçlarının zamanla değişimi (-5.00m kotu)	226
Şekil 5.3c.	Boşluk suyu basınçlarının zamanla değişimi (-8.25m kotu)	227
Şekil 5.3d.	Boşluk suyu basınçlarının zamanla değişimi (-18.36m kotu)	227
Şekil 5.3e.	Boşluk suyu basınçlarının ve dolgu üst kotunun zamanla değişimi (-22.34m kotu)	228
Şekil 5.4.	Dolgu yükü altında artık boşluk suyu basıncının sökümlenme eğrileriyle arazi ölçümlerinin karşılaştırılması	228
Şekil E1.	Alibey Barajı Genel Yerleşim Planı	240
Şekil E2.	Alibey Barajı Paleotopografik Haritası	241



TABLO LİSTESİ

	Sayfa
Tablo 2.1. Alibey Barajı Temel Zemini Laboratuar ve Arazi Deney Sonuçları	12
Tablo 2.2. Alibey Barajı Temel Zemini Laboratuar ve Arazi Deney Sonuçları	13
Tablo 2.3. Alibey Barajı Temel Zemini Laboratuar ve Arazi Deney Sonuçları	14
Tablo 2.4. Alibey Barajı Temel Zemini Laboratuar ve Arazi Deney Sonuçları	15
Tablo 2.5. Alibey Barajı Temel Zemini Laboratuar ve Arazi Deney Sonuçları	16
Tablo 2.6. Alibey Barajı Temel Zemini Laboratuar ve Arazi Deney Sonuçları	17
Tablo 2.7. Alibey Barajı Temel Zemini Laboratuar ve Arazi Deney Sonuçları	18
Tablo 2.8. Alibey Barajı Temel Zemini Laboratuar ve Arazi Deney Sonuçları	19
Tablo 2.9. Alibey Barajı Temel Zemini Laboratuar ve Arazi Deney Sonuçları	20
Tablo 2.10. Alibey Barajı Temel Zemini Laboratuar ve Arazi Deney Sonuçları	21
Tablo 2.11. Alibey Barajı Temel Zemini Laboratuar ve Arazi Deney Sonuçları	22
Tablo 2.12. Alibey Barajı Temel Zemini Laboratuar ve Arazi Deney Sonuçları	23
Tablo 2.13. Alibey Barajı Temel Zemini Laboratuar ve Arazi Deney Sonuçları	24
Tablo 2.14. Alibey Barajı Temel Zemini Laboratuar ve Arazi Deney Sonuçları	25
Tablo 3.1. U_{av} ile T_v arasındaki değişim	39
Tablo 3.2. Aşırı Konsolidasyona Neden Olan Mekanizmalar	58
Tablo 3.3. Göçme anındaki tipik değerleri	73
Tablo 3.4. İkincil Sıkışmaya Dayalı Zemin Sınıflandırması	91
Tablo 3.5. Radyal akış eşitliğinin çözümü: eşit şekil değiştirme koşulu	129
Tablo 4.1. Alibey Barajı altındaki kum drenlerin yeri ve özellikleri	183
Tablo 4.2. Alibey Barajı Altında Tipik Temel Zemini Kesiti	188
Tablo 4.3a. B24 Aksı için Konsolidasyon Analizi (Yükleme 1) Tablosu	197
Tablo 4.3b. B24 Aksı için Konsolidasyon Analizi (Yükleme 2) Tablosu	198
Tablo 4.3c. B24 Aksı için Konsolidasyon Analizi (Yükleme 3) Tablosu	199
Tablo 4.3d. B24 Aksı için Konsolidasyon Analizi (Yükleme 4) Tablosu	200
Tablo 4.3e. B24 Aksı için Konsolidasyon Analizi (Yükleme 5) Tablosu	201
Tablo 4.3f. B24 Aksı için Konsolidasyon Analizi (Yükleme 6) Tablosu	202



Tablo 4.3g. B24 Aksı için Konsolidasyon Analizi (Yükleme 7) Tablosu	203
Tablo 4.3h. B24 Aksı için Konsolidasyon Analizi (Yükleme 8) Tablosu	204
Tablo 4.3i. B24 Aksı için Konsolidasyon Analizi (Yükleme 9) Tablosu	205
Tablo 4.4a. B24 Aksı için Boşluk Suyu Basıncı Artışları ve Konsolidasyon Yüzdesi Hesabı (Yükleme 1) Tablosu	206
Tablo 4.4b. B24 Aksı için Boşluk Suyu Basıncı Artışları ve Konsolidasyon Yüzdesi Hesabı (Yükleme 2) Tablosu	207
Tablo 4.4c. B24 Aksı için Boşluk Suyu Basıncı Artışları ve Konsolidasyon Yüzdesi Hesabı (Yükleme 3) Tablosu	208
Tablo 4.4d. B24 Aksı için Boşluk Suyu Basıncı Artışları ve Konsolidasyon Yüzdesi Hesabı (Yükleme 4) Tablosu	209
Tablo 4.4e. B24 Aksı için Boşluk Suyu Basıncı Artışları ve Konsolidasyon Yüzdesi Hesabı (Yükleme 5) Tablosu	210
Tablo 4.4f. B24 Aksı için Boşluk Suyu Basıncı Artışları ve Konsolidasyon Yüzdesi Hesabı (Yükleme 6) Tablosu	211
Tablo 4.4g. B24 Aksı için Boşluk Suyu Basıncı Artışları ve Konsolidasyon Yüzdesi Hesabı (Yükleme 7) Tablosu	212
Tablo 4.4h. B24 Aksı için Boşluk Suyu Basıncı Artışları ve Konsolidasyon Yüzdesi Hesabı (Yükleme 8) Tablosu	213
Tablo 4.4i. B24 Aksı için Boşluk Suyu Basıncı Artışları ve Konsolidasyon Yüzdesi Hesabı (Yükleme 9) Tablosu	214
Tablo 5.1. Oturma plakalarının baraj aksslara göre yerlerinin dağılımı	220



TEŞEKKÜR

Bu çalışmamda değerli bilgileri ile bana yol gösterererek destekleyen tez danışmanım sayın Prof. Dr. İ.Kutay Özaydin'a ve University of Wisconsin'den sayın Prof. Dr. Tuncer Edil 'e sonsuz teşekkür ederim.

Ayrıca, görüşlerinden faydalandığım sayın Prof. Dr. Sönmez Yıldırım ve sayın Yrd. Doç. Dr. Nejat N. Çetinkaya 'ya , Jeoloji bilgilerinden faydalandığım ve haritaların hazırlanmasında yardımcı olan sayın Doç. Dr. Mustafa Yıldırım a, kütüphanelerini kullanmama izin veren sayın Prof. Vahit Kumbasar 'a ve Prof. Dr. Atilla M. Ansal 'a , yayın temininde yardımcı olan sayın Doç. Dr. Fevziye Aköz 'e teşekkürü borç bilirim.

Alibey Barajı 'na ait 1967-1991 yılları arasındaki piezometre, tablalı tasman ve inklinometre arazi ölçüm kayıtlarının temini sağlayan DSİ Genel Müdürlüğü 'ne, sayın Müh. Özer Karaben 'e, kayıtların yorumlanmasıında yardımcı olan Yük. Müh. Hasan Tuna Altay 'a, bu kayıtların bilgisayara yüklenmesinde okuyarak yardımcı olan ; sayın Sevim Özçoban, Zafer Küfüğ, İrfan Coşkun, Semra Yavuz, Nilgün Aktan, F İlter Aydınol, Ayşe Koçak, Filiz Sevük, Erhan Erol, Cem Akgüner, Havvanur Kılıç, Mehmet Berilgen 'e ve baraj bölgesinde yapılmış olan viyadük ayağı sondaj verilerinin teminine yardımcı olan Karayolları Genel Müdürlüğü 'ne teşekkür ederim.

Bu çalışmada A.B.D. National Science Foundation-NSF 'e Grant No. INT-9312438, MOD.1 projesi ve DPT 'ye 95K120550 'nolu "Yumuşak Zeminlere Oturan Dolguların Davranışı" isimli Araştırma Projelerine verdikleri destekten dolayı sonsuz teşekkürler.



ÖZET

Yumuşak zemin tabakaları üzerine inşa olunan toprak dolgular altında meydana gelecek oturmaların tahmin edilmesi ve kontrol altında tutulabilmesi geoteknik mühendisliğinde karşılaşılan önemli sorunlardan birini oluşturmaktadır. Toprak dolgu inşaasının temel zeminde drenajsız göçmeye karşı yeterli güvenliğe sahip olacak şekilde projelendirilmesi durumunda meydana gelecek oturmaların konsolidasyon teorisine göre hesaplanması mümkün olmaktadır. Temel zeminin taşıma gücünün yeterli olmaması durumunda sıkça başvurulan zemin önyükleme veya kademeli dolgu inşaası uygulamalarında, toplam ve farklı oturmaların zamana bağlı gelişimlerinin doğru tahmin edilmesi büyük önem taşımaktadır.

İstanbul Alibey Barajı, 35 m'ye varan kalınlıkta yumuşak alüvyal kil tabakaları üzerinde yaklaşık 15 yıldır yayılan kademeli dolgu yerleştirilmesi ile inşa edilmiş ve arazi ölçüm aletleri ile temel zeminde oluşan boşluk suyu basıncı değişimleri ve zemin hareketleri gözlem altında tutulmuştur. Alışılmışın dışında bir en kesite sahip olan bu toprak dolgu barajın menba ve mansap batardoları doğrudan temel zemini üzerine kademeli olarak yerleştirilmiş, baraj gövdesinin değişik kesitlerinde ise konsolidasyonu hızlandırmak için farklı aralıklarda düşey kum drenler kullanılmıştır.

Bu çalışmada, baraj altında farklı kesitlerde temel zeminde meydana gelen oturmaların zamana bağlı gelişimi Terzaghi konsolidasyon teorisi kullanılarak hesaplanmıştır. Kademeli inşaat programına uygun olarak, öncelikle menba batardosu altında meydana gelen oturmalar hesaplanmış ve arazi ölçümü ile karşılaşılmıştır zemin özelliklerinin arazi davranışını ile uyumu sağlanmıştır. Daha sonra barajın diğer kesitlerinde meydana gelen oturmalar hesaplanarak yaklaşık 25 yıl süre ile tutulan arazi ölçümü ile karşılaşılmıştır. Alibey Barajı örneğinde olduğu gibi taşıma gücü yeterli olmayan yumuşak kohezyonlu zemin tabakaları üzerine inşa olunacak toprak dolgularda, önyükleme ve kademeli inşaat programlarının yapılmasında, arazi oturma ölçümüne dayanan gerçekçi konsolidasyon analizlerinin gerekliliği doğrulanmıştır.

Bu araştırmada, Alibey Barajı temel zeminde, kademeli dolgu inşaatından kaynaklanan gerilme artışı ve yer değiştirmeler zemin davranışının elastik ve elasto-plastik bütçe denklemleri ile tanımlanması ile hesaplanmıştır. Sonlu elemanlar yönteminin kullanıldığı analizlerde, temel zeminin kademeli yükleme altında konsolidasyonu sonucu zemin özelliklerinde meydana gelen iyileşme de dikkate alınmıştır. Öncelikle, inşaat programına uygun olarak, menba batardosu altında oluşan gerilme ve yer değiştirme dağılımları için elastik ve elasto-plastik analiz sonuçları karşılaştırılmış ve arazi davranışını ile uyumu sağlanmıştır. Bu şekilde doğrulanmış zemin özellikler kullanılarak ve kademeli dolgu inşaatına uygun olarak bütün baraj kesiti için temel zeminde oluşan gerilme ve yer değiştirmeler hesaplanmıştır. Analiz sonuçları, dolgu yükü altındaki yüksek sıkışabilirliğe sahip yumuşak zeminlerde, düşük yük kademelerinde bile plastik bölgelerin olduğunu, bu yüzden bu tip zeminlerde elastik analiz yapılmasının daha uygun olacağını göstermiştir. Ayrıca kademeli dolgu inşaatı sırasında yumuşak zeminde meydana gelen konsolidasyon sonucu malzeme parametrelerindeki iyileşmenin hesaplara yansıtılmasının gerekliliği ve bunun barajın güvenli bir şekilde inşaası için uygulanan inşaat programının belirlenmesinde dikkate alınması gerektiği görülmüştür.



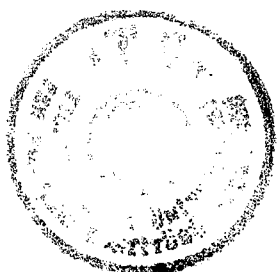
SUMMARY

Prediction and mitigation of excessive settlements from construction of earth structures founded on soft ground is a fundamental problem faced by geotechnical engineers. When the embankment is designed with a sufficiently high degree of safety against undrained bearing capacity failure, one-dimensional settlement analysis is applicable. In cases where bearing capacity of foundation layers are insufficient, staged construction and preloading are among the most frequently used techniques.

Alibey Dam in Istanbul which is seated on medium stiff cohesive alluvial deposits of up to 35 m thickness is constructed in stages within a period of 15 years. In order to program this staged construction, the foundation layers were heavily instrumented to monitor the pore pressures generated and displacements developed during construction. The upstream and downstream embankments of this dam with an unusual cross-section were seated on natural layers, whereas underneath of other sections sand drains were implemented to speed up the consolidation.

In this investigation, the settlement of foundation layers underneath different sections of the dam are analyzed using Terzaghi's consolidation theory. In accordance with the construction stages, firstly the settlements underneath the upstream embankment are computed and compared with the measured values to check the validity of soil compression characteristics. Then, the settlements underneath different sections of the dam are analyzed. The computed and measured settlement values are shown to be in good agreement with each other.

In this investigation, stress increases and immediate settlement of the founding strata of Alibey Dam, built in staged loading due to the unfavorable soil conditions, is aimed to be calculated. The finite element method is used in the calculations and the elasto-plastic behaviour of the founding strata as well as the improvements arising due to consolidation are taken into consideration. As a first step, which also complies with the construction method, the result of the elastic and elasto-plastic analysis are carried out for the computation of stresses and deformations of the strata beneath the upstream cofferdam are compared and their compatibility with the behaviour monitored by field measurements are maintained. By that means, using these verified ground properties, the stresses and the displacements of founding strata for the various sections of whole dam under staged loading are calculated. The results of the analysis have indicated that in the highly compressible soft soils under embankment loading, plastic regions develop even under low loading stages and thus it would be more appropriate to carry out elasto-plastic analysis under such soil conditions. In addition it is also found out that the improvement of the material properties due to the consolidation of the soft layer during the construction stages is necessary to be included in the calculations and that this would also be required to be considered in assessing the time schedule for the safe construction of the dam.



1. GİRİŞ

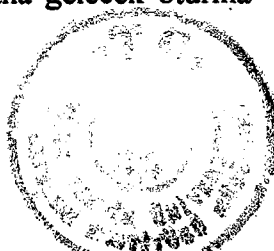
Yumuşak zemin üzerinde inşa edilmiş zemin yapılarının inşa rehabilitasyonu sonucu meydana gelen aşırı oturmaların tahmini, geoteknik mühendisleri tarafından karşılaşılan temel problemlerden biridir.

Dolgu, drenajsız taşıma gücü göçmesine karşı yeteri kadar yüksek bir güvenlik sayısı ile projelendirildiği zaman, tek-boyutlu oturma analizi uygulanabilir. Oturma analizleri, sıkışabilen zeminin detaylı bir profilini, ön yükleme basıncının güvenilir bir tahminini, her tabaka için kompresibilite ve permeabilite parametrelerini ve bir sıkışma modeli kullanımını ihtiva eder. Terzaghi 'nin klasik konsolidasyon teorisi ile başlayarak, çeşitli araştırmacılar zeminlerin tek boyutlu sıkışmasının anlaşılmaması konusunda önemli çalışmalar yapmışlar ve konuya katkıda bulunmuşlardır. Son yillardaki gelişmeler, ani ve gecikmiş sıkışma tanımlamaları, birincil sıkışma sonucu basınç eğrisinin tekliği, ikincil basınç indisinin basınç indisine oranının sabit olması, gerilme-şekil değiştirmeye-şekil değiştirmeye hızı davranışının ortak tanımlanması konuları gibi hem yumuşak killer ve hem de yüksek derecede organik zeminler ve turba zeminler için ısı etkilerini de gözönüne alan araştırmacıları ihtiva etmektedir. Fakat, arazide, geçerli yükleme ve drenaj şartlarında hangi sıkışma modelinin en uygun olduğu konusunda çelişkiler mevcut olup, teori ve laboratuar verileri ile arazideki davranış arasında bağın tespit edilmesi konusunda gözlemsel metodların umut verici olduğu görülmüştür.

Yumuşak kil yatakları üzerinde inşa edilmiş dolgulardaki oturmalar esas olarak, yumuşak kil temelin konsolidasyonu sonucu ve dolgu altındaki yumuşak kılın dışarı doğru akmasından meydana gelmektedir. İnşaat sırasında drenajsız göçmeye karşı yeterli güvenlik sayısı ile tasarlanmış ve inşa edilmiş dolgular için, oturmanın yukarıda bahsedilen ikinci bileşeni genellikle küçük olup konsolidasyon oturması esastır. Yumuşak killerin oturma analizi, kompresibilitenin tayini için örselenmemiş numune temini ve laboratuar deneyleri ile arazi yüklemeleri ve sınır şartları altında oturmanın ilerlemesinin tayini için konsolidasyon teorisi kullanımını ihtiva eder.

Son yıllarda, yumuşak killerin konsolidasyon davranışının anlaşılmamasının ilerlemesine yönelik geniş çaplı araştırmalar yapılmış ve meydana gelen oturmaların tahmini konumundaki kabiliyetimiz laboratuar deneyleri ve analitik çalışmalar ile ilerlemiştir. Yumuşak killer üzerine inşa edilmiş dolgularda yapılan vaka analizleri ve yerinde ölçümlerden elde edilen oturma verilerinin analizleri, laboratuar deney sonuçlarının ve geleneksel analiz metodlarının, arazideki davranışın tahmini konumunda her zaman yeterli olmadığını ortaya koymuştur. Bu durum, yumuşak kil üzerindeki dolgularda meydana gelen oturmaların hassas bir şekilde tahmin edilebilmesi için, uzun vadeli arazi verileri ve gözlemsel metodların gerekliliğini ortaya çıkarmıştır.

Bir boyutlu konsolidasyon teorisi zemin mekanığının pratik temel mühendisliğine önemli bir katkısıdır. Bir boyutlu sıkışma ve bir boyutlu drenaj sonucu oturma, bu teori ile çok iyi açıklanıldığı ölçüde kabul görmüştür. Bununla beraber, meydana gelecek oturma



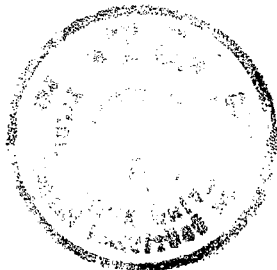
tahmini olaylarında teorinin etkili olabilmesi için biraz mühendislik sağduyusu buna ilaveten vazgeçilmezdir.

Parabolik tip bir kısmi diferansiyel denklem olan konsolidasyon denkleminin, başlangıç ve sınır şartları, ve denklemin bir katsayısi önceden saptandığında tek bir çözüm verdiği bilinmektedir. Bu yaygın bir bilgidir öyleki, bu denklemin pratik uygulamaları çözümün sadece bu karakteristiğinden yararlandığı eğilimini göstermiştir. Gerçekte, sıradan bir oturma analizine göre boşluk suyu basıncının başlangıç dağılımı, drenaj boyu, zeminin son düşey şekil değiştirmesi gibi şartlar ve konsolidasyon katsayısi analiz öncesinde verilmek üzere doğal olarak gözönüne alınırlar. Bununla beraber, bu şartların tahmini genellikle yüksek derecede belirsizlik içерdiği de yaygın olarak kabul edilmiştir. Bu yüzden oturma tahmini üzerine mühendislik çalışması genellikle bazı geçmiş tecrübe sahip olmakla tahmin edilir.

Asaoka(1978) tarafından oturma tahmini için yeni bir fikir sunulmuştur, bunun felsefesi gözlemsel işlem üzerine kurulmuştur. Oturmanın zamanla alınan datalarının eğim denklemi önce bir boyutlu konsolidasyon denkleminden çıkarılır, bundan sonra geçmiş gözlemler kullanılarak gelecekteki oturma tahmin edilir. İki tip pratik metod ortaya konmuştur. Biri grafik metod olup, üstünlüğü basit olmasıdır. Diğer, gelecekteki oturmanın bir tahmini olasılığını verebilen ve sonra oturma problemlerinin güvenirlilik üzerine kurulan tasarımcı için bir ön teori de sağlayabilen, sabit olmayan olasılıksal işleminin Bayesian 'nın geliştirdiği sonuç çıkarma metodu üzerine kurulmuştur.

Ortaya konan yöntemin, kum kazıklarının drenajından dolayı meydana gelen oturmayı ihtiyaç eden bazı diğer özel problemler için de uygulanabilir olduğu gösterilmiştir.

Yumuşak ve doygun zeminler üzerine toprak dolgu inşası esnasında karşılaşılan stabilité sorunlarının temel kaynağı inşaat esnasında oluşan ilave boşluk suyu basınçlarıdır. Yüksek değerlere ulaşabilen ilave boşluk suyu basınçları efektif gerilmeleri ve dolayısıyla mukavemeti azaltarak temel zemini içinde bölgesel kaymala ve daha sonra topyekün göçmeye sebebiyet verebilmektedir. Bu durumun kontrol edilebilmesi için uygulanan kademeli yükleme yöntemi ile konsolidasyon aşamalarında ilave boşluk suyu basıncının dağılması ile ulaşılan zemin yoğunluğunundaki ve dolayısıyla mukavemetindeki artıştan yararlanarak tek aşamada ulaşabilecek olandan çok daha yüksek dolgular inşa edilebilir. Ancak ilave boşluk suyu basıncının dağılması için gerekli olan bekleme süreleri genellikle çok uzun olmaktadır. Konsolidasyon süresini kısaltmak için düşey drenlerin kullanılması Kjellman(1948) 'in prefabrike bant drenleri keşfinden itibaren olağan hale gelmiştir. Bu durum dolgu altındaki yumuşak zeminin konsolidasyonuna yönelik ön hesaplama tekniklerine düşey drenlerin sağladığı hızlanma ve buna bağlı zemin davranışında gerekli uyarmaların yapılması gibi ilave problemlerin çözümünü getirme zorunluluğunu katmaktadır. Düşey drenler permeabilitesi düşük ve dokusu tabii drenajı kolaylaştıracak süreksizlikleri içermeyen nispeten homojen yumuşak killerde özellikle gereklidir. İlaveten tabakalı zeminlerde de düşey drenlerden geniş ölçüde yararlanılabilmektedir.



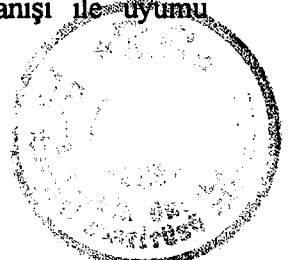
Bir zemin kütlesi içerisinde bünyesel değişikliklerin ve dokunun kümülatif etkisini aktaracak bir kütlesel permeabilite katsayısı elde etmenin geoteknik tasarımin en zor konularından biri olduğu Jamiolkowski et al. (1983) tarafından ifade edilmiştir. Bu bakımdan araştırmacılar drenlerin konsolidasyonunun gelişimi üzerindeki etkisini sayısal ifade edebilmek için basitleştirilmiş analitik yöntemleri tercih etmektedirler. Bu yöntemlerden en çok kullanılanları (Barron, 1948; Hansbo, 1981) konsolidasyonun lineer sıkışma özelliklerine sahip uniform bir zemin kolonu içinde meydana geldiğini kabul ederler. Bu zemin kolonu, bir drenin etrafında drenin etki alanı içine giren zemin kütlesini kapsayan silindir şeklinde ve yatay yönde deform olmayan bir zemin birimi olarak düşünülür.

İnşaat sonrası aşırı oturmaların azaltılması için zemin iyileştirme yöntemlerinden biri olan önyükleme ve düşey drenler, yatırım ve inşaat programlarının izin vermesi halinde ekonomik ve uygulanabilir bir çözüm olarak ortaya çıkmaktadır. Uygulamada, tasarımın başarısında, diğer zemin mühendisliği problemlerinde olduğu gibi arazideki şartları gerçeğe uygun yansıtacak zemin parametrelerinin seçimi en önemli aşama olarak ortaya çıkmaktadır. Düşey drenler ile konsolidasyon hızlandırılması yönteminde tasarım parametrelerinin belirlenmesinde arazide tecrübe uygulaması, laboratuar ve arazi deneylerinin yorumlanması ve birlikte değerlendirilmesi önem taşıdığı görülmektedir.

Bu çalışmaya konu olan İstanbul Alibey Barajı, 35 m'ye varan kalınlıkta yumuşak alüvyal kil tabakaları üzerinde yaklaşık 15 yıldır yayılan kademeli dolgu yerleştirilmesi ile inşa edilmiş ve arazi ölçüm aletleri ile temel zemininde oluşan boşluk suyu basıncı değişimleri ve zemin hareketleri gözlem altında tutulmuştur. Alışılmışın dışında bir en kesite sahip olan bu toprak dolgu barajın menba ve mansap batardoları doğrudan temel zemini üzerine kademeli olarak yerleştirilmiş, baraj gövdesinin değişik kesitlerinde ise konsolidasyonu hızlandırmak için farklı aralıklarda düşey kum drenler kullanılmıştır.

Bu çalışmada, baraj altında farklı kesitlerde temel zeminde meydana gelen oturmaların zamana bağlı gelişimi Terzaghi konsolidasyon teorisini kullanılarak hesaplanmıştır. Kademeli inşaat programına uygun olarak, öncelikle menba batardosu altında meydana gelen oturmalar hesaplanmış ve arazi ölçümüleri ile karşılaştırılarak zemin özelliklerinin arazi davranışını ile uyumu sağlanmıştır. Daha sonra barajın diğer kesitlerinde meydana gelen oturmalar hesaplanarak yaklaşık 25 yıl süre ile tutulan arazi ölçümüleri ile karşılaştırılmıştır. Alibey Barajı örneğinde olduğu gibi taşıma gücü yeterli olmayan yumuşak kohezyonlu zemin tabakaları üzerine inşa olunacak toprak dolgularda, önyükleme ve kademeli inşaat programlarının yapılmasında, arazi oturma ölçümüne dayanan gerçekçi konsolidasyon analizlerinin gerekliliği doğrulanmıştır.

Bu araştırmada, Alibey Barajı temel zeminde, kademeli dolgu inşaatından kaynaklanan gerilme artışıları ve yer değiştirmeler zemin davranışının elastik ve elasto-plastik bünye denklemleri ile tanımlanması ile hesaplanmıştır. Sonlu elemanlar yönteminin kullanıldığı analizlerde, temel zemininin kademeli yükleme altında konsolidasyonu sonucu zemin özelliklerinde meydana gelen iyileşme de dikkate alınmıştır. Öncelikle, inşaat programına uygun olarak, menba batardosu altında oluşan gerilme ve yer değiştirmeye dağılımları için elastik ve elasto-plastik analiz sonuçları karşılaştırılmış ve arazi davranışını ile uyumu



sağlanmıştır. Bu şekilde doğrulanın zemin özellikler kullanılarak ve kademeli dolgu inşaatına uygun olarak bütün baraj kesiti için temel zeminde oluşan gerilme ve yer değiştirmeler hesaplanmıştır. Analiz sonuçları, dolgu yükü altındaki yüksek sıkışabilirliğe sahip yumuşak zeminlerde, düşük yük kademelerinde bile plastik bölgelerin olduğunu, bu yüzden bu tip zeminlerde elasto-plastik analiz yapılmasının daha uygun olacağını göstermiştir. Ayrıca kademeli dolgu inşaatı sırasında yumuşak zeminde gelen konsolidasyon sonucu malzeme parametrelerindeki iyileşmenin hesaplara yansıtılmasının gerekliliği ve bunun barajın güvenli bir şekilde inşaası için uygulanan inşaat programının belirlenmesinde dikkate alınması gerektiği görülmüştür.



BÖLÜM 2

2. ALİBEY BARAJININ TEKNİK VE GEOTEKNİK ÖZELLİKLERİ

Alibey Barajı, İstanbul şehrinin hızla artan nüfusuna paralel olarak içme, kullanma ve endüstri suyu ihtiyacını karşılamak üzere 1960'lıarda planlanan, Alibey deresi üzerine inşa edilmiş bir toprak dolgu barajdır. Baraj inşasından sonra baraj gövdesi arkasında kalan göl havzası geniş bir vadide kapsamaktadır.

İstanbul Alibey Barajı, 35 m'ye varan kalınlıkta yumuşak alüvyal kil tabakaları üzerinde yaklaşık 15 yıla yayılan kademeli dolgu yerleştirilmesi ile inşa edilmiş ve arazi ölçüm aletleri ile temel zemininde oluşan boşluk suyu basıncı değişimleri ve zemin hareketleri gözlem altında tutulmuştur. Alışılmışın dışında bir en kesite sahip olan bu toprak dolgu barajın memba ve mansap batardoları doğrudan temel zemini üzerine kademeli olarak yerleştirilmiş, baraj gövdesinin değişik kesitlerinde ise konsolidasyonu hızlandırmak için farklı aralıklarda düşey kum drenler kullanılmıştır.

2.1. Alibey Barajının Teknik Özellikleri

2.1.1. Hidrolik Karakteristikleri

Drenaj alanı	:	160	km ²
Yıllık ortalama su	:	1.5	m ³ /sn.
Derede pik akış	:	1000	m ³ /sn.
Ortalama yıllık yağış	:	800	mm/yıl
Ortalama yıllık akım	:	280	mm/yıl
Ortalama yıllık buharlaşma	:	0.8x10 ⁶	m ³ /yıl
Rezervuar Maks. depolama kapasitesi	:	66 x10 ⁶	m ³
Aktif Depolama (26.00 m kotunda)	:	35 x10 ⁶	m ³
Verimli kapasite	:	39 x10 ⁶	m ³
Normal su kotu	:	26.00	m
Maksimum su kotu	:	29.75	m

2.1.2. Baraj

İnşaat gayesi	:	İstanbul şehrinin su ihtiyacını karşılamak.
Tipi	:	Toprak dolgu
Yüksekliği (Talvegten)	:	28.00 m
Talveg kotu	:	6.00m
Kret kotu	:	34.00 m
Kret uzunluğu	:	304.00 m
Kret genişliği	:	15.00 m
Dolgu hacmi	:	2000000 m ³

2.1.3. Dolusavak

Yeri	: Sağ sahil
Tipi	: Kapaklı (8.35×10.20)x2
Feyezan piki	: 1000 m^3
Yaklaşım kanalı kotu	: 20.00 m
Eşik kotu	: 22.50 m
Kret uzunluğu	: 20.63 m
Enerji kırıcı tesis tipi	: Savurucu eşik ile dereye desarj
Hafriyat hacmi	: 675000 m^3 çatlaklı kaya

2.1.4. Derivasyon Tüneli ve Dipsavak

İnşaa yılı	: 1967-1968
Yeri	: Sol sahil
Sayısı	: 1 Adet
Hesap kapasitesi	: 130 m^3/sn
İç çapı	: Menbada 4.00 m, Mansapta 2.00 m.
Uzunluğu	: 503.97 m
Hafriyat hacmi	: 12000 m^3
Beton hacmi	: 7000 m^3
Dipsavak hesap kapasitesi	: 107.50 m^3/sn
Su alma tipi	: Kapaklı kule

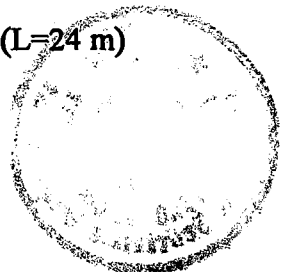
Derivasyon tüneli aynı zamanda dipsavak olarak kullanılmıştır.

2.1.5. Dipsavak daimi Techizatı

İnşaa yılı	: 1969-1970
Cebri boru çapı	: 1.80-2.00-3.00 m
Cebri boru uzunluğu	: 207.00 m
Tehlike vanası tipi ve boyutu	: $\phi 1.80$ m kelebek vana : $\phi 1.75$ m konik vana
Tehlike vanası adedi	: 3 Adet kelebek vana : 3 Adet konik vana
Deşarj vanası tipi ve boyutu	: Sürgülü, 1.40x1.40 m

2.1.6. Tünel giriş yapısı

İnşaa yılı	: 1969
Görevi	: Kontrollü su alma ağzı
Taban kotu (Temel)	: 2.75 m
Üst kotu	: 44.40 m
Izgara adedi	: 7 Adet
Kapak adedi	: 5 Adet
Ulaşım imkanı	: Sol sahilden kafes kirişli köprüyle (L=24 m)



Beton hacmi : 3800 m³

2.1.7. Tünel çıkış yapısı

İnşaa yılı	: 1969-1970
Görevi	: Feyezanda rezervuarı boşaltma ve su verme
Taban kotu	: -1.50 m
Üst kotu	: 13.50 m
Enerji kırıcı havuz	: 2 Adet
Beton hacmi	: 5300 m ³

2.1.8. Yapılan Dolguların Karakteristikleri

a- Memba Batardosu (B-22 Aksı)

İnşaa yılı	: 1967
Yeri	: Memba
Tipi	: Kil dolgu
Taban kotu	: 6.00 m
Üst kotu	: 15.50 m
Dolgu hacmi	: 91000 m ³

b- Mansap Batardosu (B-9 Aksı)

İnşaa yılı	: 1969
Yeri	: Mansap
Tipi	: Çatıtlaklı kaya (Dolusavaktan)
Taban kotu	: 6.00 m
Üst kotu	: 14.00 m
Dolgu hacmi	: 40000 m ³

c- Temel Yükleme Testi Dolgusu (Test Dolgusu - I) (B-24 Aksı)

İnşaa yılı	: 1968
Yeri	: Mansap Batardosu ile Baraj aksı arasında
Tipi	: Kil dolgu
Taban kotu	: 6.00 m
Üst kotu	: 12.00 m
Dolgu hacmi	: 42000 m ³

d- Baraj Aksı Dolgusu (Test Dolgusu - II) (B-23 Aksı)

İnşaa yılı	: 1970
Yeri	: Baraj aksında
Tipi	: Kil dolgu + Filtre
Taban kotu	: 6.00 m



Üst kotu	:	12.00	m
Dolgu hacmi	:	46000	m^3

2.1.9. Kum Drenler

a- Baraj Aksı Altında (Test Dolgusu -II)

İnşaa yılı	:	1969
Amacı	:	Konsolidasyonu hızlandırmak
Sayısı ve Boyu	:	664 Adet (Muhtelif boyda, Maks.2/3h)
Yerleşim şekli	:	Kare 3.50x3.50 m
Toplam uzunluk	:	10452 m
Kum dren çapı	:	ϕ 0.40 m

b- Temel Yükleme Testi Dolgusu Altında (Test Dolgusu - I)

İnşaa yılı	:	1968
Amacı	:	Konsolidasyonu hızlandırmak
Sayısı ve Boyu	:	Anakaya 'ya kadar
Yerleşim şekli	:	Üçgen 5.00x5.00 m
Kum dren çapı	:	ϕ 0.40 m

c- Memba ile baraj aksı arasındaki Ara Dolgusu Altında (B-18 Aksı))

İnşaa yılı	:	1970
Amacı	:	Konsolidasyonu hızlandırmak
Sayısı ve Boyu	:	Anakaya 'ya kadar
Yerleşim şekli	:	Üçgen 7.00x7.00 m
Kum dren çapı	:	ϕ 0.40 m

2.2. Baraj Yeri Topografyası ve Jeolojisi

2.2.1. Marmara Bölgesinin Genel Jeolojisi

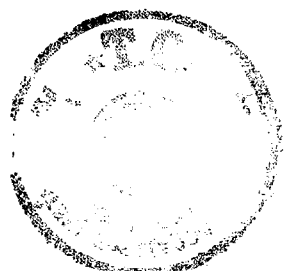
Marmara bölgesinin temelinde Paleozoyik yaşı formasyonlar yer almaktadır. Paleozoyik yaşı bu formasyonlar yakından incelendiklerinde, bunların kumtaşı, silttaşları ve kilittaşlarından oluştuğunu gözlenmektedir. Genellikle grovak olarak adlanan bu litolojiler çoğunlukla İstanbul Boğazı 'nın doğusunu oluşturan Kocaeli Yarımadası 'nın büyük bir kısmında mostra vermektedir. İstanbul Kocaeli Yarımadası 'ndaki Paleozoyik, Ordoviziyen dönemiyle başlamakta ve "Arkoz Serisi" olarak adlandırılan kırıntılı kayaçlardan oluşmaktadır. İstif üste doğru Silüren yaşı alacalı şeyl ve grovaklardan; Devoniyen, Kireçtaşı ve şeyllerden; Karbonifer dönemi ise çörtlerden, grovaklardan ve silttaşlarından (Trakya Formasyonu) meydana gelmişlerdir. Bu istif yer yer granitler tarafından kesilmektedir. Paleozoyik istifini kırmızı renkli bir konglomera-kumtaşı serisiyle başlayan Triyas yaşı formasyonlar diskordan örtmektedir. Triyas üzerine ise açılı uyumsuzlukla tansgresif olarak konglomera (Hereke Pudingleri) ve kireçtaşları

gelmektedir. Üst Kretase yaşı bu oluşukların üst seviyeleri fliş, marn ve kireçtaşlarıyla devam etmektedir. Paleozoyik ve Mesozoyik yaşı formasyonlar ve Senozoyik yaşı genç çökeller tarafından diskordan örtülmektedir. Tersiyer yaşı genç çökeller genellikle İstanbul Boğazı batısında Trakya Havzası 'nda oluşmuşlar ve bu bölgede geniş mostra yayılımlarıyla dikkati çekmektedirler. Edirne-İstanbul arasında yer alan bu sedimentlerin kalınlıkları yer yer ikibin metreyi geçmektedir. Trakya Havzası 'nın Orta Eosen döneminde çökelmete başlayan sedimentleri birbirini izleyen dönemlerde trasgresyon olmuş ve regresyonla sonlanarak gelişmişlerdir. Çökelme, önce sıçan tortularıyla başlamış, bunu derinleşen deniz tortuları izlemiş, daha sonra tekrar sıçan deniz ve karasal tortullarla sonuçlanmıştır. Bunun sonucu, ya kireçtaşları ve sıçan deniz kırıntıları, ya da mikali kum ve killerden oluşan tortullar çökelmişlerdir. Neojen yaşı, genç çökeller ise Eosen yaşı formasyonlar üzerinde diskordan olarak gelişen karasal-gölsel oluşuklardır. Bunlar alttan üste doğru aşırı konsolide kil (Gürpınar Formasyonu), çakılı siltli kum (Çukurçeşme Formasyonu), organik kil (Güngören Formasyonu) ve marn-kireçtaşlarıdır (Bakırköy Formasyonu). Tüm bu formasyonlar dere yataklarında güncel alüvyal çökeller tarafından diskordan olarak örtülmektedirler.

2.2.2. Baraj Çevresinin Jeolojisi

İnceleme alanının oluşturan Alibey Barajı, Haliç'e güney yönde akarak birleşen Alibeyköy Dere'si 'nin kuzeyinde İstanbul 'un içme suyunu sağlamak amacıyla inşa edilmiş toprak dolgu tipinde bir barajdır. Bu barajın aksı grovak kayaları üzerinde yer alan ve ortalama 33.00 m kalınlığa ulaşan alüvyal çökeller üzerine oturtulmuştur. Yayvan "V" tipini oluşturan bu vadinin sol yamacında yaklaşık 26° derece ve sağ yamacında ise 23° derece eğimli yamaçları kahverenkli, ince; orta katmanlı ve bol çatlaklı kilit taşı, silt taşı ve kum taşı olarak adlandırılan grovak kayalarından oluşmaktadır. Paleozoyik yaşı Trakya Formasyonu olarak adlandırılan bu kayalarda sık sık değişen doğrultularda kıvrımlanma ve makaslama zonları gelişmiştir. Vadi tabanında ise grovak kayaları Alibey Dere'si 'nin değişik dönemlerde taşıdığı kalın bir alüvyon tabakası ile örtülmektedir. Vadi Talveg 'inde ortalama 30.000 m 'yi bu alüvyal çökeller mevcut sondajlardan elde edilen verilere göre ana kayayı oluşturan grovaklara kadar birbirleriyle korele edilebilir ve endeks özellikleri benzer 4 ana zondan meydana gelmişlerdir. Bu zonlar yüzeyden itibaren sarı kil, yeşil kil, gri kil ve çakıl zonundan oluşmaktadır. Yanal yönde ve aynı derinlikte merkezsel nitelikte devam eden bu kil gruplarının arasında bölgenin rejiminin arttığı dönemlere bağlı olarak sellenme sonucu değişik zamanlarda derenin eski dönemlerde taşıdığı çakıl ve kum cepleri yer almaktadır. Bu çakıl, kum ceplerinin yanal bir devamlılığı olmayıp, değişik düzeylerde ve kalınlıkta (Şekil 2.1) gözlenmektedir. Ancak, alüvyon çökellerinin tabanında grovak kayaları üzerinde yer alan 4. zon ise çakılı kumlu seviyeyi oluşturmaktır ve yanal devamlılığı kesiksiz olarak tüm alanda devam eden zon niteliğini taşı bir katmandır. Bu çakıl, kum zonu grovak kayaları üzerinde çökelen ilk kırıntılı birimdir ve kırıntılar yakından incelendiklerinde tabanında yer alan grovak kayalarının parçacıkları olduğu gözlenmektedir (Yıldırım, vd., 1992)

Alibey Barajı Paleotopoğrafik haritası Şekil E2.'de verilmiştir.



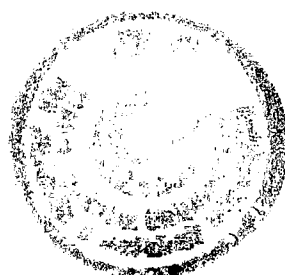
2.2.3. Baraj Temel Zemini Özellikleri

Alibey Barajı'nın inşaasına başlanmadan önce çok ayrıntılı bir arazi zemin etüdü ve laboratuar araştırmaları gerçekleştirilerek temel zemini profili ve zemin özelliklerini belirlenmiştir. Şekil 2'de baraj temel zemini profili gösterilmiştir. DSİ laboratuarları yanında, A.B.D. Massachusetts Institute of Technology (M.I.T.) laboratuarlarında da etüd sahasından alınan yüksek kalitede örselenmemiş zemin numuneleri üzerinde yapılan deneylerle temel zeminin mukavemet, gerilme-şekil değiştirme ve yük altında sıkışabilirlik özellikleri belirlenmiştir (Soydemir, 1970). Etüd sonuçlarının toplu olarak değerlendirilmesinden, arazideki kohezyonlu tabakaların drenajsız kayma mukavemetinin $s_u = 35-80$ kPa, ve drenajsız deformasyon modülünün $E_u = 14.5-33$ Mpa aralığında değiştiği, (s_u/E_u) oranının ise 410 olarak alınabileceği saptanmıştır. Şekil 3' de önkonsolidasyon basıncının derinlikle değişimi, Şekil 4' de ise sıkışma indisinin (C_c) ve tekrar sıkışma indisinin (C_s) arazi su muhtevası ile değişimi gösterilmiştir. Üç eksenli basınç deneyleri sonuçlarından elde olunan Skempton boşluk suyu basıncı parametresi A' nin farklı düşey şekil değiştirme seviyeleri için aşırı konsolidasyon oranı ile değişimi ise Şekil 5' de gösterilmiştir. Laboratuar ödometre deneyleri sonuçlarından ortalama konsolidasyon katsayısı (c_v) değeri 2×10^{-4} cm²/s olarak saptanırken, arazi boşluk suyu basıncı sökümlenmesi ve oturma okumalarından yapılan geri hesaplamalardan ortalama arazi c_v değeri 1.2×10^{-2} cm²/s olarak belirlenmiştir.

Tablo 2.1. Alibey Barajı Temel Zemini Laboratuar ve Arazi Deney Sonuçları

**ALİBEY BARAJI
BARAJ TEMELI LABORATUAR SONUÇLARI**

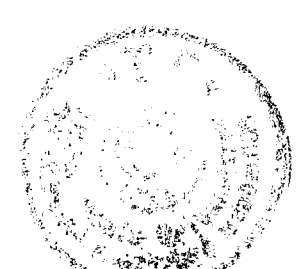
Sondaj No	Numune No	Derinlik (Kot) (m)	ATTERBERG LİMİTLERİ VE TABİİ SU MUHTEVASI					g_n (t/m³)	Zemin Sıvılığı	VANE SHEAR TEST	
			WL (%)	Wp (%)	Ip (%)	Wn (%)	K=(WL-Wn)/Ip (%)			Cu (Yögürme) (kg/cm²)	Cu (Tabii) (kg/cm²)
ASK-2		6.60									
		6.50									
		5.50									
		5.10									
		5.00									
		4.30									
		4.00									
		3.90									
		3.50									
		3.10									
		3.00									
		2.90									
		2.70									
		2.60									
		2.50									
		2.30	53.20	23.10	30.1	36.60	0.55		CH	0.22	0.73
		2.00									
		1.50									
		1.30									
		1.10									
		1.00									
		0.50									
		0.10									
		0.00									
		-0.40									
		-0.50	35.30	24.80	10.50				CL-ML	0.18	0.55
		-1.00									
		-1.30									
		-2.50									
		-2.70									
		-2.90									
		-3.00									
		-3.30									
		-3.40									
		-3.50	50.00	44.40	5.60				ML-MH	0.22	0.52
		-3.90									
		-4.10									
		-4.50									
		-5.00									
		-5.40									
		-5.50									
		-6.00								0.19	0.6
		-6.50									
		-6.90									
		-7.40									
		-7.50									
		-8.00	48.80	25.90	22.90				CL		
		-8.30									
		-8.80									
		-8.90									
		-9.00									
		-9.40									
		-9.50									
		-9.70									
		-10.00	68.70	31.60	37.10	46.90	0.59		CH	0.11	0.24
		-10.50									
		-11.00									
		-11.10									
		-11.30									
		-11.50									
		-11.90									
		-12.00									
		-12.30									
		-12.40									
		-12.50									
		-12.70									
		-12.90									
		-13.40									
		-13.50									
		-13.80									
		-13.90									
		-15.00								0.17	0.40
		-15.30									
		-15.50									
		-15.70									
		-16.50									
		-16.70									
		-17.00									
		-17.50									
		-17.90									
		-18.00									
		-18.10									
		-18.40									
		-18.50									
		-19.00									
		-19.50									
		-20.00									
		-20.90									
		-21.50									
		-22.00									
		-22.30									
		-22.50									
		-23.00									
		-23.50									
		-26.00									



Tablo 2.2. Alibey Barajı Temel Zemini Laboratuar ve Arazi Deney Sonuçları

ALİBEY BARAJI
BARAJ TEMELİ LABORATUAR SONUÇLARI

Sondaj No	Numune No	Derinlik (Km) (m)	ATTERBERG LİMİTLERİ VE TABİİ SU MUHTEVASI					g/m ³	Zemin Sınıfları	VANE SHEAR TEST	
			WL (%)	Wp (%)	I _p (%)	Wn (%)	K=(WL-Wn)/I _p (%)			Cu (Yığılmış) (kg/cm ²)	Cu (Tabii) (kg/cm ²)
ASK-3		6.60									
		6.50									
		5.50									
		5.10									
		5.00									
		4.50									
		4.00									
		3.90									
		3.50									
		3.10									
		3.00									
		2.90									
		2.70									
		2.60									
		2.50	32.10	19.60	12.3				CL	0.18	0.57
		2.30									
		2.00									
		1.50									
		1.30									
		1.10	50.40	21.20	29.20	29.60	0.71		CH-CL		
		1.00									
		0.50									
		0.10									
		0.00									
		-0.40	57.40	25.40	32.00	56.10	0.04		CH	0.18	0.39
		-0.50									
		-1.00									
		-1.30									
		-2.50									
		-2.70									
		-2.90									
		-3.00									
		-3.30									
		-3.40									
		-3.50									
		-3.90	46.80	22.50	24.30	29.00	0.73		CL	0.2	0.56
		-4.10									
		-4.50									
		-5.00									
		-5.40									
		-5.50									
		-6.00									
		-6.50									
		-6.90	48.40	23.70	24.70	44.60	0.15		CL		
		-7.40	51.80	20.40	31.40	40.20	0.37		CH	0.10	0.51
		-7.50									
		-8.00									
		-8.30									
		-8.80									
		-8.90	69.4	23.1	46.30	63	0.14		CH		
		-9.00									
		-9.40									
		-9.50									
		-9.70									
		-10.00									
		-10.50									
		-11.00									
		-11.10									
		-11.30									
		-11.50									
		-11.90									
		-12.00									
		-12.30									
		-12.40								0.29	0.41
		-12.50									
		-12.70									
		-12.90									
		-13.40	80.9	29.7	51.20	91.7	-0.21		CH		
		-13.50									
		-13.80									
		-13.90	66.8	34.6	32.20	48.6	0.57		MH		
		-15.00									
		-15.30									
		-15.50									
		-15.70									
		-16.50									
		-16.70									
		-17.00									
		-17.30									
		-17.90									
		-18.00									
		-18.10									
		-18.40	38.8	19.9	18.90	38.5	0.02		CL	0.13	0.62
		-18.50									
		-19.00									
		-19.50									
		-20.00									
		-20.50									
		-21.50									
		-22.00									
		-22.30									
		-22.50								0.40	0.81
		-23.00									
		-23.50									
		-26.00									



Tablo 2.3. Alibey Barajı Temel Zemini Laboratuar ve Arazi Deney Sonuçları

ALİBEY BARAJI BARAJ TEMELİ LABORATUAR SONUÇLARI										
Sondaj No	Numune No	Derinlik (Kot) (m)	ATTERBERG LİMİTLERİ VE TABİİ SU MUHTEVASI			$K = (WL - Wn)/Ip$ (%)	g_n (kN/m ³)	VANE SHEAR TEST		
			WL (%)	W _p (%)	Ip (%)			Cu (Yoğunluğunu) (kg/cm ²)	Cu (Tabii) (kg/cm ²)	
ASK-4		6.60								
		6.50								
		5.50								
		5.10								
		5.00								
		4.50								
		4.00	47.30	30.10	17.2	28.20	1.11		ML	
		3.90								
		3.50								
		3.10								
		3.00								
		2.90								
		2.70								
		2.60								
		2.50								
		2.30								
		2.00								
		1.50								
		1.30								
		1.10								
		1.00								
		0.50								
		0.10								
		0.00	63.40	26.30	37.10	35.40	0.75		CH	
		-0.40							0.19	
		-0.50							0.31	
		-1.00								
		-1.30								
		-2.50							0.26	
		-2.70							0.53	
		-2.90								
		-3.00								
		-3.30								
		-3.40								
		-3.50								
		-3.90								
		-4.10								
		-4.50								
		-5.00	51.30	22.60	28.70	50.50	0.03		CH	
		-5.40							0.13	
		-5.50							0.42	
		-6.00								
		-6.50								
		-6.90								
		-7.40								
		-7.50								
		-8.00								
		-8.30								
		-8.80								
		-9.90								
		-9.00								
		-9.40								
		-9.50								
		-9.70								
		-10.00								
		-10.50								
		-11.00								
		-11.10								
		-11.30								
		-11.50								
		-11.90								
		-12.00	47.30	21.30	26.00				CL	
		-12.30							0.16	
		-12.40							0.37	
		-12.50								
		-12.70								
		-12.90								
		-13.40								
		-13.50								
		-13.80								
		-13.90								
		-15.00								
		-15.30								
		-15.50								
		-15.70								
		-16.50								
		-16.70								
		-17.00								
		-17.50								
		-17.90								
		-18.00	79.8	22.8	57.00	51	0.51		CH	
		-18.10								
		-18.40								
		-18.50								
		-19.00								
		-19.50								
		-20.00								
		-20.90								
		-21.50								
		-22.00	71	26.6	44.40	51.6	0.44		CH	
		-22.30								
		-22.50								
		-23.00								
		-23.30								
		-26.00								



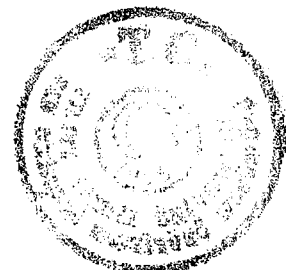
Tablo 2.4. Alibey Barajı Temel Zemini Laboratuar ve Arazi Deney Sonuçları

ALİBEY BARAJI BARAJ TEMELİ LABORATUAR SONUÇLARI									
Sondaj No	Numune No	Derinlik (Kot) (m)	ATTERBERG LİMİTLERİ VE TARIİ SU MUHTEVASI				Zemin Sınıfı	VANE SHEAR TEST	
			WL (%)	Wp (%)	I _p (%)	Wn (%)		g _n (t/m ³)	Cu (Yoğrulma) (kg/cm ²)
ASK-7		6.60							
		6.50							
		5.50							
		5.10							
		5.00							
		4.50							
		4.00							
		3.90							
		3.50							
		3.10							
		3.00							
		2.90							
		2.70							
		2.60							
		2.50	36.10	19.50	16.6	36.40	-0.02		
		2.30						CL	
		2.00							
		1.50							
		1.30							
		1.10							
		1.00							
		0.50							
		0.10							
		0.00							
		-0.40							
		-0.50	40.30	23.50	16.8	29.60	0.64		
		-1.00						CL	
		-1.30							
		-2.50							
		-2.70							
		-2.90							
		-3.00							
		-3.30							
		-3.40							
		-3.50	47.10	24.80	22.30	29.40	0.79		
		-3.90						CL-CH	
		-4.10							
		-4.50							
		-5.00							
		-5.40							
		-5.50							
		-6.00							
		-6.50							
		-6.90							
		-7.40							
		-7.50	57	26.5	30.50	48	0.30		
		-8.00						CH	
		-8.30							
		-8.80							
		-8.90							
		-9.00							
		-9.40							
		-9.50							
		-9.70							
		-10.00							
		-10.50	88.9	24.2	64.70	52.9	0.56		
		-11.00						CH	
		-11.10							
		-11.30							
		-11.50							
		-11.90							
		-12.00							
		-12.30							
		-12.40							
		-12.50							
		-12.70							
		-12.90							
		-13.40							
		-13.50							
		-13.80							
		-13.90							
		-15.00							
		-15.30							
		-15.50							
		-15.70							
		-16.50							
		-16.70							
		-17.00							
		-17.50							
		-17.90							
		-18.00							
		-18.10							
		-18.40							
		-18.50							
		-19.00							
		-19.50							
		-20.00	48.2	26.9	21.30	55.4	-0.34		
		-20.90						CL-CH	
		-21.50							
		-22.00							
		-22.30							
		-22.50							
		-23.00							
		-23.50							
		-26.00							

Tablo 2.5. Alibey Barajı Temel Zemini Laboratuar ve Arazi Deney Sonuçları

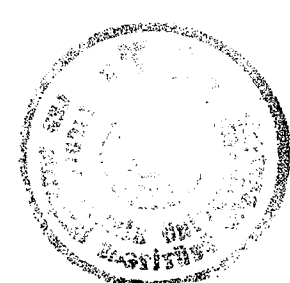
ALİBEY BARAJI
BARAJ TEMELİ LABORATUAR SONUÇLARI

Sondaj No	Numune No	Derinlik (Kot) (m)	ATTERBERG LİMİTLERİ VE TABİİ SU MUHTEVASI					VANE SHEAR TEST		
			WL (%)	Wp (%)	Ip (%)	Wn (%)	K=(WL-Wn)/Ip (%)	gr (t/m³)	Zemin Sıvı Cu (Yığulmuş) Cu (Tabii) (kg/cm²) (kg/cm²)	Cu (Tabii) (kg/cm²)
ASK-8		6.60								
		6.50								
		5.50								
		5.10								
		5.00								
		4.50								
		4.00								
		3.90								
		3.50								
		3.10								
		3.00								
		2.90								
		2.70								
		2.60								
		2.50	53.40	22.10	31.3	42.40	0.35		CH	0.18
		2.30								0.42
		2.00								
		1.50								
		1.30								
		1.10								
		1.00								
		0.50								
		0.10								
		0.00								
		-0.40								
		-0.50	39.20	24.10	15.1	29.90	0.62		CL-ML	
		-1.00								
		-1.30								
		-2.50								0.86
		-2.70								
		-2.90								
		-3.00								
		-3.30								
		-3.40								
		-3.50								
		-3.90								
		-4.10								
		-4.50								
		-5.00								
		-5.40								
		-5.50								
		-6.00								
		-6.50								
		-6.90								
		-7.40								
		-7.50								
		-8.00								
		-8.30								
		-8.80								
		-8.90								
		-9.00								
		-9.40								
		-9.50								
		-9.70								
		-10.00								
		-10.50	81	27.8	53.20	65.4	0.29		CH	0.21
		-11.00								0.41
		-11.10								
		-11.30								
		-11.50								
		-11.90								
		-12.00								
		-12.30								
		-12.40								
		-12.50								
		-12.70								
		-12.90								
		-13.40								
		-13.50								
		-13.80								
		-13.90								
		-15.00								
		-15.30								
		-15.50								
		-15.70								
		-16.50								
		-16.70								
		-17.00								
		-17.50								
		-17.90								
		-18.00								
		-18.10								
		-18.40								
		-18.50	28.1	16.7	11.40	37.2	-0.80		CL	0.19
		-19.00								0.62
		-19.50								
		-20.00								
		-20.90								
		-21.50								
		-22.00								
		-22.30								
		-22.50								
		-23.00								
		-23.50								
		-26.00								
										SC
										0.70



Tablo 2.6. Alibey Barajı Temel Zemini Laboratuar ve Arazi Deney Sonuçları

ALİBEY BARAJI BARAJ TEMELİ LABORATUAR SONUÇLARI								VANE SHEAR TEST			
Sondaj No	Numune No	Derinlik (Köf.) (m)	WL (%)	Wp (%)	Ip (%)	Wn (%)	K=(WL-Wn)/Ip (%)	gn (t/m³)	Zemin Sınıflı	Cu (Yoğulmuş) (kg/cm²)	Cu (Tabii) (kg/cm²)
ASK-9		6.60									
		6.50									
		5.50									
		5.10									
		5.00									
		4.50									
		4.00									
		3.90									
		3.50									
		3.10									
		3.00									
		2.90									
		2.70									
		2.60									
		2.50	48.00	21.80	26.2	30.20	0.68		CL-CH		
		2.30									
		2.00									
		1.50									
		1.30									
		1.10									
		1.00									
		0.50	39	18.3	20.70				CL		
		0.10									
		0.00									
		-0.40									
		-0.50									
		-1.00									
		-1.30									
		-2.50									
		-2.70									
		-2.90									
		-3.00									
		-3.30									
		-3.40									
		-3.50									
		-3.90									
		-4.10									
		-4.50									
		-5.00									
		-5.40									
		-5.50									
		-6.00									
		-6.50									
		-6.90									
		-7.40									
		-7.50									
		-8.00									
		-8.30									
		-8.80									
		-8.90									
		-9.00									
		-9.40									
		-9.50									
		-9.70									
		-10.00									
		-10.50									
		-11.00									
		-11.10									
		-11.30									
		-11.50									
		-11.90									
		-12.00									
		-12.30									
		-12.40									
		-12.50									
		-12.70									
		-12.90									
		-13.40									
		-13.50									
		-13.80									
		-13.90									
		-15.00									
		-15.30									
		-15.50									
		-15.70									
		-16.50							0.29	0.675	
		-16.70									
		-17.00									
		-17.50	42	19.9	22.10				CL		
		-17.90									
		-18.00									
		-18.10									
		-18.40									
		-18.50									
		-19.00									
		-19.50									
		-20.00	43.9	23.1	20.80	36.2	0.37		CL	0.22	0.72
		-20.50									
		-21.50									
		-22.00									
		-22.30									
		-22.50									
		-23.00									
		-23.50									
		-26.00									



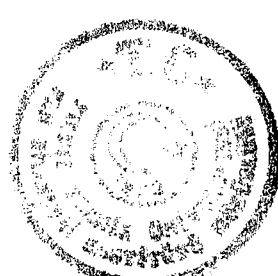
Tablo 2.7. Alibey Barajı Temel Zemini Laboratuar ve Arazi Deney Sonuçları

ALİBEY BARAJI BARAJ TEMELİ LABORATUAR SONUÇLARI												
ATTERBERG LİMİTLERİ VE TABİİ SU MUHTEVASI												
Sondaj No	Numune No	Deminlik (Kot) (m)	WL (%)	Wp (%)	I _p (%)	Wn (%)	K=(WL-Wn)/I _p (%)	g _n (t/m ³)	Zemin Sınıfları	VANE SHEAR TEST		
ASK-10		6.60 6.50 5.50 5.10 5.00 4.50 4.00 3.90 3.50 3.10 3.00 2.90 2.70 2.60 2.50 2.30 2.00 1.50 1.30 1.10 1.00 0.50 0.10 0.00 -0.40 -0.50 -1.00 -1.30 -2.50 -2.70 -2.90 -3.00 -3.30 -3.40 -3.50 -3.90 -4.10 -4.50 -5.00 -5.40 -5.50 -6.00 -6.50 -6.90 -7.40 -7.50 -8.00 -8.30 -8.80 -8.90 -9.00 -9.40 -9.50 -9.70 -10.00 -10.50 -11.00 -11.10 -11.30 -11.50 -11.90 -12.00 -12.30 -12.40 -12.50 -12.70 -12.90 -13.40 -13.50 -13.80 -13.90 -15.00 -15.30 -15.50 -15.70 -16.50 -16.70 -17.00 -17.50 -17.90 -18.00 -18.10 -18.40 -18.50 -19.00 -19.50 -20.00 -20.90 -21.50 -22.00 -22.30 -22.50 -23.00 -23.50 -26.00		63.40 57.2 41.1	29.90 21.4 17.2	33.5 35.80 23.90	29.70 28.4 40.2	1.01 0.80 0.04		CH CH-MH CH	0.09 0.23 0.12	0.69 0.56 0.28



Tablo 2.8. Alibey Barajı Temel Zemini Laboratuar ve Arazi Deney Sonuçları

ALİBEY BARAJI BARAJ TEMELİ LABORATUAR SONUÇLARI								VANE SHEAR TEST			
Sondaj No	Nütritif No	Dermik (Kot) (m)	WL (%)	Wp (%)	Ip (%)	Wn (%)	K=(WL-Wn)/Ip (%)	gn (t/m³)	Zemin Sınıfı	Cu (Yığılmaz) (kg/cm²)	Cu (Tabii) (kg/cm²)
ASK-12		6.60 6.50 5.50 5.10 5.00 4.50 4.00 3.90 3.50 3.10 3.00 2.90 2.70 2.60 2.50 2.30 2.00	54.30	24.90	29.4	38.40	0.54		CH		
		1.50 1.30 1.10 1.00 0.50 0.10 0.00 -0.40 -0.50 -1.00	34.9	18	16.90	34.2	0.04		CL	0.18	0.38
		-1.30 -2.50 -2.70 -2.90 -3.00 -3.30 -3.40 -3.50 -3.90 -4.10 -4.50 -5.00 -5.40 -5.50 -6.00 -6.50 -6.90 -7.40 -7.50 -8.00 -8.30 -8.80 -8.90 -9.00 -9.40 -9.50 -9.70 -10.00 -10.50 -11.00 -11.10 -11.30 -11.50 -11.90 -12.00 -12.30 -12.40 -12.50 -12.70 -12.90 -13.40 -13.50 -13.80 -13.90 -13.60 -13.30 -15.50 -15.70 -16.50 -16.70 -17.00 -17.50 -17.90 -18.00 -18.10 -18.40 -18.50 -19.00 -19.50 -20.00	56.1	26.9	29.20	43	0.45		0.32	0.63	
		-20.90 -21.50 -22.00 -22.30 -22.50 -23.00 -23.50 -26.00	53.6	25.4	28.20	42.6	0.39	CL-CH	0.13	0.50	

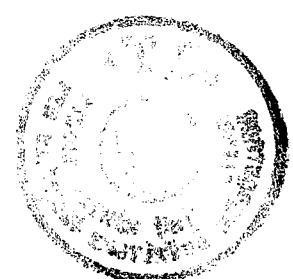


Tablo 2.9. Alibey Barajı Temel Zemini Laboratuar ve Arazi Deney Sonuçları

ALİBEY BARAJI

BARAJ TEMELİ LABORATUAR SONUÇLARI

Sıraç No	Numune No	Derinlik (Kot) (m)	ATTERBERG LİMİTLERİ VE TABİİ SU MUHTEVASI				g/m ³	Zemin Sıvılığı	VANE SHEAR TEST	
			WL (%)	Wp (%)	Ip (%)	Wn (%)			K=(WL-Wn)/Ip (%)	Cu (Yığılmış) (kg/cm ²)
VSK-1		6.60	20		0					
		6.50								
		5.50								
		5.10								
		5.00								
		4.50								
		4.00								
		3.90								
		3.50								
		3.10								
		3.00	28.80	17.50	11.3	20.10	0.77	CL - ML	0.23	0.58
		2.90								
		2.70								
		2.60								
		2.30								
		2.30								
		2.00								
		1.50	65.40	31.40	34.00	33.30	0.94	CH	0.12	0.41
		1.30								
		1.10								
		1.00								
		0.50								
		0.10								
		0.00	54.30	27.10	27.20	29.40	0.92	CH	0.31	0.43
		-0.40								
		-0.50								
		-1.00	39.00	21.10	17.90	24.60	0.80	CL	0.17	0.41
		-2.50								
		-2.70	37.10	17.90	19.20	26.20	0.57	CL	0.12	0.25
		-2.90								
		-3.00								
		-3.30								
		-3.40								
		-3.50								
		-3.90								
		-4.10	68.20	27.90	40.30	41.10	0.67	CH	0.10	0.32
		-4.50								
		-5.00								
		-5.40	47.20	26.60	20.60	39.30	0.38	CL	0.06	0.42
		-6.00								
		-6.50	69.90	28.20	41.70	40.40	0.71	CH	0.05	0.43
		-7.40								
		-7.50								
		-8.00								
		-8.30	69.20	27.40	41.80	39.60	0.71	CH	0.09	0.35
		-8.80								
		-8.90								
		-9.00								
		-9.40								
		-9.50	55.40	18.00	37.40	32.40	0.61	CH	0.06	0.38
		-10.00								
		-10.50								
		-11.00	77.20	27.10	50.10	65.20	0.24	CH	0.06	0.47
		-11.10								
		-11.30								
		-11.50								
		-11.90								
		-12.00								
		-12.30								
		-12.40								
		-12.50	80.20	30.00	50.20	63.30	0.34	CH	0.10	0.48
		-12.70								
		-12.90								
		-13.40								
		-13.50								
		-13.80	65.50	28.80	36.70	48.50	0.46	CH	0.12	0.35
		-15.00								
		-15.30	52.20	25.70	26.50	39.00	0.50	CH	0.12	0.33
		-15.70								
		-16.50								
		-16.70								
		-17.00	58.90	29.3	29.60	45.30	0.46	CH	0.21	0.44
		-17.50								
		-17.90								
		-18.00								
		-18.10								
		-18.40								
		-18.50								
		-19.00								
		-19.50								
		-20.00								
		-20.90								
		-21.30								
		-22.00								
		-22.30								
		-23.00	31.10	19.7	11.40	16.1	1.32	CL		1.06
		-23.50								
		-26.00	100		58.4					



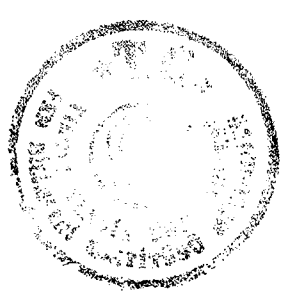
Tablo 2.10. Alibey Barajı Temel Zemini Laboratuar ve Arazi Deney Sonuçları

ALİBEY BARAJI BARAJ TEMELİ LABORATUAR SONUÇLARI										
Sondaj No	Numune No	Derinlik (Kot) (m)	ATTERBERG LİMITLERİ VE TABİİ SU MUHTEVASI			K=(WL-Wp)/Ip (%)	gn (t/m³)	Zemin Sınıfları	VANE SHEAR TEST	
			WL (%)	Wp (%)	Ip (%)				Cu (Yığılmış) (kg/cm²)	Cu (Tabii) (kg/cm²)
VSK-2		6.60								
		6.50								
		5.50								
		5.10								
		5.00								
		4.50								
		4.00								
		3.90								
		3.50								
		3.10								
		3.00	29.60	15.60	14	24.00	0.40	CL	0.11	0.48
		2.90								
		2.70								
		2.60								
		2.50								
		2.30								
		2.00								
		1.50	25.30	18.60	6.70	20.00	0.79	CL-ML	0.11	0.58
		1.30								
		1.10								
		1.00								
		0.50								
		0.10								
		0.00	22.90	16.40	6.50	18.00	0.75	CL-ML	0.14	0.74
		-0.40								
		-0.50								
		-1.00								
		-1.30	20.20	14.50	5.70	19.90	0.05	CL-ML	0.19	0.48
		-2.30								
		-2.70	76.50	41.30	35.20	43.60	0.93	CH-MH	0.21	0.46
		-2.90								
		-3.00								
		-3.30								
		-3.40								
		-3.50								
		-3.90								
		-4.10	57.10	41.00	16.10	45.30	0.73	MH	0.19	0.68
		-4.50								
		-5.00								
		-5.40								
		-5.50	42.30	36.90	5.40	30.70	2.15	ML	0.18	0.97
		-6.00								
		-6.50								
		-6.90				35.20			0.12	0.94
		-7.40								
		-7.50								
		-8.00								
		-8.30								
		-8.80								
		-8.90								
		-9.00								
		-9.40								
		-9.50								
		-9.70								
		-10.00								
		-10.50								
		-11.00								
		-11.10								
		-11.30								
		-11.50								
		-11.90								
		-12.00								
		-12.30								
		-12.40								
		-12.50								
		-12.70								
		-12.90								
		-13.40								
		-13.50								
		-13.80								
		-13.90								
		-15.00								
		-15.30								
		-15.50								
		-15.70								
		-16.50								
		-16.70								
		-17.00								
		-17.50								
		-17.90								
		-18.00								
		-18.10								
		-18.40								
		-18.50								
		-19.00								
		-19.50								
		-20.00								
		-20.90								
		-21.50								
		-22.00								
		-22.30								
		-22.50								
		-23.00								
		-23.50								
		-26.00								



Tablo 2.11. Alibey Barajı Temel Zemini Laboratuar ve Arazi Deney Sonuçları

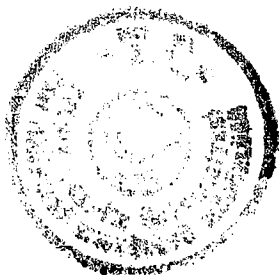
ALİBEY BARAJI BARAJ TEMELİ LABORATUAR SONUÇLARI												
Sondaj No	Numune No	Derinlik (Kot) (m)	ATTERBERG LİMİTLERİ VE TABİ SU MUHTEVASI		Wp (%)	Ip (%)	Wn (%)	K=(WL-Wn)/Ip (%)	g _n (N/m ³)	Zemin Sınıfı	VANE SHEAR TEST	
			WL (%)	Wn (%)							Cu (Yögürmeli) (kg/cm ²)	Cu (Tabii) (kg/cm ²)
VSK-3		6.60										
		6.50										
		5.50										
		5.10										
		5.00										
		4.50										
		4.00										
		3.90										
		3.50										
		3.10										
		3.00										
		2.90										
		2.70										
		2.60										
		2.50	60.30	32.50	27.8	29.80	1.10			CH	0.17	0.55
		2.30										
		2.00										
		1.50										
		1.30										
		1.10										
		1.00	61.40	24.60	36.80	40.90	0.56			CH	0.11	0.28
		0.50									0.04	0.31
		0.10										
		0.00	57.60	20.20	37.40	33.70	0.64			CH	0.28	0.57
		-0.40										
		-0.50										
		-1.00										
		-1.30	42.00	22.30	19.70	28.00	0.71			CL	0.23	0.55
		-2.50										
		-2.70	33.50	18.30	15.20	28.10	0.36			CL	0.22	0.43
		-2.90										
		-3.00										
		-3.30										
		-3.40										
		-3.50										
		-3.90										
		-4.10	74.40	33.40	41.00	47.80	0.65			CH	0.08	0.43
		-4.50										
		-5.00										
		-5.40										
		-5.50	58.40	23.20	35.20	44.70	0.39			CH	0.19	0.37
		-6.00										
		-6.50										
		-6.90	71.60	33.80	37.80	56.90	0.39			CH	0.12	0.38
		-7.40										
		-7.50										
		-8.00										
		-8.30	60.80	22.80	38.00	48.00	0.34			CH	0.06	0.39
		-8.80										
		-8.90										
		-9.00										
		-9.40										
		-9.50										
		-9.70										
		-10.00	75.70	30.50	45.20	49.50	0.58			CH	0.03	0.38
		-10.50										
		-11.00										
		-11.10										
		-11.30										
		-11.50	90.60	23.20	67.40	71.20	0.29			CH	0.12	0.42
		-11.90										
		-12.00										
		-12.30										
		-12.40										
		-12.50	84.20	38.20	46.00	65.30	0.41			CH	0.05	0.43
		-12.70										
		-12.90										
		-13.40										
		-13.50										
		-13.80										
		-13.90	78.60	33.40	45.20	52.60	0.58			CH	0.18	0.53
		-15.00										
		-15.30										
		-15.50	74.70	26.90	47.80	49.50	0.53			CH	0.24	0.56
		-15.70										
		-16.50										
		-16.70	49.20	27.20	22.00	38.70	0.48			CL-CH	0.10	0.50
		-17.00										
		-17.50										
		-17.90										
		-18.00										
		-18.10										
		-18.40										
		-18.50										
		-19.00										
		-19.50	74.70	26.8	47.90	58.00	0.35			CH	0.17	0.65
		-20.00										
		-20.90	82.20	37.8	44.40	41.8	0.91			CH	1.10	
		-21.50										
		-22.00										
		-22.30										
		-22.50										
		-23.00										
		-23.50										
		-26.00										



Tablo 2.12. Alibey Barajı Temel Zemini Laboratuar ve Arazi Deney Sonuçları

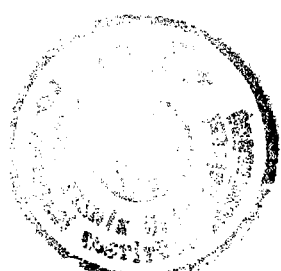
ALIBEY BARAJI
BARAJ TEMELİ LABORATUAR SONUÇLARI

Sondaj No	Numune No	Derinlik (Kot) (m)	ATTERBERG LİMİTLERİ VE TABİİ SU MUHTEVASI					g/m ³	Zemin Sınıfı	VANE SHEAR TEST		
			WL (%)	W _p (%)	I _p (%)	W _n (%)	K=(WL-Wn)/I _p (%)			Cu (Yaygınlıktır) (kg/cm ²)	Cu (Tabii) (kg/cm ²)	
VSK-4		6.60										
		6.50										
		5.50										
		5.10										
		5.00										
		4.50										
		4.00										
		3.90										
		3.50										
		3.10										
		3.00										
		2.90										
		2.70										
		2.60										
		2.50										
		2.30	59.00	18.90	40.1	18.00	1.02		CH	0.32	0.81	
		2.00										
		1.50										
		1.30	50.20	17.90	32.30	32.50	0.55		CH	0.16	0.63	
		1.10										
		1.00										
		0.50										
		0.10										
		0.00	70.00	16.00	54.00	50.90	0.35		CH	0.08	0.65	
		-0.40										
		-0.50										
		-1.00										
		-1.30	44.00	18.80	25.20	33.00	0.44		CL	0.15	0.38	
		-2.50										
		-2.70										
		-2.90										
		-3.00										
		-3.30										
		-3.40										
		-3.50										
		-3.90										
		-4.10										
		-4.50										
		-5.00										
		-5.40										
		-5.50										
		-6.00										
		-6.50										
		-6.90										
		-7.40										
		-7.50										
		-8.00										
		-8.30										
		-8.80										
		-8.90										
		-9.00										
		-9.40										
		-9.50										
		-9.70										
		-10.00										
		-10.50										
		-11.00										
		-11.10										
		-11.30										
		-11.50										
		-11.90										
		-12.00										
		-12.30										
		-12.40										
		-12.50										
		-12.70										
		-12.90										
		-13.40										
		-13.50										
		-13.80										
		-13.90										
		-15.00										
		-15.30										
		-15.50										
		-15.70	43.40	26.30	17.10	34.10	0.54		CL	0.17	0.48	
		-16.50										
		-16.70	45.40	16.00	29.40	35.80	0.33		CL	0.10	0.43	
		-17.00										
		-17.50										
		-17.90										
		-18.00										
		-18.10										
		-18.40										
		-18.50										
		-19.00										
		-19.50										
		-20.00										
		-20.90										
		-21.50										
		-22.00										
		-22.30										
		-22.50										
		-23.00										
		-23.50										
		-26.00										



Tablo 2.13. Alibey Barajı Temel Zemini Laboratuar ve Arazi Deney Sonuçları

ALIBEY BARAJI BARAJ TEMELİ LABORATUAR SONUÇLARI									
Sondaj No	Numune No	Derinlik (Kot) (m)	ATTERBERG LİMITLERİ VE TABİİ SU MUHTEVASI					VANE SHEAR TEST	
			WL (%)	Wp (%)	Ip (%)	Wn (%)	K=(WL-Wn)/Ip (%)	gn (t/m³)	Zemin Sınıfları
VSK-5		6.60							
		6.50							
		5.50							
		5.10							
		5.00							
		4.50							
		4.00							
		3.90							
		3.50							
		3.10							
		3.00							
		2.90							
		2.70	62.40	17.70	44.7	42.90	0.44		0.16
		2.60							0.48
		2.50							
		2.30							
		2.00							
		1.50							
		1.30	51.80	18.90	32.90	39.50	0.37		0.07
		1.10							0.33
		1.00							
		0.50							
		0.10							
		0.00	43.00	17.30	25.70	32.70	0.40		0.19
		-0.40							0.37
		-0.50							
		-1.00							
		-1.30	56.10	18.50	37.60	26.20	0.80	CH	0.36
		-2.50							0.7
		-2.70							
		-2.90							
		-3.00							
		-3.30	41.30	14.00	27.30	28.30	0.48	CL	0.23
		-3.40							0.64
		-3.50							
		-3.90							
		-4.10	56.50	16.50	40.00	42.80	0.34	CH	0.16
		-4.50							0.49
		-5.00							
		-5.40							
		-5.50	55.20	15.30	39.90	45.20	0.25	CH	0.09
		-6.00							0.49
		-6.50							
		-6.90	53.90	14.80	39.10	45.00	0.23	CH	0.08
		-7.40							0.36
		-7.50							
		-8.00							
		-8.30							
		-8.80	68.00	17.90	50.10	54.00	0.28	CH	0.04
		-9.00							0.42
		-9.40							
		-9.50							
		-9.70	71.20	21.80	49.40	60.30	0.22	CH	0.07
		-10.00							0.59
		-10.50							
		-11.00							
		-11.30	73.00	27.00	46.00	64.30	0.19	CH	0.07
		-11.50							0.48
		-11.90							
		-12.00							
		-12.30							
		-12.40							
		-12.50	64.60	15.30	49.30	39.30	0.51	CH	0.10
		-12.70							0.36
		-12.90							
		-13.40							
		-13.50							
		-13.80							
		-13.90	59.70	15.50	44.20	39.60	0.45	CH	0.47
		-15.00							0.88
		-13.30	44.20	19.40	24.80	39.90	0.17	CL	0.15
		-13.50							0.68
		-13.70							
		-16.50							
		-16.70	47.40	17.60	29.80	33.20	0.48	CL	0.19
		-17.00							0.45
		-17.50							
		-17.90							
		-18.00							
		-18.10					29.50		0.22
		-18.40							0.84
		-18.50							
		-19.00							
		-19.50							
		-20.00							
		-20.50							
		-21.50							
		-22.00							
		-22.30							
		-22.50							
		-23.00							
		-23.50							
		-26.00							



Tablo 2.14. Alibey Barajı Temel Zemini Laboratuar ve Arazi Deney Sonuçları

ALİBEY BARAJI BARAJ TEMELİ LABORATUAR SONUÇLARI									
ATTERBERG LİMİTLERİ VE TABİİ SU MUHTEVASI									
Sondaj No	Numune No	Derinlik (Kot) (m)	WL (%)	Wp (%)	I _p (%)	W _n (%)	K=(WL-W _n)/I _p (%)	g _n (t/m ³)	Zemin Sınıfları
VSK-6		6.60							VANE SHEAR TEST
		6.50							Cu (Yögürme) Cu (Tabii)
		5.50							(kg/cm ²) (kg/cm ²)
		5.10							
		5.00							
		4.50							
		4.00							
		3.90	60.10	17.50	42.6	34.50	0.60		
		3.50							CH
		3.10							0.13
		3.00							0.70
		2.90							
		2.70							
		2.60							
		2.50							
		2.30							
		2.00	51.80	19.10	32.70	34.70	0.52		
		1.50							CH
		1.30							0.16
		1.10							0.28
		1.00							
		0.50							
		0.10	34.30	14.20	20.10	31.40	0.14		
		0.00							CL
		-0.40							0.04
		-0.30							0.27
		-1.00							
		-1.30	56.50	18.70	37.80	44.10	0.33		
		-2.50							C'
		-2.70							0.11
		-2.90							0.33
		-3.00							0.93
		-3.30							
		-3.40							
		-3.50							
		-3.90							
		-4.10							
		-4.50							
		-5.00							
		-5.40							
		-5.50							
		-6.00							
		-6.50							
		-6.90							
		-7.40							
		-7.50							
		-8.00							
		-8.30							
		-8.80							
		-8.90							
		-9.00							
		-9.40							
		-9.50							
		-9.70							
		-10.00							
		-10.50							
		-11.00							
		-11.10							
		-11.30							
		-11.50	38.40	13.10	25.30	39.00	-0.02		
		-11.90							CL
		-12.00							0.19
		-12.30							0.44
		-12.40							
		-12.50							
		-12.70							
		-12.90							
		-13.40							
		-13.50							
		-13.80							
		-13.90							
		-15.00							
		-15.30							
		-15.50							
		-16.50							
		-16.70	46.00	17.00	29.00	35.90	0.35		
		-17.00							CL
		-17.30							0.08
		-17.90							0.49
		-18.00							
		-18.10	45.60	15.80	29.80	39.60	0.20		
		-18.40							CL
		-18.50							0.21
		-19.00							0.51
		-19.50							
		-20.00							
		-20.90							
		-21.30							
		-22.00							
		-22.30							
		-22.50							
		-23.00							
		-23.50							
		-26.00							



BÖLÜM 3

3. KONSOLIDASYON TEORİSİ

Bir zemin tabakası (bir yapının inşaatı esnasındaki gibi) basınç gerilmesine maruz bırakıldığı zaman belli bir miktar sıkışma sergiler. Bu sıkışma zemin danelerinin tekrar düzenlenmesi veya boşluk suyu ve/veya boşluk havasının dışarı çıkışını içeren birkaç yolla meydana gelir. Terzaghi (1943) ye göre doygun zeminin su muhtevasının, suyun hava ile yer değiştirmeksızın azalmasına konsolidasyon işlemi denir. " Düşük permeabilite katsayılı doygun killi zeminler bir temel yüklemesinden dolayı basınç gerilmesi uygulandığı zaman boşluk suyu basıncı hemen artacaktır; ancak, zeminin düşük permeabilitesinden dolayı yükün uygulanması ile boşluk suyunun sönümlenmesi ile oturma arasında bir zaman aralığı olacaktır.

3.1. Konsolidasyon Esasları

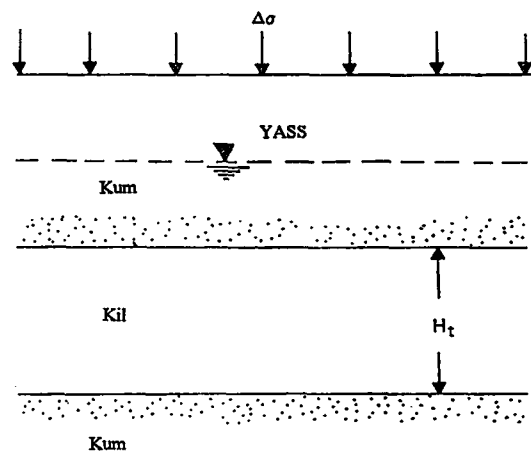
3.1.1. Bir Boyutlu Konsolidasyonun Genel Kavramları

Konsolidasyonun temel kavramını anlamak için Şekil 3.1 'de görüldüğü gibi yüksek permeabilitedeli iki kum tabakası arasında ve yeraltısu seviyesinin altında H_1 kalınlıklı bir kil tabakası gözönüne alalım. $\Delta\sigma$ şiddetindeki bir sürsaj yükü çok geniş bir alan üzerinde zemin yüzeyinde uygulanırsa, kil tabakasındaki boşluk suyu basıncı artacaktır.

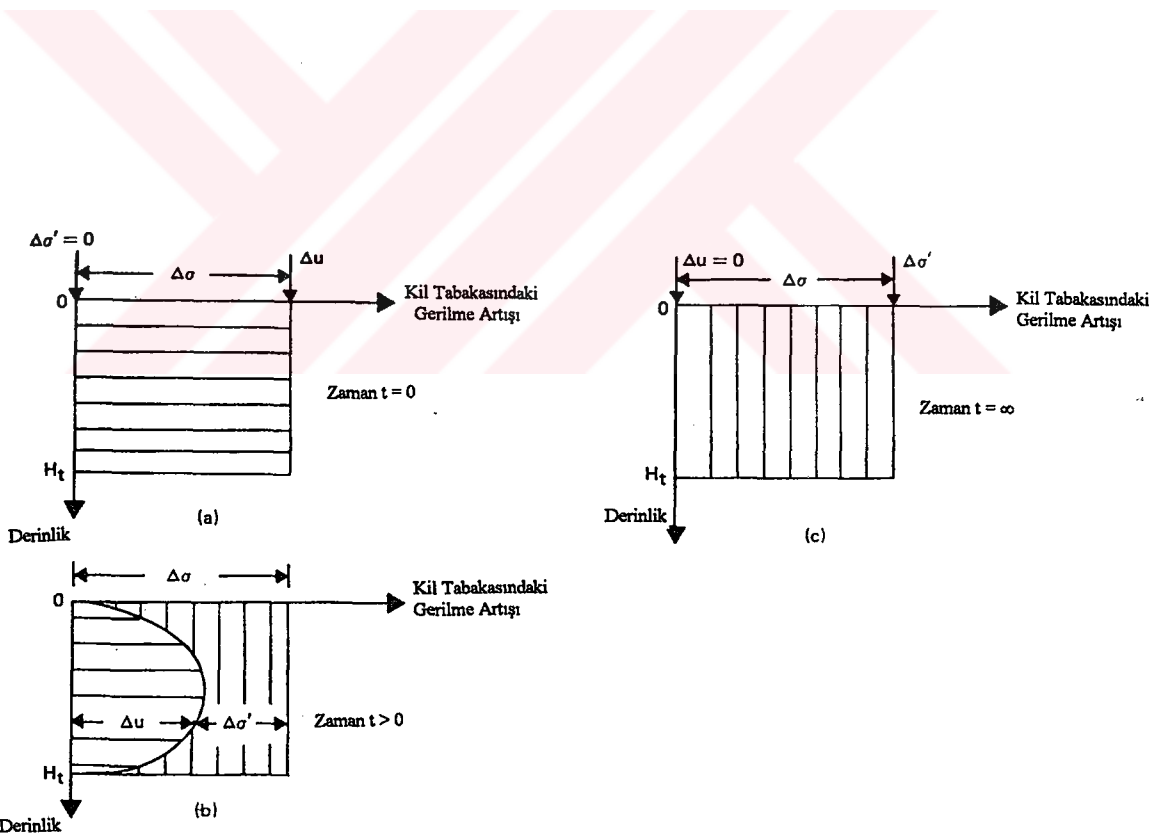
Sonsuz genişlikteki bir sürsaj için (kil tabakasının bütün derinliklerindeki) boşluk suyu basıncındaki ani artış Δu , $\Delta\sigma$ toplam gerilmenin artısına eşit olacaktır. Böylece sürsaj uygulamasından hemen sonra $\Delta u = \Delta\sigma$ olur.

Toplam gerilme, kil tabakasının bütün derinliklerinde boşluk suyu basıncı ve efektif gerilmenin toplamına eşit olduğu için sürsajdan dolayı efektif gerilmenin artışı yük uygulamadan hemen sonra sıfıra eşit olacaktır. (yani $\Delta\sigma' = 0$, burada $\Delta\sigma'$ efektif gerilmenin artışıdır.) Diğer bir deyişle $t=0$ zamanında kil tabakasını her derinlikerdeki bütün gerilme artıları zemin iskeleti tarafından değil boşluk suyu basıncı tarafından alınır.





Şekil 3.1. Zemin kesiti



Şekil 3.2. Sürsaj altında kil tabakasındaki efektif gerilme ve boşluk suyu basıncının değişimi



Bu Şekil 3.2.a 'da görülmektedir. (Belirtilmelidir ki sınırlı bir alan üzerinde uygulanan yükler için boşluk suyu basıncının artması $t=0$ zamanında herhangi bir derinlikteki düşey gerilmenin artışına eşit olmasının doğru olmayabilir.)

Sürsajın uygulanmasından sonra (yani $t>0$ zamanında), kil tabakasının boşluklarındaki su dışarı doğru sızacaktır ve her iki yüksek permeabiliteli kum tabakalarına doğru akacaktır, bu nedenle artık boşluk suyu basıncı azalacaktır. Bu, sıra ile, $\Delta\sigma' + \Delta u = \Delta\sigma$ olduğu için efektif gerilmeyi eşit miktarda artıracaktır. Böylece $t>0$ zamanında, $\Delta\sigma' > 0$ ve $\Delta u < \Delta\sigma$ olur. Bu gerçek Şekil 3.2.b 'de görülmektedir.

Teorik olarak $t=\infty$ 'da kil tabakasının bütün derinliklerdeki artık boşluk suyu basıncı kademeli drenajla dağıtılmaktır. Böylece $t=\infty$ 'da $\Delta\sigma' = \Delta\sigma$ ve $\Delta u = 0$ olur. Bu gerçek Şekil 3.2.c 'de görülmektedir.

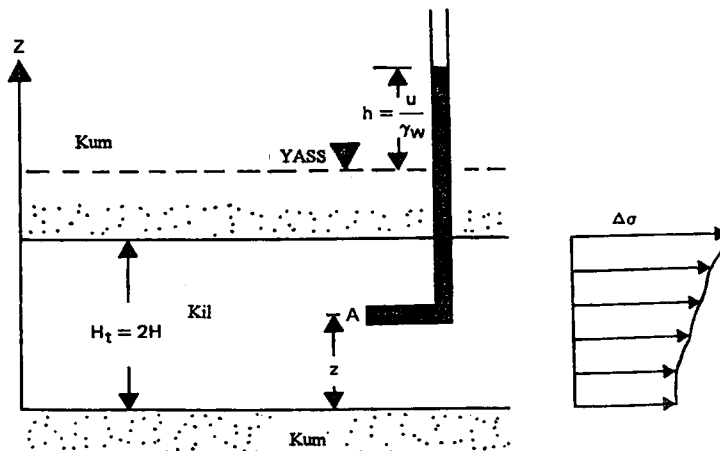
Sürsajdan dolayı kil tabakasındaki efektif gerilmenin kademeli artış işlemi konsolidasyon işlemi olarak adlandırılan ve zamana bağlı bir oturma ile sonuçlanır.

3.1.2. Bir Boyutlu Konsolidasyon Teorisi

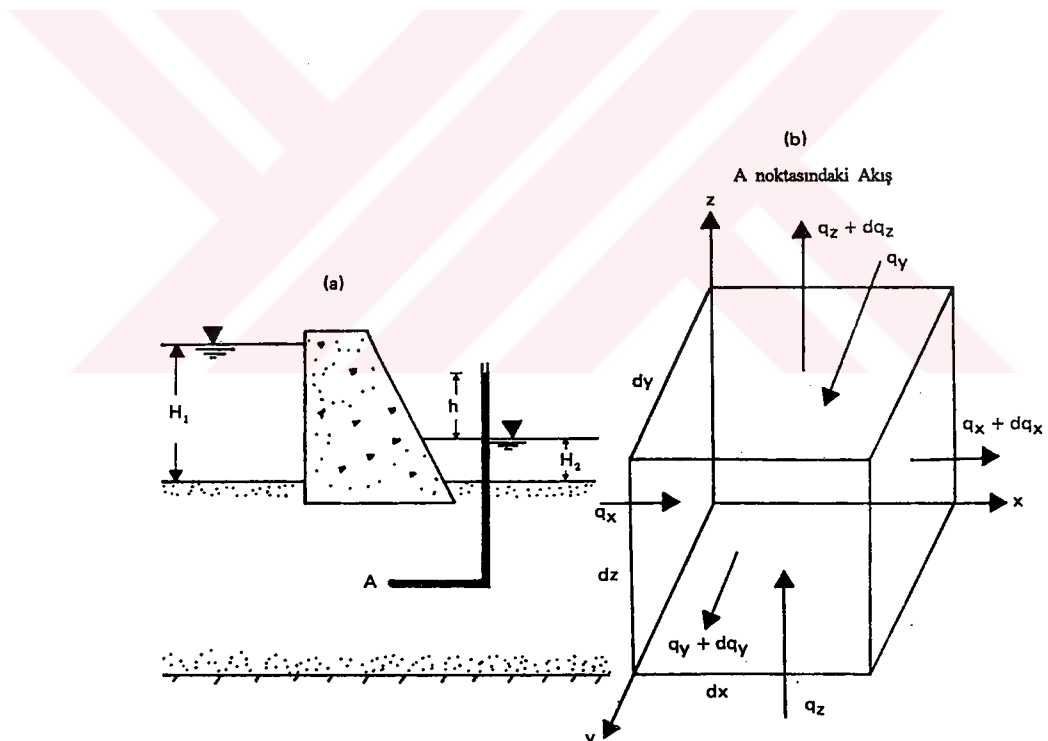
Bir boyutlu konsolidasyonun zamana bağlı hızı için teori ilk önce Terzaghi (1925) tarafından önerilmiştir. Matematiksel denklemlerin çıkarılmasının altında yatan kabuller aşağıdaki gibidir:

1. Kil tabakası homojendir
2. Kil tabakası suya doygundur
3. Zemin tabakasının sıkışması sadece, suyun boşluklardan dışarı sızmaması nedenine bağlı olan, hacimdaki değişimden dolayıdır
4. Darcy kanunu geçerlidir
5. Zeminin yerdeğiştirmesi sadece uygulama yükü doğrultusunda meydana gelir
6. C_v konsolidasyon katsayısı konsolidasyon süresince sabittir.

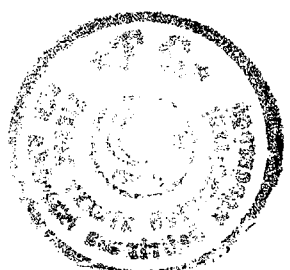




Şekil 3.3. Konsolidasyona maruz kil tabakasının kesiti



Şekil 3.4. Elemanter zemin prizması üzerinde süreklilik denklemlerinin çıkarımı



Yukarıdaki kabullerle Şekil 3.3'de görüldüğü gibi H , kalınlıklı bir kil tabakası gözönüne alalım. Kil tabakası yüksek permeabiliteeli iki kum tabakası arasına yerleşmiş olsun. Kile $\Delta\sigma$ artan düşey basıncı uygulandığı zaman herhangi bir A noktasındaki boşluk suyu basıncı u ile artacaktır.

Birçok pratik durumlarda zemin içindeki suyun akım biçimini ortam boyunca hız ve hidrolik eğimin değişimi ile tanımlanır. Bu problemler için akım ağıları olarak adlandırılan grafikler kullanılarak akım hesapları yapılır. Akım ağı kavramı, zemin kütlesinin verilen bir noktası için durgun akım şartını tanımlayan Laplace denkleminin sürekliliğine dayanır.

Akıminin süreklilik denklemini çıkarmak için Şekil 3.4.a'da görülen hidrolik yapının A noktasındaki bir $dx \cdot dy \cdot dz$ hacimli elemanter zemin prizmasını (Şekil 3.4.b) ele alalım. x , y ve z doğrultularında zemin prizmasına giren akımlar Darcy kanunundan,

$$q_x = k_x i_x A_x = k_x \frac{\partial h}{\partial x} dy dz \quad (3.1)$$

$$q_y = k_y i_y A_y = k_y \frac{\partial h}{\partial y} dx dz \quad (3.2)$$

$$q_z = k_z i_z A_z = k_z \frac{\partial h}{\partial z} dx dy \quad (3.3)$$

olarak verilebilir, burada

$q_x, q_y, q_z = x, y$ ve z doğrultularında giren akımlar

$k_x, k_y, k_z = x, y$ ve z doğrultularındaki permeabilite katsayıları

$h = A$ noktasındaki hidrolik yükürt.

x, y ve z doğrultularında prizmadan çıkan akımlar



$$q_x + dq_x = k_x(i_x + di_x)A_x = k_x \left(\frac{\partial h}{\partial x} + \frac{\partial^2 h}{\partial x^2} \right) dy dz \quad (3.4)$$

$$q_y + dq_y = k_y \left(\frac{\partial h}{\partial y} + \frac{\partial^2 h}{\partial y^2} \right) dx dz \quad (3.5)$$

$$q_z + dq_z = k_z \left(\frac{\partial h}{\partial z} + \frac{\partial^2 h}{\partial z^2} \right) dx dy \quad (3.6)$$

birimindedir.

Bir boyutlu konsolidasyon durumunda zemin elemanına giren ve çıkan su akışı sadece bir doğrultuda, z doğrultusundadır. Bunun anlamı Şekil 3.4 .b 'deki q_x , q_y , dq_x ve dq_y 'nin sıfıra eşit olması ve böylece zemin elemanına giren ve çıkan akımın hızı sıra ile eşitlik

$$q_z = k_z i_z A_z = k_z \frac{\partial h}{\partial z} dx dy \quad (3.3)$$

$$q_z + dq_z = k_z \left(\frac{\partial h}{\partial z} + \frac{\partial^2 h}{\partial z^2} \right) dx dy \quad (3.6)$$

3.3 ve 3.6 ile verilebilir. Böylece,

$$(q_z + dq_z) - q_z = \frac{\partial V}{\partial t} \text{ (Zemin elemanın hacim değişiminin hızı)} \quad (3.7)$$

burada,

$$V = dx dy dz \quad (3.8)$$



biçimindedir. Eşitlik 3.3 ve 3.6 'nın sağ tarafları eşitlik 3.7 'nin sol tarafına yerleştirilerek

$$k \frac{\partial^2 h}{\partial z^2} dx dy dz = \frac{\partial V}{\partial t} \quad (3.9)$$

elde edilir. Burada k [eşitlik 3.3 ve 3.6 'daki k_z] permeabilite katsayısıdır. Bununla birlikte

$$h = \frac{u}{\gamma_w} \quad (3.10)$$

biçimindedir. Burada γ_w suyun birim hacim ağırlığıdır. Eşitlik 3.10 eşitlik 3.9 'de yerine konur ve düzenlenirse

$$\frac{k}{\gamma_w} \cdot \frac{\partial^2 u}{\partial z^2} = \frac{1}{dx dy dz} \cdot \frac{\partial V}{\partial t} \quad (3.11)$$

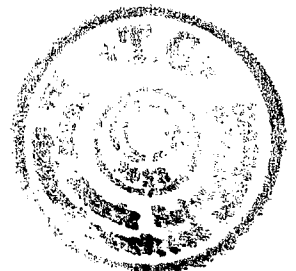
elde edilir. Konsolidasyon süresince hacim değişiminin hızı boşluk hacminin değişim hızına eşittir. Bundan dolayı

$$\frac{\partial V}{\partial t} = \frac{\partial V_v}{\partial t} \quad (3.12)$$

burada V_v zemin elemanındaki boşluk hacmidir. Fakat

$$V_v = e \cdot V_s \quad (3.13)$$

burada V_s zemin elemanındaki zemin danelerinin hacmidir ve sabittir, e boşluk oranıdır. Dolayısıyla



$$\frac{\partial V}{\partial t} = V_s \frac{\partial e}{\partial t} = \frac{V}{1+e} \frac{\partial e}{\partial t} = \frac{dx dy dz}{1+e} \frac{\partial e}{\partial t} \quad (3.14)$$

Bu ilişkisi eşitlik 3.11 'de yerine konulursa

$$\frac{k}{\gamma_w} \frac{\partial^2 u}{\partial z^2} = \frac{1}{1+e} \frac{\partial e}{\partial t} \quad (3.15)$$

elde edilir.

∂e boşluk oranındaki değişim efektif gerilmenin artısına bağlıdır; bunların ilişkili olduğunu varsayıarak

$$\partial e = -a_v \partial(\Delta\sigma') \quad (3.16)$$

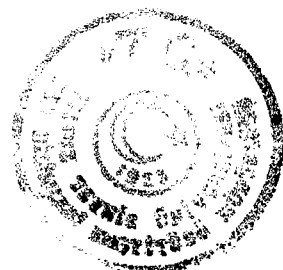
yazılabilir, burada a_v deneyel olarak belirlenebilen sıkışabilirlik katsayısıdır. Efektif gerilmenin artışı artık boşluk suyu basıncının azalmasına bağlıdır $\partial\Delta\sigma' = -\partial u$. Bundan dolayı

$$\partial e = a_v \partial u \quad (3.17)$$

yazılır. Eşitlik 3.15 ve 3.17 birleştirilerek

$$\frac{k}{\gamma_w} \frac{\partial^2 u}{\partial z^2} = \frac{a_v}{1+e} \frac{\partial u}{\partial t} = m_v \frac{\partial u}{\partial t} \quad (3.18)$$

burada



$$m_v = \frac{a_v}{1+e} = \text{hacimsal sıkışma katsayısidır} \quad (3.19)$$

veya

$$\frac{\partial u}{\partial t} = \frac{k}{\gamma_w m_v} \frac{\partial^2 u}{\partial z^2} = C_v \frac{\partial^2 u}{\partial z^2} \quad (3.20)$$

yazılabilir, burada

$$C_v = \frac{k}{\gamma_w m_v} \quad \text{konsolidasyon katsayısidır} \quad (3.21)$$

3.2. Konsolidasyon Denkleminin Çözümü

Eşitlik 3.20 Terzaghi 'nin konsolidasyon teorisinin temel difransiyel denklemidir ve uygun başlangıç ve sınır koşulları ile çözülebilir. Denklemi çözmek için u 'nun biri z 'nin fonksiyonu diğer t 'nin fonksiyonu olan iki fonksiyonun çarpımı olarak farz edelim.

$$u = F(z)G(t) \quad (3.22)$$

Böylece

$$\frac{\partial u}{\partial t} = F(z) \frac{\partial}{\partial t} G(t) = F(z)G'(t) \quad (3.23)$$

ve

$$\frac{\partial^2 u}{\partial t^2} = \frac{\partial}{\partial z^2} F(z)G(t) = F''(z)G(t) \quad (3.24)$$



yazılabilir. Eşitlik 3.20, 3.23 ve 3.24 'den

$$F(z)G'(t) = C_v F''(z)G(t)$$

veya

$$\frac{F''(z)}{F(z)} = \frac{G'(t)}{C_v G(t)}$$
(3.25)

yazılabilir.

Eşitlik 3.25 'in sol tarafı sadece z 'nin fonksiyonu olup t 'den bağımsızdır. Eşitliğin sağ tarafı sadece t 'nin fonksiyonu olup z 'den bağımsızdır. Bundan dolayı bunlar, $-B^2$ gibi sabit sayıya eşit olmalıdır. Böylece

$$F''(z) = -B^2 F(z)$$
(3.26)

yazılabilir. Eşitlik 3.26 'nin çözümü

$$F(z) = A_1 \cos Bz + A_2 \sin Bz$$
(3.27)

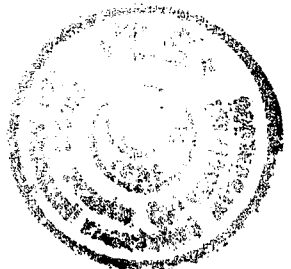
gibi verilebilir, burada A_1 ve A_2 sabitlerdir.

Tekrar eşitlik 3.25 'in sağ tarafı

$$G'(t) = -B^2 C_v G(t)$$
(3.28)

gibi yazılabilir. Eşitlik 3.28 'in çözümü

$$G(t) = A_3 \exp(-B^2 C_v t)$$
(3.29)



gibi verilir, burada A_3 bir sabittir. Eşitlik 3.22 , 3.27 ve 3.29 birleştirilerek

$$\begin{aligned} u &= (A_1 \cos Bz + A_2 \sin Bz) A_3 \exp(-B^2 C_v t) \\ &= (A_4 \cos Bz + A_5 \sin Bz) \exp(-B^2 C_v t) \end{aligned} \quad (3.30)$$

yazılır, burada $A_4=A_1A_3$ ve $A_5=A_2A_3$ dir.

Eşitlik 3.30 'daki sabitler aşağıdaki gibi başlangıç ve sınır koşullarından çıkarılabilir:

1. $t=0$ zamanında, $u=u_i$ (herhangi bir derinlikteki başlangıç artık boşluk suyu basıncı)
2. $z=0$ 'da $u=0$
3. $z=H_t=2H$ 'da $u=0$

Burada H en uzun drenaj yolunun uzunluğudur. Buradaki kil tabakasının üst ve altındaki iki yönlü drenaj şartının geçerli olduğu durumda H , H_t kil tabakasının toplam kalınlığının yarısına eşittir.

İkinci sınır şartından $A_4=0$, üçüncü sınır şartından $A_5=\sin 2BH=0$ veya $2BH=n\pi$ elde edilir, burada n bir tam sayıdır. Buradan eşitlik 3.30 'un bir genel çözümü

$$u = \sum_{n=1}^{\infty} A_n \sin \frac{n\pi z}{2H} \exp\left(\frac{-n^2 \pi^2 T_v}{4}\right) \quad (3.31)$$

büçümde verilebilir, burada T_v boyutsuz bir zaman faktörü olup $C_v t / H^2$ 'ye eşittir.

Birinci sınır koşulunu sağlamak için



$$u_i = \sum_{n=1}^{\infty} A_n \sin \frac{n\pi z}{2H} \quad (3.32)$$

gibi A_n katsayıları alınmalıdır. Eşitlik 3.32 bir Fourier sinüs serisi olup A_n terimleri

$$A_n = \frac{1}{H} \int_0^{2H} u_i \sin \frac{n\pi z}{2H} dz \quad (3.33)$$

biçiminde alınabilir. Eşitlik 3.31 ve 3.33 birleştirilerek

$$u = \sum_{n=1}^{\infty} \left(\frac{1}{H} \int_0^{2H} u_i \sin \frac{n\pi z}{2H} dz \right) \sin \frac{n\pi z}{2H} \exp \left(\frac{-n^2 \pi^2 T_v}{4} \right) \quad (3.34)$$

elde edilir.

İleride u_i kil tabakasının derinlik ile değişimi hakkında herhangi bir kabul yapılmayacaktır. u_i için mümkün olan birkaç değişim tipleri gözönüne alınmıştır.

3. 2.1. Derinlik Boyunca Sabit Boşluk Suyu Basıncı Dağılımı için Çözüm

Eğer u_i derinlik boyunca sabit olursa yani $u_i = u_0$ ise (Şekil 3.5) eşitlik 3.34 göre

$$\frac{1}{H} \int_0^{2H} u_i \sin \frac{n\pi z}{2H} dz = \frac{2u_0}{n\pi} (1 - \cos n\pi)$$

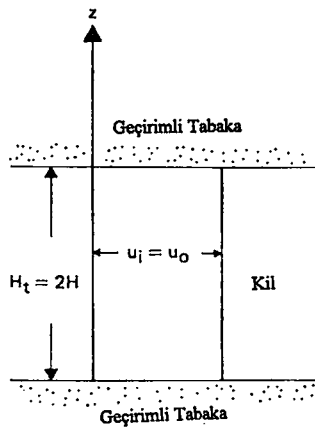
\uparrow
 $= u_0$

Dolayısıyla (3.35)

$$u = \sum_{n=1}^{\infty} \frac{2u_0}{n\pi} (1 - \cos n\pi) \sin \frac{n\pi z}{2H} \exp \left(\frac{-n^2 \pi^2 T_v}{4} \right)$$

elde edilir.





Şekil 3.5. Derinlik boyunca sabit başlangıç artık boşluk suyu basıncı dağılımı
(çift yönlü drenaj)

n 'in çift sayı olduğu durumlarda yukarıdaki denklemdeki $(1-\cos n\pi)$ terimi sıfırdır, bundan dolayı u da sıfırdır. Sıfırdan farklı terimler için ($n=2m+1$) koymak uygundur, burada m bir tam sayıdır. Böylece eşitlik 3.35

$$u = \sum_{m=0}^{m=\infty} \frac{2u_0}{(2m+1)\pi} [1 - \cos((2m+1)\pi)] \sin \frac{(2m+1)\pi z}{2H} \exp \left[\frac{-(2m+1)^2 \pi^2 T_v}{4} \right] \quad (3.36)$$

veya

$$u = \sum_{m=0}^{m=\infty} \frac{2u_0}{M} \sin \frac{Mz}{H} \exp(-M^2 T_v)$$

biçiminde okunur, burada $M=(2m+1)\pi/2$ dir. Verilen bir zamanda herhangi bir z derinliğindeki konsolidasyon derecesi

$$U_z = \frac{\text{Sönümlenen boşluk suyu basıncı}}{\text{Başlangıç boşluk suyu basıncı}} = \frac{u_i - u}{u_i} = 1 - \frac{u}{u_i} = \frac{\sigma'}{u_i} = \frac{\sigma'}{u_0} \quad (3.37)$$

burada σ' konsolidasyondan dolayı z derinliğindeki efektif gerilme artışıdır. Eşitlik 3.36 ve 3.37 'den



$$U_z = 1 - \sum_{m=0}^{\infty} \frac{2}{M} \sin \frac{Mz}{H} \exp(-M^2 T_v) \quad (3.38)$$

elde edilir. Şekil 3.6 boyutsuz T_v zaman faktörünün çeşitli değerleri için U_z 'nin derinlikle değişimini gösterir; bu eğrilere izokronlar denir.

Birçok durumda, bununla beraber, bütün bir tabaka için ortalama konsolidasyon derecesini elde etmek gereklidir. Bu

$$U_{av} = \frac{(1/H_t) \int_0^{H_t} u_i dz - (1/H_t) \int_0^{H_t} u_d dz}{(1/H_t) \int_0^{H_t} u_i dz} \quad (3.39)$$

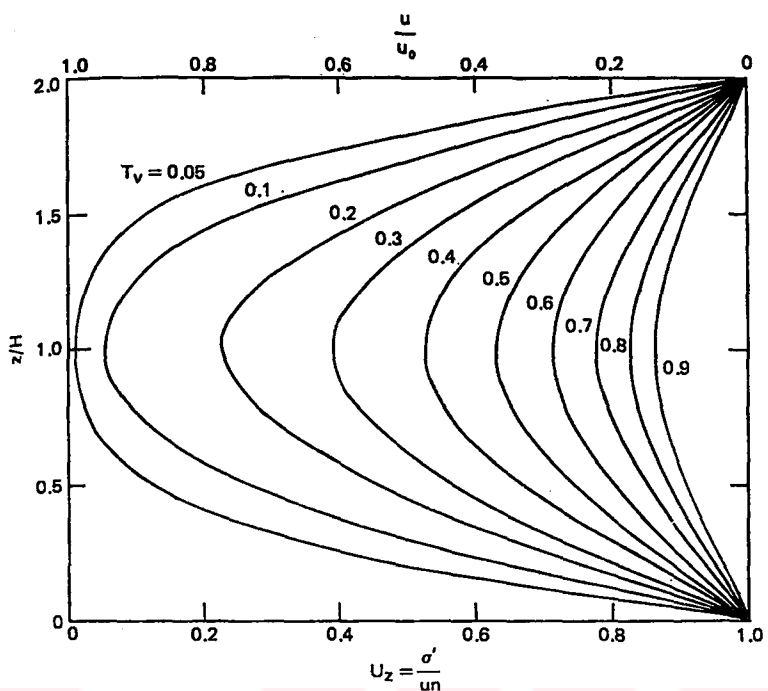
ile verilir. Ortalama konsolidasyon derecesi herhangi bir zamandaki konsolidasyon oturmasının maksimum konsolidasyon oturmasına oranıdır. Bu durumda $H_t=2H$ ve $u_i=u_0$ olduğu unutulmamalıdır. Eşitlik 3.36 ve 3.39 birleştirilerek

$$U_{av} = 1 - \sum_{m=0}^{\infty} \frac{2}{M^2} \exp(-M^2 T_v) \quad (3.40)$$

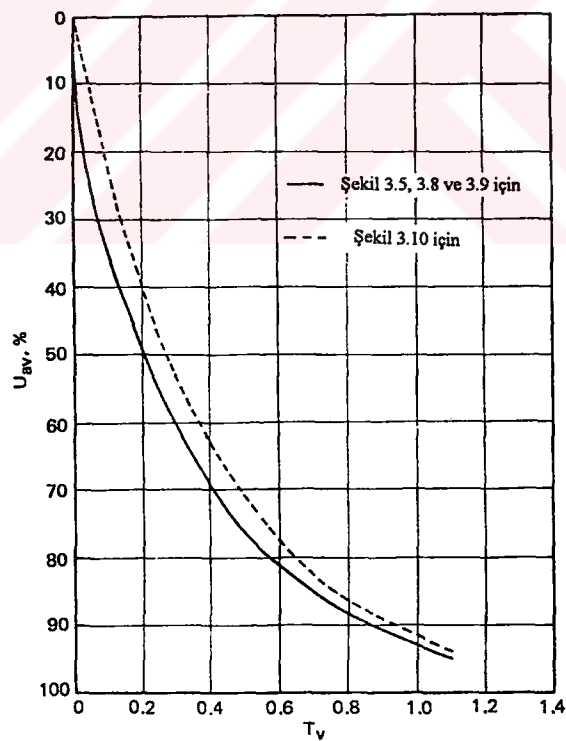
elde edilir. Şekil 3.6 ortalama U_{av} 'nin T_v ile değişimini gösterir. (Tablo 3.1 ' e bkz.)

Tablo 3.1. U_{av} ile T_v arasındaki değişim

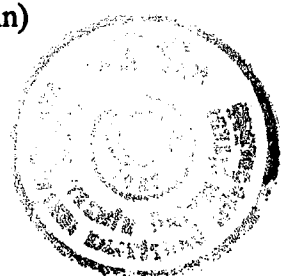
U_{av} (%)	T_v (%)	U_{av} (%)	T_v (%)
0	0.0000	60	0.287
10	0.008	65	0.342
20	0.031	70	0.403
30	0.071	75	0.478
35	0.096	80	0.567
40	0.126	85	0.684
45	0.159	90	0.848
50	0.197	95	1.127
55	0.238	100	∞



Şekil 3.6. U_z 'nin z/H ve T_v ile değişimi



Şekil 3.7. Ortalama konsolidasyon derecesinin değişim grafiği
(Şekil 3.5 , 3.8, 3.9 ve 3.10 'da verilen koşullar için)



Terzaghi U_{av} için eşitlik 3.40 'den elde edilen değerlere yakınsaması için aşağıdaki denklemleri önerir.

$$U_{av} = \%0 \text{ ile \%53 arası: } T_v = \frac{\pi}{4} \left(\frac{\%U}{100} \right)^2 \quad (3.41)$$

$$U_{av} = \%53 \text{ ile \%100 arası: } T_v = 1.781 - 0.933 [\log(100 - \%U)] \quad (3.42)$$

Sivaram and Swamee (1977) \%0 - \%100 arasında değişen U_{av} için aşağıdaki denklemi vermiştir.

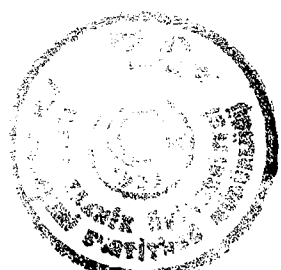
$$\frac{\%U_{av}}{100} = \frac{(4T_v/\pi)^{0.5}}{\left[1 + (4T_v/\pi)^{2.8}\right]^{0.179}} \quad (3.43)$$

veya

$$T_v = \frac{(\pi/4)(\%U_{av}/100)^2}{\left[1 - (\%U_{av}/100)^{5.6}\right]^{0.357}} \quad (3.44)$$

birimindedir. Eşitlik 3.43 ve 3.44 T_v 'de \%0< U_{av} <%90 için %1 den daha az \%90< U_{av} <%100 için %3 'den daha az bir hata verir.

Şekil 3.8 a ve b 'de görüldüğü gibi tek yönlü drenaj durumlarında eşitlik 3.40 'in bu durumda da geçerli olduğu belirtilmelidir. Bununla beraber drenaj boyunun uzunluğu kil tabakasının toplam kalınlığına eşittir.



3.2.2. Başlangıç Boşluk Suyu Basıncının Lineer Değişimi için Çözüm

Şekil 3.9 'de görüldüğü gibi başlangıç boşluk suyu basıncının lineer değişimi

$$u_i = u_1 - u_2 \frac{H-z}{H} \quad (3.45)$$

olarak yazılabilir. u_i 'nin bu ilişkisine eşitlik 3.44 'de yerine konmasıyla

$$u = \sum_{n=1}^{\infty} \left[\frac{1}{H} \int_0^{2H} \left(u_1 - u_2 \frac{H-z}{H} \right) \sin \frac{n\pi z}{2H} dz \right] \sin \frac{n\pi z}{2H} \exp \left(\frac{-n^2 \pi^2 T_v}{4} \right) \quad (3.46)$$

elde edilir. Ortalama konsolidasyon derecesi eşitlik 3.46 ve 3.39 çözümleri ile elde edilebilir:

$$U_{av} = 1 - \sum_{m=0}^{\infty} \frac{2}{M^2} \exp(-M^2 T_v) \quad (3.40)$$

Bu artık boşluk suyu basıncının derinlikle sabit kaldığı durum için olan eşitlik 3.40 ile aynıdır ve bu yüzden Şekil 3.7 'da verilen aynı eğri kullanılabilir.

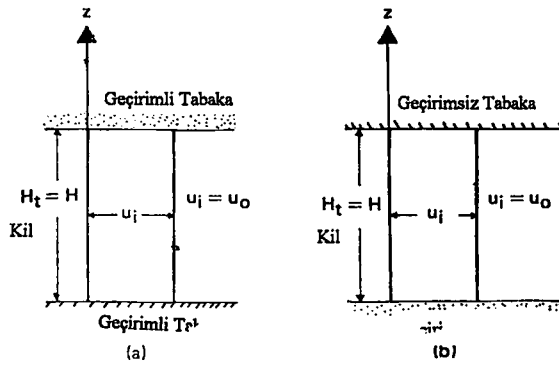
3.2.3. Başlangıç Boşluk Suyu Basıncının Sinüzoidal Değişimi için Çözüm

Sinüzoidal değişim (Şekil 3.10)

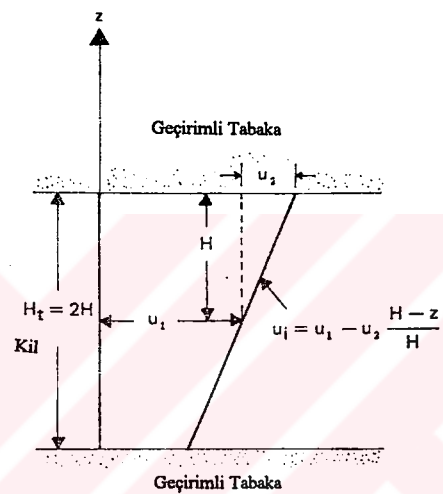
$$u_i = u_3 \sin \frac{\pi z}{2H} \quad (3.47)$$

ifadesi ile gösterilebilir.

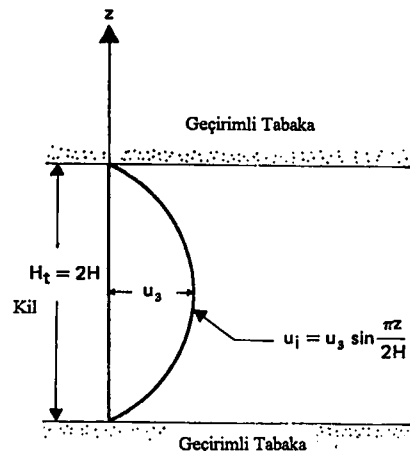




Şekil 3.8. u_i 'nin derinlikle sabit olduğu tek yönlü drenaj durumunda başlangıç artık boşluk suyu basınç dağılımı



Şekil 3.9. Çift yönlü drenaj durumunda başlangıç artık boşluk suyu basınç dağılımının lineer değişimi



Şekil 3.10. Çift yönlü drenaj durumunda başlangıç artık boşluk suyu basıncının sinüzoidal dağılımı



Bu tip başlangıç artık boşluk suyu basınç dağılımı için ortalama konsolidasyon derecesi çözümü

$$U_{av} = 1 - \exp\left(\frac{-\pi^2 T_v}{4}\right) \quad (3.48)$$

biçimindedir.

T_v 'nin çeşitli değerleri için U_{av} 'nin değişimi Şekil 3.7 'da verilmiştir.

3.2.4. Başlangıç Artık Boşluk Suyu Basınç Dağılımının Diğer Formları İçin U_{av} ve T_v 'nin İlişkileri

Artık boşluk suyu basıncı ve uygun sınır koşulları için eşitlik 3.34 temel denlemesini kullanarak başlangıç artık boşluk suyu basınç dağılımının çeşitli diğer tipleri için U_{av} ve T_v ilişkileri elde edilebilir. Şekil 3.11 ve 3.12 bu durumların bazılarını gösterir.

3.2.5. Bir Boyutlu Konsolidasyon İçin Nümerik Çözümler

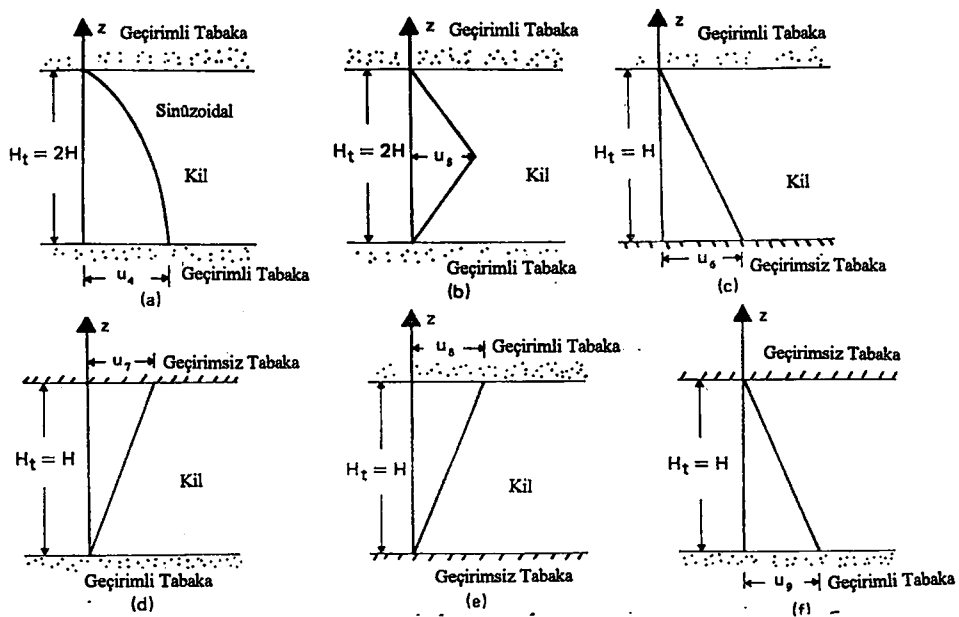
Bu bölümde Terzaghi konsolidasyon teoreminin,

$$\frac{\partial u}{\partial t} = C_v \frac{\partial^2 u}{\partial z^2} \quad (3.20)$$

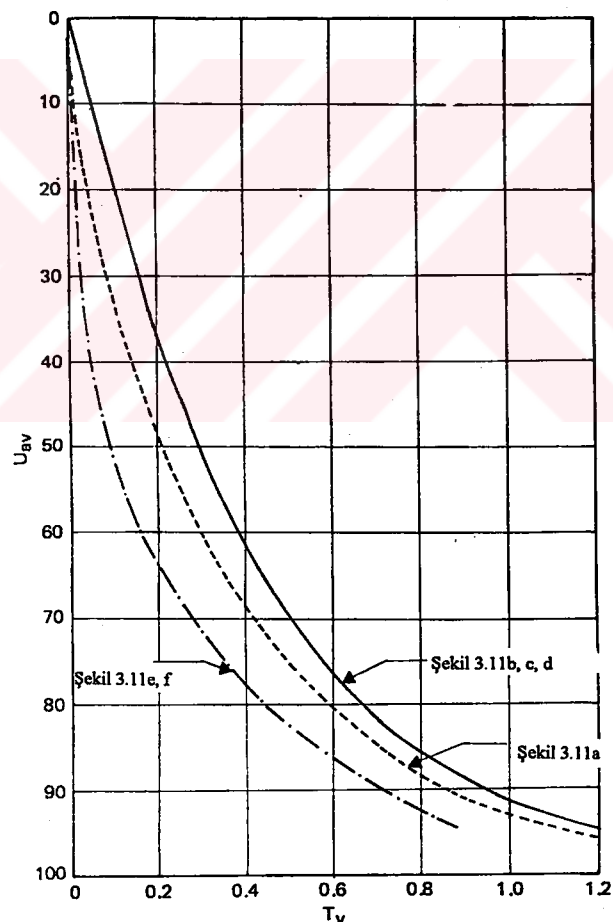
temel diferansiyel denkleminden başlayarak bir boyutlu konsolidasyon için sonlu fark çözümü gözönüne alınacaktır.

u_R , t_R ve z_R sırasıyla keyfi artık boşluk suyu basıncı, zaman ve uzunluk referansları olsun. Bunlardan aşağıdaki boyutsuz terimleri tanımlayabiliriz.

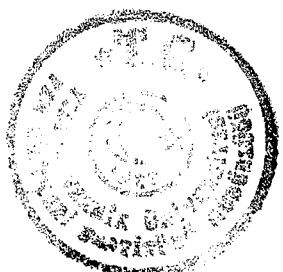




Şekil 3.11. Başlangıç artık boşluk suyu basınç dağılımının bazı formları



Şekil 3.12. Başlangıç artık boşluk suyunun Şekil 3.11 'da görülen basınç diyagramları için U_{av} 'nin T_v ile değişimi



$$\text{Boyutsuz Artık Boşluk Suyu Basıncı : } \bar{u} = \frac{u}{u_R} \quad (3.49)$$

$$\text{Boyutsuz Zaman : } \bar{t} = \frac{t}{t_R} \quad (3.50)$$

$$\text{Boyutsuz Derinlik : } \bar{z} = \frac{z}{z_R} \quad (3.51)$$

Eşitlik 3.49 , 3.50 ve 3.20 ' nin sol tarafından

$$\frac{\partial u}{\partial t} = \frac{u_R}{t_R} \frac{\partial \bar{u}}{\partial \bar{t}} \quad (3.52)$$

elde edilir. Benzer olarak eşitlik 3.49, 3.51 ve 3.20 ' nin sağ tarafından

$$C_v \frac{\partial^2 u}{\partial z^2} = C_v \frac{u_R}{z_R^2} \frac{\partial^2 \bar{u}}{\partial \bar{z}^2} \quad (3.53)$$

elde edilir. Eşitlik 3.52 ve 3.53 ' den

$$\frac{u_R}{t_R} \frac{\partial \bar{u}}{\partial \bar{t}} = C_v \frac{u_R}{z_R^2} \frac{\partial^2 \bar{u}}{\partial \bar{z}^2}$$

veya

$$\frac{1}{t_R} \frac{\partial \bar{u}}{\partial \bar{t}} = \frac{C_v}{z_R^2} \frac{\partial^2 \bar{u}}{\partial \bar{z}^2} \quad (3.54)$$

elde edilir. Referans zamanı $t_R = z_R^2 / C_v$ gibi bir şekilde dönüştürürsek 3.54 eşitliği



$$\frac{\partial \bar{u}}{\partial t} = \frac{\partial^2 \bar{u}}{\partial z^2} \quad (3.55)$$

haline gelir. Eşitlik 3.55 'in sol tarafı

$$\frac{\partial \bar{u}}{\partial t} = \frac{1}{\Delta \bar{t}} (\bar{u}_{0,\bar{t}+\Delta \bar{t}} - \bar{u}_{0,\bar{t}}) \quad (3.56)$$

birimde yazılabilir, burada $\bar{u}_{0,\bar{t}}$ ve $\bar{u}_{0,\bar{t}+\Delta \bar{t}}$, t ve $t + \Delta t$ boyutsuz zamanlardaki O noktasındaki (Şekil 3.13 a) boyutsuz boşluk suyu basınçlarıdır. Tekrar eşitlik 3. 55 'in sol tarafı

$$\frac{\partial^2 \bar{u}}{\partial z^2} = \frac{1}{(\Delta \bar{z})^2} (\bar{u}_{1,\bar{t}} + \bar{u}_{3,\bar{t}} - 2\bar{u}_{0,\bar{t}}) \quad (3.57)$$

birimde elde edilir. 3.56 ve 3.57 eşitliklerinin sağ taraflarını eşitleyerek

$$\frac{1}{\Delta \bar{t}} (\bar{u}_{0,\bar{t}+\Delta \bar{t}} - \bar{u}_{0,\bar{t}}) = \frac{1}{(\Delta \bar{z})^2} (\bar{u}_{1,\bar{t}} + \bar{u}_{3,\bar{t}} - 2\bar{u}_{0,\bar{t}})$$

veya

$$\bar{u}_{0,\bar{t}+\Delta \bar{t}} = \frac{\Delta \bar{t}}{(\Delta \bar{z})^2} (\bar{u}_{1,\bar{t}} + \bar{u}_{3,\bar{t}} - 2\bar{u}_{0,\bar{t}}) + \bar{u}_{0,\bar{t}}$$

elde edilir. 3.58 eşitliğinin yakınsaklılığı için $\Delta \bar{t}$ ve $\Delta \bar{z}$ öyle seçilmelidir ki $\Delta \bar{t} / (\Delta \bar{z})^2 < 0.5$ olsun.

Geçirimsiz bir tabaka ile bir kil tabakasının ara yüzeyindeki boşluk suyu basıncının çözümü için eşitlik 3.58 kullanılabilir. Bununla birlikte 1 noktasının O noktasına göre



simetriği olan 3 noktasını $\bar{u}_{1,t} = \bar{u}_{3,t}$ olacak biçimde almamız gereklidir. Bu durumda 3.58 eşitliği

$$\bar{u}_{0,t+\Delta t} = \frac{\Delta t}{(\Delta z)^2} (2\bar{u}_{1,t} - 2\bar{u}_{0,t}) + \bar{u}_{0,t} \quad (3.59)$$

haline gelir.

3.2.6. Tabakalı Bir Zemin Ortamında Konsolidasyon

Tabakalı zeminlerin konsolidasyonu için kapalı bir çözüm geliştirmek her zaman mümkün değildir. Farklı geçirgenlik (permeabilite) katsayısı değerleri gibi çeşitli değişkenler mevcuttur. Şekil 3.14 iki tabakalı zeminin konsolidasyon derecesinin biçimini göstermektedir.

Yukarıda bahsedilenlerin ışığında sayısal çözümler daha iyi yaklaşımlar sağlar. İki farklı tip killi zeminin (yani farklı C_v değerli) arayüzeylerindeki artık boşluk suyu basıncının hesabı ile ilgilenirsek eşitlik 3.58 bir miktar modifiye edilmelidir. Şekil 3.15 'ye göre bu aşağıdaki gibi yapılabilir (Scott, 1963): Eşitlik 3.20 'den

$$\frac{k}{C_v} \frac{\partial u}{\partial t} = k \frac{\partial^2 u}{\partial z^2}$$

↑ ↑

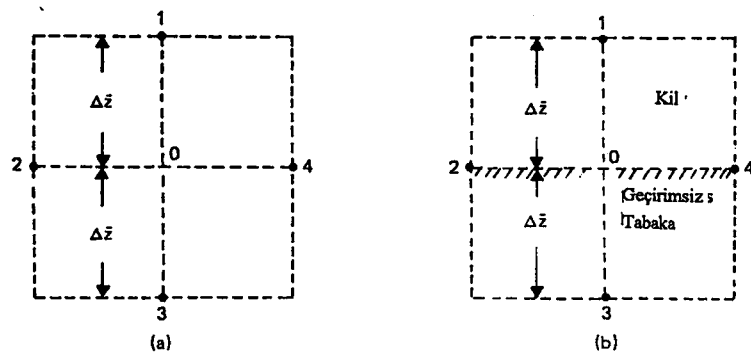
(3.60)

Hacim değişimi Akım oranları arasındaki fark

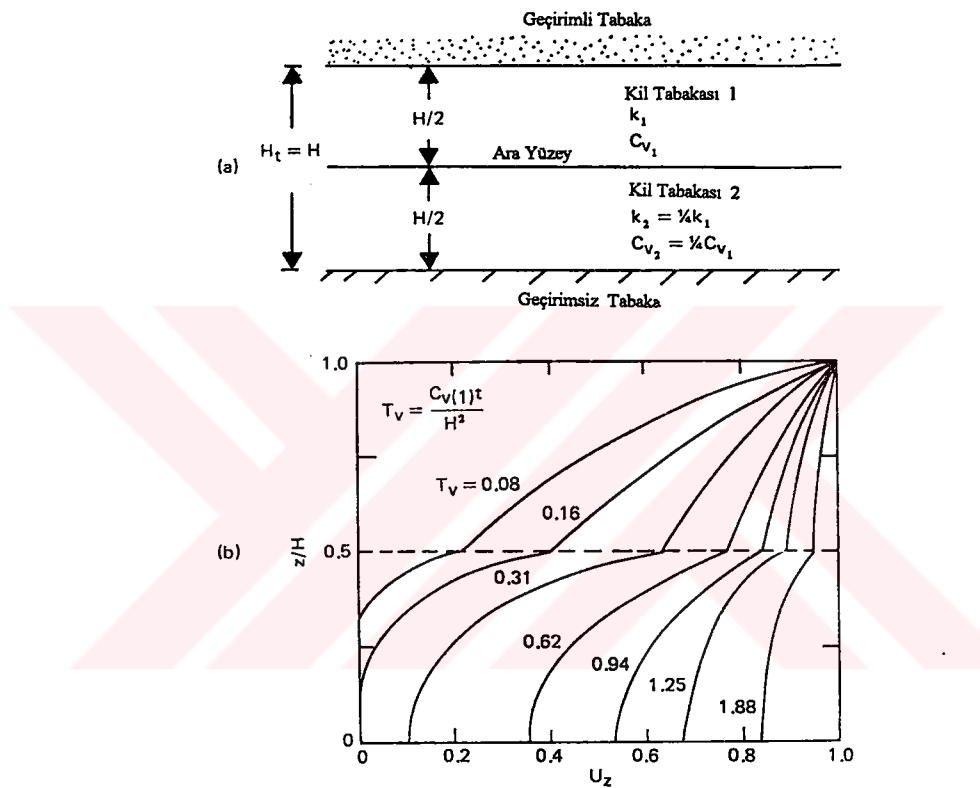
Akım oranları arasındaki farkın sonlu farklar formülasyonu aşağıdaki gibi,

$$k \frac{\partial^2 u}{\partial z^2} = \frac{1}{2} \left[\frac{k_1}{(\Delta z)^2} + \frac{k_2}{(\Delta z)^2} \right] \left(\frac{2k_1}{k_1 + k_2} u_{1,t} + \frac{2k_2}{k_1 + k_2} u_{3,t} - 2u_{0,t} \right) \quad (3.61)$$

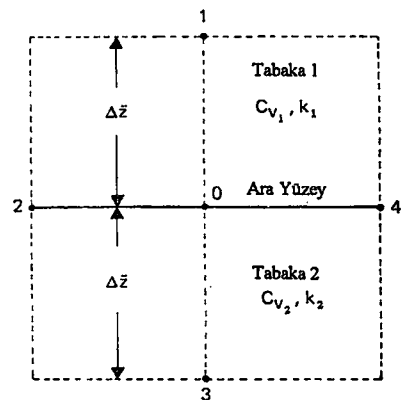




Şekil 3.13. Geçirimli ve geçirimsiz tabaka durumları için sonlu fark ağ elemanları



Şekil 3.14. İki tabaklı zemindeki konsolidasyon derecesi



Şekil 3.15. İki farklı killi zemin durumu için sonlu fark ağ elemanları

yazılabilir, burada k_1 ve k_2 sırasıyla 1 ve 2 tabakalarının permeabilite katsayılarıdır. $u_{0,t}$, $u_{1,t}$, ve $u_{3,t}$ t zamanındaki 0, 1 ve 3 noktalarının artik boşluk suyu basınçlarıdır.

Sınırdaki elemanın ortalama hacim değişimi de

$$\frac{k}{C_v} \frac{\partial u}{\partial t} = \frac{1}{2} \left(\frac{k_1}{C_{v_1}} + \frac{k_2}{C_{v_2}} \right) \frac{1}{\Delta t} (u_{0,t+\Delta t} - u_{0,t}) \quad (3.62)$$

gibi yazılabilir, burada $u_{0,t}$ ve $u_{0,t+\Delta t}$ 0 noktasındaki sırasıyla t ve $t+\Delta t$ zamanlarındaki artik boşluk suyu basınçlarıdır. Eşitlik 3.61 ve 3.62'in sağ taraflarını eşitleyerek

$$\left(\frac{k_1}{C_{v_1}} + \frac{k_2}{C_{v_2}} \right) \frac{1}{\Delta t} (u_{0,t+\Delta t} - u_{0,t}) = \frac{1}{(\Delta z)^2} (k_1 + k_2) \left(\frac{2k_1}{k_1 + k_2} u_{1,t} + \frac{2k_2}{k_1 + k_2} u_{3,t} - 2u_{0,t} \right)$$

veya

$$u_{0,t+\Delta t} = \frac{\Delta t}{(\Delta z)^2} \frac{k_1 + k_2}{k_1/C_{v_1} + k_2/C_{v_2}} \left(\frac{2k_1}{k_1 + k_2} u_{1,t} + \frac{2k_2}{k_1 + k_2} u_{3,t} - 2u_{0,t} \right) + u_{0,t} \quad (3.63)$$

veya

$$u_{0,t+\Delta t} = \frac{\Delta t C_{v_1}}{(\Delta z)^2} \frac{1 + k_2/k_1}{1 + (k_2/k_1)(C_{v_1}/C_{v_2})} \left(\frac{2k_1}{k_1 + k_2} u_{1,t} + \frac{2k_2}{k_1 + k_2} u_{3,t} - 2u_{0,t} \right) + u_{0,t}$$

elde edilir. $1/t_R = C_{v_1}/z_R^2$ varsayırsak ve 3.43 eşitliği 3.45 ve 3.55 eşitliklerine yerleştirerek

$$u_{0,\bar{t}+\Delta \bar{t}} = \frac{1 + k_2/k_1}{1 + (k_2/k_1)(C_{v_1}/C_{v_2})} \frac{\Delta \bar{t}}{(\Delta \bar{z})^2} \left(\frac{2k_1}{k_1 + k_2} u_{1,\bar{t}} + \frac{2k_2}{k_1 + k_2} u_{3,\bar{t}} - 2u_{0,\bar{t}} \right) + u_{0,\bar{t}} \quad (3.64)$$

elde edilir.



3.2.7. Zamana Bağlı Yükleme Altında Konsolidasyon Derecesi

Olson (1977), düzgün yayılı tekil yüklemeye bağlı bir boyutlu konsolidasyon için bir matematiksel çözüm ortaya koymuştur. Olson'un çözümü, kil tabakasının alttan ve üstten drene edildiği (H drenaj mesafesidir) Şekil 3.16'in yardımı ile açıklanabilir. Bir q uniform yayılı yükü zemin yüzeyinde uygulansın Şekil 3.16 b'de görüldüğü gibi q zamanın bir fonksiyonudur.

$$u = \sum_{m=0}^{m=\infty} \frac{2u_0}{M} \sin \frac{Mz}{H} \exp(-M^2 T_v) \quad (3.36)$$

burada $T_v = C_v t / H^2$ dir. Yukarıda belirtildiği gibi uygulanan yük zamanın bir fonksiyonudur:

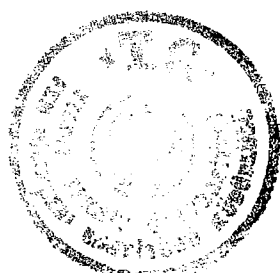
$$q = f(t_a) \quad (3.65)$$

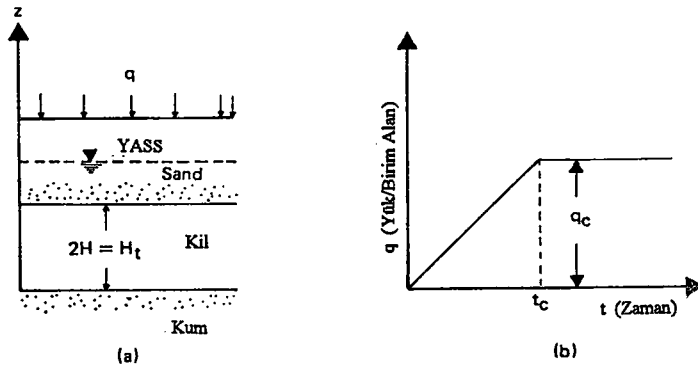
burada t_a herhangi bir yükün uygulanma zamanıdır.

t_a zamanındaki sonsuz küçük dq uygulama yükü için anı boşluk suyu basıncı artışı $du_i = dq$ olacaktır. t zamanında, bir z derinliğindeki kalan artık boşluk suyu basıncı da;

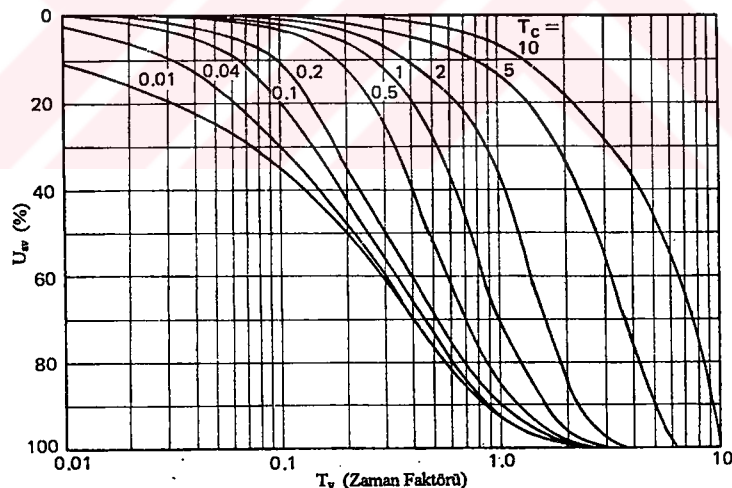
$$\begin{aligned} du &= \sum_{m=0}^{m=\infty} \frac{2du_i}{M} \sin \frac{Mz}{H} \exp\left(\frac{-M^2 C_v (t - t_a)}{H^2}\right) \\ &= \sum_{m=0}^{m=\infty} \frac{2dq}{M} \sin \frac{Mz}{H} \exp\left(\frac{-M^2 C_v (t - t_a)}{H^2}\right) \end{aligned} \quad (3.66)$$

ifadesi ile verilebilir.





Şekil 3.16. Üniform yayılı yükle bağlı tek boyutlu konsolidasyon



Şekil 3.17. Üniform yayılı yük durumunda farklı T_c değerleri için U_{av} - T_v grafiği

Ortalama konsolidasyon derecesi

$$U_{av} = \frac{\alpha q_c - (1/H_t) \int_0^{H_t} u dz}{q_c} = \frac{t \text{ zamanındaki oturma}}{t = \infty \text{ daki oturma}} \quad (3.67)$$

burada αq_c analiz süresince birim alana uygulanan toplam yüktür. $t = \infty$ 'daki oturma nihai oturmadır. Eşitlik 3.67 'nin paydasındaki q_c terimi, q_c gerilmesi aniden yüklenliğinde kil tabakası boyunca ortaya çıkan ani artık boşluk suyu basıncına eşittir ($u_i = q_c$).

3.66 ve 3.67 eşitlerinin uygun integrasyonu aşağıdakileri verir:

$T_v \leq T_c$ için

$$u = \sum_{m=0}^{m=\infty} \frac{2q_c}{M^3 T_c} \sin \frac{Mz}{H} \left[1 - \exp(-M^2 T_v) \right] \quad (3.68)$$

ve

$$U_{av} = \frac{T_v}{T_c} \left\{ 1 - \frac{2}{T_c} \sum_{m=0}^{m=\infty} \frac{1}{M^4} \left[1 - \exp(-M^2 T_v) \right] \right\} \quad (3.69)$$

$T_v \geq T_c$ için

$$u = \sum_{m=0}^{m=\infty} \frac{2q_c}{M^3 T_c} \left[\exp(M^2 T_c) - 1 \right] \sin \frac{Mz}{H} \exp(-M^2 T_v) \quad (3.70)$$

ve

$$U_{av} = 1 - \frac{2}{T_c} \sum_{m=0}^{m=\infty} \frac{1}{M^4} \left[\exp(M^2 T_c) - 1 \right] \exp(-M^2 T_c) \quad (3.71)$$

$$\text{burada } T_c = \frac{C_v t_c}{H^2} \quad (3.72)$$

dir. Şekil 3.17 U_{av} 'nın çeşitli T_c değerleri için T_v 'ye karşı grafiğini göstermektedir.



3.3. Standart Tek Boyutlu Konsolidasyon Deneyi ve Yorumu

Standart tek boyutlu konsolidasyon deneyi genellikle 25.4 mm kalınlıklı 63.5 mm çaplı doygun numuneler üzerinde yapılır (Şekil 3.18). Zemin numunesi üstten ve alttan poroz taşlarla bir metal ring içinde tutulur. Bir manivela kolu yardımı ile numune üzerine P yükü uygulanır ve numunenin sıkışması bir deformasyon saat ile ölçülür. Yük genellikle her 24 saatte bir iki katına çıkarılarak uygulanır. Zemin numunesi deney boyunca su altında tutulur.

Her yükleme artımı için numune deformasyonu ve buna karşı gelen t zamanı yarı logaritmik grafik kağısına çizilir. Şekil 3.19 tipik bir deformasyon-logt grafiğini göstermektedir.

Deneylenden elde edilen grafikte üç ana bölüm vardır.

1. Eğrinin üst bölümü (Aşama I).

Bu esas olarak numunenin önkonsolidasyonunun sonucudur.

2. Eğrinin doğrusal bölümü (Aşama II).

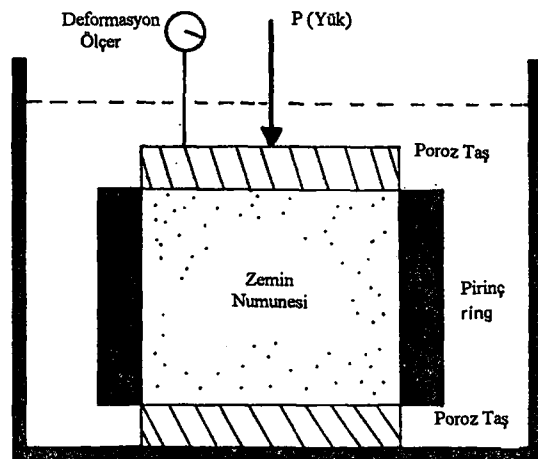
Bu birincil konsolidasyon olarak adlandırılır. Birincil konsolidasyonun sonunda yükün artırılması ile ortaya çıkan artık boşluk suyu basıncı geniş bir alana yayılır.

3. Eğrinin alt doğrusal bölümü (Aşama III).

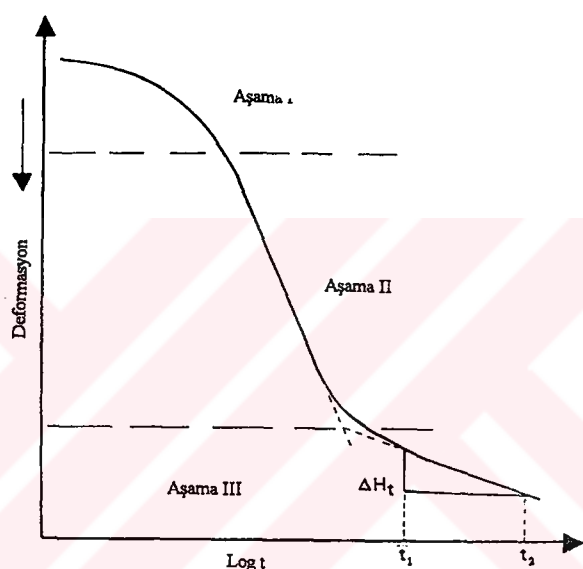
Buna ikincil konsolidasyon denir. Bu aşama süresince numune zamanla küçük deformasyon yapar . Gerçekte ikincil konsolidasyon süresince numunedede ölçülemeyecek derecede küçük artık boşluk suyu basıncı mevcuttur.

Her yük artımı için deneyin sonunda numune üzerindeki gerilme, σ' efektif gerilmedir. Zemin danelerinin özgül ağırlığı numune başlangıç boyutları ve her yükleme sonunda numune deformasyonu belirlendikten sonra karşı gelen boşluk oranı hesaplanabilir. Tipik bir efektif basınç-boşluk oranı ilişkisinin yarı logaritmik bir grafik ile çizimi Şekil 3.20 'da görülmektedir.

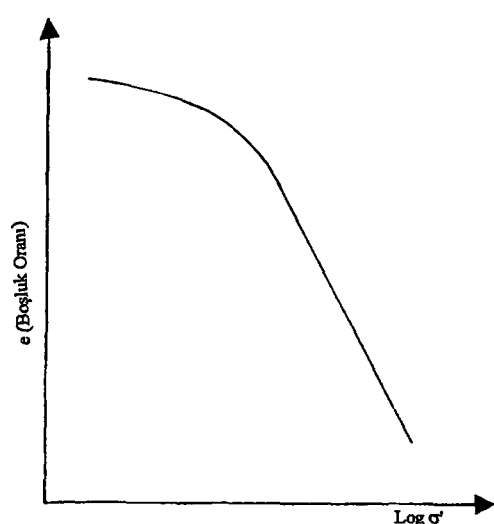




Şekil 3.18. Konsolidasyon hücresi



Şekil 3.19. Verilen bir yük artımı için tipik bir deformasyon-log t grafiği



Şekil 3.20. Tipik e-logσ' grafiği



3.3.1. Önkonsolidasyon Basıncı

Şekil 3.20 'de görülen tipik e-log σ ' grafiğinde, eğrinin üst parçasının eğrisel; bununla beraber daha yüksek basınçlarda e ve log σ ' lineer bir ilişki sergilediği görülebilir. Üst parça eğriseldir çünkü zemin numunesi araziden elde edildiği zaman belli bir maksimum efektif basınçta maruz idi. Zemin araştırmacısının işlemleri esnasında basınç serbest kalır. Laboratuarda zemin numunesi yüklenliğinde, numune geçmişte zeminin maruz kaldığı maksimum efektif gerilmeye kadar boşluk oranında relativ olarak küçük azalma gösterecektir. Bu Şekil 3.20 'de üst eğrisel bölüm ile gösterilmiştir. Eğer zemin numunesi üzerindeki efektif gerilme daha fazla arttırlırsa gerilme seviyesi ile boşluk oranı azalması daha büyük olacaktır. Bu e-log σ ' grafiğinde doğrusal çizgi ile gösterilmiştir. Şekil 3.21 'de görüldüğü gibi bu etki laboratuarda yük kaldırılarak ve tekrar yüklenerek de gösterilebilir. Bu grafikte cd numune yüksüz halde iken ki ve dfgh tekrar yüklentiği zamanki boşluk oranı-efektif gerilme ilişkisidir. d 'de numune daha önce yüklediği σ' maksimum gerilmesinden daha düşük efektif gerilmeye maruzdur. Bu nedenle df daha yayvan bir eğri parçası sergiler. f noktasının ötesinde boşluk oranı efektif gerilme ile daha büyük oranlarda azalır, ve gh bc ile aynı eğime sahip olur.

Yukarıdaki açıklamalar ışığında, bir zeminin iki halini tanımlayabiliriz:

1. Normal Konsolide Zemin

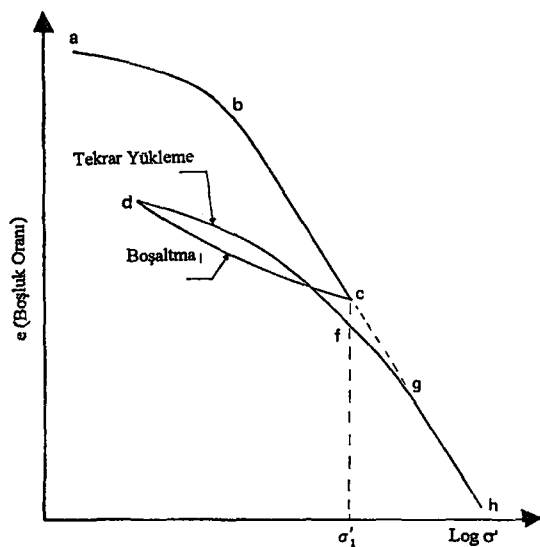
O anki efektif yük basıncı, zemine geçmişte uygulanmış olan maksimum basınçta eşit olursa, yani $\sigma'_{\text{şimdiki}} = \sigma'_{\text{maks geçmiş}}$, bu zemine normal konsolide zemin denir.

2. Aşırı Konsolide Zemin

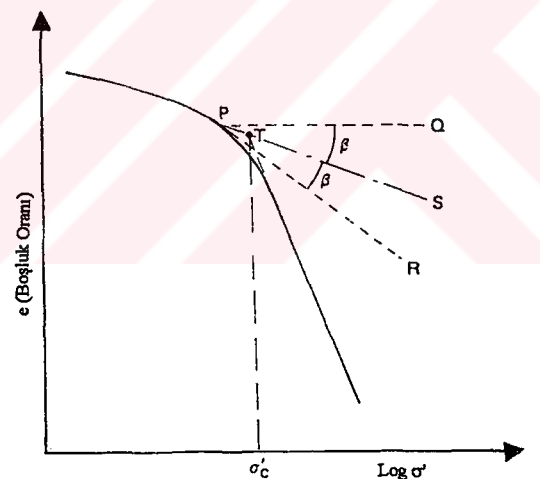
O anki efektif yük basıncı zemine geçmişte uygulanmış maksimum basınçtan daha az olursa, yani $\sigma'_{\text{şimdiki}} < \sigma'_{\text{maks geçmiş}}$, bu zemine aşırı konsolide zemin denir.

Şekil 3.21 'de ab, cd ve df kolları zeminin aşırı konsolide hali, bc ve fh kolları zeminin normal konsolide durumudur.





Şekil 3.21. Yükleme, boşaltma ve tekrar yükleme durumlarını gösteren e - $\log \sigma'$ grafiği



Şekil 3.22. Önkonsolidasyon basıncının bulunmasında Casagrande metodu grafiği

Arazideki doğal koşullarda zemin ya normal konsolide veya aşırı konsolide olabilir. Arazideki bir zemin çeşitli mekanizmalar sonucunda aşırı konsolide hale gelebilir. Bu mekanizmaların bazıları Tablo 3.2 'de listelenmiştir.

Tablo 3.2. Aşırı Konsolidasyona Neden Olan Mekanizmalar

Mekanizma	Referanslar ve Notlar
Toplam gerilmedeki değişimler	-
Aşırı yük basıncının kaldırılmasından dolayı	-
Geçmiş yapılardan dolayı	-
Buzuldan dolayı	-
YASS 'nin değişiminden dolayı boşluk suyu basıncındaki değişim	Kenney (1964) deniz seviyesi değişimlerini vermiştir.
Artezyen basınçlar	Buzul alanlarda yaygındır
Derin kuyudan su çekme	Birçok şehirde yaygındır.
Kurumadan dolayı	Çoğu çürüme esnasında meydana gelmiştir.
Bitkilerden dolayı	Çoğu çürüme esnasında meydana gelmiştir
İkincil sıkışmadan (yaşlanma) dolayı zemin yapısındaki değişiklikler	Raju (1965), Leonards and Ramiah (1960); Leonards and Altschaeffl (1964); Bjerrum (1967, 1972)
pH, sıcaklık ve tuz konsantrasyonu gibi çevresel değişiklikler	Lambe (1958)
İyon değişimi, bağlayıcı etkenlerin çökelmesi, kurutmadan dolayı kimyasal değişim	Bjerrum (1967)
Yükleme esnasında şekil değiştirme hızının değişimi	Lowe (1974)

e-log σ ' grafiğinden önkonsolidasyon basıncı, genellikle Casagrande (1936) ortaya koyduğu bir grafiksel yöntemle Şekil 3.22 'de görüldüğü gibi saptanır. İşlem adımları aşağıdaki gibidir:



1. Eğriliğin maksimum olduğu (e -log σ' grafiğinin üst eğrisel parçası) P noktası gözlemsel olarak saptanır.
2. PQ yatay doğrusu çizilir.
3. P noktasından bir PR teğeti çizilir.,
4. QPR açısının PS açı ortayı çizilir.
5. e -log σ' grafiğinin doğrusal kısmı geriye doğru uzatılarak PS doğrusunu kestiği T noktası saptanır.
6. T noktasına karşı gelen efektif basıncı σ'_c önkonsolidasyon basıncıdır.

σ'_c 'nın saptanmasında diğer bir metod Burmister (1951) tarafından verilmiştir.

3.3.2. Sıkışma İndisi

Normal konsolide zeminlerin e -log σ' grafiğinin eğimi C_c sıkışma indisiidir. Şekil 3.23 'den

$$C_c = \frac{e_1 - e_2}{\log \sigma'_2 - \log \sigma'_1} = \frac{\Delta e}{\log(\sigma'_2 / \sigma'_1)} \quad (3.73)$$

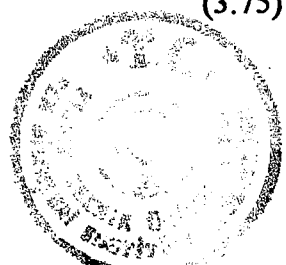
Normal konsolide killer için Terzaghi and Peck (1967) sıkışma indisinin bir korelasyonunu

$$C_c = 0.009(w_L - 10) \quad (3.74)$$

vermiştir, burada w_L likit limittir. Bu ifade $\pm 30\%$ 'luk bir güvenirliliğe sahiptir ve 4 'den daha büyük hassaslık oranlı killer için kullanılmamalıdır.

Terzaghi ve Peck benzer bir korelasyonu yoğunluksuz killer içinde vermiştir:

$$C_c = 0.007(w_L - 10) \quad (3.75)$$



Zeminlerin temel endeks özellikleri ile sıkışma indisi için çeşitli başka korelasyonlar yapılmış olup bazıları aşağıda verilmiştir (Azzouz et al. 1976).

$$C_c = 0.01w_n \quad (\text{Chicago killeri için}) \quad (3.76)$$

$$C_c = 0.0046(w_L - 9) \quad (\text{Brazilya killeri için}) \quad (3.77)$$

$$C_c = 1.21 + 1.055(e_0 - 1.87) \quad (\text{Sao Paulo - Motley kili}) \quad (3.78)$$

$$C_c = 0.208e_0 + 0.0083 \quad (\text{Chicago killeri için}) \quad (3.79)$$

$$C_c = 0.0115w_n \quad (\text{Organik zeminler, Turba vb.}) \quad (3.80)$$

burada w_n tabii su muhtevası (%) ve e_0 başlangıç boşluk oranıdır.

Nacci et al. (1975) Kuzey Atlantik'ten doğal derin okyanus zemin numunelerini test etmişlerdir. Kalsit muhtevası %10-%80 arasında değişiklik göstermiştir. Onların sonuçlarına dayanarak, aşağıdaki eşitlik de ortaya konmuştur

$$C_c = 0.02 + 0.014(w_P) \quad (3.81)$$

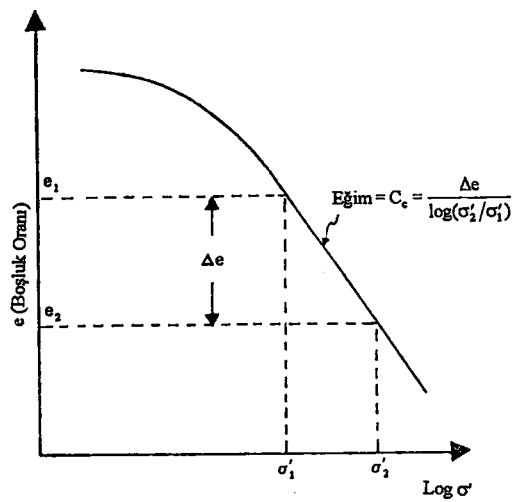
burada w_P plastisite indisidir.

3.3.3. Örselenmiş Numunenin e-logo' Eğrisine Etkisi

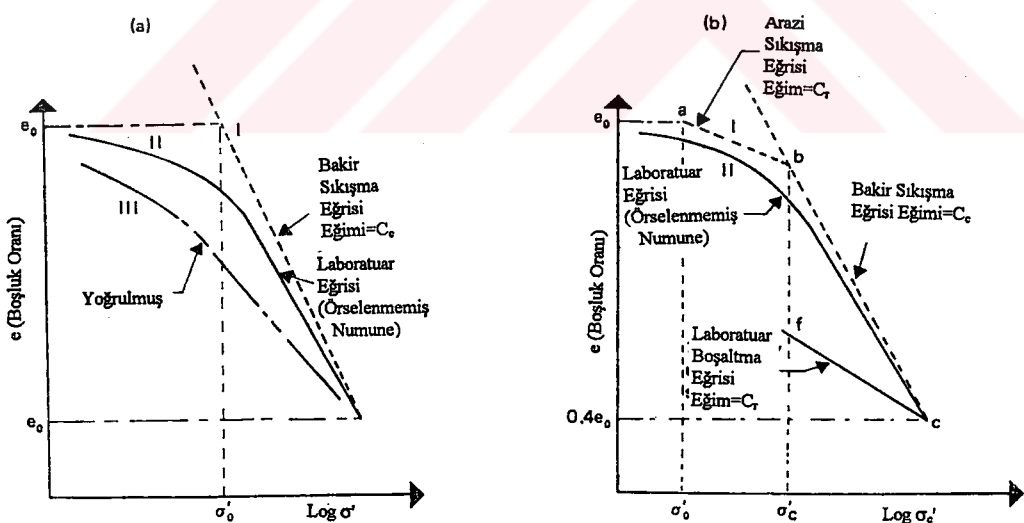
Araziden elde edilen zemin numuneleri bazen örselenmiş olur. Bu numuneler üzerinde konsolidasyon deneyleri yapıldığında arazide yapılandan çok az farklı e-logo' eğrisi elde edilir. Bu Şekil 3.24 'de gösterilmiştir.

Şekil 3.24 'deki I eğrisi örselenmemiş normal konsolide kilin (şimdiki efektif basınç σ'_0 ; boşluk oranı e_0) arazide gösterdiği e-logo' değişiminin grafiğini gösterir. Buna bakır sıkışma eğrisi denir. Dikkatli bir şekilde alınan numune üzerinde yapılan bir laboratuar





Şekil 3.23. C_c sıkışma indisinin bulunmasını gösteren grafik



Şekil 3.24. Numune örselenmesinin e - $\log \sigma'$ eğrisine etkisi

konsolidasyon deneyi II eğrisi gibi e-log σ ' grafiği verir. Aynı zemin tümüyle yoğrulursa ve sonra konsolidometrede deneye tabi tutulursa nihai boşluk oranı-basınç grafiği III eğrisi gibi olacaktır. Bakır sıkışma eğrisi (Eğri I) ve dikkatlice çıkarılan numuneden elde edilen laboratuar e-log σ ' eğrisi (eğri II) yaklaşık $0.4e_0$ boşluk oranında kesisirler (Terzaghi ve Peck, 1967).

Şekil 3.24 b 'deki I eğrisi, aşırı konsolide bir kilin arazi konsolidasyon eğrisini gösterir. Simdiki efektif basınç σ'_0 ve buna karşı gelen boşluk oranı e_0 'dır. σ'_e ön konsolidasyon basıncı ve b_c bakır sıkışma eğrisinin bir parçasıdır. Eğri II buna karşı gelen laboratuar konsolidasyon eğrisidir. Dikkatli bir deneyden sonra Schmertman (1953) Şekil 3.24 b 'deki ab arazi sıkışma kısmının laboratuar boşaltma cf yaklaşık olarak aynı eğime sahip olduğu sonucuna varmıştır. Laboratuar boşaltma parçasının eğimi C_r olarak gösterilir. C_r 'nin aralığı yaklaşık olarak $nin 1/5 ile 1/10 arasındadır.$

3.4. Tek Boyutlu Konsolidasyon Oturmasının Hesabı

Tek boyutlu konsolidasyon oturma hesabının temel esası Şekil 3.25 'de gösterilmiştir. H_t toplam kalınlık bir kil tabakası σ'_0 'den σ'_1 ortalama efektif basıncına kadarki bir artırmaya maruz bırakılırsa ΔH_t konsolidasyon oturması meydana gelir. Böylece şekil değiştirme

$$\varepsilon = \frac{\Delta H_t}{H_t} \quad (3.82)$$

ile verilebilir, burada ε şekil değiştirmedir. Tekrar, örselenmemiş bir laboratuar numunesi aynı efektif gerilme artımına maruz bırakılırsa boşluk oranı Δe kadar azalır. Böylece şekil değiştirme



$$\varepsilon = \frac{\Delta e}{1 + e_0} \quad (3.83)$$

halini alır, burada e_0 , σ'_0 efektif gerilmesindeki boşluk oranıdır.

Böylece eşitlik 3.82 ve 3.83 'den

$$\Delta H_t = \frac{\Delta e H_t}{1 + e_0} \quad (3.84)$$

yazılabilir.

Arazideki normal konsolidde bir kil için (Şekil 3.26a):

$$\Delta e = C_c \log \frac{\sigma'_1}{\sigma'_0} = C_c \log \frac{\sigma'_0 + \Delta \sigma}{\sigma'_0} \quad (3.85)$$

Aşırı konsolidde bir kil için, (1) eğer $\sigma'_1 < \sigma'_c$ ise (Şekil 3.26b)

$$\Delta e = C_r \log \frac{\sigma'_1}{\sigma'_0} = C_r \log \frac{\sigma'_0 + \Delta \sigma}{\sigma'_0} \quad (3.86)$$

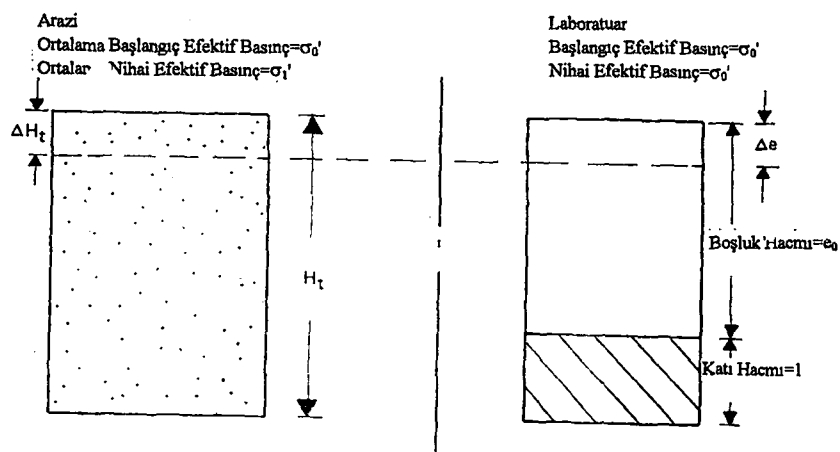
ve (2) eğer $\sigma'_0 < \sigma'_c < \sigma'_1$ (Şekil 3.26c) ise

$$\Delta e = \Delta e_1 + \Delta e_2 = C_r \log \frac{\sigma'_c}{\sigma'_0} + C_c \log \frac{\sigma'_0 + \Delta \sigma}{\sigma'_c} \quad (3.87)$$

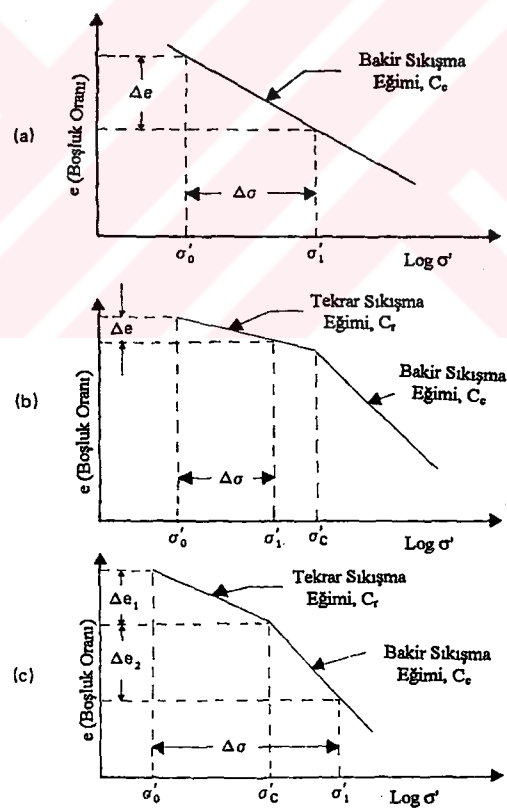
biçimindedir.

Eşitlik 3.84 'ya göre bir boyutlu konsolidasyon oturması

$$S_c = \frac{\Delta e}{1 + e_0} H_t \quad (3.84)$$



Şekil 3.25. Tek boyutlu konsolidasyon oturmasının karşılaştırılmalı hesabı



Şekil 3.26. Δe 'nin hesabı (Eşitlik 3.85 - 3.87)

biçiminde verilebilir, burada

$$\Delta e = C_c \log \frac{\sigma'_0 + \Delta\sigma}{\sigma'_0} \quad (\text{normal konsolidide killer için}) \quad (3.85)$$

$$\Delta e = C_r \log \frac{\sigma'_0 + \Delta\sigma}{\sigma'_0} \quad (\text{aşırı konsolidide killer için}) \quad \sigma'_0 + \Delta\sigma \leq \sigma'_c \quad (3.86)$$

$$\Delta e = C_r \log \frac{\sigma'_c}{\sigma'_0} + C_c \log \frac{\sigma'_0 + \Delta\sigma}{\sigma'_c} \quad (\sigma'_0 < \sigma'_c < \sigma'_0 + \Delta\sigma) \quad (3.87)$$

burada σ'_c ön konsolidasyon basıncıdır.

3.4.1. Sınırlı Bir Yüklü Alan Altında Konsolidasyon Oturmasının Hesabı

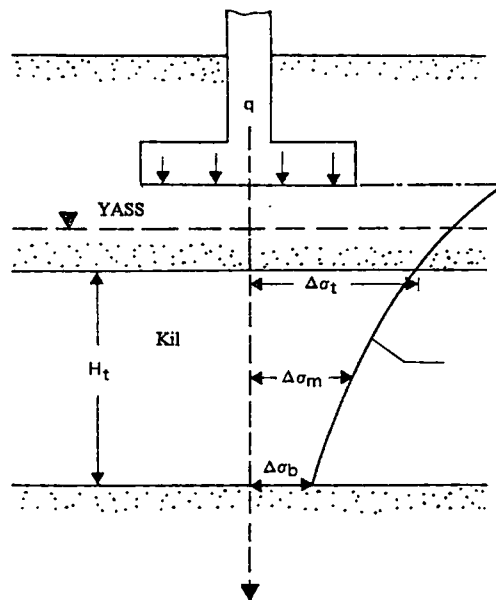
Sınırlı bir alan üzerine bir yük uygulandığında uygulanan yükle bağlı olarak basınç artması Şekil 3.27 'da görüldüğü gibi, derinlikle azalacaktır. Dolayısıyla, daha gerçekçi bir oturma tahmini için aşağıdaki yöntemleri kullanabiliriz.

3.4.1.1. Metot A

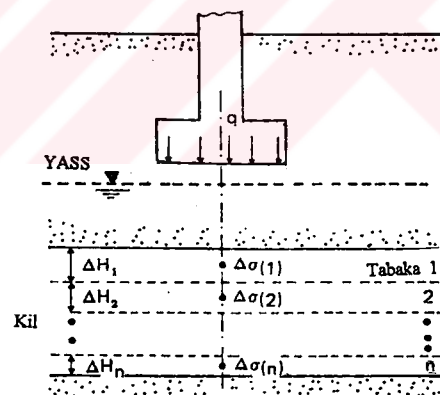
1. Göz önüne alınan yük uygulamadan önce kil tabakası üzerindeki σ'_0 ortalama efektif basıncı hesaplanır.

2. Kil tabakasının üst, orta ve altında uygulanan yükten dolayı olan gerilme artışı hesaplanır. Boussinesq (1883) zemin yüzeyine etkiyen tekil yüklemeden dolayı yarı sonsuz kütle içindeki gerilme problemi çözümüştür. Bu çözüm çeşitli taban şekilli temeller için genelleştirilebilir ve böylece geliştirilen formüllerle gerilme artışı hesaplanabilir. Kil tabakasındaki ortalama gerilme artışı Simpson kuralı kullanılarak





Şekil 3.27. Metod A 'ya göre konsolidasyon oturmasının hesabı



Şekil 3.28. Metod B 'ye göre konsolidasyon oturmasının hesabı

$$\Delta\sigma_{av} = \frac{1}{6}(\Delta\sigma_t + 4\Delta\sigma_m + \Delta\sigma_b) \quad (3.88)$$

tahmin edilebilir, burada $\Delta\sigma_t$, $\Delta\sigma_m$ ve $\Delta\sigma_b$ sırasıyla kil tabakasının üstündeki, ortasındaki ve altındaki gerilme artışlarıdır.

σ'_0 ve yukarıda hesaplanan $\Delta\sigma_{av}$ kullanılarak eşitlik 3.85, 3.86 veya 3.87 'den hangisi uygulanabilirse ondan Δe elde edilir.

4. Eşitlik 3.84 kullanılarak oturma hesaplanır.

3.4.1.2. Metot B

1. Oturma hesabında daha iyi sonuçlar kil tabakasını Şekil 3.28'de görüldüğü gibi, n adet tabakaya bölerek elde edilebilir.
2. Herbir tabakanın ortasında $\sigma'_{0(i)}$ efektif gerilmesi hesaplanır.
3. Uygulanan yükten dolayı olan her tabakanın ortasındaki $\Delta\sigma_i$ gerilme artışı hesaplanır.
4. Eşitlik 3.85, 3.86 veya 3.87 'dan hangisi uygulanabilirse herbir kil tabakası için Δe_i hesaplanır.
5. Bütün kil tabakası için toplam oturma

$$S_c = \sum_{i=1}^{i=n} \Delta S_c = \sum_{i=1}^n \frac{\Delta e_i}{1+e_0} \Delta H_i \quad (3.89)$$

biçiminde hesaplanır.

3.5. Drenajsız Yüklemeye Bağlı Boşluk Suyu Basıncı Artışları

Zeminlerde konsolidasyona uygulanan yüklerden dolayı meydana gelen boşluk suyu basıncı artışlarının neden olduğu bilinmektedir. Boşluk suyunun dışarıya çıkışmasına yetecek kadar bir zaman süresince bir zemin üzerine bir yük çok yavaş uygulanırsa pratik olarak boşluk suyu basıncında hiçbir artma olmayacağıdır. Bununla beraber, bir zemin



hızlı bir şekilde yüklendiğinde ve permeabilite katsayı kilde olduğu gibi küçükse, boşluk suyunun drenajı için yeterli bir zaman olmayacağındır. Bu boşlu suyu basıncında bir artmaya sebep olur. Bu bölümde çeşitli drenajsız yüklemeler için artık boşluk suyu basıncının matematiksel formülasyonları geliştirilecektir.

3.5.1. İzotrop gerilme uygulamasına bağlı olarak gelişen boşluk suyu basıncı artımı

Şekil 3.29 bir $\Delta\sigma$ şiddetinde bir izotrop gerilme artımına maruz izotrop doygun zemin elemanını göstermektedir. Eğer zeminden drenaja müsade edilmezse boşluk suyu basıncı Δu 'ya kadar artacaktır. Boşluk suyu basıncının artması boşluk suyunda ΔV_p miktarlı bir hacimsal değişimeye neden olacaktır. Bu,

$$\Delta V_p = nV_0C_p\Delta u \quad (3.90)$$

biçimde ifade edilebilir, burada

n = porozite

C_p = boşluk suyunun sıkışabilirliği

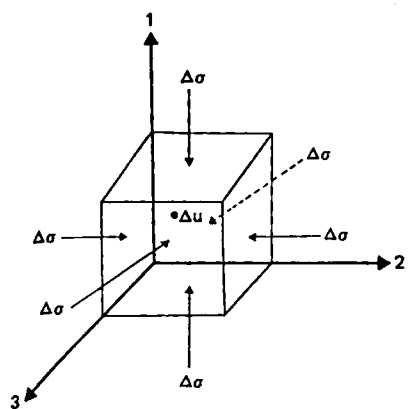
V_0 = zemin elemanın orjinal hacmi

Elemanın bütün doğrultularındaki efektif gerilme artışı $\Delta\sigma' = \Delta\sigma - \Delta u$ olacaktır. Efektif gerilme artısına bağlı olarak zemin iskeletinin hacmindeki değişim,

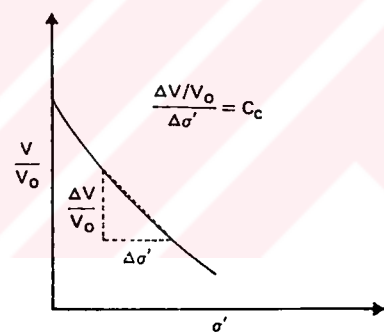
$$\Delta V = 3C_e V_0 \Delta\sigma' = 3C_e V_0 (\Delta\sigma - \Delta u) \quad (3.91)$$

biçiminde verilebilir. Eşitlik 3.91'deki C_e , Şekil 3.30'de görüldüğü gibi zemin iskeletinin laboratuarda sıfır artık boşluk suyu basınçlı tek eksenli basınç yüklemesi altında elde edilen, sıkışabilirliğidir. Burada sıkışmanın, yeni hacimdaki azalmanın pozitif olarak alındığını belirtelim.

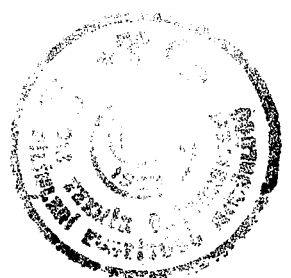




Şekil 3.29. İzotrop gerilme altında zemin elemanı



Şekil 3.30. C_c 'nin bulunmasını gösteren grafik



Boşluk suyunun hacmindeki değişme, ΔV_p , zemin iskeletinin hacmindeki ΔV değişimine eşit olduğundan, eşitlik 3.90 ve 3.91'den

$$nV_0C_p\Delta u = 3C_cV_0(\Delta\sigma - \Delta u)$$

ve buradan

$$\frac{\Delta u}{\Delta\sigma} = B = \frac{1}{1 + n(C_p / 3C_c)} \quad (3.92)$$

elde edilir. Burada B boşluk basınç parametresidir (Skempton, 1954).

Boşluk suyunun C_p sıkışabilirliği C_c ile karşılaştırıldığında çok küçüktür ve bütün pratik uygulamalar için boşluk suyu basınç parametresi B bir'e eşit alınır. Dolayısıyla doygun zeminler için boşluk suyu basıncının artımı izotrop gerilmenin artımına eşittir, yani $\Delta u = \Delta\sigma$.

3.5.2. Tek eksenli yüklemeye bağlı boşluk suyu basıncı artımı

Tek eksenli gerilme artımına maruz doygun bir zemin elemanı Şekil 3.31'de görülmektedir. Boşluk suyu basıncın artımı Δu 'ya eşit olsun. Bir önceki bölümde anlatıldığı gibi boşluk suyu hacmindaki değişim,

$$\Delta V_p = nV_0C_p\Delta u \quad (3.93)$$

birimindedir.



Şekil 3.31'deki zemin elemanı üzerindeki efektif gerilmelerin artışları:

$$1 \text{ Doğrultusunda } \Delta\sigma' = \Delta\sigma - \Delta u$$

$$2 \text{ Doğrultusunda } \Delta\sigma' = 0 - \Delta u = -\Delta u$$

3 Doğrultusunda $\Delta\sigma' = 0 - \Delta u = -\Delta u$ biçimindedir. Bu zemin iskeletinin hacmındaki değişimin

$$\Delta V = C_c V_0 (\Delta\sigma - \Delta u) + C_e V_0 (-\Delta u) + C_e V_0 (-\Delta u) \quad (3.94)$$

birimde yazılabilmesi sonucunu doğurur, burada C_e hacmin genleşme katsayısıdır (Şekil 3.32). $\Delta V_p = \Delta V$ olduğundan

$$nV_0C_p\Delta u = C_c V_0 (\Delta\sigma - \Delta u) - 2C_e V_0 \Delta u$$

veya

$$\frac{\Delta u}{\Delta\sigma} = A = \frac{C_c}{nC_p + C_c + 2C_e} \quad (3.95)$$

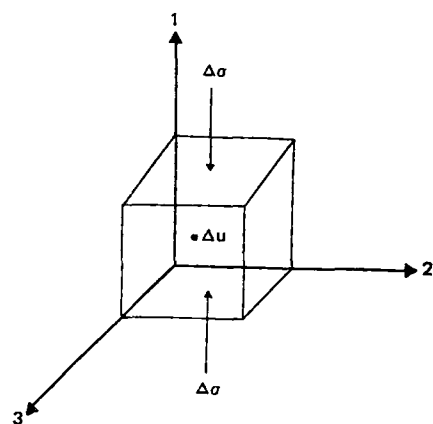
elde edilir, burada A boşluk suyu parametresidir (Skempton, 1954)

Zemin elemanı elastik kabul edilirse, yani $C_c = C_e$

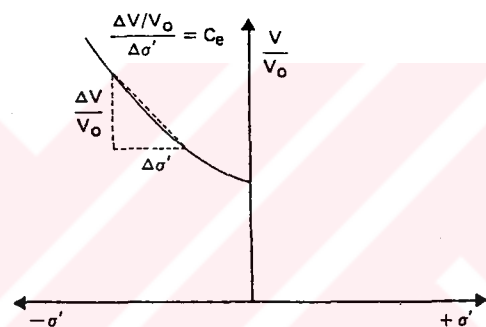
$$A = \frac{1}{n(C_p / C_c) + 3} \quad (3.96)$$

elde edilir, Daha önce işaret edildiği gibi C_p , C_c 'den çok daha küçüktür. Dolayısıyla $C_p/C_c \approx 0$ dir, buradan $A = 1/3$ elde edilir. Bununla beraber, bu gerçek bir durum, yani zemin tam elastik bir malzeme, değildir ve A'nın gerçek değeri geniş bir aralıkta değişir. A'nın üç eksenli deneyden saptanan göçme anındaki tipik değerleri Tablo 3.3 'de verilmektedir.

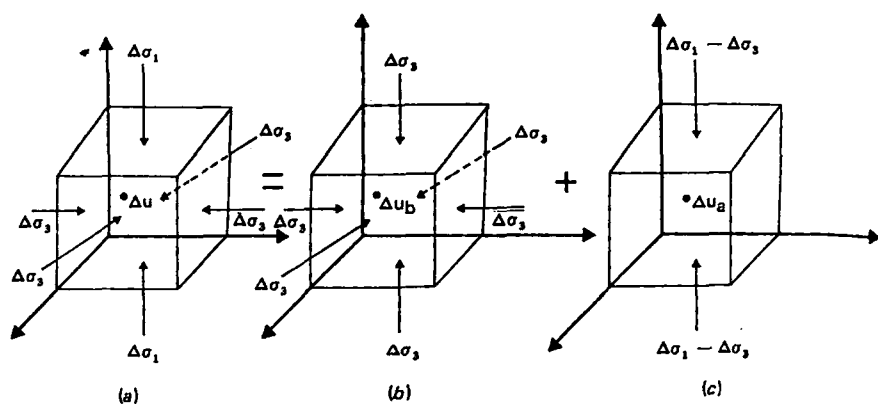




Şekil 3.31. Tek eksenli gerilme altındaki doygun zemin elemanı



Şekil 3.32. C_e 'nin bulunmasını gösteren grafik



Şekil 3.33. Drenajsız üç eksenli deney koşulları altında artık boşluk suyu basıncı



Tablo 3.3. Göçme anındaki tipik değerleri

Zemin Tipi	A		
Yüksek Hassasiyetli Kil	$\frac{3}{4}$	den	$1\frac{1}{2}$
Normal Konsolide Kil	$\frac{1}{2}$	den	1
Aşırı Konsolide Kil	$\frac{1}{2}$	den	0
Sıkıştırılmış Kumlu Kil	$\frac{1}{2}$	den	$\frac{3}{4}$

3.5.3. Üç eksenli deney koşulları altındaki boşluk suyu basıncı artımı

Üç eksenli deney koşulları altındaki bir zemin elemanı üzerine tipik bir gerilme uygulaması Şekil 3.33a 'da görülmektedir ($\Delta\sigma_1 > \Delta\sigma_3$). Δu drenajsız boşluk suyu basıncı artışıdır. Δu , $\Delta\sigma_1$ ve $\Delta\sigma_3$ arasında bir ilişki kurmak için Şekil 3.33a 'da görülen gerilme durumlarının Şekil 3.33 b ve c 'de görülen gerilme durumlarının toplamı olarak gözönüne alınabilir.

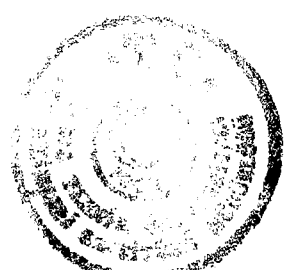
$\Delta\sigma_3$ izotrop gerilmesi Şekil 3.33b 'deki gibi uygulandığında [Eşitlik 3.92 'den]

$$\Delta u_b = B\Delta\sigma_3 \quad (3.97a)$$

yazılabilir. $\Delta\sigma_1 - \Delta\sigma_3$ tek eksenli gerilme Şekil 3.33c 'deki gibi uygulandığında [Eşitlik 3.95 'den]

$$\Delta u_a = A(\Delta\sigma_1 - \Delta\sigma_3) \quad (3.97b)$$

yazılabilir. Şimdi



$$\Delta u = \Delta u_b + \Delta u_a = B\Delta\sigma_3 + A(\Delta\sigma_1 - \Delta\sigma_3) \quad (3.98)$$

elde edilir. Doygun zemin için, $B=1$;

$$\Delta u = \Delta\sigma_3 + A(\Delta\sigma_1 - \Delta\sigma_3) \quad (3.99)$$

biçiminde yazılabilir.

Boşluk suyu basınç parametreleri ilk olarak Skempton (1954) tarafından önerildiği için Skempton parametreleri olarak bilinirler.

3.5.4. Boşluk suyu basınç denkleminin Henkel iyileştirmesi

Zemin mekanlığında çeşitli pratik uygulamalarda orta ve küçük asal gerilmeler aynı değildir. Orta asal gerilmeyi (Şekil 3.34) gözönüne almak için, Henkel (1960) eşitlik 3.99 'da bir iyileştirme önermiştir.

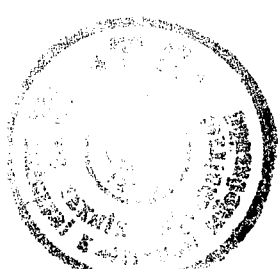
$$\Delta u = \frac{\Delta\sigma_1 + \Delta\sigma_2 + \Delta\sigma_3}{3} + a\sqrt{(\Delta\sigma_1 - \Delta\sigma_2)^2 + (\Delta\sigma_2 - \Delta\sigma_3)^2 + (\Delta\sigma_3 - \Delta\sigma_1)^2} \quad (3.100)$$

veya

$$\Delta u = \Delta\sigma_{oct} + 3a\Delta\tau_{oct} \quad (3.101)$$

burada a Henkel boşluk basınç katsayısı olup, $\Delta\sigma_{oct}$ ve $\Delta\tau_{oct}$ sırasıyla normal ve kayma gerilmelerindeki artışlardır.

Üç eksenli sıkışma deneyinde $\Delta\sigma_2 = \Delta\sigma_3$ biçimindedir. Bu durum için,



$$\Delta u = \frac{\Delta \sigma_1 + 2\Delta \sigma_3}{3} + a\sqrt{2}(\Delta \sigma_1 - \Delta \sigma_3) \quad (3.102)$$

halini alır.

Şekil 3.33c 'deki gibi tek eksenli deneyler için eşitlik 3.100 'de $\Delta \sigma_1$ yerine $\Delta \sigma_1 - \Delta \sigma_3$ ve $\Delta \sigma_2$ ve $\Delta \sigma_3$ yerine sıfır alınabilir, bu durumda

$$\Delta u = \frac{\Delta \sigma_1 - \Delta \sigma_3}{3} + a\sqrt{2}(\Delta \sigma_1 - \Delta \sigma_3)$$

veya

$$\Delta u = \left(\frac{1}{3} + a\sqrt{2}\right)(\Delta \sigma_1 - \Delta \sigma_3) \quad (3.103)$$

birimde yazılabilir. 3.97b ve 3.103 eşitliklerinin karşılaştırılmasından,

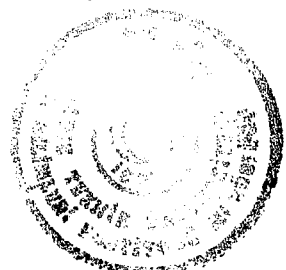
$$A = \left(\frac{1}{3} + a\sqrt{2}\right)$$

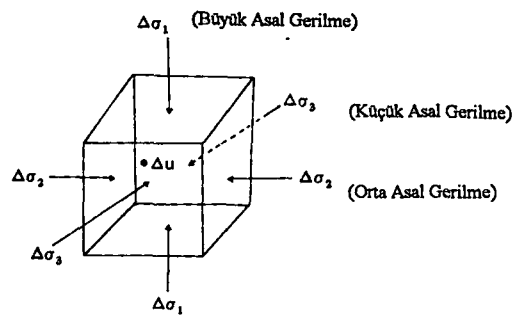
veya

$$a = \frac{1}{\sqrt{2}}(A - \frac{1}{3}) \quad (3.104)$$

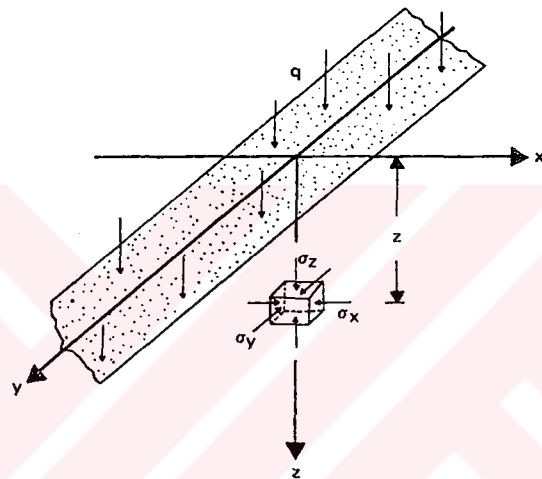
elde edilir.

Boşluk suyu basıncının daha temel olan bu tanımının faydası düzlem şekil değiştirmeler gibi yükleme koşulları ile artık boşluk suyu basıncını birlikte tahmin etmeyi mümkün kılmıştır. Bu, aşağıda q üniform şiddetli (Şekil 3.35) fleksibl şerit yüklemenin merkez çizgisi altındaki doygın bir zemindeki (drenajsız koşulda) artık boşluk suyu basıncı

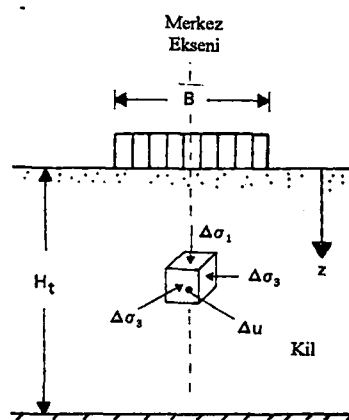




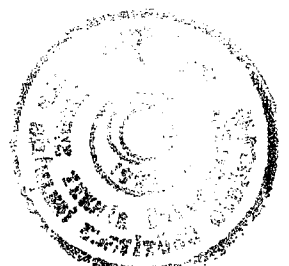
Şekil 3.34. Maksimum, orta ve minimum asal gerilmeli doygun zemin elemanı



Şekil 3.35. Drenajsız şartlarda doygun bir zemin üzerindeki şerit yüklemenin orta çizgisi altındaki artik boşluk suyu basıncının tahmini



Şekil 3.36. Dairesel yüklü bir alanın merkezi altındaki artik boşluk suyu basıncının oluşumu



gelişimi için bir ifade çıkarılmasıyla gösterilebilir. Düzlem şekil değiştirme durumunda bu tip yüklemeler için σ_x , σ_y ve σ_z ifadeleri

$$\sigma_z = \frac{2qz^3}{\pi(x^2 + z^2)^2} \quad (3.105)$$

$$\sigma_x = \frac{2qx^2z}{\pi(x^2 + z^2)^2} \quad (3.106)$$

$$\sigma_y = v(\sigma_x + \sigma_z)$$

biçimindedir, ($\sigma_z > \sigma_y > \sigma_x$).

Eşitlik 3.100 'de σ_1 , σ_2 ve σ_3 yerine σ_x , σ_y ve σ_z koyarak

$$\Delta u = \frac{\sigma_z + v(\sigma_x + \sigma_z) + \sigma_x}{3} + \frac{1}{\sqrt{2}} \left(A - \frac{1}{3} \right) \times \sqrt{[\sigma_z + v(\sigma_x + \sigma_z)]^2 + [v(\sigma_x + \sigma_z) - \sigma_x]^2 + (\sigma_x - \sigma_z)^2}$$

veya $v= 0.5$ için

$$\Delta u = \sigma_x + \left[\frac{\sqrt{3}}{2} \left(A - \frac{1}{3} \right) + \frac{1}{2} \right] (\sigma_z + \sigma_x) \quad (3.107)$$

elde edilir. Eğer standart üç eksenli deneylerden A 'nın değeri saptanabilirse Δu tahmin edilebilir.



3.6. Konsolidasyon Oturmasının Hesabında Skempton-Bjerrum Değiştirmesi (İyileştirmesi)

Tek boyutlu konsolidasyon deneylerinde zemin numunesinin yatay göçmesi yoktur, en büyük ve en küçük asal efektif gerilmelerin oranı, K_0 , sabit kalır. Bu durumda düşey gerilmedeki artıştan ileri gelen boşluk suyu basıncının artışı maksimum asal efektif gerilmeye eşittir:

$$\Delta u = \Delta \sigma \quad (3.108)$$

burada Δu , boşluk suyu basıncı artımı ve $\Delta \sigma$ düşey gerilme artışıdır.

Bununla beraber kil tabakasının bir noktasında verilen yükleme koşuluna bağlı olarak maksimum ve minimum asal gerilmeleri nihai artımı K_0 'a eşit oranda kalmaz. Bu ise zeminin yatay göçmesine neden olur. Verilen bir yükten ileri gelen bir noktadaki boşluk suyu basıncı artışı

$$\Delta u = \Delta \sigma_3 + A(\Delta \sigma_1 - \Delta \sigma_3) \quad (3.99)$$

olarak verilir (Şekil 3.36).

Skempton - Bjerrum (1957) dz kalınlıklı bir zemin elemanın Δu boşluk suyu basıncı artışından ileri gelen düşey sıkışmanın

$$dS_c = m_v \Delta u dz \quad (3.109)$$

birimde verilebileceğini ortaya koymuşlardır, burada m_v hacimsel sıkışma katsayısıdır (bölüm 3.1.2), veya



$$dS_c = m_v [\Delta\sigma_3 + A(\Delta\sigma_1 - \Delta\sigma_3)] dz = m_v \Delta\sigma_1 \left[A + \frac{\Delta\sigma_3}{\Delta\sigma_1} (1-A) \right] dz \quad (3.110)$$

Önceki denklem toplam konsolidasyon oturmasını elde etmek için entegre edilirse

$$S_c = \int_0^{H_t} m_v \Delta\sigma_1 \left[A + \frac{\Delta\sigma_3}{\Delta\sigma_1} (1-A) \right] dz \quad (3.111)$$

elde edilir.

Geleneksel bir boyutlu konsolidasyon için (K_0 şartı):

$$S_{c(oed)} = \int_0^{H_t} \frac{\Delta e}{1+e_0} dz = \int_0^{H_t} \frac{\Delta e}{\Delta\sigma_1} \frac{1}{1+e_0} \Delta\sigma_1 dz = \int_0^{H_t} m_v \Delta\sigma_1 dz \quad (3.112)$$

yazılabilir. (Eşitlik 3.112 'nin eşitlik 3.84 ile aynı olduğunu belirtelim.) Böylece dairesel yük için oturma oranı

$$\begin{aligned} \rho_{\text{daire}} &= \frac{S_c}{S_{c(oed)}} = \frac{\int_0^{H_t} m_v \Delta\sigma_1 [A + (\Delta\sigma_3 / \Delta\sigma_1)(1-A)] dz}{\int_0^{H_t} m_v \Delta\sigma_1 dz} \\ &= A + (1-A) \frac{\int_0^{H_t} \Delta\sigma_3 dz}{\int_0^{H_t} \Delta\sigma_1 dz} = A + (1-A) M_1 \end{aligned} \quad (3.113)$$

burada ,

$$M_1 = \frac{\int_0^{H_t} \Delta\sigma_3 dz}{\int_0^{H_t} \Delta\sigma_1 dz} \quad (3.114)$$

B çaplı dairesel alan üzerine düzgün yayılı yüklemenin merkezi altında oluşan gerilmeler için M_1 değerleri Şekil 3.37 'te verilmektedir. Çeşitli A boşluk suyu basıncı parametreleri için ρ_{daire} oturma oranı değerleri Şekil 3.38 'de verilmektedir.

Eşitlik 3.113 'e benzer bir ifadeyi B genişlikli şeritsel bir yükün merkezi altındaki konsolidasyon içinde çıkarabiliriz (Scott, 1963) (Şekil 3.39).

Eşitlik 3.107 'den

$$\Delta u = \Delta \sigma_3 + \left[\frac{\sqrt{3}}{2} \left(A - \frac{1}{3} \right) + \frac{1}{2} \right] (\Delta \sigma_1 - \Delta \sigma_3) \quad (v=0.5 \text{ için}) \quad (3.115)$$

birimde elde edilir. Böylece

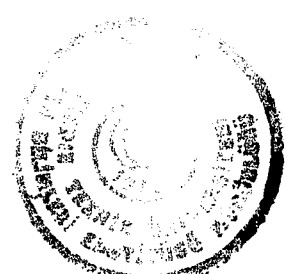
$$S_c = \int_0^{H_t} m_v \Delta u dz = \int_0^{H_t} m_v \Delta \sigma_1 \left[N + (1-N) \frac{\Delta \sigma_3}{\Delta \sigma_1} \right] dz \quad (3.116)$$

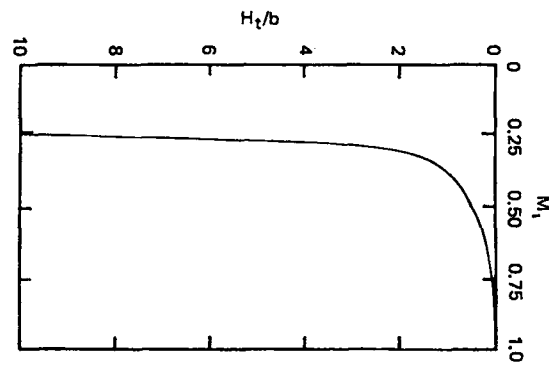
burada,

$$N = \frac{\sqrt{3}}{2} \left(A - \frac{1}{3} \right) + \frac{1}{2} \quad (3.117)$$

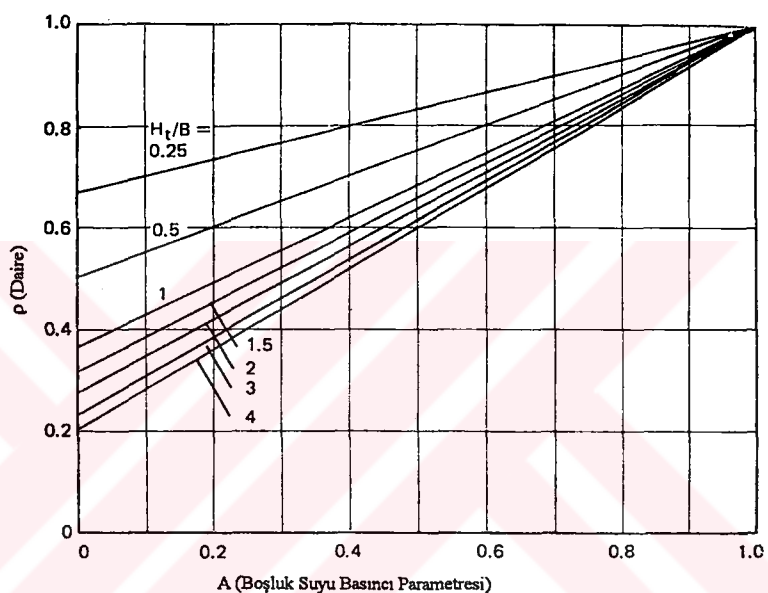
birimdedir.

$$\begin{aligned} \rho_{\text{serit}} &= \frac{S_c}{S_{c(\text{oed})}} = \frac{\int_0^{H_t} m_v \Delta \sigma_1 [N + (1-A)(\Delta \sigma_3 / \Delta \sigma_1)] dz}{\int_0^{H_t} m_v \Delta \sigma_1 dz} \\ &= N + (1-N)M_2 \end{aligned} \quad (3.118)$$

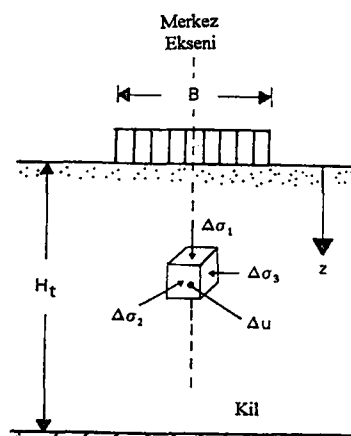




Şekil 3.37. M_1 'in H_t/B ile değişim grafiği



Şekil 3.38. Dairesel yükleme için oturma oranı (Eşitlik 3.113)



Şekil 3.39 Üniform şerit yüklü bir alanın merkezi altındaki artık boşluk suyu basıncının oluşumu

burada ,

$$M_2 = \frac{\int_0^{H_t} \Delta\sigma_3 dz}{\int_0^{H_t} \Delta\sigma_1 dz} \quad (3.119)$$

birimindedir.

A boşluk suyu basınç parametresinin farklı değerleri için $\rho_{şerit}$ değerleri Şekil 3.40'de verilmektedir.

Eşitlik 3.113 ve 3.118 'den elde edilen oturmaların sadece simetri ekseni boyunca olan oturma hesaplamaları için kullanılabileceği mutlaka belirtilmelidir. Simetri ekseninden uzaklardaki asal gerilmeler yatay ve düşey doğrultularda daha farklı değildir.

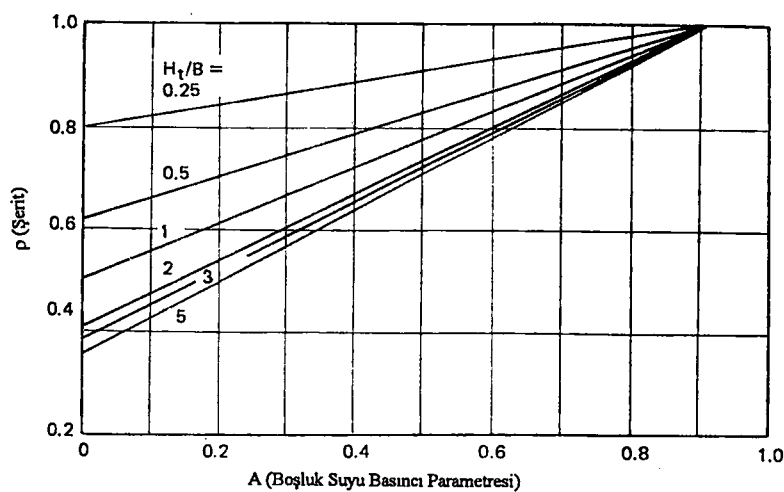
3.7. Aşırı Konsolide Killerin Oturması

Aşırı konsolide killer üzerindeki yapı temellerinin oturması, kil tabakasının bölüm 3.4.1.2. 'de bahsedilen Metod B 'deki kalınlıkların daha küçük kalınlıklarda sonlu sayıda tabaka sayısına bölünerek hesaplanabilir. Böylece,

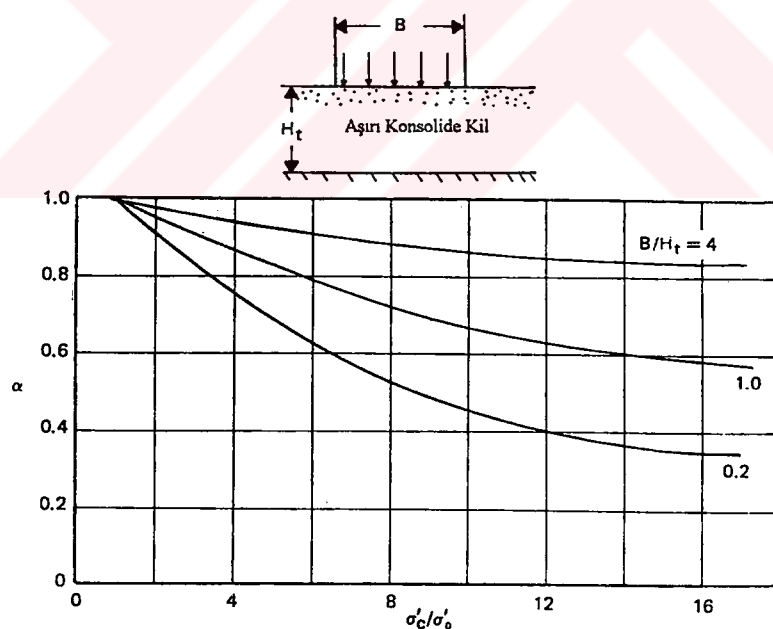
$$S_{c(oed)} = \sum \frac{C_r \Delta H_i}{1 + e_0} \log \frac{\sigma'_{0(i)} + \Delta\sigma_i}{\sigma'_{0(i)}} \quad (3.120)$$

Bölüm 3.6 'da bahsedilen bir boyutlu konsolidasyondan küçük bir değişikliği izah etmek için Leornards (1976) α gibi düzeltme faktörü önermiştir.

$$S_c = \alpha S_{c(oed)} \quad (3.121)$$



Şekil 3.40. Şerit yükleme için oturma oranı (Eşitlik 3.118)



Şekil 3.41. Aşırı konsolidide kildeki oturma oranı

Şekil 3.41b 'de, α düzeltme faktörünün değerleri verilmiştir ve bunlar σ'_c / σ'_0 ortalama değerlerinin ve B/H_t (B temelin genişliği, H_t kil tabakasının kalınlığı (Şekil 3.41a) 'nin bir fonksiyonudur. Leonard 'a göre $B>4H_t$ ise $\alpha=1$ kullanılabilir. Aynı zamanda kil tabakasının üstüne kadar olan derinlik yüklü alanın genişliğinin iki katını aşarsa , $\alpha=1$ eşitlik 3.121 'de kullanılabilir.

3.8. Laboratuar Deney Sonuçlarından Konsolidasyon Katsayısının Hesabı;

Verilen bir yük artışı için C_v konsolidasyon katsayısı, sıkışma-zaman okumasının laboratuar gözlemlerinden saptanabilir. Bunun için iki grafik metod yaygın olarak kullanılır.

- a. Casagrande and Fadum (1940) tarafından verilen Logaritma Zaman Metodu
- b. Taylor (1942) tarafından verilen Karekök Zaman Metodu.

Ayrıca Su (1958) ve Sivaram and Swamee (1977) tarafından verilen iki kullanışlı metod daha vardır. Bu dört metodun herbiri aşağıda tanımlanmıştır.

a. Logaritma Zaman Metodu,

1. Yarı logaritmik grafik kağıdı üzerine, Şekil 3.42 'de görüldüğü gibi, zamana bağlı verilen bir yük artışı için numune deformasyonu-zaman okuması çizilir.
2. t_1 ve t_2 zamanlarına karşı gelen konsolidasyon eğrisinin üst kısmı üzerinde sırasıyla P ve Q noktaları işaretlenir. Burada $t_2=4t_1$ olmalıdır.
3. P ve Q arasındaki zaman okumaları farklı x eşittir. P noktasının üzerinde, x eşittir.

P noktasının üzerinde x uzaklığında bir R noktası belirlenir.

4. Yatay RS çizgisi çizilir. Bu çizginin düşey ekseni kestiği nokta %0 konsolidasyona karşı gelen saat okuması d_0 dır.



5. Birincil konsolidasyonun doğrusal kısmı ile ikincil konsolidasyonun doğrusal kısmının uzantılarının keşistiği T noktası bulunur. T 'ye karşı gelen saat okuması d_{100} yani %100 birincil konsolidasyondur.

6. $(d_0+d_{100})/2=d_{50}$ saat okumasına karşı gelen konsolidasyon eğrisi üzerinde V noktası saptanır. V noktasına karşı gelen zaman t_{50} , yani %50 konsolidasyonun gerçekleştiği zamandır.

7. $T_v = C_v t / H^2$ eşitliğinden C_v saptanır. $U_{av}=%50$ için $T_v=0.197$ dir (Tablo 3.1).

Böylece

$$C_v = \frac{0.197H^2}{t_{50}} \quad (3.122)$$

biçiminde bulunur.

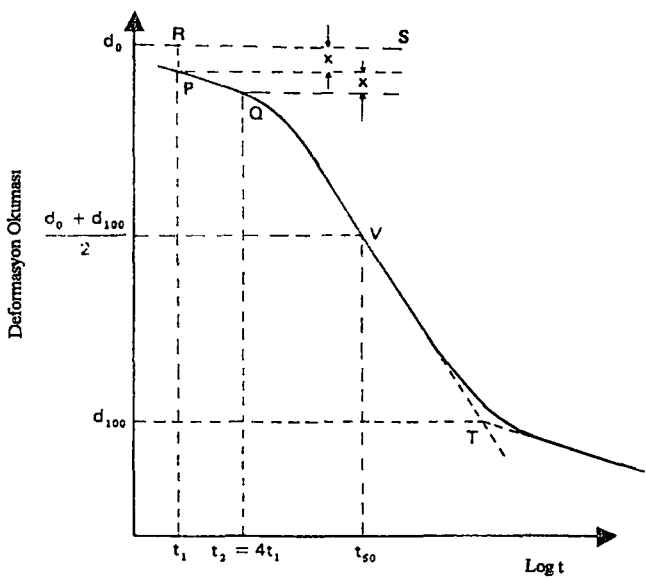
b. Karekök Zaman Metodu

1. Şekil 3.43 'de görüldüğü gibi \sqrt{t} karekök zaman ve saat okumaları çizilir.
2. Eğrinin ilk kısmına PQ teğeti çizilir.
3. OR = $(1.15)(0Q)$ uzunluğu olacak biçiminde PR doğrusu çizilir.
4. S noktasının (yani PR ile konsolidasyon eğrisinin keşistiği nokta) apsisi \sqrt{t}_{90} 'ı (yani %90 konsolidasyonun olduğu karekök zamanı) verecektir.
5. Ortalama $U_{av}=%90$ için T_v değeri 0.848 dir. Böylece

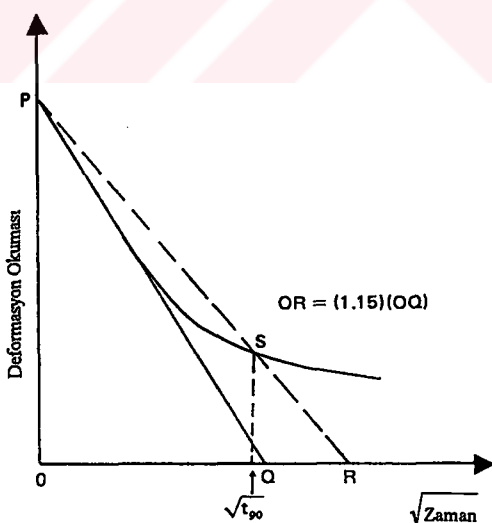
$$C_v = \frac{0.848H^2}{t_{50}} \quad (3.123)$$

elde edilir.





Şekil 3.42. C_v 'nin bulunmasında logaritma zaman metodunun grafiği



Şekil 3.43. C_v 'nin bulunmasında karekök zaman metodunun grafiği

c. Su 'nun maksimum eğim medotu

1. Şekil 3.44 'da görüldüğü gibi yarı logaritmik grafik kağıdına zaman-deformasyon okuması çizilir.
2. Logaritma zaman metodundaki 2-4 adımlarındaki durumlarla aynı biçimde d_u saptanır.
3. Konsolidasyon eğrisinin doğrusal kısmına PQ teğeti çizilir.
4. PQ teğetinin h eğimi bulunur.
- 5.

$$d_u = d_0 + \frac{h}{0.688} U_{av} \quad (3.124)$$

olarak bulunur, burada d_u , verilen herhangi bir U_{av} ortalama konsolidasyon derecesine karşı gelen deformasyon okumasıdır.

6. d_u okumasına karşı gelen zaman böylece saptanabilir ve

$$C_v = \frac{T_v H^2}{t} \quad (3.125)$$

birimde hesaplanabilir.

Su 'nun metodu tipik S şekli sergilemeyen konsolidasyon eğrileri için daha uygulanabildir.



d. Sivaram ve Swamee Hesaplama Metodu,

1. Konsolidasyonun ilk aşamasından ("ilk aşama" konsolidasyon derecesinin %53 den daha küçük olduğu anlamındadır) t_1 ve t_2 zamanlarına karşı gelen d_1 ve d_2 deformasyon okuması alınır

2. Oturmanın büyük bir kısmının tamamlandığı bir t_3 zamanında d_3 okuması alınır.

3.

$$d_0 = \frac{d_1 - d_2 \sqrt{t_1/t_2}}{1 - \sqrt{t_1/t_2}} \quad (3.126)$$

olarak saptanır.

4.

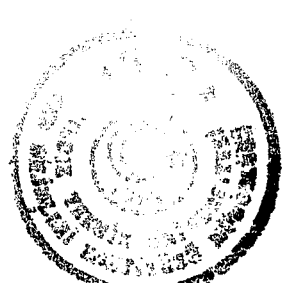
$$d_{100} = d_0 - \frac{d_0 - d_3}{\left\{ 1 - \left[(d_0 - d_3) (\sqrt{t_2} - \sqrt{t_1}) / (d_1 - d_2) \sqrt{t_3} \right]^{5.6} \right\}^{0.179}} \quad (3.127)$$

olarak saptanır.

5.

$$C_v = \frac{\pi}{4} \left(\frac{d_1 - d_2}{d_0 - d_{100}} \frac{H}{\sqrt{t_2} - \sqrt{t_1}} \right)^2 \quad (3.128)$$

olarak saptanır, burada H maksimum drenaj boyunun uzunluğudur.



3.9. İkincil Konsolidasyon

Önceki bölümlerde kılın birincil konsolidasyonu sonucunda sürekli yüklemeler altında oturmaya devam ettiğini ve bunun kıl parçacıklarının sürekli biçimde tekrar düzenlenmesinden olduğu işaret edilmiştir. İkincil konsolidasyonun niteliksel ve niceliksel incelenmesi için çeşitli araştırmalar yürütülmüştür. İkincil konsolidasyonun şiddeti (Şekil 3.19) genellikle,

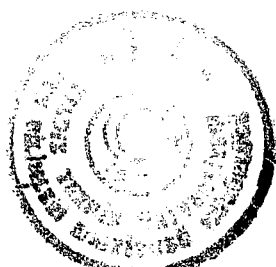
$$C_\alpha = \frac{\Delta H_t / H_t}{\log_2 - \log_1} \quad (3.129)$$

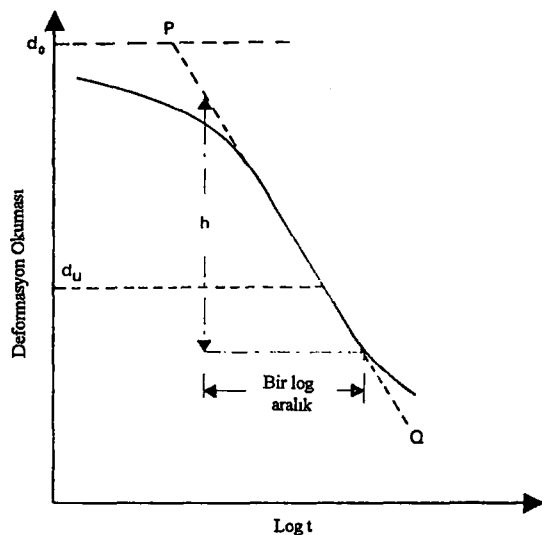
biçiminde tanımlanır, burada C_α ikincil konsolidasyon katsayısıdır.

Mesri (1973) bu alandaki çeşitli araştırmacıların çalışmalarının geniş bir listesini yayımlamıştır. Şekil 3.45 bir takım killi zeminlerde gözlenen ikincil konsolidasyon katsayısının genel aralığını göstermektedir.

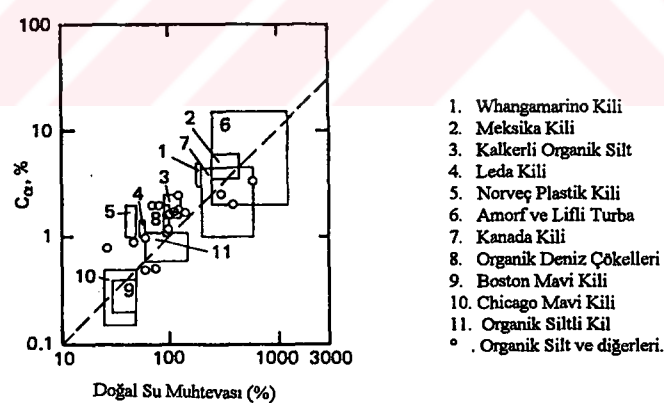
İkincil konsolidasyon değeri plastik killer ve organik zeminlerde yüksektir. Tablo 3.4 ikincil sıkışmaya dayalı bir zemin sınıflandırmasını verir.

İkincil konsolidasyonun birincil konsolidasyona oranı numune kalınlığı ve yük artırım oranı $\Delta\sigma/\sigma'$ ($\Delta\sigma$ gerilme artımı ve σ' yük artımı uygulanmadan önceki numune üzerindeki efektif gerilmedir) gibi faktörlere bağlıdır.

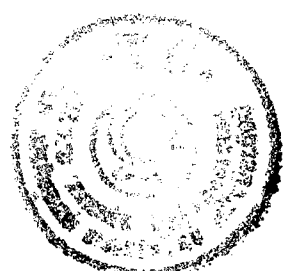




Şekil 3.44. C_v 'nin bulunmasında maksimum eğim metodunun grafiği



Şekil 3.45. Doğal zeminler için ikincil konsolidasyon katsayıları



Tablo 3.4. İkincil Sıkışmaya Dayalı Zemin Sınıflandırması

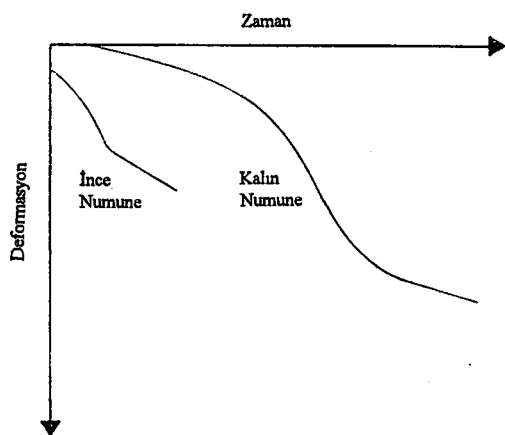
C_α	İkincil Sıkışabilirlik
<0.002	Çok düşük
0.004	Düşük
0.008	Orta
0.016	Yüksek
0.032	Çok yüksek
0.064	Son derece yüksek

Aynı yük artımı oranı için ikincil konsolidasyonun birincil konsolidasyonuna oranı numune kalınlığının azalmasıyla artar (Şekil 3.50). Aynı şekilde ikincil sıkışmanın birincil sıkışmaya oranı $\Delta\sigma/\sigma'$ 'nın azalması ile artar.

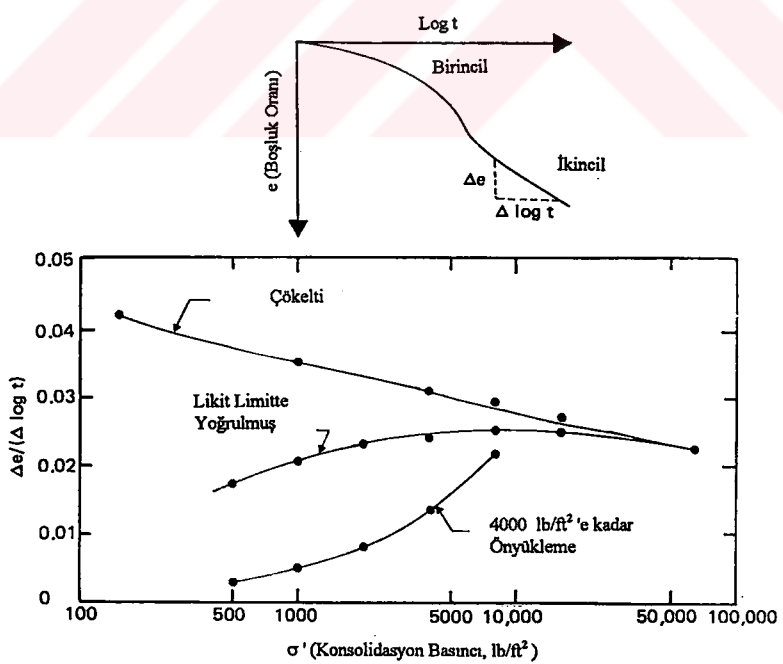
Yoğrulma ve ön yüklemenin ikincil sıkışmaya etkisinin araştırılması için, Mesri (1973) bir Paulding organik kili üzerinde bir seri tek boyutlu konsolidasyon deneyleri yapmıştır. Şekil 3.47 'de $\Delta e / (\Delta \log t)$ konsolidasyon basıncı grafiğinin biçimini gösterir. Bu deneyler için herbir numune artık boşluk suya basıncının dağılması için yeteri kadar zaman verildiği ve yük artırım oranı 1 olduğu nihai basınçta kadar yüklenmiştir. Nihai basınç altında, ikincil sıkışma 6 aylık bir periyot için gözlenmiştir. Aşağıdaki fikirler deneylerin sonuçlarından çıkarılabilir.

1. Çökelmiş (örselenmemiş) zeminler için $\Delta e / (\Delta \log t)$ nihai konsolidasyon basıncının artımı ile azalır.
2. Killerin yoğrulması fazla dağılmış bir bünye yaratır. Bu, yoğrulmuş killer daha düşük konsolidasyon basınçlarında örselenmemiş numunelere kıyasla ikincil konsolidasyon katsayısının azalması sonucunu verir. Bununla beraber bu konsolidasyon basıncı ile bir maksimum değere kadar artar ve sonra düşer, sonunda normal konsolide örselenmemiş numunenin değerleri ile birleşir.
3. Önceden sıkıştırılmış killer daha düşük bir ikincil konsolidasyon katsayıları değeri gösterir. İndirmenin derecesi ön sıkışma derecesinin bir fonksiyonu gibi görülmektedir.





Şekil 3.46. $\Delta\sigma/\sigma'$ aynı yükleme artım oranlarının numune kalınlığı üzerine etkisi



Şekil 3.47. Organik Paulding kili ikincil sıkışma katsayıları

3.9.1. İkincil Konsolidasyon Oturması

C_α ikincil konsolidasyon katsayısı

$$C_\alpha = \frac{\Delta H_t / H_t}{\Delta \log t} \quad (3.129)$$

olarak tanımlanmıştır, burada t zaman ve H_t kil tabakasının kalınlığıdır.

C_α 'nın zamanının logaritması ile azaldığı ve ikincil konsolidasyonun başlangıcındaki kil tabakasının toplam kalınlığı ile doğru orantılı olduğu ortaya konmuştu. Böylece ikincil konsolidasyon oturması

$$S_s = C_\alpha H_{ts} \log \frac{t}{t_p} \quad (3.130)$$

olarak verilebilir, burada

$H_{ts} = H_t - S_c$ ikincil konsolidasyonun başlangıcındaki kil tabakası kalınlığı

t = ikincil konsolidasyon için gerekli zaman

t_p = birincil konsolidasyonun sonundaki zaman.

İkincil oturmaların gerçek arazi ölçümleri relativ olarak nadirdir. Bununla birlikte ölçülmüş ve tahmini oturmalarının iyi uyuşmaları bazı gözlemciler tarafından Horn and Lambe (1964), Crawford and Sutherland (1971) ve Su and Prysock (1972), rapor edilmiştir.



3.10. Standart Tek Boyutlu Konsolidasyon Deneyi için Bazı Öneriler

Yukarıda, standart tek boyutlu konsolidasyon deneyi anlatılmıştı ve her 24 saatte bir yükün genel olarak ikiye katlanarak yüklendiği ($\Delta\sigma/\sigma' = 1$) bahsedilmişti. Deney ile ilgili aşağıdaki gibi bazı sorular akla gelebilir.

1. Yük artım oranı ($\Delta\sigma/\sigma'$) ikiye katlanmadığı zaman ne olur?
2. Eğer zemin numunesi üzerine verilen bir yük 24 saatten fazla durursa ne olur?

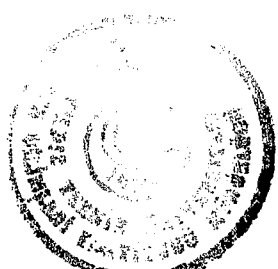
Bu bölümde benzer koşullar altında e-logo' değişimi incelenecaktır.

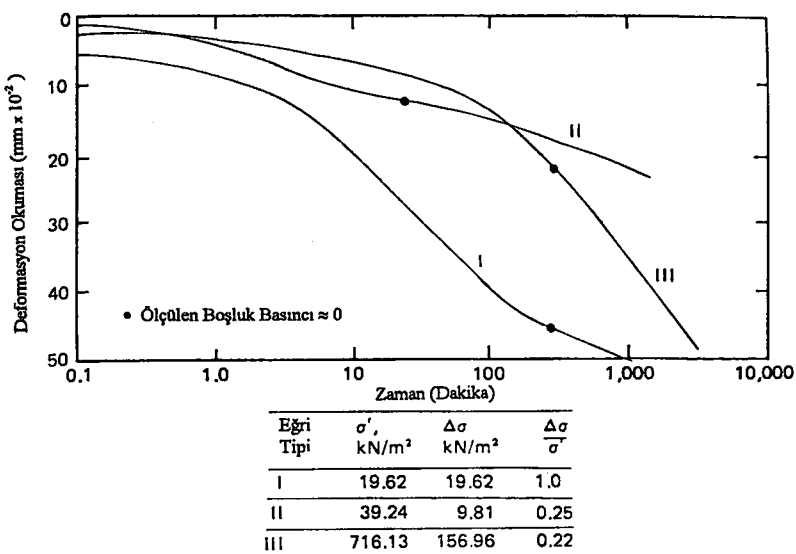
3.10.1. σ/σ' Yük artım oranının etkisi;

Bir boyutlu konsolidasyon deneyinde sıkışma zaman eğrilerinin şeklindeki eğriliğin değişimi, genellikle yük artım oranı esas itibariyle bir düşük değere indirgenirse ortaya çıkar. Şekil 3.48 örselenmemiş Meksika kilinin sıkışma-zaman eğrisinin şeklini gösterir. Eğri I $\Delta\sigma/\sigma' = 1$ içindir. Eğri II ve III sırasıyla yük artım oranlarının ($\Delta\sigma/\sigma'$) 0.25 ve 0.2 olduğu durumlar içindir. Birincil konsolidasyonun sonundaki konum - yani Eğri II ve III deki yük artırımından dolayı olan 0 (sıfır) artık boşluksuyu basıncı - kaldırmak biraz zordur. C_v konsolidasyon katsayısının saptanmasında Su metodu bu eğriler için daha uygulanabilirdir.

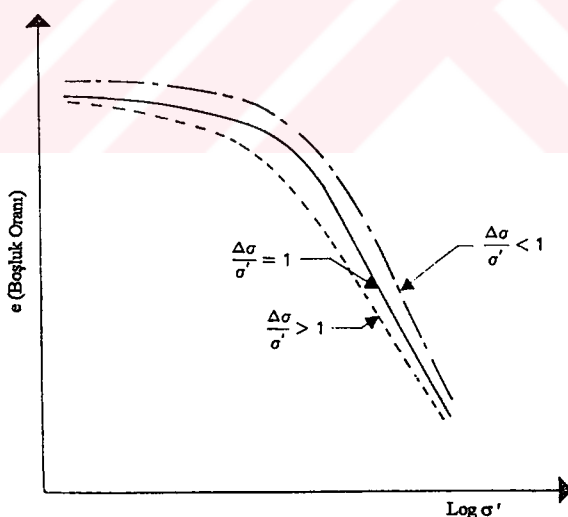
Yük artım oranı kilin konsolidasyonu üzerinde büyük bir etkiye sahiptir. Şekil 3.49, çeşitli $\Delta\sigma/\sigma'$ değerleri için e-logo' eğrisinin yapısını göstermektedir.

Eğer $\Delta\sigma/\sigma'$ küçükse daha büyük $\Delta\sigma/\sigma'$ değerlerinkilerle karşılaştırıldığında daha küçük bir sıkışmayla sonuçlanan tekil kil parçalıklarının kendi denge durumlarını tekrar ayarlama kabiliyetleri küçüktür.





Şekil 3.48. Meksika kili için $\Delta\sigma/\sigma'$ 'nın konsolidasyon eğrileri üzerine etkisi



Şekil 3.49. Yük artım oranının $e-\log\sigma'$ eğrisine etkisi

3.10.2. Yük Uygulama Süresinin Etkisi

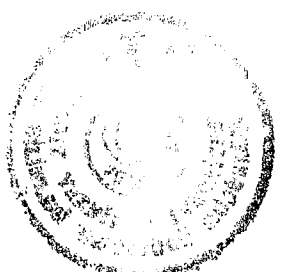
Zemin numunesinin verilen bir yük altında yaklaşık bir gün kadar maruz bırakıldığı yaygın deneylerde belli bir miktar ikincil konsolidasyon, sonraki yük artırımı ilave edilmeden önce meydana gelir. Eğer numune verilen bir yük altında bir günden fazla tutulursa ilave ikincil konsolidasyon oturması meydana gelir. Bu ilave ikincil konsolidasyonun miktarı Şekil 3.50 'de görüldüğü gibi e-logo' grafiğinde bir etkiye sahip olacaktır. **a** eğrisi birincil konsolidasyonun sonundaki sonuçlara dayanır. **b** eğrisi standart 24 saatlik yük artırımı süresine dayanır. **c** eğrisinde ise, sonraki yük artırımı uygulanmadan önce verilen yük bir hafta uygulanmıştır. σ' 'nın verilen bir değeri için şekil değiştirmesi numunenin sonraki yük artırımı uygulanmadan önceki maruz kaldığı toplam deformasyondan hesaplanır.

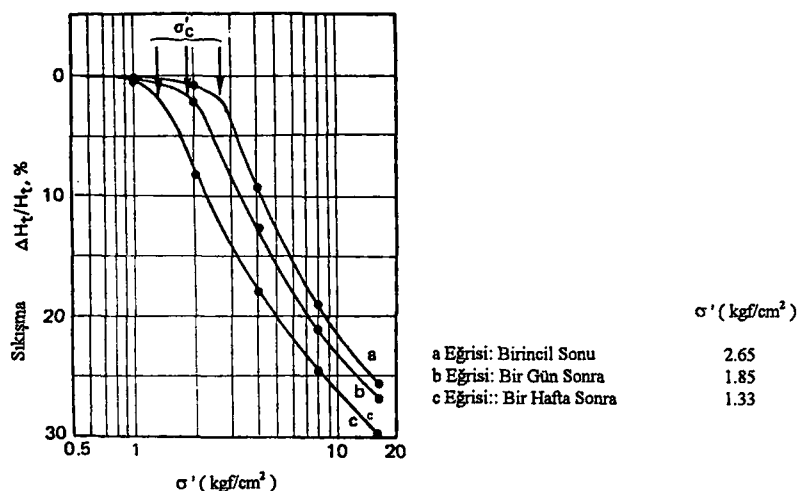
Belirtimesi gereken diğer bir noktada bu eğrilerin herbirisi için Casagrande grafik metodu ile saptanan ön konsolidasyon basıncı farkı olup $260-130 \text{ kN/m}^2$ arasında değişmektedir.

3.10.3. İkincil Konsolidasyonun Ön Konsolidasyon Basıncı Üzerine Etkisi

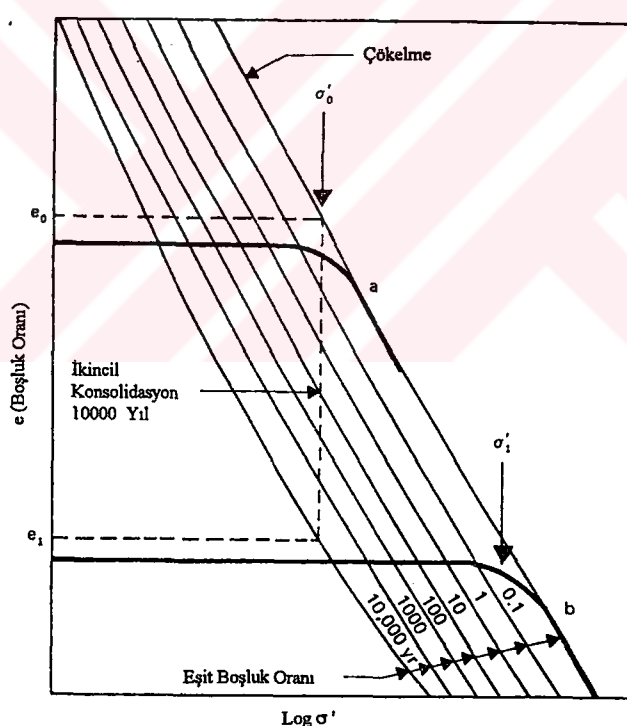
Tablo 3.2 'de, bir kil zemindeki devam eden ikincil konsolidasyonun zeminin yapısını değiştirdiği ve σ'_c ön konsolidasyon basıncı üzerinde bazı etkileri olduğu belirtilmiştir. Bu Şekil 3.50 'de Leda kili içinde gösterilmiştir. Bu mekanizmanın prensibi Şekil 3.51 'da verilen çok idealize edilmiş diyagram tarafından açıklanabilir.

Kendi ağırlığı ile dengeye gelen ve yeni çökelmiş bir kile "genç, normal konsolide kil" denilebilir. Bir dengedeki e_0 boşluk oranında σ'_0 efektif basınç altındaki bir kil zeminden çıkarılır ve konsolidometrede deneye tabi tutulursa Şekil 3.51 'da **a** eğrisi ile işaret edilen bir e-logo' eğrisi sergiler. Burada **a** eğrisi için ön konsolidasyon basıncı σ'_0 'dır.

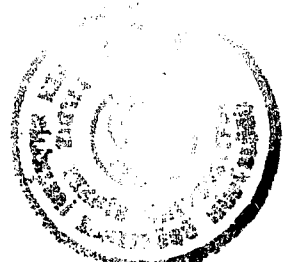




Şekil 3.50. Leda kili üzerinde normal ve uzun süreli yük artımları için efektif basınç eğrilerinin logaritmasına karşı gelen sıkışma grafiği (sıkışma - log σ' grafiği)



Şekil 3.51. Normal konsolide killerin sıkışabilirliği ve jeolojik geçmişi
a eğrisi : genç, normal konsolide kil $\sigma'_0=\sigma'_c$
b eğrisi : yaşlı, normal konsolide kil $\sigma'_1=\sigma'_c$



Diğer taraftan örneğin aynı kil aynı σ'_0 efektif basınç altında 10000 yıl örselenmeden kalsa krip veya ikincil konsolidasyon meydana gelirdi. Bu boşluk oranını e_1 indirgerdi. Kile bu durumda "yaşlı, normal konsolide kil" denilebilir. e_1 boşluk oranındaki ve σ'_0 efektif basınç altındaki bu kil zeminden çıkarılsa ve konsolidometre de deney yapılsa Şekil 3.51 'daki b eğrisi gibi bir e- $\log\sigma'$ eğrisi verir. Standart işlemlere belirlenen ön konsolidasyon basıncı σ'_1 olacaktır. Bu durumda $\sigma'_c = \sigma'_1 > \sigma'_0$ 'dır. Bu bazen yarı ön konsolidasyon etkisi olarak adlandırılır.

Bölüm 3.8. 'de de bahsedildiği gibi ikincil konsolidasyonun etkisi yüksek plastisiteli killerde daha belirgindir. Böylece aynı koşullar altında yarı önkonsolidasyon basıncının efektif basınçta oranı σ'/σ'_0 zeminin plastisite indisini artar sonucu çıkarılabilir. Geç buzul ve buzul sonrası periyotlar süresince çökelen normal konsolide killer üzerinde yapılan gözlemler sonucundaki bu etki Şekil 3.52 'de görülmektedir.

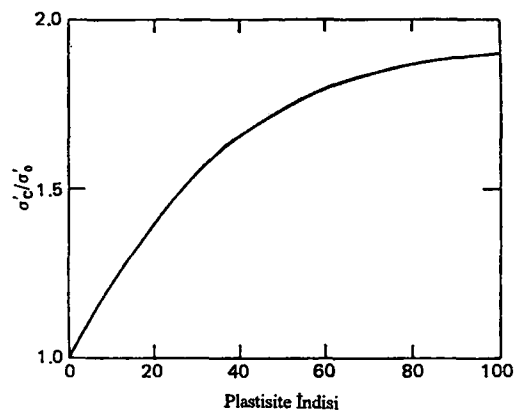
3.11. Diğer Konsolidasyon Deneyleri

Bölüm 3.3 'de bahsedilen standart bir boyutlu konsolidasyon deneyi uzunca bir zaman aldığı için son zamanlarda, çok daha hızlı fakat oldukça iyi sonuçlar veren en az iki tane bir boyutlu konsolidasyon deney metodu geliştirilmiştir. Metodlar (1) sabit şekil değiştirme hızlı konsolidasyon deneyi (CRS) ve (2) Sabit Hidrolik Eğimli Konsolidasyon (CGT) Deneyidir.

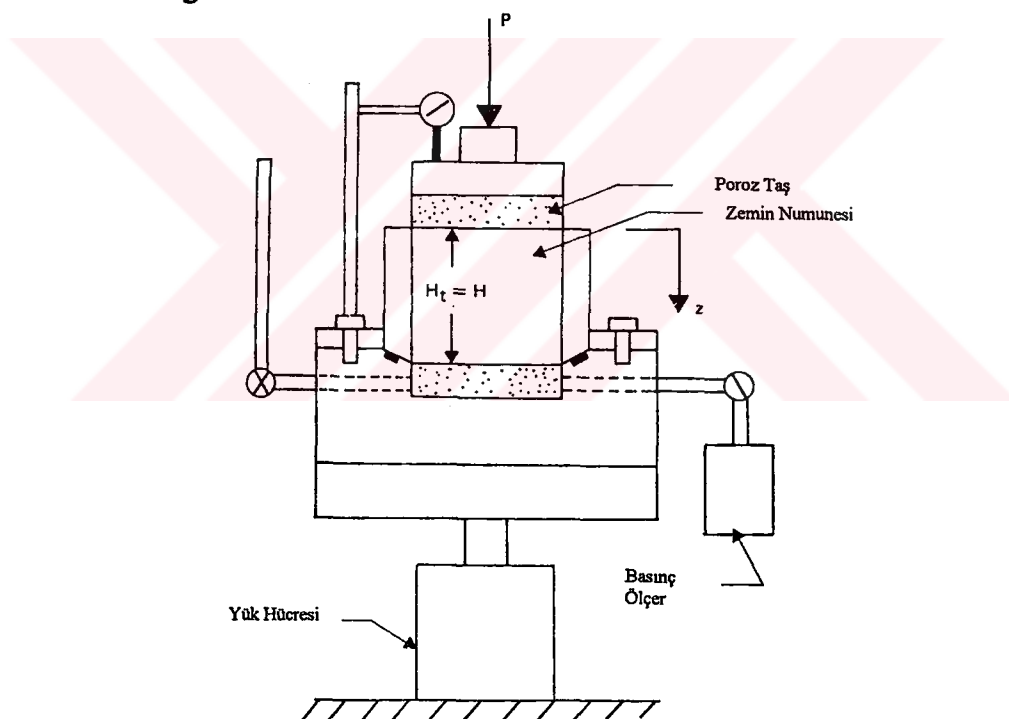
3.11.1. Sabit Şekil Değiştirme Hızlı Konsolidasyon Deneyi (CRS)

Sabit şekil değiştirme hızlı konsolidasyon deneyi metodu Smith ve Wahls (1969) tarafından geliştirildi. Bir zemin numunesi sabit ringli konsolidometresi içine alınır ve doyurulur. Deneyi yapmak için drenaj numunenin üstünden serbest bırakılır fakat altında bırakılmaz. Sürekli artan bir yük sabit bir şekil değiştirme hızı oluşturacak şekilde numunenin üstünden uygulanır ve u_b üstte sürekli artan gerilmeden dolayı ortaya çıkan artık boşluk suyu basıncı ölçülür. Şekil 3.53 laboratuar deney setinin şematik bir diyagramını gösterir.





Şekil 3.52. Geç buzul ve buzul sonrası normal konsolidide killerde gözlenen σ'/σ'_0 tipik değerleri



Şekil 3.53. CRS laboratuar deneyinin şematik gösterimi

3.11.1.1. Teori

Smith ve Wahls tarafından boşluk oranı efektif basınç ilişkisi ve buna karşı gelen konsolidasyon katsayısını elde etmek üzere geliştirilen matematiksel ifadeler aşağıda verilmektedir.

Zemin elemanı boyunca olan sürekli akımın temel denklemi eşitlik 3.15

$$\frac{k}{\gamma_w} \frac{\partial^2 u}{\partial z^2} = \frac{1}{1+e} \frac{\partial e}{\partial t} \quad (3.15)$$

olarak verilir.

Verilen bir zamandaki permeabilite katsayısı zemindeki ortalama boşluk oranı \bar{e} 'nin bir fonksiyonudur. Bununla beraber ortalama boşluk oranı sabit şekil değiştirme hızından dolayı sürekli değişir. Böylece

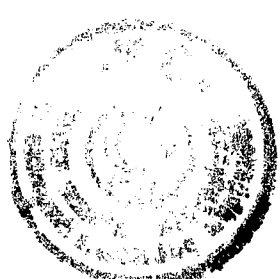
$$k = k(\bar{e}) = f(t) \quad (3.131)$$

biçimindedir. Ortalama boşluk oranı

$$\bar{e} = \frac{1}{H} \int_0^H e dz \quad (3.132)$$

biçimindedir, burada $H (= H_i)$ numune kalınlığıdır.

Sabit şekil değiştirme hızlı konsolidasyon deneyi tipli deneyde hacim değişme hızı sabittir, veya



$$\frac{dV}{dt} = -RA \quad (3.133)$$

burada , V = Zemin hacmi

A = Numune kesit alanı

R = Üst yüzeyin sabit deformasyon hızıdır.

\bar{e} ortalama boşluk oranının değişim hızı

$$\frac{de}{dt} = \frac{1}{V_s} \frac{dV}{dt} = -\frac{1}{V_s} RA = -r \quad (3.134)$$

olarak verilebilir, burada r bir sabittir.

\bar{e} 'nin tanımına ve eşitlik 3.131 'e dayanarak

$$e_{(z,t)} = g(z)t + e_0 \quad (3.135)$$

olarak yazılabilir, burada $e_{(z,t)}$ = z derinliğindeki ve t zamanındaki boşluk oranı

e_0 = deney başlangıcındaki başlangıç boşluk oranı

$g(z)$ = sadece derinliğin bir fonksiyonudur.

$g(z)$ fonksiyonunu saptamak zordur.

$$g(z) = -r \left[1 - \frac{b}{r} \left(\frac{z - 0.5H}{H} \right) \right] \quad (3.136)$$

biriminde lineer bir fonksiyon olarak varsayılabılır, burada b bir sabittir. Bunu 3.135 eşitliğinde yerine koyarak



$$e_{(z,t)} = e_0 - rt \left[1 - \frac{b}{r} \left(\frac{z - 0.5H}{H} \right) \right] \quad (3.137)$$

elde edilir.

Eşitlik 3.137 'de verilen b/r 'nin olası değişim aralığı :

1. Eğer $b/r = 0$ ise ,

$$e_{(z,t)} = e_0 - rt \quad (3.138)$$

Bu boşluğun derinlikle sabit olduğunu ve sadece zamanla değiştiğini gösterir. Bu gerçek bir durum değildir.

2. Eğer $b/r = 2$ ise, numunenin altındaki, yani $z=H$, boşluk oranı

$$e_{(H,t)} = e_0 \quad (3.139)$$

haline gelir.

Bu , tabandaki boşluk oranının zamanla değişmediği anlamına gelirki gerçekçi değildir. b/n değeri 0 ile 2 arasında olup yaklaşık olarak 1 olarak alınabilir.

$b/r \neq 0$ varsayıarak ve boşluk oranını eşitlik 3.35 'de verildiği ifadesini kulalnarak 3.15 eşitliği artık boşluk suyu basıncı denklemi elde etmek üzere integre edilebilir. Sınır koşulları :

$z=0$ 'da $u=0$ (herhangi bir zamanda) ve

$z=H$ 'da $\partial u / \partial z = 0$ (herhangi bir zamanda)

biçimindedir. Böylece



$$u = \frac{\gamma_w r}{k} \left\{ zH \left[\frac{1+e_0 - bt}{rt(bt)} \right] + \frac{z^2}{2rt} - \left[\frac{H(1+e_0)}{rt(bt)} \right] \right. \\ \left. \times \left[\frac{H(1+e)}{bt} \ln(1+e) - z \ln(1+e_B) - \frac{H(1+e_T)}{bt} \ln(1+e_T) \right] \right\} \quad (3.140)$$

elde edilir. Burada

$$e_B = e_0 - rt \left(1 - \frac{1}{2} \frac{b}{r} \right) \quad (3.141)$$

$$e_T = e_0 - rt \left(1 + \frac{1}{2} \frac{b}{r} \right) \quad (3.142)$$

biçimindedir.

Eşitlik 3.140 çok karmaşıktır. Hassaslıktan büyük bir miktar kaybetmeksiz u ifadesi için 3.15 'deki $1+e$ teriminin yaklaşık olarak $1+\bar{e}$ 'ye (bu, z 'nin bir fonksiyonu değildir) eşit olduğu varsayılarak daha basit bir formunu elde etmek mümkündür. Bunun için eşitlik 3.15 ve 3.137 'den

$$\frac{\partial^2 u}{\partial z^2} = \left[\frac{\gamma_w}{k(1+\bar{e})} \right] \frac{\partial}{\partial t} \left\{ e_0 - rt \left[1 - \frac{b}{r} \left(\frac{z - 0.5H}{H} \right) \right] \right\} \quad (3.143)$$

elde edilir. $z=0$ $u=0$ ve $z=H$ $\partial u / \partial t = 0$ sınır koşulları kullanılarak eşitlik 3.143

$$u = \left[\frac{\gamma_w r}{k(1+\bar{e})} \right] \left[\left(Hz - \frac{z^2}{2} \right) - \frac{b}{r} \left(\frac{z^2}{4} - \frac{z^3}{6H} \right) \right] \quad (3.144)$$

elde edilecek biçimde integre edilebilir.

Numunenin tabanındaki boşluk basıncı eşitlik 3.144 'da $z=H$ konularak elde edilebilir;

$$u_{z=H} = \frac{\gamma_w r H^2}{k(1+\bar{e})} \left(\frac{1}{2} - \frac{1}{12} \frac{b}{r} \right) \quad (3.145)$$

$u_z = H$ 'nin verilen bir değerine karşı gelen ortalama efektif gerilme

$$\sigma'_{av} = \sigma - \frac{u_{av}}{u_{z=H}} u_{z=H} \quad (3.146)$$

yazılıarak elde edilebilir. Burada,

σ'_{av} = herhangi bir zamandaki zemin üzerindeki ortalama efektif gerileme

σ = numune üzerindeki toplam gerilme

u_{av} = karşı gelen ortalama boşluk suyu basıncı

$$\frac{u_{av}}{u_{z=H}} = \frac{\frac{1}{H} \int_0^H u dz}{u_{z=H}} \quad (3.147)$$

eşitlik 3.144 ve 3.145 'ü 3.147 'de yerine koyarak ve bazı basitleştirmeler yapılarak

$$\frac{u_{av}}{u_{z=H}} = \frac{\frac{1}{3} - \frac{1}{24} (b/r)}{\frac{1}{2} - \frac{1}{12} (b/r)} \quad (3.148)$$

elde edilir. Burada $b/r=0$ için $u_{av}/u_{z=H}=0.667$ ve

$b/r=1$ için $u_{av}/u_{z=H}=0.700$ dür.



Böylece $0 \leq b/r \leq 1$ için $u_{av}/u_{z=H}$ önemli bir değişme göstermez. Böylece eşitlik 3.146 ve 3.148 'den

$$\sigma'_{av} = \sigma - \left[\frac{\frac{1}{3} - \frac{1}{24}(b/r)}{\frac{1}{2} - \frac{1}{12}(b/r)} \right] u_{z=H} \quad (3.149)$$

elde edilir.

3.11.1.2. Konsolidasyon Katsayısı

Konsolidasyon katsayısı, 3.19 ifadesinin 3.21 'de yerine konmasıyla

$$C_v = \frac{k(1+e)}{a_v \gamma_w} \quad (3.150)$$

olarak elde edilir.

$1 + e \approx 1 + \bar{e}$ olduğu varsayılarak ve eşitlik 3.145 'den

$$k = \frac{\gamma_w r H^2}{(1+\bar{e}) u_{z=H}} \left(\frac{1}{2} - \frac{1}{12} \frac{b}{r} \right) \quad (3.151)$$

elde edilir. Bunu C_v ifadesinde yerine koyarak

$$C_v = \frac{r H^2}{a_v u_{z=H}} \left(\frac{1}{2} - \frac{1}{12} \frac{b}{r} \right) \quad (3.152)$$

elde edilir.



3.11.1.3. Deneysel Sonuçların yorumlanması

Aşağıdaki bilgi sabit şekil değiştirme hızlı konsolidasyon deneyinden elde edilebilir

1. H_i numunenin başlangıç yüksekliği
2. A.
3. V_s
4. R şekil değiştirme hızı
5. $u_{z=H}$ 'nın sürekli kayıtı
6. σ (numunenin üzerinde uygulanan toplam gerilme) 'nin $u_{z=H}$ 'ya karşı gelen kayıtı.

3.11.1.4. $e-\sigma'_{av}$ 'nın grafiğinin elde edilmesi

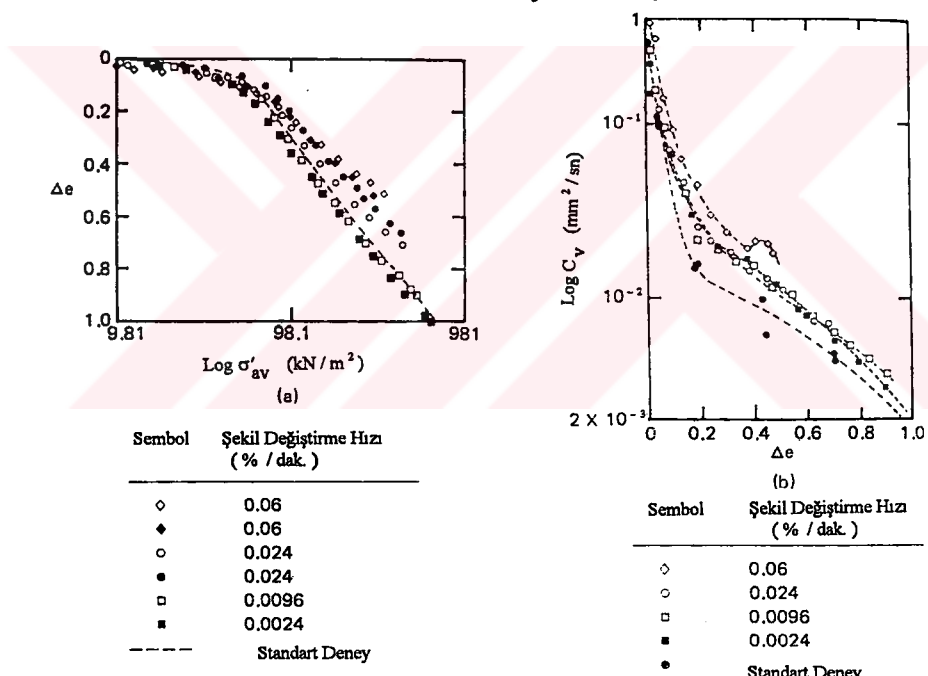
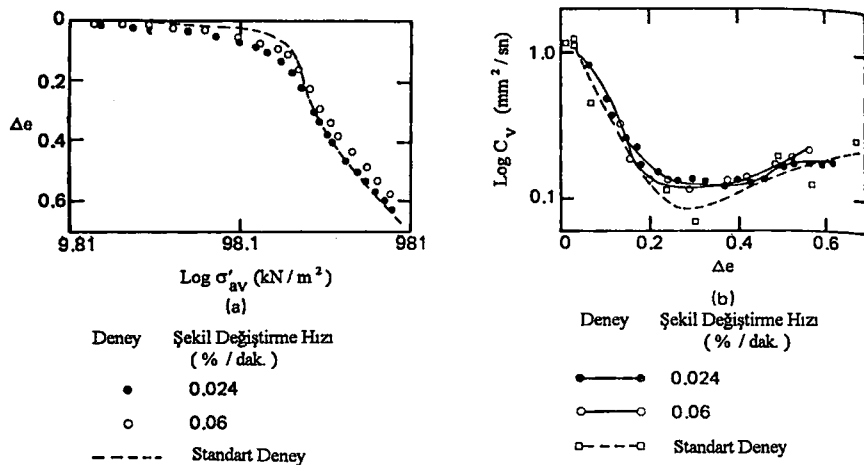
1. $r = RA/V_s$ hesaplanır.
2. $b/r \approx 1$ olarak alınır.
3. $u_{z=H}$ 'nın verilen bir değeri için σ 'nın değeri (deneyin başlangıcından sonraki t zamanında) bilinir ve dolayısıyla σ'_{av} eşitlik 3.149 'den hesaplanabilir.
4. $\Delta H = R \cdot t$ ve sonra t zamanı boyunca yer alan boşluk oranındaki değişim, 3.84 eşitliğinin düzenlenmesiyle,

$$\Delta e = \frac{\Delta H}{H_i} (1 + e_0) \quad (3.153)$$

birimde hesaplanır, burada H_i numunenin başlangıçtaki yüksekliğidir.

5. (t zamanında) karşı gelen boşluk oranı $e = e_0 - \Delta e$ birimindedir.
6. σ'_{av} 'nın bir grub noktalarını ve buna karşı gelen e değerlerini elde ettikten sonra, $e - \log \sigma'_{av}$ grafiği çizilir.





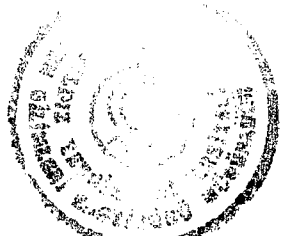
7. Verilen bir σ'_{av} ve e değeri için C_v konsolidasyon katsayısı eşitlik 3.152 kullanılarak hesaplanabilir (eşitlik 3.152 'daki H 'nin $H_i - \Delta H$ 'ya eşit olduğunu belirtelim).

Şekil 3.54 ve 3.55 iki kil numunesi üzerinde yapılan sabit şekil değiştirme hızlı konsolidasyon deneylerinin deneysel sonuçlarını göstermektedir. Standart konsolidasyon deneylerinden elde edilen sonuçlarda karşılaştırma için gösterilmiştir. Kalsiyum montmorillonit halinde, yüksek şekil değiştirme hızlarında verilen bir σ'_{av} için Δe deneysel değerlerinin standart deney sonuçlarından önemli miktarda saplığı görülebilir.

Bu muhtemelen eşitlik 3.137 'de yapılan basitleştirici kabullerden dolayıdır. Bu nedenden dolayı verilen bir deneyde şekil değiştirme hızı, deney sonundaki $u_{z=H}/\sigma$ değeri 0.5 'i aşmayacak biçimde seçilmelidir. Bununla birlikte bu değer hassasiyetle ölçülebilecek şekilde yeteri kadar yüksek olmalıdır. (bkz. Smith and Wahls 'in makalesine)

3.11.2. Sabit -Hidrolik Eğimli Konsolidasyon Deneyi (CGT)

Sabit hidrolik eğimli konsolidasyon deneyi Lowe et al. (1969) tarafından geliştirildi. Bu deneyde doygun bir numune konsolidasyon ringinde yer alır. Sabit şekil değiştirme hızlı konsolidasyon deneyi tipi deneyde olduğu gibi drenaj üstten serbest bırakılmış ve boşluk suyu basıncı tabandan ölçülür (Şekil 3.56). Numunedeki artık boşluk suyu basıncını Δu (Şekil 3.57a) kadar artıran bir P yükü numune üzerine uygulanır. Küçük bir t_1 zamanından sonra numunenin üstündeki artık boşluk suyu basıncı drenaj serbest bırakıldığı için sıfıra eşit olacaktır. Bununla beraber, numunenin tabanında artık boşluk suyu basıncı hala yaklaşık olarak Δu kadar olacaktır (Şekil 3.57b). Bu noktadan sonra numunenin üst ve altındaki artık boşluk suyu basıncı farkı sabit kalacak yani fark sabit Δu 'da tutulacak (Şekil 3.57 c ve d). Şekilde P yükü yavaşça artırılır, P 'nin istenen değerine ulaşıldığında, diyelim t_3 zamanı olsun, yükleme durdurulur ve artık boşluk suyu basıncının dağılmasına müsade edilir. Numunenin tabanındaki boşluk suyu basıncının $0.1\Delta u$ değerine ulaşığı t_4 zamanı kaydedilir. Bütün deney süresince ΔH numunenin maruz kaldığı basınç kaydedilir.



Laboratuar deney düzeneğinin tüm detayları için Lowe et al (1969) orjinal makalesine başvurulabilir.

3.11.2.1. Teori

3.15 ve 3.16 eşitliklerinden

$$\frac{k}{\gamma_w} \frac{\partial^2 u}{\partial z^2} = - \frac{a_v}{1+e} \frac{\partial \sigma'}{\partial t} \quad (3.154)$$

veya

$$\frac{\partial \sigma'}{\partial t} = - \frac{k}{\gamma_w m_v} \frac{\partial^2 u}{\partial z^2} = - C_v \frac{\partial^2 u}{\partial z^2} \quad (3.155)$$

elde edilir. $\sigma' = \sigma - u$ olduğundan

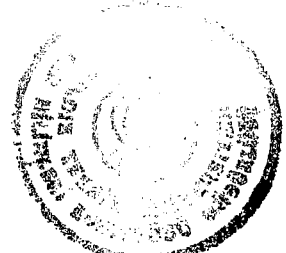
$$\frac{\partial \sigma'}{\partial t} = \frac{\partial \sigma}{\partial t} - \frac{\partial u}{\partial t} \quad (3.156)$$

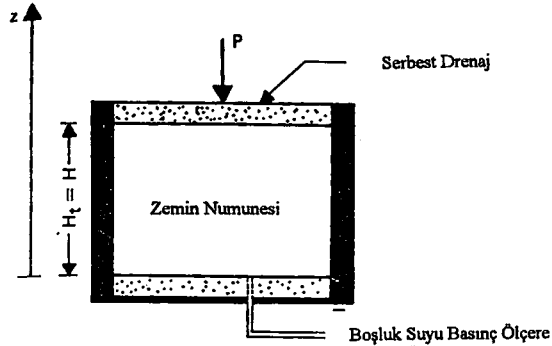
yazılabilir.

Kontrollü hidrolik eğimli konsolidasyon deneyi (yani, Şekil 3.57 de t_1 den t_3 'e kadarki zaman süresince) için $\partial u / \partial t = 0$ dır. Bundan dolayı

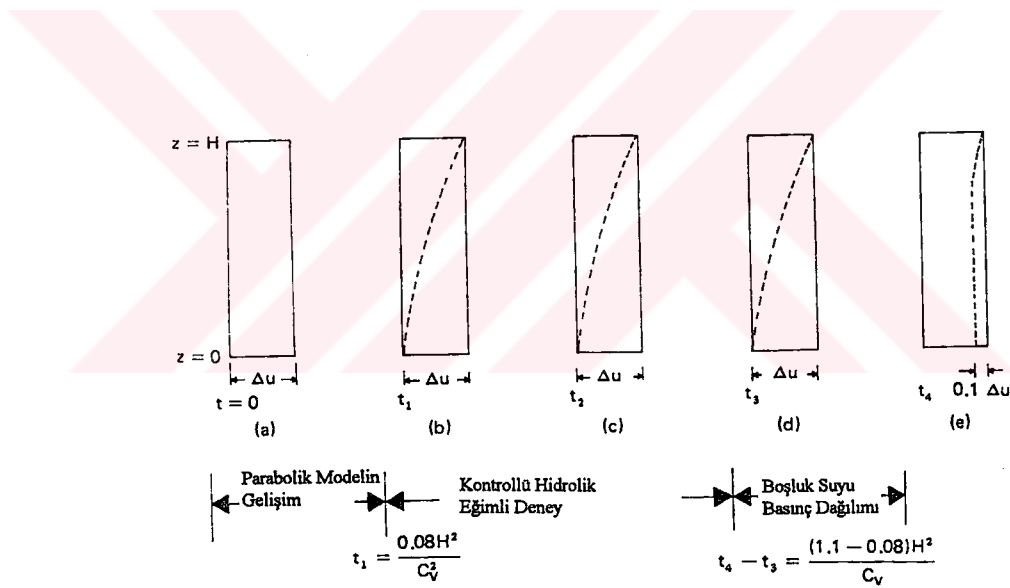
$$\frac{\partial \sigma'}{\partial t} = \frac{\partial \sigma}{\partial t} \quad (3.157)$$

elde edilir.





Şekil 3.56. CGT konsolidasyon deneyinin şematik gösterimi



Şekil 3.57. Kontrollü hidrolik eğimli deneydeki aşamalar

Eşitlik 3.155 ve 3.157 birleştirilerek

$$\frac{\partial \sigma}{\partial t} = -C_v \frac{\partial^2 u}{\partial z^2} \quad (3.158)$$

elde edilir.

Eşitlik 3.158 'de sol taraf z değişkeninden, sağ taraf ise t değişkeninden bağımsızdır. Dolayısıyla her iki tarafta bir sabite, A_1 diyelim, eşit olmalıdır. Böylece

$$\frac{\partial \sigma}{\partial t} = A_1 \quad (3.159)$$

ve

$$\frac{\partial^2 u}{\partial z^2} = -\frac{A_1}{C_v} \quad (3.160)$$

elde edilir. Eşitlik 3.160 'ün integrasyonu

$$\frac{\partial u}{\partial z} = -\frac{A_1}{C_v} z + A_2 \quad (3.161)$$

ve

$$u = -\frac{A_1}{C_v} \frac{z^2}{2} + A_2 z + A_3 \quad (3.162)$$

verir. Sınır koşulları aşağıdaki gibidir.

1. $z=0$ da $\partial u / \partial z = 0$

2. $z=H$ da $u=0$

3. $z=0$ da $u=\Delta u$.



Birinci sınır koşulundan ve eşitlik 3.161 'den $A_2=0$ bulunur. Dolayısıyla

$$u = -\frac{A_1}{C_v} \frac{z^2}{2} + A_3 \quad (3.163)$$

İkinci sınır koşulundan ve eşitlik 3.163 'den

$$A_3 = \frac{A_1 H^2}{2 C_v} \quad (3.164)$$

veya

$$u = -\frac{A_1}{C_v} \frac{z^2}{2} + \frac{A_1}{C_v} \frac{H^2}{2} \quad (3.165)$$

elde edilir.

Üçüncü sınır koşulundan ve eşitlik 3.165 'den

$$\Delta u = \frac{A_1}{C_v} \frac{H^2}{2}$$

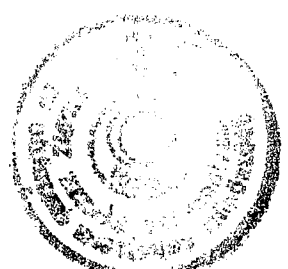
veya

$$A_1 = \frac{2 C_v \Delta u}{H^2} \quad (3.166)$$

elde edilir. A_1 bu değerini eşitlik 3.165 'de yerine konmasıyla

$$u = \Delta u \left(1 - \frac{z^2}{H^2} \right) \quad (3.167)$$

elde edilir.



Eşitlik 3.167 kontrollü hidrolik eğimli konsolidasyon deneyi süresince (Şekil 3.57 'de t_1 'den t_3 'e kadar olan zamanda) sabit olarak kalan artık boşluk suyu basıncının parabolik bir kalibini göstermektedir. Bu Şekil 3.58 'de görülmektedir. Bunun Terzaghi eş eğrisine (Şekil 3.6) $T_v = 0.08$ için çok yakın olarak karşı geldiğini belirtelim.

Eşitlik 3.159 ve 3.166 birleştirilerek

$$\frac{\partial \sigma}{\partial t} = A_1 = \frac{2C_v \Delta u}{H^2}$$

$$C_v = \frac{\partial \sigma}{\partial t} \frac{H^2}{2\Delta u} \quad (3.168)$$

elde edilir.

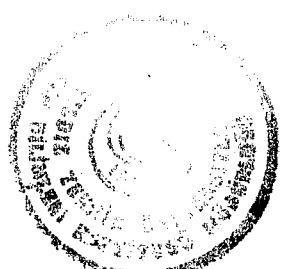
3.11.2.3. Deneysel Sonuçların Yorumu

Aşağıdaki bilgiler sabit hidrolik eğimli konsolidasyon deneyinden elde edilebilir:

1. H_i numunenin başlangıç yüksekliği ve H deney süresince herhangi bir zamandaki yükseklik
2. P yükünün uygulama hızı ve böylece numune üzerindeki $\partial \sigma / \partial t$ gerilme uygulama hızı
3. Δu boşluk basıncı farkı
4. t_1 zamanı
5. t_3 zamanı
6. t_4 zamanı

$e - \sigma'_{av}$ grafiği aşağıdaki biçimde elde edilebilir:

1. e_0 başlangıç boşluk oranı hesaplanır.
2. Deney süresince herhangi bir t zamanındaki boşluk oranındaki değişim



$$\Delta e = \frac{\Delta H}{H_i} (1 + e_0) \quad (3.153)$$

olarak hesaplanır, burada ΔH deneyin başlangıcından beri toplam yükseklik değişimi. Dolayısıyla t zamanındaki ortalama boşluk oranı $e = e_0 - \Delta e$ dir.

3. t zamanındaki numune üzerine uygulanan bilinen toplama σ gerilmesini kullanarak aynı t zamanındaki ortalama efektif gerilme hesaplanır:

$$\sigma'_{av} = \sigma - u_{av} \quad (3.169)$$

burada u_{av} Şekil 3.58 'den hesaplanabilen numunedeki artık boşluk suyu basıncıdır.

Konsolidasyon katsayısının hesabı aşağıdaki gibidir:

1. t_1 zamanında

$$C_v = \frac{0.08H^2}{t_1} \quad (3.170)$$

2. $t_1 < t < t_3$ zamanında

$$C_v = \frac{\Delta\sigma}{\Delta t} \frac{H^2}{2\Delta u} \quad (3.171)$$

$\Delta\sigma/\Delta t$, H ve Δu değerlerinin hepsinin deneylerden elde edildiğini belirtelim.

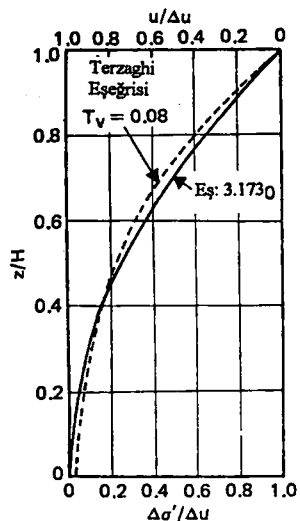
3. t_3 ve t_4 zamanları arasında

$$C_v = \frac{(1.1 - 0.08)H^2}{t_3 - t_4} = \frac{1.02H^2}{t_3 - t_4} \quad (3.172)$$

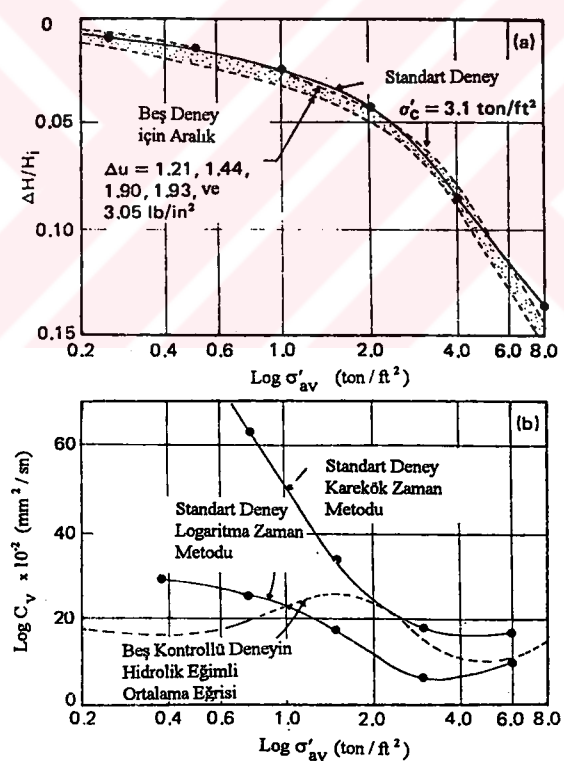
birimde bulunur.

Şekil 3.59a aşırı konsolide bir kıl (Maine 'deki Portland civarından çıkarılan deniz kili) üzerinde yapılan çeşitli kontrollü hidrolik eğimli konsolidasyon deneylerinin sonuçlarını





Şekil 3.58. Artık boşluk suyu basınç dağılımının parabolik kalıbı ile Terzaghi izokronunun karşılaştırılması



Şekil 3.59. Portland, Maine bölgelerinden alınan aşırı konsolidide deniz kili üzerinde yapılan standart konsolidasyon deneyleri ile kontrollü hidrolik eğimli deneylerin karşılaştırılması



göstermektedir. Δu 'nun geniş bir değişim aralığında [$8.35-21.05 \text{ kN/m}^2$] olmasına rağmen σ'_{av} ile $\Delta H/H_c$ değişiminin dar bir banda düşüğü gözükmemektedir. Bu standart konsolidasyon deneylerinin sonuçlarıyla iyi uyuşmaktadır.

Şekil 3.59b konsolidasyon katsayısının bu deneyde standart karekök zaman eğrisi ve logaritma-zaman eğrisi ile elde edilen sonuçları karşılaştırır. Genelde sabit hidrolik eğimli konsolidasyon deneylerinden elde edilen C_v değerleri iki standart deneye elde edilenler arasında bir yerdedir.

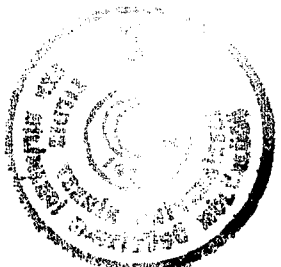
Standart bir boyutlu konsolidasyon deneyinden elde edilen verilen bir örnek üzerindeki σ' efektif gerilmesinin artımı **Şekil 3.60**'de kontrollü hidrolik eğimli konsolidasyon deneyinden elde edilenle karşılaştırılmıştır. Artımdaki fark konsolidasyon katsayısının değeri üzerinde bir takım etkilere sahip olabilir.

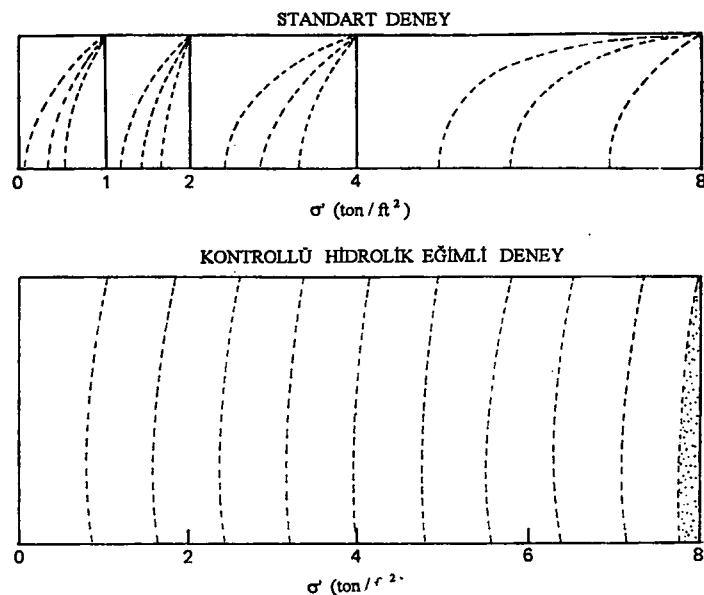
3.12. Temel Zeminlerinin İyileştirmesinde Önyükleme (Önkonsolidasyon)

Konsolidasyon oturmalarının çoğunun yapı temellerinin inşaasından dolayı meydana geldiği gibi görünse de inşaat sonrası oturmayı azaltmak veya yoketmek için temel inşaatından önce bazı yüklemeleri uygulamak arzu edilebilir.

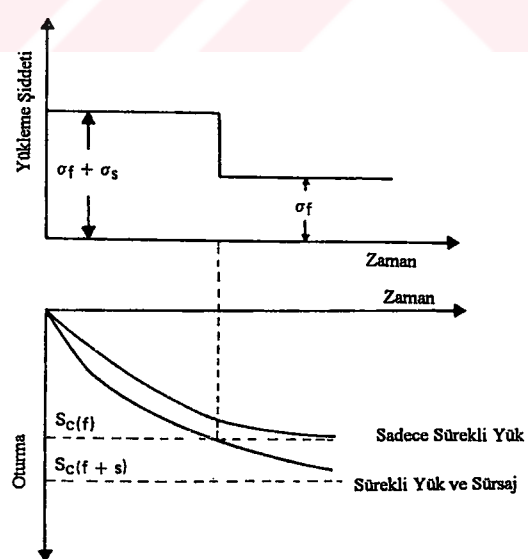
Bu teknik (sürsaj yüklemesi) son zamanlarda birçok büyük inşaat projelerinde başarı ile kullanılmıştır (Johnson 1970). Bu bölümde sıkışabilen killerin konsolidasyon oturmasının önceden gerçekleştirilmesi için sürsaj uygulamasının temel kavramları verilmiştir.

Verilen bir inşaatta **Şekil 3.61**'da görüldüğü gibi σ_f şiddetinde daimi üniform yükleme gerektiren bir durumu ele alalım. Yüklemeden dolayı oluşan toplam önkonsolidasyon oturmasının $S_{c(f)}$ 'ye eşit olduğu tahmin edilir. Ön konsolidasyondan dolayı oluşan tahmini oturmayı yok etmek istenirse $\sigma = \sigma_f + \sigma_s$ şiddetinde toplam üniform yükleme uygulanmalıdır. Bu yükleme sıkışabilen kilin oturma oranının daha hızlı olmasına neden olur; $S_{c(f)}$ toplam oturmaya ulaşıldığında gerçek inşaa için sürsaj kaldırılabilir.





Şekil 3.60. Standart tek boyutlu deney ve kontrollü hidrolik eğimli deney işlemiyle bir numune üzerindeki efektif gerilmenin artmasındaki fark



Şekil 3.61. Önyükleme teknigi kavramı

Yükün uygulanacağı zamanı ve σ_s 'nin şiddetinin sayısal olarak elde edilmesi için Şekil 3.62'de görüldüğü gibi kil tabakasının yüklemeden sonraki herhangi bir zamanda konsolidasyon derecesinin değişim biçiminin bilinmesine gereksinim vardır. U_z konsolidasyon derecesi derinlikle değişecektir ve orta düzlemden, yani $z=H$ 'da, minimum olacaktır, kaldırılacak olan sürsaj yükün kriteri olarak U_{av} ortalama konsolidasyon derecesi kullanılırsa sürsaj yükünün kaldırılmasından sonra orta düzleme yakın olan kil oturmaya devam edecek ve geçirgen tabakalara yakın olan kil şişme eğiliminde olacaktır. Bu muhtemelen net bir konsolidasyon oturması ile sonuçlanacaktır. Bu problemden kaçınmak için daha güvenli bir yaklaşım kabul etmeye ve hesaplama için kriter olarak $U_{z=H}$ 'ta düzlemdeki konsolidasyon derecesini kullanmak gereklidir. Johnson (1970) tarafından verilen işlem kullanılarak

$$S_{c(f)} = \left(\frac{H_t}{1+e_0} \right) C_c \log \frac{\sigma'_0 + \sigma_f}{\sigma'_0} \quad (3.173)$$

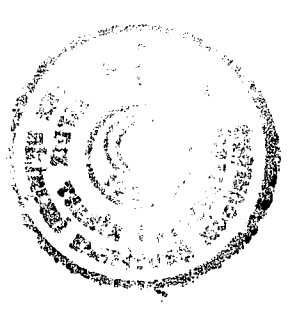
ve

$$S_{c(f+s)} = \left(\frac{H_t}{1+e_0} \right) C_c \log \frac{\sigma'_0 + \sigma_f + \sigma_s}{\sigma'_s} \quad (3.174)$$

yazılabilir, burada σ'_0 başlangıç ortalama yerinde aşırı efektif basınç ve $S_{c(f)}$ ve $S_{c(f+s)}$ sırasıyla σ_f ve $\sigma_f + \sigma_s$ şiddetindeki yüklemelerden dolayı ortaya çıkan ön konsolidasyon oturmalarıdır. Fakat,

$$S_{c(f)} = U_{(f+s)} S_{c(f+s)} \quad (3.175)$$

birimindedir, burada $U_{(f+s)}$, $\sigma_f + \sigma_s$ yüklemesinden dolayı olan konsolidasyon derecesidir.



Daha önce açıklandığı gibi bu güvenlikli alınması açısından orta düzlemin ($z=H$) konsolidasyon derecesi olarak alınmıştır. Böylece

$$U_{c(f+s)} = \frac{S_{c(f)}}{S_{c(f+s)}} \quad (3.176)$$

olarak yazılır. 3.173, 3.174 ve 3.176 eşitliklerini birleştirerek

$$U_{c(f+s)} = \frac{\log[1+(\sigma_f / \sigma'_0)]}{\log\{1+(\sigma_f / \sigma'_0)[1+(\sigma_s / \sigma'_f)]\}} \quad (3.177)$$

elde edilir.

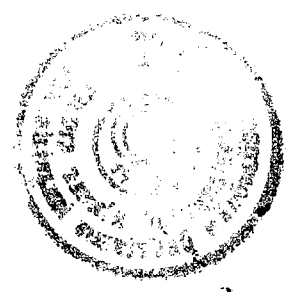
σ_f/σ'_0 ve σ_s/σ_f 'nin çeşitli kombinasyonları için $U_{(f+s)}$ 'nin değerleri Şekil 3.63 'de verilmiştir. Bir kere $U_{(f+s)}$ bilinirse Şekil 3.6 'den boyutsuz zaman faktörü T_v çıkarılabilir. Şekil 3.6 'de kabul edilen varsayıma dayalı olarak $Z=H$ 'da $U_{(f+s)}=U_z$ olduğunu belirtelim. Uygunluk açısından $U_{(f+s)}-T_v$ grafiği Şekil 3.64 'de verilmiştir.

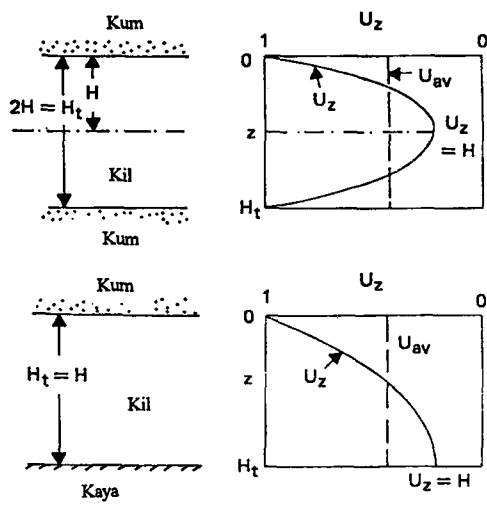
Dolayısıyla kaldırılacak sürsaj yüklemesi için t zamanı,

$$t = \frac{T_v H^2}{C_v} \quad (3.178)$$

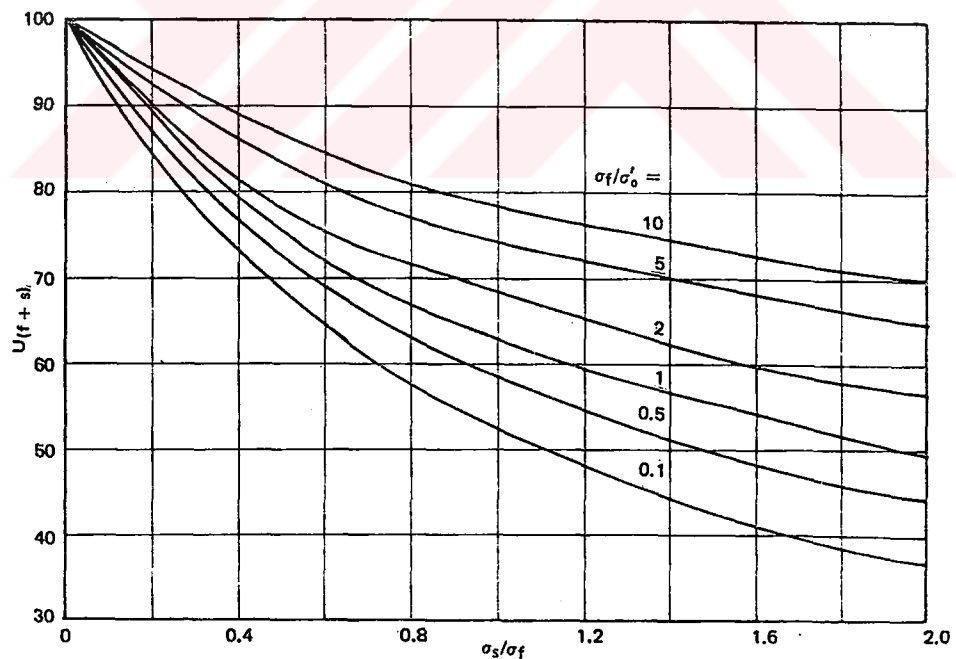
olarak yazılabılır, burada C_v konsolidasyon katsayısı ve H maksimum drenaj boyudur.

Benzer bir yaklaşım sürsaj dolgusunun büyülüüğünü ikincil konsolidasyondan dolayı olan inşaat sonrası oturmayı azaltmak veya yok etmek için kaldırılma zamanı tahmin etmek için uygulanabilir.

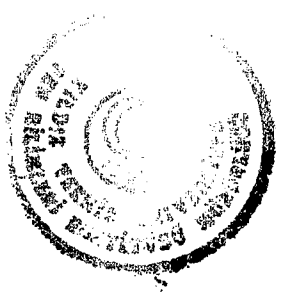




Şekil 3.62. Ön sıkışmanın hesabında konsolidasyon derecesinin seçimi



Şekil 3.63. $U_{(f+s)}$ 'nin σ_s/σ_f ve σ_f/σ'_0 ile değişimi



3.13. Düşey Drenli Konsolidasyon

Konsolidasyon işlemini hızlandırmak ve önyükleme projelerinde bekleme süresini azaltmak için zemin içine düşey drenler (kum veya yapay drenler) yerleştirilmesi yoluna başvurulmaktadır.

3.13.1. Kum Drenler

Bazı yapıların inşaatlarında konsolidasyon oturması işlemini hız kazandırma için kullanışlı olan kum drenler inşaat tekniği kullanılabilir. Kum drenler zemin içine delik açarak veya kılıf sürerek inşa edilirler. Boşluklar kumla doldurulur, sonra kılıflar çekilir. Bir sürsaj zemin yüzeyine uygulandığında kildeki boşluk suyu basıncı artacak ve yatay ve düşey doğrultularda drenaj olacaktır (Şekil 3.65). Yatay drenajlar kum drenler tarafından alınır. Böylece, yükleme tarafından ortaya çıkan artık boşluk suyu basıncının dağılma işlemi ve oturma hız kazanır.

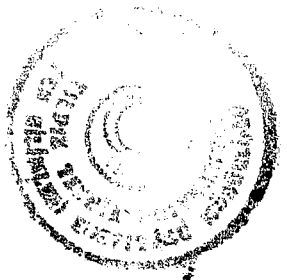
Kum drenlerin temel teorisi Rendulic (1935) ve Barron (1948) tarafından ortaya konmuş ve sonradan Richart (1959) tarafından özetlenmiştir. Kum drenler incelendiğinde, iki temel durum görülür:

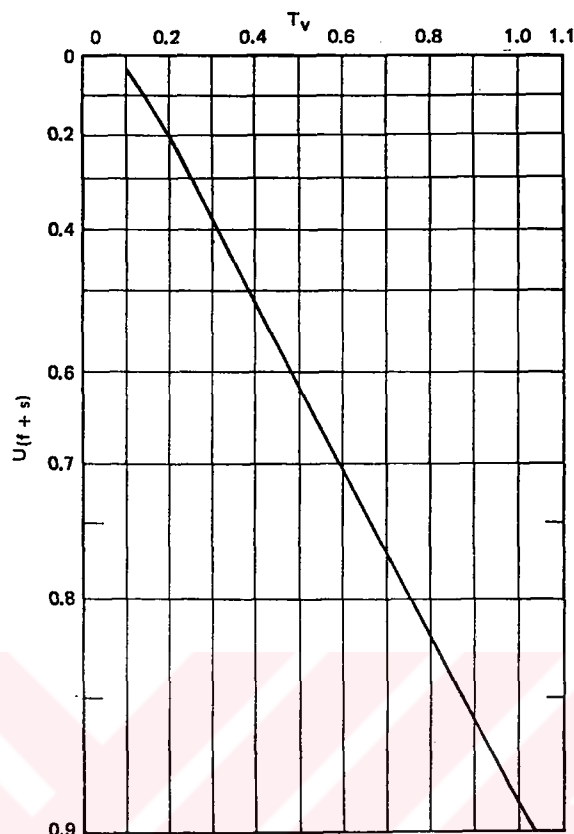
1. Serbest Şekil Değiştirme Durumu

Zemin yüzeyinde uygulanan sürsaj rıjıt olmayan bir halde ise eşit yüzey gerilme dağılımı ortaya çıkacaktır. Bu, yüzeyde üniform olmayan bir oturma verecektir (Şekil 3.66.a).

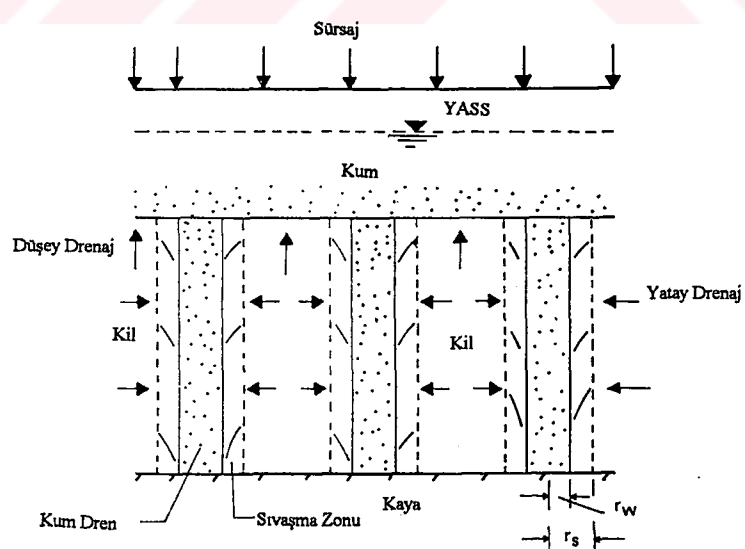
2. Eşit Şekil Değiştirme Durumu

Zemin yüzeyinde uygulanan rıjıtse yüzey oturması her yerde aynı olacaktır. Bununla birlikte eşit olmayan bir gerilme dağılımı ortaya çıkacaktır (Şekil 3.66.b).





Şekil 3.64. $U_{(f+s)}$ - T_v grafiği



Şekil 3.65. Kum drenler

Dikkate alınması gereken diğer bir faktörde sıvaşma etkisidir. Bir kum drende sıvaşma zonu dren inşasında delme esnasında kilin yoğunluğuyla ortaya çıkar (Şekil 3.65). Kilin yoğunluğu yatay doğrultudaki permeabilite katsayısının azalmasına neden olur.

Serbest şekil değiştirmeli ve eşit şekil değiştirmeli konsolidasyon teorileri aşağıdaki iki bölümde ayrı ayrı incelenecaktır. Bu teorilerni geliştirilmesinde drenajın sadece radyal doğrultuda olduğu yani düşey doğrultuda artık boşluk suyu basıncının dağılmadığı varsayılmaktadır.

3.13.2. Sıvaşmasız Serbest Şekil Değiştirmeli Konsolidasyon

Şekil 3.67 kum drenlerin şekli hakkında genel bir kesitini göstermektedir. Kum drenlerin üçgensel boşlukları için tesir sınırı planda altigen yapıya sahiptir. Bu altigene de çaplı eşdeğer bir daire olarak yaklaşılabilir. Bu bölümde kullanılan diğer notasyonlar aşağıdaki gibidir (Şekil 3.67 b)

1. r_e eşdeğer dairenin yarı çapı = $d_e/2$
2. r_w kum dreni kuyusunun yarıçapı
3. r_s dren kuyusunun merkezinden sıvaşma zonunun en uzak noktasına olan yarıçapı $r_w=r_s$ durumunda hiç sıvaşma durumu yoktur.

Düşey doğrultudaki akım için Terzaghi 'nin konsolidasyon teorisinin temel diferansiyel denklemi eşitlik 3.20 'de verilmiştir. Radyal drenaj için bu denklem

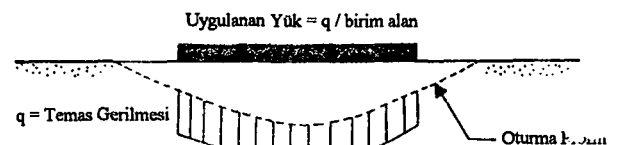
$$\frac{\partial u}{\partial t} = C_{vr} \left(\frac{\partial^2 u}{\partial r^2} + \frac{1}{r} \frac{\partial u}{\partial r} \right) \quad (3.179)$$

olarak yazılabilir. Burada, u = artık boşluk suyu basıncı

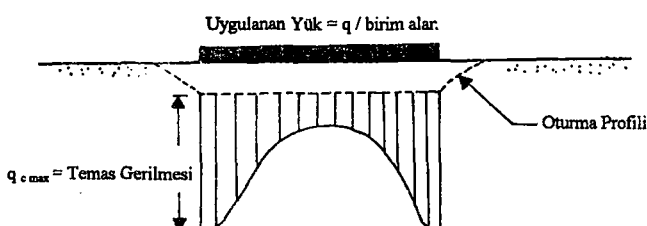
r = dren kuyusunun merkezinden ölçülen radyal uzaklık

C_{vr} = radyal doğrultudaki konsolidasyon katsayısı [eşitlik 3.186]



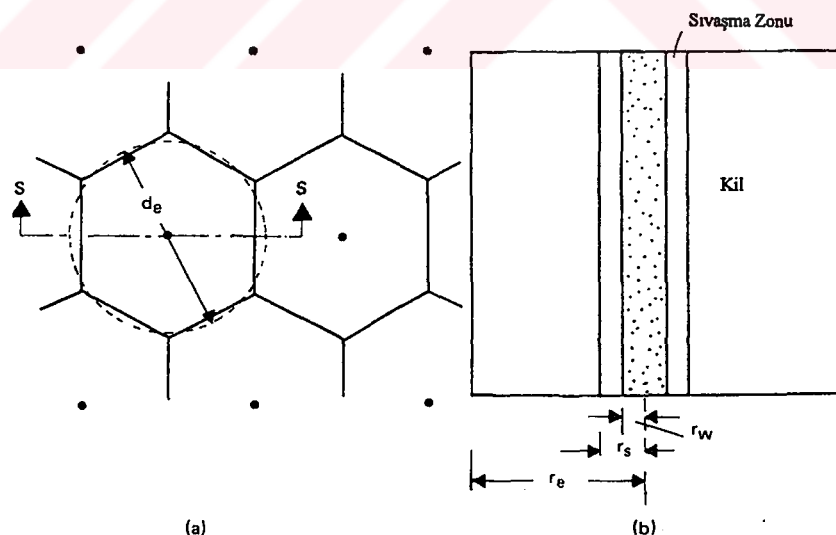


(a)



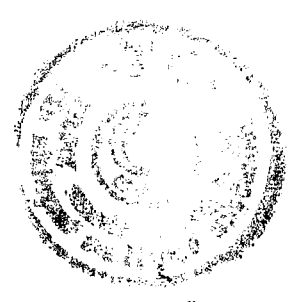
(b)

Şekil 3.66. Killer üzerindeki esnek (a) ve rijit (b) temeller



Şekil 3.67. Kum drenlerin genel görünümü

a. Plan b. S-S kesiti



Eşitlik 3.179 'un çözümü için aşağıdaki sınır koşulları kullanılır:

1. $t=0$ 'da $u = u_i$
2. $t>0$ 'da $r = r_w$ 'da $u = 0$
3. $r = r_e$ 'de $\frac{\partial u}{\partial r} = 0$

Yukardaki sınır koşulları ile eşitlik 3.179 herhangi bir t zamanında ve r radyal uzaklığındaki artık boşluk suyu basıncı için:

$$u = \sum_{\alpha_1, \alpha_2, \dots}^{\alpha=\infty} \frac{-2U_1(\alpha)U_0(\alpha r / r_w)}{\alpha [n^2 U_0^2(\alpha n) - U_1^2(\alpha)]} \exp(-4\alpha^2 n^2 T_r) \quad (3.180)$$

bulunur. Eşitlik 3.180 'de

$$n = \frac{r_e}{r_w} \quad (3.181)$$

$$U_1(\alpha) = J_1(\alpha)Y_0(\alpha) - Y_1(\alpha)J_0(\alpha) \quad (3.182)$$

$$U_0(\alpha n) = J_0(\alpha n)Y_0(\alpha) - Y_0(\alpha n)J_0(\alpha) \quad (3.183)$$

$$U_0\left(\frac{\alpha r}{r_w}\right) = J_0\left(\frac{\alpha r}{r_w}\right)Y_0(\alpha) - Y_0\left(\frac{\alpha r}{r_w}\right)J_0(\alpha) \quad (3.184)$$

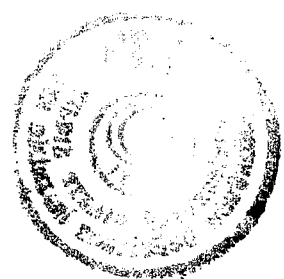
burada , J_0 = sıfırıncı mertebeden birinci tip Bessel fonksiyonu

J_1 = birinci mertebeden birinci tip Bessel fonksiyonu

Y_0 = sıfırıncı mertebeden ikinci tip Bessel fonksiyonu

Y_1 = birinci mertebeden ikinci tip Bessel fonksiyonu

$\alpha_1, \alpha_2, \dots = J_1(\alpha n)Y_0(\alpha) - Y_1(\alpha n)J_0(\alpha) = 0$ ifadesini sağlayan Bessel fonksiyonunun kökleridir.



$$T_r = \frac{C_{vr} t}{d_e^2} \quad (3.185)$$

T_r radyal akımın zaman faktörüdür. Eşitlik 3.185 'de

$$C_{vr} = \frac{k_h}{m_v \gamma_w} \quad (3.186)$$

biçimindedir, burada k_h yatay doğrultudaki permeabilite katsayısıdır.

Zemin kütlesi boyunca U_{av} ortalama boşluk suyu basıncı eşitlik 3.180 'den

$$u_{av} = u_i \sum_{\alpha=1, \alpha_2, \dots}^{\alpha=\infty} \frac{4U_1^2(\alpha)}{\alpha^2(n^2 - 1) [n^2 U_0^2(\alpha n) - U_1^2(\alpha)]} \exp(-4\alpha^2 n^2 T_r) \quad (3.187)$$

olarak elde edilir.

U_r ortalama konsolidasyon derecesi

$$U_r = 1 - \frac{u_{av}}{u_i} \quad (3.188)$$

biçiminde saptanabilir. Şekil 3.68 U_r 'nin T_r zaman faktörü ile değişimini göstermektedir.

3.13.3. Sıvaşmasız Eşit Şekil Değiştirmeli Konsolidasyon

Sıvaşmasız yani $r_w = r_s$ olduğu eşit şekil değiştirmeli konsolidasyon problemi Barron (1948) tarafından çözülmüştür. Çözümün sonuçları aşağıda verilmiştir (bkz. Şekil 3.67).



r radyal uzaklığında ve herhangi bir t zamanındaki artık boşluk suyu basıncı

$$u = \frac{4u_{av}}{d_e^2 F(n)} \left[r_e^2 \left(\frac{r}{r_w} \right) - \frac{r^2 - r_w^2}{2} \right] \quad (3.189)$$

olarak verilir. Burada,

$$F(n) = \frac{n^2}{n^2 - 1} \ln(n) - \frac{3n^2 - 1}{4n^2} \quad (3.190)$$

burada

$$u_{av} = u_i e^\lambda \quad (3.191)$$

biçiminde kil tabakası boyunca boşluk suyu basıncının ortalama değeridir.

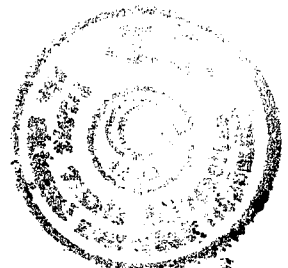
$$\lambda = \frac{-8T_r}{F(n)} \quad (3.192)$$

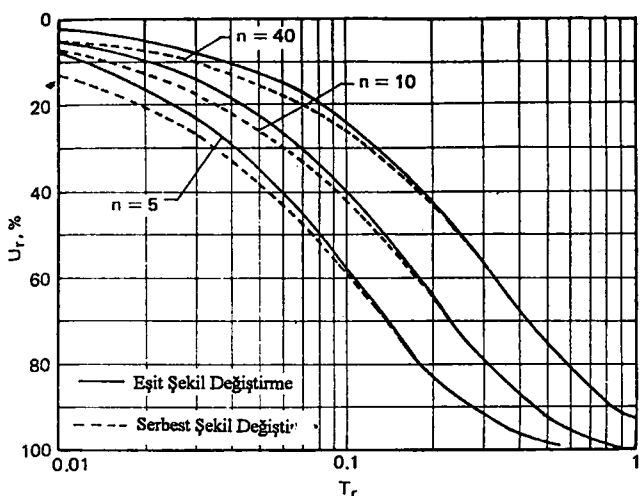
biçimindedir. Radyal drenajdan dolayı ortaya çıkan ortalama konsolidasyon derecesi

$$U_r = 1 - \exp \left[\frac{-8T_r}{F(n)} \right] \quad (3.193)$$

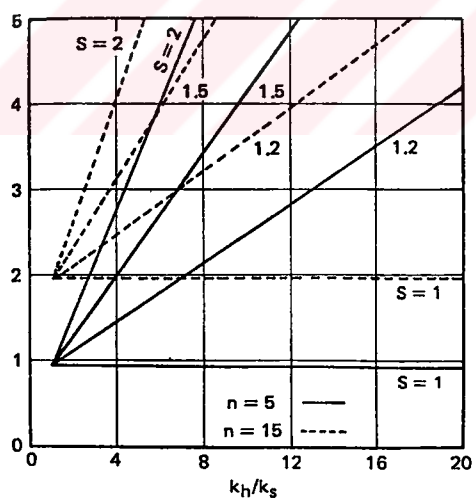
biçimindedir.

Tablo 3.5 çeşitli U_r değerleri için T_r zaman faktörünün değerlerini verir (Şekil 3.68 'ye de bakınız). $r_e/r_w > 5$ için, serbest şekil değiştirmeli ve eşit şekil değiştirmeli çözümler ortalama konsolidasyon derecesi için yaklaşık olarak aynı sonuçları vermektedirler.





Şekil 3.68 U_r konsolidasyon derecesinin T_r zaman faktörü ile değişimi



Şekil 3.69 k_h/k_s ve S 'nin farklı değerleri için m değerleri

Tablo 3.5. Radyal akış eşitliğinin çözümü: eşit şekil değiştirme koşulu

U _r (%)	T _r								
	r _e /r _w 5	r _e /r _w 10	r _e /r _w 20	r _e /r _w 30	r _e /r _w 40	r _e /r _w 50	r _e /r _w 60	r _e /r _w 80	r _e /r _w 100
5	0.006	0.010	0.014	0.017	0.019	0.020	0.021	0.032	0.025
10	0.012	0.021	0.030	0.035	0.039	0.042	0.044	0.048	0.051
20	0.026	0.044	0.063	0.074	0.082	0.088	0.092	0.101	0.107
30	0.042	0.070	0.101	0.118	0.131	0.141	0.149	0.162	0.172
40	0.060	0.101	0.144	0.170	0.188	0.202	0.214	0.232	0.246
50	0.081	0.137	0.195	0.230	0.255	0.274	0.290	0.315	0.334
60	0.107	0.180	0.258	0.304	0.337	0.362	0.383	0.416	0.441
70	0.137	0.231	0.330	0.389	0.431	0.463	0.490	0.532	0.564
80	0.188	0.317	0.453	0.534	0.592	0.636	0.673	0.730	0.775
90	0.270	0.455	0.649	0.764	0.847	0.911	0.963	1.046	1.110
99	0.539	0.907	1.298	1.528	1.693	1.821	1.925	2.091	2.219

3.13.4. Radyal Konsolidasyon Üzerine Sıvaşma Zonu Etkisi

Barron (1948) de kum drenlerce yapılan eşit şekil değiştirmeli konsolidasyon analizini bölüm 3.13.1 'de açıklanan sıvaşma zon için de genişletmiştir. Analiz sıvaşma zon içindeki kılın sıfır artık boşluk suyu basınçlı bir sınıra sahip olduğu ve zamana bağlı artık boşluk suyu basınçlı diğer bir sınıra sahip olduğu kabulüne dayanır. Bu kabule göre

$$u = \frac{1}{m} u_{av} \left[\ln\left(\frac{r}{r_e}\right) - \frac{r^2 - r_s^2}{2r_e^2} + \frac{k_h}{k_s} \left(\frac{n^2 - S^2}{n^2} \right) \ln S \right] \quad (3.194)$$

biçimindedir, burada k_s = örselenmiş bölgenin permeabilite katsayısıdır,

$$S = \frac{r_s}{r_w} \quad (3.195)$$

$$m = \frac{n^2}{n^2 - S^2} \ln\left(\frac{n}{S}\right) - \frac{3}{4} + \frac{S^2}{4n^2} + \frac{k_h}{k_s} \left(\frac{n^2 - S^2}{n^2} \right) \ln S \quad (3.196)$$

$$u_{av} = u_i \exp\left(\frac{-8T_r}{m}\right) \quad (3.197)$$

biçimindedir.

Ortalama konsolidasyon derecesi

$$U_r = 1 - \frac{u_{av}}{u_i} = 1 - \exp\left(\frac{-8T_r}{m}\right) \quad (3.198)$$

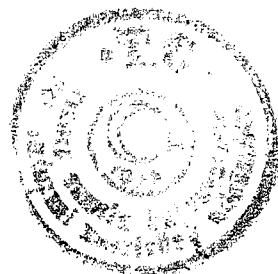
ilişkisi ile verilir.

Şekil 3.69 S ($n=5$ ve 15 için) ve k_h/k_s 'nin çeşitli değerleri için m [Eşitlik 3.196] değerlerini verir. Örselenme olmayan, yani $S=1$, yerlerdeki durumlar için m [Eşitlik 3.196] ifadesi Eşitlik 3.190 deki $F(n)$ 'nin ifadesine eşit hale gelir. Şekil 3.70, çeşitli S ($k_h/k_s=20$ için) değerleri için $m-n$ grafiğini vermektedir.

Olson (1977) zamana bağlı yükleme için yayılı yük U_r ortalama konsolidasyon derecesinin bölüm 3.2.7 'de anlatılan düşey drenaj durumuna benzer bir çözümünü verdi.

3.13.5. Düşey ve Radyal Drenajlı Konsolidasyon Derecesinin Hesabı

Sadece düşey drenajlı ortalama konsolidasyon derecesi ifadesi bölüm 3.1.2 'de; sadece radyal drenajdan dolayı olan konsolidasyon derecesi ifadesi bölüm 3.13.2 - 3.13.4 arasında verilmiştir. Gerçekte artık boşluk suyu basıncının dağılımı için drenaj her iki doğrultuda aynı anda yer alır. Bu durum için Carillo (1942)



$$U = 1 - (1 - U_v)(1 - U_r) \quad (3.199)$$

olduğunu göstermiştir. Burada,

- U = Aynı andaki düşey ve radyal drenaj için ortalama konsolidasyon derecesi
- U_v = Sadece düşey drenajın olduğu varsayımlı ile hesaplanan ortalama konsolidasyon derecesidir. (Bu bölümde daha önceleri U_{av} notasyonunu kullandığımızı belirtelim)
- U_r = Sadece radyal drenajın olduğu varsayımlı ile hesaplanan ortalama konsolidasyon derecesidir.

3.13.6. Radyal Drenajın Sayısal Çözümü

Önceki drenaj için (Bölüm 3.2.5) görüldüğü gibi radyal drenaj durumundaki konsolidasyon problemlerinin çözümü için sonlu farklar tekniği uygulanabilir. Eşitlik 3.179 tekrar yazılırsa:

$$\frac{\partial u}{\partial t} = C_{vr} \left(\frac{\partial^2 u}{\partial r^2} + \frac{1}{r} \frac{\partial u}{\partial r} \right) \quad (3.179)$$

u_R , t_R ve r_R herhangi bir referansa göre sırasıyla, artık boşluk suyu basıncı, zaman ve radyal uzaklık olsun. Böylece

$$\bar{u} = \frac{u}{u_R} \quad : (\text{boyutsuz artık boşluk suyu basıncı}) \quad (3.200)$$

$$\bar{t} = \frac{t}{t_R} \quad : (\text{boyutsuz zaman}) \quad (3.201)$$

$$\bar{r} = \frac{r}{r_R} \quad : (\text{boyutsuz radyal uzaklık}) \quad (3.202)$$

Eşitlik 3.200 - 3.202, Eşitlik 3.179 'da yerine konursa



$$\frac{1}{t_R} \frac{\partial \bar{u}}{\partial \bar{t}} = \frac{C_{vr}}{r_R^2} \left(\frac{\partial^2 \bar{u}}{\partial \bar{r}^2} + \frac{1}{\bar{r}} \frac{\partial \bar{u}}{\partial \bar{r}} \right) \quad (3.203)$$

elde edilir. Şekil 3.71 'e göre

$$\frac{\partial \bar{u}}{\partial \bar{t}} = \frac{1}{\Delta \bar{t}} (\bar{u}_{0,\bar{t}+\Delta \bar{t}} - \bar{u}_{0,\bar{t}}) \quad (3.204)$$

$$\frac{\partial^2 \bar{u}}{\partial \bar{r}^2} = \frac{1}{(\Delta \bar{r})^2} (\bar{u}_{1,\bar{t}} + \bar{u}_{3,\bar{t}} - 2\bar{u}_{0,\bar{t}}) \quad (3.205)$$

ve

$$\frac{1}{\bar{r}} \frac{\partial \bar{u}}{\partial \bar{r}} = \frac{1}{\bar{r}} \left(\frac{\bar{u}_{3,\bar{t}} - \bar{u}_{1,\bar{t}}}{2\Delta \bar{r}} \right) \quad (3.206)$$

yazılabilir.

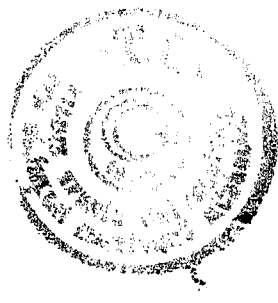
t_R 'yi $\frac{1}{t_R} = \frac{C_{vr}}{r_R^2}$ olacak biçimde uygulanırsa ve sonra eşitlik 3.204 - 3.206 'yı eşitlik

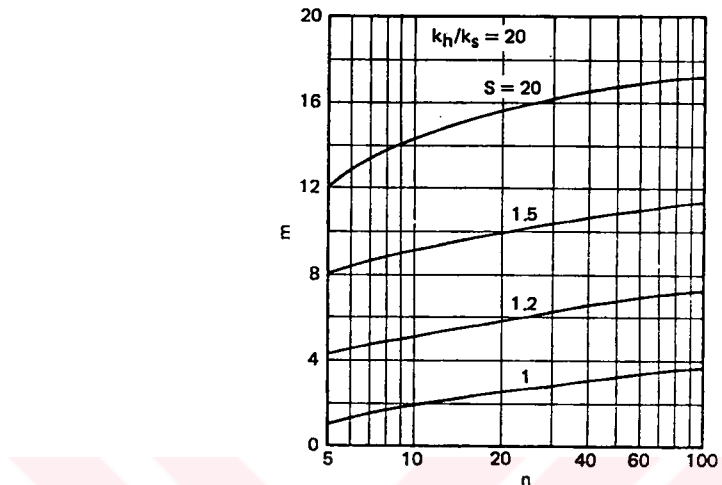
3.203 'de yerine konursa,

$$\bar{u}_{0,\bar{t}+\Delta \bar{t}} = \frac{\Delta \bar{t}}{(\Delta \bar{r})^2} \left[\bar{u}_{1,\bar{t}} + \bar{u}_{3,\bar{t}} + \frac{\bar{u}_{3,\bar{t}} - \bar{u}_{1,\bar{t}}}{2(\bar{r} / \Delta \bar{r})} - 2\bar{u}_{0,\bar{t}} \right] + \bar{u}_{0,\bar{t}} \quad (3.207)$$

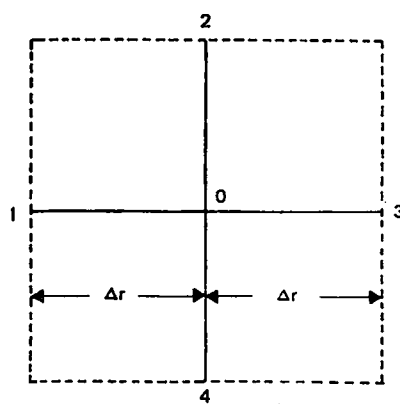
elde edilir.

Eşitlik 3.207 sadece radyal drenaj için artık boşluk suyu basıncının çözümünün esas sonlu farklar denklemidir.

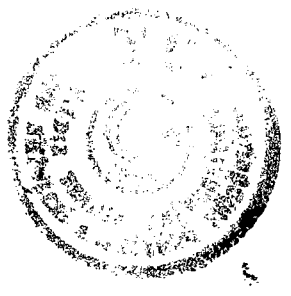




Şekil 3.70. Farklı S ($k_h/k_s=20$) değerleri için m-n grafiği



Şekil 3.71. Radyal drenajın sayısal çözümü için sonlu fark ağ elemanı



BÖLÜM 4

4. ALİBEY BARAJI ALTINDA MEYDANA GELEN OTURMALARIN ANALİZİ

4.1. Gözlemsel Analiz

Bir boyutlu konsolidasyon teorisi zemin mekaniğinin pratik temel mühendisliğine önemli bir katkısıdır. Bir boyutlu sıkışma ve bir boyutlu drenaj sonucu oturma, bu teori ile çok iyi açıklanabildiği ölçüde kabul görmüştür. Bununla beraber, gelecek oturma tahmini olaylarında teorinin etkili olabilmesi için biraz mühendislik sağduyusu buna ilaveten vazgeçilmezdir.

Parabolik tip bir kısmi diferansiyel denklem olan konsolidasyon denklemi, başlangıç ve sınır şartları, ve denklemin bir katsayısı önceden saptandığında tek bir çözüm verdiği bilinmektedir. Bu yaygın bir bilgidir öyleki, bu denklemin pratik uygulamaları çözümün sadece bu karakteristiginden yararlandığı eğilimini göstermiştir. Gerçekte, sıradan bir oturma analizine göre boşluk suyu basıncının başlangıç dağılımı, drenaj boyu, zeminin son düşey şekil değiştirmesi gibi şartlar ve konsolidasyon katsayısı analiz öncesinde verilmek üzere doğal olarak gözönüne alınırlar. Bununla beraber, bu şartların tahmini genellikle yüksek derecede belirsizlik içерdiği de yaygın olarak kabul edilmiştir. Bu yüzden oturma tahmini üzerine mühendislik çalışması genellikle bazı geçmiş tecrübe sahip olmakla tahmin edilir.

Asaoka (1978) , oturma tahmini için yeni bir metod ortaya koymuştur, bunun felsefesi gözlemsel işlem üzerine kurulmuştur. Oturmanın zamanla alınan datalarının eğim denklemi önce bir boyutlu konsolidasyon denkleminden çıkarılır, bundan sonra geçmiş gözlemler kullanılarak gelecekteki oturma tahmin edilir. İki tip pratik metod ortaya konmuştur. Biri grafik metod olup, üstünlüğü basit olmasıdır. Diğer, gelecekteki oturmanın bir tahmini olasılığını verebilen ve sonra oturma problemlerinin güvenirlilik



üzerine kurulan tasarımlı için bir ön teori de sağlayabilen, sabit olmayan olasılıksal işleminin Bayesian 'nın geliştirdiği sonuç çıkarma metodu üzerine kurulmuştur.

Ortaya konan yöntem, kum kazıklarının drenajından dolayı meydana gelen oturmayı ihtiva eden bazı diğer özel problemler için de uygulanabilir olduğu gösterilmiştir.

4.1.1. Oturma - Zaman İlişkisinin Esas Denklemi

Bu bölümde türetilen adı diferansiyel denklem bir oturma zaman ilişkisini verir.

Mikasa 'nın denkleminden uyarlanan temel denklem olarak

$$\dot{\varepsilon} = c_v \varepsilon_{zz} \quad (4.1)$$

verilmiştir. Burada

$\varepsilon(t, z)$: düşey şekil değiştirme (hacimsal şekil değiştirme)

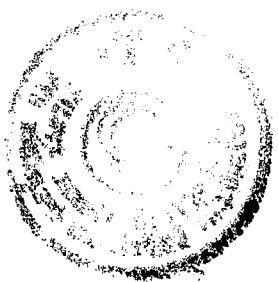
$t(\geq 0)$: zaman

z : kil tabakasının üstünden olan derinlik

c_v : konsolidasyon katsayısı

birimindedir. Denklem 4.1 'deki () üst nokta zamana göre türevi ve z alt indisi z derinliğine göre türevi ifade eder. Hem permeabilite ve hemde hacimsal sıkışabilirlik katsayıları zamanla değişse bile eşitlik 4.1 c_v sabit kaldığı zaman (Mikasa, 1963) hala etkindir. Buna ilaveten eşitlik 4.1 oturmanın ifadesini kolaylaştırır. Bu sebeplerden dolayı eşitlik 4.1 Tezaghi 'nın denkleminin yerine konulmuştur.

Eşitlik 4.1 'in çözümü, zamana bağlı T ve F gibi iki tane bilinmeyen fonksiyon yerleştirerek ifade edilmiştir:



$$\varepsilon(t, z) = T + \frac{1}{2!} \left(\frac{z^2}{c_v} \dot{T} \right) + \frac{1}{4!} \left(\frac{z^4}{c_v^2} \ddot{T} \right) + \dots + zF + \frac{1}{3!} \left(\frac{z^3}{c_v} \dot{F} \right) + \frac{1}{5!} \left(\frac{z^5}{c_v^2} \ddot{F} \right) + \dots \quad (4.2)$$

Eşitlik 4.2 gösterir ki :

$T = \varepsilon(t, z=0)$ ve

$F = \varepsilon_z(t, z=0)$.

Eşitlik 4.1 'deki ε düşey şekil değiştirmesi başlangıçta bir Eulerian anlamında tanımlanmıştır, fakat bu yazda ε basitlik için yaklaşık olarak bir Lagrangean şekil değiştirme olarak alınmıştır. ε 'nun Eulerian şekil değiştirme olarak alındığı bir oturma tahmini formülü hali hazırda Asaoka tarafından kurulmuştur. Bununla beraber sonuçlar bir karmaşık lineer olmayan bir problem haline gelmiş ve bu yüzden pratik uygulanabilirlik amacının gerisinde kalmışlardır.

Şimdi iki tipik sınır koşulu gözönüne alınmıştır.

1.- Alt ve üst sınırlardan drenaj.

Şekil 4.1 bu sınır koşulunu gösterir. Formülasyonu

$$\varepsilon(t, z = 0) = \bar{\varepsilon} \quad : \text{sabit} \quad (4.3)$$

$$\varepsilon(t, z = H) = \underline{\varepsilon} \quad : \text{sabit} \quad (4.4)$$

biçimindedir, burada H kil tabakasının kalınlığı olup hem $\bar{\varepsilon}$ ve hemde $\underline{\varepsilon}$ bilinmeyen sınır değerleridir.

Eşitlik 4.3 ' ü eşitlik 4.2 ' de yerine konmasıyla

$$T = \bar{\varepsilon} \quad : \text{sabit} \quad (4.5)$$

elde edilir, bu eşitlik 4.2' nin çözümünün üst yarısının sabit hale geldiğini gösterir. Sonra eşitlik 4.4' den sabit katsayılı F bilinmeyen fonksiyonunun lineer adı diferansiyel denklemi elde ederiz,

$$F + \frac{1}{3!} \left(\frac{H^2}{c_v} \dot{F} \right) + \frac{1}{5!} \left(\frac{H^4}{c_v^2} \ddot{F} \right) + \dots = \frac{\varepsilon - \bar{\varepsilon}}{H} \quad (4.6)$$

2.- Üstten drenaj (Şekil 4.2)

Kıl tabakasının altı geçirimsiz olduğu zaman sınır koşulları aşağıdaki gibi verilir:

$$\varepsilon(t, z = 0) = \bar{\varepsilon} \quad : \text{sabit} \quad (4.7)$$

$$\varepsilon_z(t, z = H) = 0. \quad (4.8)$$

Eşitlik 4.7 eşitlik 4.3 ile aynı olduğundan

$$T = \bar{\varepsilon} \quad : \text{sabit} \quad (4.9)$$

birimindedir. Sonra eşitlik 4.2' nin çözümünden eşitlik 4.8' i hesap ederek

$$F + \frac{1}{2!} \left(\frac{H^2}{c_v} \dot{F} \right) + \frac{1}{4!} \left(\frac{H^4}{c_v^2} \ddot{F} \right) + \dots = 0 \quad (10)$$

elde edilir. Bu da sabit katsayılı F 'nin bir lineer adı diferansiyel denklemidir.

Şimdi herhangi bir sınır koşulu için kıl tabakasının oturması,

$$\rho(t) = \int_0^H \varepsilon(t, z) dz \quad (11)$$



birimde ifade edilir. Burada $f(t)$ t zamanındaki oturmayı ifade eder. Z çözümünü eşitlik 4.11 ' de yerine koyarak $T = \bar{\epsilon}$: sabit, olduğundan dolayı,

$$\rho(t) = \bar{\epsilon}H + \frac{1}{2!} \left(H^2 F \right) + \frac{1}{4!} \left(\frac{H^4}{c_v} \dot{F} \right) + \frac{1}{6!} \left(\frac{H^6}{c_v^2} \ddot{F} \right) + \dots = 0 \quad (12)$$

elde edilir. Eşitlik 4.12 'nin t ye göre ardışık türevleri alınması ile aşağıdaki denklem takımı elde edilir.

$$\left. \begin{aligned} \dot{\rho} &= \frac{1}{2!} \left(H^2 \dot{F} \right) + \frac{1}{4!} \left(\frac{H^4}{c_v} \ddot{F} \right) + \frac{1}{6!} \left(\frac{H^6}{c_v^2} \dddot{F} \right) + \dots \\ \vdots &\quad \vdots \quad \vdots \\ {}^{(n)}\rho &= \frac{1}{2!} \left(H^2 {}^{(n)}F \right) + \frac{1}{4!} \left(\frac{H^4}{c_v} {}^{(n+1)}F \right) + \frac{1}{6!} \left(\frac{H^6}{c_v^2} {}^{(n+2)}F \right) + \dots \end{aligned} \right\} \quad (13)$$

4.12 ve 4.13 eşitlerinin eşitlik 4.6 ve eşitlik 4.10 ' la karşılaştırılmasından bilinmeyen F fonksiyonu yok edilebilir. Bu durumda eşitlik 4.6

$$\rho + \frac{1}{3!} \left(\frac{H^2}{c_v} \dot{\rho} \right) + \frac{1}{5!} \left(\frac{H^4}{c_v^2} \ddot{\rho} \right) + \dots = \frac{H}{2} (\bar{\epsilon} + \underline{\epsilon}) \quad (14a)$$

haline gelir. Benzer olarak Eşitlik 4.10

$$\rho + \frac{1}{2!} \left(\frac{H^2}{c_v} \dot{\rho} \right) + \frac{1}{4!} \left(\frac{H^4}{c_v^2} \ddot{\rho} \right) + \dots = H\bar{\epsilon} \quad (14b)$$



haline gelir. 4.14 eşitlikleri bir dış konsolidasyon yükünün sabit olduğu koşul altındaki oturma-zaman ilişkisini verir. 4.14 eşitlikleri, eşitlik 4.3 ve eşitlik 4.7 değişmeyen sınır koşullarında çıkarılan sonuçlardır.

Eşitlik 4.14'ün $t \rightarrow \infty$ için stabil (kararlı) yani bu denklemlerinin bütün özdeğerleri birbirlerinden farklı negatif gerçel sayılar olduğu kolayca tahlük edilebilir. Bununla beraber gelecek bölgelerde C_v , H ve drenaj ile yükün sınır koşullarının tümüyle belirsiz olduğu pratik problemleri ele alınacaktır. Buradan dolayı, sıradan analizlerde yaygın olan onde gelen sınır değer ve özdeğerlerin kullanımı ile 4.14 eşitliklerinin çözümlerinin ifadesi (açıklaması) oturma tahmini için yeterli olmayacağıdır.

4.14 Eşitliklerinin daha yüksek mertebeden diferansiyel terimlerinin ihmal edilebilir derecede küçük olduğu not edilmelidir. Bu yüzden aşağıdaki n'inci mertebeden yaklaşım eşitliği oturma-zaman ilişkisinin esas denklemi olarak uylanmıştır:

$$\rho + c_1 \dot{\rho} + c_2 \ddot{\rho} + \dots + c_n \overset{(n)}{\rho} = C \quad (4.15)$$

burada c_1, c_2, \dots, c_n ve C bilinmeyen sabitlerdir. Sonradan görüleceği gibi 4.15 eşitliği bazı değer oturma tahmini problemlerine de uygulanır. Zaman aralıkları,

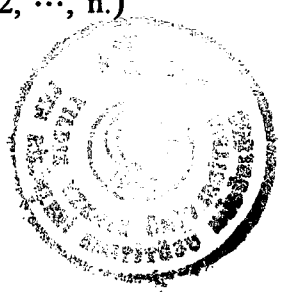
$$t_j = \Delta t \cdot j, \quad j = 0, 1, 2, \dots \quad (4.16)$$

Δt : sabit

birimde alınarak 4.15 eşitliği bir sonlu fark biçimine indirgenebilir:

$$\rho_j = \beta_0 + \sum_{s=1}^n \beta_s \rho_{j-s} \quad (4.17)$$

burada ρ_j , $t = t_j$ zamanındaki $\rho(t_j)$ oturmasını gösterir ve β ve β_s ($s = 1, 2, \dots, n$)



bilinmeyen arazi parametreleridir. 4.17 eşitliği bize gözlemlsel oturma tahmini için bir fikir verecektir.

İleriki tartışmalara uygun olması açısından, birinci mertebe yaklaşım denklemi

$$\rho + c_1 \dot{\rho} = C \quad (4.18)$$

burada ele alınacaktır. Başlangıç koşulu

$$\rho(t=0) = \rho_0 \quad (4.19)$$

biçiminde olsun, burada $t=0$ zamanı yükleme çalışmalarından sonraki zaman olarak alınmalıdır. Çünkü eşitlik 4.14 zamandan zamana değişmeyen kararlı (durgun) sınır koşulları için çıkarılmıştır. Bu durumda eşitlik 4.18

$$\rho(t) = \rho_f - (\rho_f - \rho_0) \exp\left(-\frac{t}{c_1}\right) \quad (4.20)$$

biçiminde kolayca çözülebilir. Burada, $\rho_f = C$, C bazen ρ ' nun durgun durumu olarak ima edilen son oturmadır. Diğer taraftan birinci mertebe fark denklemi

$$\rho_j = \beta_0 + \beta_1 \rho_{j-1} \quad (4.21)$$

olarak ifade edilir. β_0 ve β_1 katsayıları aşağıdaki değerlerdir. Durgun durum

$$\rho_j = \rho_{j-1} = \rho_f \quad (4.22)$$

ifadesini 4.21 eşitliğinde yerine koyarak



$$\rho_f = \frac{\beta_0}{1 - \beta_1} \quad (4.23)$$

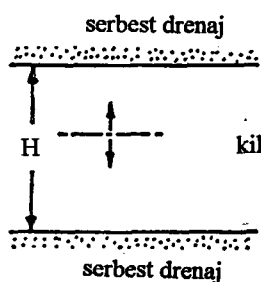
elde edilir. Dahası j 'ye göre tekrarlama operasyonu ile eşitlik 4.21, eşitlik 4.20 ile karşılaştırılabilen

$$\rho_j = \frac{\beta_0}{1 - \beta_1} - \left\{ \frac{\beta_0}{1 - \beta_1} - \rho_0 \right\} (\beta_1)^j \quad (4.24)$$

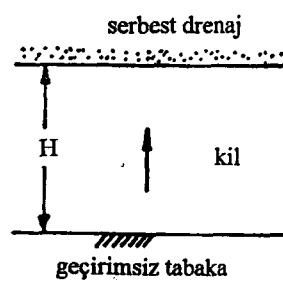
ifadesini verir. Buradan

$$l_n \beta_1 = -\frac{\Delta t}{c_1} \begin{cases} = -\frac{6c_v}{H^2} \Delta t & : \text{üst ve altta drenaj durumu} \\ = -\frac{2c_v}{H^2} \Delta t & : \text{üstten drenaj durumu} \end{cases} \quad (4.25) \quad (4.26)$$

β_1 , $\bar{\epsilon}$ ve $\underline{\epsilon}$ sınır değerlerine ve yükle bağımlı olmadığı fikrini verir.



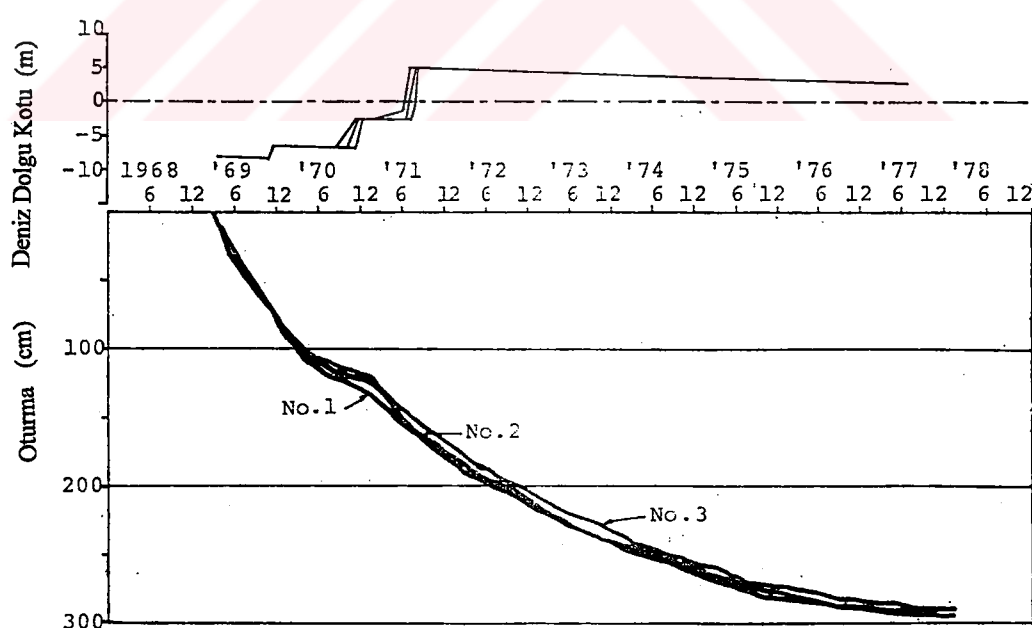
Şekil 4.1. Üst ve alttan drenaj durumu



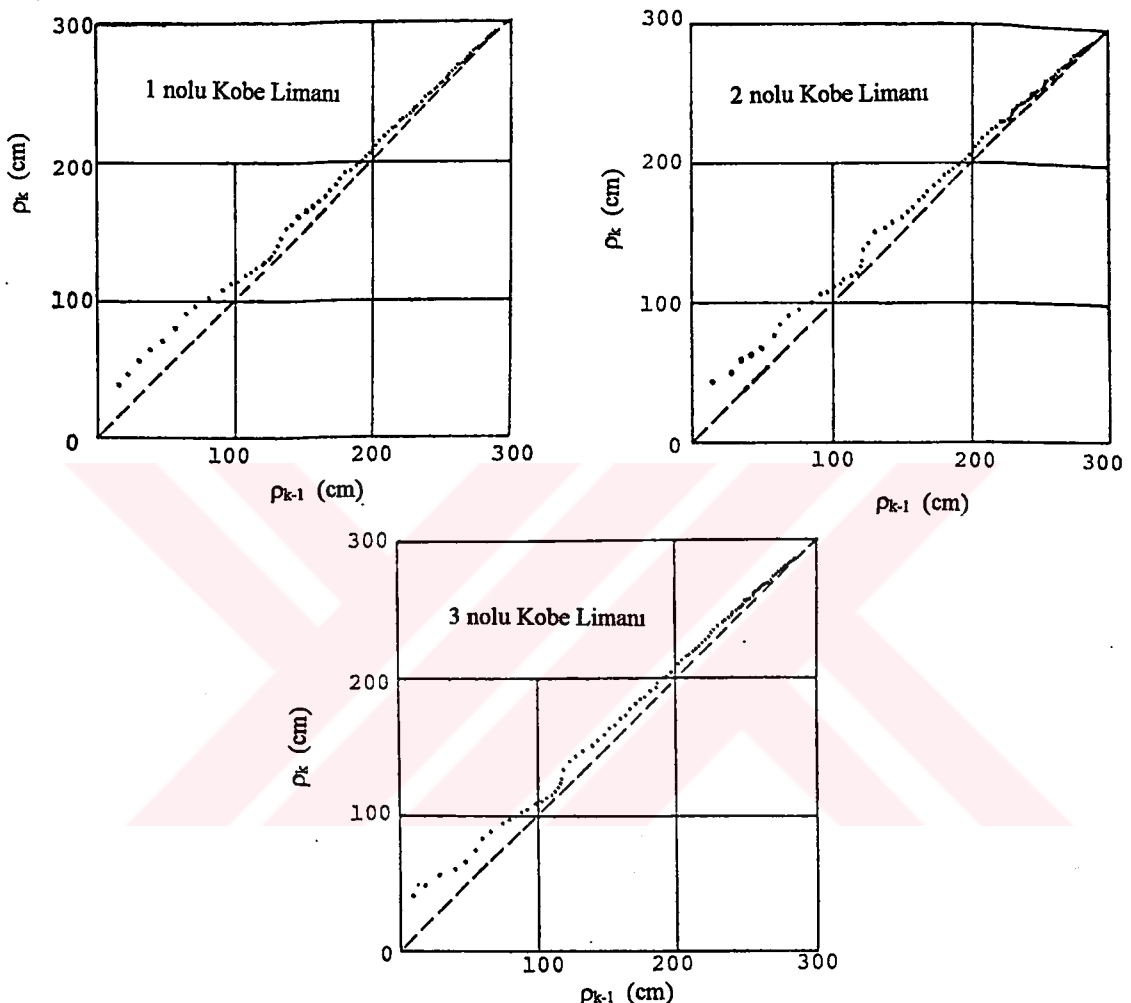
Şekil 4.2. Üst drenaj durumu .

4.1.3. Grafiksel Oturma Tahmini

Önce birinci mertebe yaklaşım denkleminin etkin olmadığını araştıralım. $n+1$ oturma gözlemine ve sabit dış yükten elde edilen (üretilen) $(\rho_0, \rho_1, \dots, \rho_n)$ değerlerine sahip olduğunu varsayıyalım. Bu gözlemleri kullanarak, $k=1, 2, \dots, n$ için (ρ_k, ρ_{k-1}) n tane noktayı (ρ_j, ρ_{j-1}) koordinat, üzerine çizebiliriz. Bundan Eşitlik 4.21' in fikir verdiği gibi bütün noktaların bir doğru üzerinde olup olmadığını gözle görebiliriz. Şekil 4.3 ve 4.4 Japonya'daki geniş ölçekli deniz dolgularından kazanılan arazinin orturma gözlemlerinden elde edilen gerçek sonuçları göstermektedir. Şekil 4.3' tekidataları Kobe limanındaki dolgu zemininden elde edilmiştir. Şekil 4.4, Aboshi (1969) yayınındaki dataların tekrar düzenlenmiş sonuçlardır. Bu şekillerin her durumunda oturmanın bir boyutlu konsolidasyon sonucunda olduğu gözönüne alınmıştır. Bu şekillerde At bir zaman aralığı (91-92 gün) 3 ay olarak alınmıştır.



Şekil 4.3a. Kobe Limanı 'ndaki dolgu zemininin gözlemlsel oturmaları



Şekil 4.3b. Kobe Liman'ında deniz dolgusunun oturma gözlemlerinden elde edilen $\rho_j - \rho_{j-1}$ grafiği

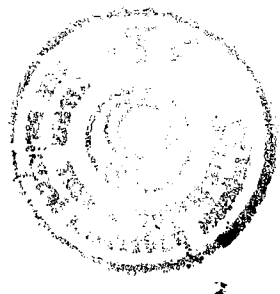


Şekillerde görüldüğü gibi birinci mertebe fark denklemi, eşitlik 4.21, grafik metodla gelecek oturmayı tahmin etmeyi mümkün kılan, gözlemlere iyi uyan, bir eğri uydurması verir. Bu işlem Şekil 4.5' de gösterilmiştir. β_0 ve β_1 'nin yaklaşık tahminleri, uydurulan doğrunun ekseni kestiği yerle ve eğim ile verildiği için Eşitlik 4.24' ü kullanarak herhangi bir j gelecek zamanının oturması tahmin edilebilir. Dahası bu doğrunun 45° lik doğru ile kesişimi nihai oturmayı verir, çünkü $\rho_f = \rho_{j-1}$ tarafından verilir. Eğer gerekirse zaman faktörünün bilinmeyen katsayısı, c_v'/H^2 , Eşitlik 4.25 veya 4.26 ile geriye doğru kolayca hesaplanabilir.

Kademeli yükleme durumunda $\rho_j = \beta_0 + \beta_1 \cdot \rho_{j-1}$ doğrusu Şekil 4.5' de de görüldüğü gibi yukarı doğru hareket edecektir. Oturma kil tabakasının kalınlığına nazaran bağıl (relatif) olarak küçük olduğu zaman ötelenen çizgi başlangıç çizgisine hemen hemen paralel hale gelir, çünkü β_1 dış yükten değil, fakat H kalınlığından ve c_v konsolidasyon katsayılarından saptanır.

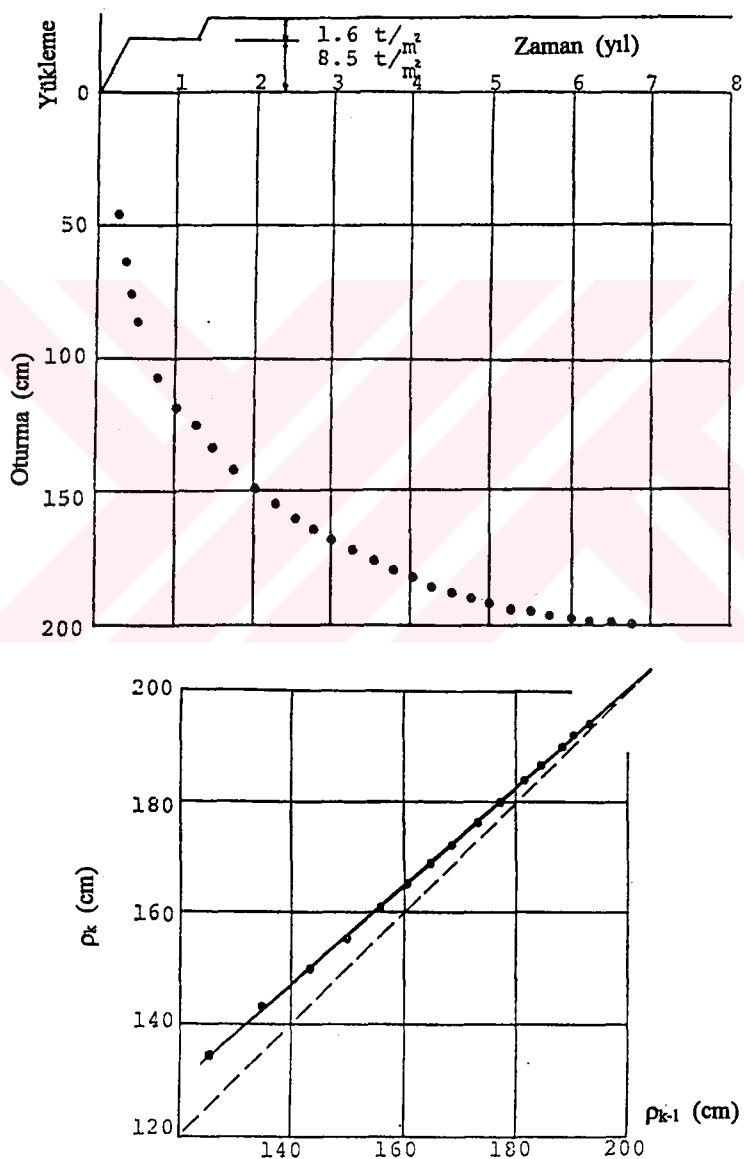
Bu grafiksel metod basitliğin zorluktan daha değerli olduğu durumlarda oldukça yararlıdır, fakat aşağıdakiler dikkate değerdir.

- (1) β_0 'i elde etmek için genellikle uydurulmuş eğrinin $\rho_{k-1} = 0$ eksenine ekstrapolasyonuna (dış değerinin bulunmasına) mecbur oluruz. Bu yüzden doldurma (banking) periyodu çok uzun olursa ρ_0 çok büyük olur. Bu durumda ekstrapolasyon çok dikkatli şekilde yapılmalıdır.
- (2) Grafik metodun hassasiyeti esas olarak Δt bir zaman aralığına bağlıdır. Δt ne kadar uzun olursa o kadar yüksek hassasiyet elde edilir. Bu amaç için gözlemlerin tekrardan düzenlenmesi bazen tavsiye edilir. Bir örnek olarak eğer her hafta oturmayı gözleyip Δt yi 10 hafta olarak alınırsa bu durumda $\rho[k]$ k inci haftada bir gözlem serisine sahip oluruz. Yani:

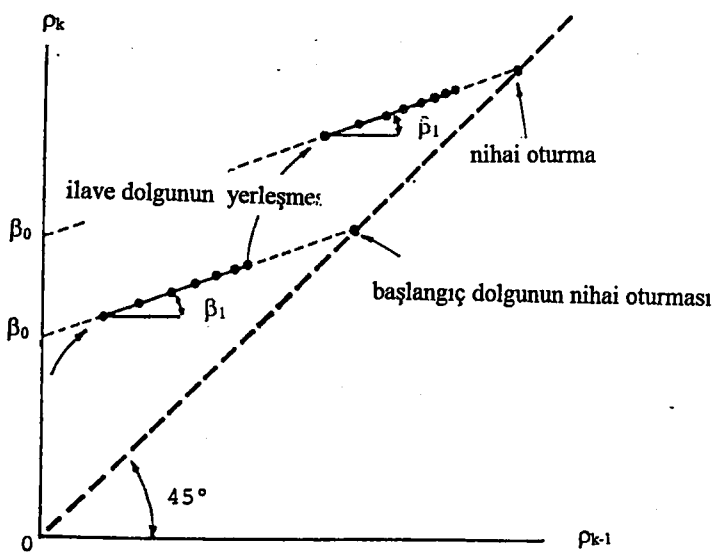


- (1) $\rho[0], \rho[10], \rho[20], \dots$
- (2) $\rho[1], \rho[11], \rho[21], \dots$
- \vdots
- (10) $\rho[9], \rho[19], \rho[29], \dots$

β_0 ve β_1 mutlak zamandan bağımsız olduklarından bütün zaman serisidataları aynı düz doğruda çizilecektir.



Şekil 4.4. Shin-Ube termoelektrik güç santralındaki oturma gözlemleri



Şekil 4.5. Oturma tahmininin grafiksel yöntemi

4.1.4. Oturma Tahmininin Emniyet Analizi

4.18 eşitliğinin çözümü, birinci mertebeden yaklaşım denklemi, burada $t=0$ zamanında, c_1 ve C' nin bilinmediği koşullar altında Bayesian teknigi kullanilarak tahmin edilmiştir.

Olasılık yaklaşımının grafik metoda olan üstünlüğü, tahmin edilen değerin güvenliği ile birlikte verilmesidir.

Daha önceki bölümde bahsedildiği gibi birinci mertebe otoregresif model burada

$$\rho_j = \beta_0 + \beta_1 \rho_{j-1} + \sigma \eta_j \quad (4.27)$$

oturma tahmini için uygun bir model olmak üzere seçilmiştir. Burada η_j sıfır ortalama (zero mean) ve birim sapmalı (unity deviation) rastgele bir değişkendir. Ardışık



hesaplamaları basitleştirmek için aşağıdakiler varsayılmalıdır: birincisi η_j Gauss rastgele değişkeni ve diğeri

$$E[\eta_j, \eta_k] = \begin{cases} 1 & j = k \\ 0 & j \neq k \end{cases} \quad (4.28)$$

olmalıdır. Burada $E[]$ beklenen operatörünü gösterir. Eşitlik 4.28' in ρ_j ve ρ_k arasında istatistiksel bağımsızlığı ifade etmediğini ortaya koymak gereksizdir. β_0 , β_1 ve σ bilinmeyen üç parametre basitlik için bazan θ olarak yazılır, yani, $\theta = (\beta_0, \beta_1, \sigma)'$, bilinmeyen parametre vektördür. Gözlemlerin seti

$$\rho^i = (\rho_0, \rho_1, \dots, \rho_i) \quad (4.29)$$

hali hazırda elde edilmiş olduğunu varsayılmı. θ bilinmeyenin sonraki Olasılık Dağılım Fonksiyonunu (pdf) aşağıdaki gibi gösterebilim:

$$\xi(\theta|\rho_i) \propto \xi(\theta) \prod_{j=1}^i p(\rho_j|\theta, \rho_{j-1}) \quad (4.30)$$

Burada $\xi(\theta)$, θ 'nın önceki olasılık dağılım fonksiyonu; $p(\rho_i|\theta, \rho_{j-1})$, $(\beta_0 + \beta_1 \rho_{j-1})$ ortalamalı ve σ^2 varyanslı Gauss olasılık dağılım fonksiyonudur. $t=0$ anında hiçbir bilgiye sahip olmadığımız için $\xi(\theta)$ önceki bir olasılık dağılım fonksiyonu dağılımı ile verilebilir.

$$\xi(\theta) \propto \frac{1}{\sigma} \quad (4.31)$$

Eğer $t=0$ zamanında bazı bilgilere sahipsek $\xi(\theta)$ eşitlik 4.31 'dekinden daha çok bilgi içeren bir biçimde açıklanabilir. $\xi(\theta)$ 'yi bir Gauss-Gama bağlılı olasılık dağılım fonksiyonu olarak alırsak, sonraki olasılık dağılım fonksiyonu ae $\xi(\theta|\rho^i)$ Gauss-Gama bağlılı olasılık dağılım fonksiyonu olur.

Sonraki çıkarılan ifade θ ve ρ_0 ile şartlandırılmış ρ_j 'nin olasılık dağılım fonksiyonudur. Bu olasılık dağılım fonksiyonu

$$p(\rho_j|\theta, \rho_0) = \underbrace{\int \cdots \int}_{(j=1)} \prod_{k=1}^j p(\rho_k|\theta, \rho_{k-1}) \cdot d\rho_1 d\rho_2 \cdots d\rho_{j-1} \quad (4.32)$$

ifadesinden hesaplanır. Matematiksel tümevarım metodu kullanılarak $p(\rho_j|\theta, \rho_0)$ ifadesi M_j ortalamalı ve \sum_j^2 varyanslı

$$\left. \begin{aligned} M_j &= \frac{\beta_0}{1-\beta_1} - \left(\frac{\beta_0}{1-\beta_1} - \rho_0 \right) (\beta_1)^j \\ \sum_j^2 &= \sigma \sqrt{\frac{1-\beta_1^{2j}}{1-\beta_1^2}} \end{aligned} \right\} \quad (4.33)$$

Gauss olasılık dağılım fonksiyonu olarak ifade edilebilir. Hem M_j ve hemde \sum_j^2 j 'nin monoton artan fonksiyonları olmalarına rağmen, $\ln \beta_1 < 0$ olduğundan, üstten de sınırlıdırular:

$$\left. \begin{aligned} \lim_{j \rightarrow \infty} M_j &= \frac{\beta_0}{1-\beta_1} \\ \lim_{j \rightarrow \infty} \sum_j^2 &= \sigma / \sqrt{1-\beta_1^2} \end{aligned} \right\} \quad (4.34)$$

Şimdi burada σ 'nın anlamını inceleyelim. Eğer bir kil tabakası üzerinde sadece bir noktada ρ^i bir zaman serisi gözlemi alırsak \sum_j , M_j eğiliminden ρ_j nin rastgele dalgalanmasını ifade eder. Bununla beraber genellikle belli bir bölgenin içindeki çeşitli noktalardaki oturmaları gözlemlileyebiliriz. ${}^1\rho^i$, "i" noktasındaki oturmanın bir zaman serisi gözlemi olsun ve

$$\rho^i = ({}^1\rho^i, {}^2\rho^i, {}^3\rho^i, \dots {}^m\rho^i) \quad (4.35)$$

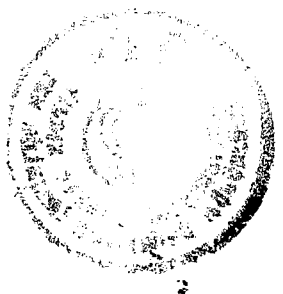
biçiminde gösterilsin burada, m gözlem noktalarının sayısıdır. Bu durumda, eğer bir oturma işlemi uzaysal olarak kararlı olduğu varsayılabilirse sonraki olasılık dağılım fonksiyonu ile tahmin edilen σ ,

$$\xi(\theta|\rho^i) \propto \xi(\theta) \prod_{l=1}^m \prod_{j=1}^i p({}^l\rho_j|\theta, \rho_{j-1}) \quad (4.36)$$

biçiminde $l = 1, 2, \dots, m$ gözlem noktaları arasında uzaysal aralıklarla karakterize edilen eşit olmayan oturmanın özellikleri kapsayacak biçimde gözönüne alınabilir. Bu durumda ρ_0 , bir başlangıç dağılım kavramını $p(\rho_0)$ da yerine koyarak

$$p(\rho_j|\theta) = \underbrace{\int \cdots \int}_{(j)} p(\rho_0) \prod_{k=1}^j p(\rho_k|\theta, \rho_{k-1}) \cdot d\rho_0 d\rho_1 \cdots d\rho_{j-1} \quad (4.37)$$

elde ederiz, bu eşitlik 4.32 ' den farklıdır. ρ ' nun bir başlangıç dağılımı $p(\rho_0)$ yüklemeden hemen sonraki eşit olmayan oturmanın dağılımı ifade eder. $p(\rho_0)$ ' nin bir Gauss olasılık dağılım fonksiyonu olarak ifade edilebilmesi şartıyla $p(\rho_j|\theta)$ ' da tipki $p(\rho_j|\theta, \rho_0)$ gibi bir Gauss olasılık dağılım fonksiyonu haline gelir.



Şimdi tahmin problemimize dönelim. Hali hazırda ρ^i gözlemlerinin seti ile koşullandırılmış ρ_j 'nin tahmini olasılık dağılım fonksiyonunu aşağıdaki gibi çıkarabilmiş olalım:

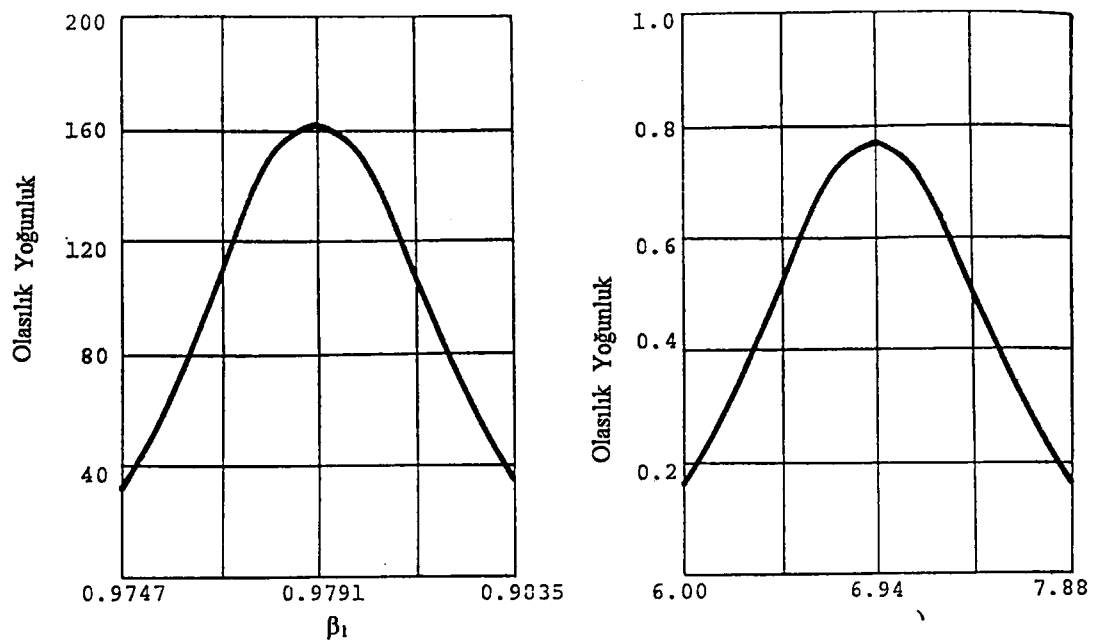
$$p(\rho_j | \rho^i) = \int p(\rho_j | \theta, \rho_0) \xi(\theta | \rho^i) d\theta, \quad (4.38)$$

burada $d\theta = d\beta_0 d\beta_1 d\sigma$, biçimindedir. Oturma tahmininin güvenliği eşitlik 4.38'den saptanır. Örneğin j zamanındaki ρ_j olasılığını ρ_a ve ρ_b arasında alınması

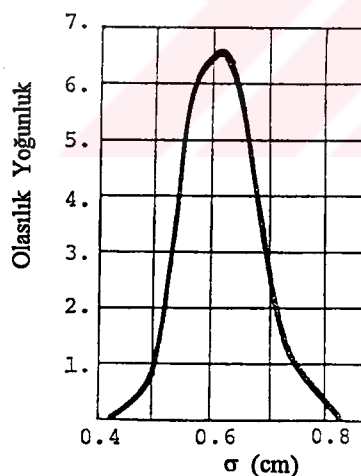
$$(\rho_a < \rho_j < \rho_b | \rho^i) = \int_{\rho_a}^{\rho_b} p(\rho_j | \rho^i) d\rho_j \quad (4.39)$$

birimde verilebilir. Eşitlik 4.38 veya 4.39'un hesaplanması bu denklemlerdeki katlı integraller nedeniyle bir bilgisayar olmaksızın yapılamaz.

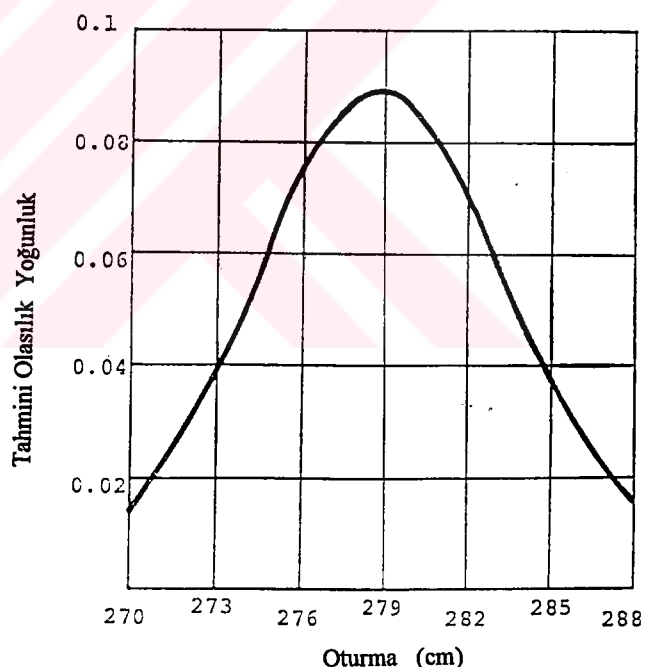
Şekil 4.6, 4.7 ve 4.8, eşitlik 4.30 ve 4.38'in şekil 4.3'de gösterilen 3 nolu Kobe limanının gözlemlerinde ugulanmasının nümerik sonuçlarıdır. Sonuçları elde etmek için hem önceki olasılık dağılım fonksiyonu dağılımı ve hemde 1972 Aralığına kadarki gözlenen datalar kullanılmıştır. Tahmin, gerçeklenen 281 cm lik değer olan 1972 Aralığına kadarki gözlenen datalar kullanılmıştır. Tahmin, gerçeklenen 281 cm lik değer olan 1976 Aralığının oturmasına kadar iletilmiştir. Şekil 4.8 oturmanın tahmini olasılık dağılım fonksiyonudur. Şekil 4.6 ve 4.7 eşitlik 4.30'un β_0 , β_1 ve σ değerlerinin sırasıyla sınırsal (marjinal) olasılık dağılım fonksiyonlarıdır. Bu hesaplamalar için Δt 30~31 gün olarak alınmıştır.



Şekil 4.6. 3 nolu Kobe Limanı deniz dolgusunda Aralık 1972 'ye kadar gözlemlenendatalardan elde edilen β_0 ve β_1 'in sonraki sınırsal (marjinal) olasılık dağılım fonksiyonu



Şekil 4.7. 3 nolu Kobe Limanı deniz dolgusunda Aralık 1972 'ye kadar gözlemlenen datalardan elde edilen σ 'nın sonraki sınırsal (marjinal) olasılık dağılım fonksiyonu



Şekil 4.8. 3 nolu Kobe Limanı deniz dolgusunda Aralık 1972 'den Aralık 1976 'ya kadar olan oturmanın tahmini olasılık dağılım fonksiyonu

4.1.4.1. Bazı Özel Problemler

4.1.4.1.1. Kripe Bağlı İkincil Oturma

En basit durum olan kil tabakasının ikincil sıkışması sabit bir dış yüze maruz tekil Voigt modeli ile yaklaşık olarak tanımlanabilir. Bu durumda ikincil oturma ρ_{II} ,

$$\rho_{II} + c\dot{\rho}_{II} = P \quad (4.40)$$

sabit katyaslı birinci mertebeden lineer diferansiyel denklem ifadesini sağlayacak şekilde gözönüne alınır. 4.40 eşitliğinin çözümü

$$\rho_{II} = \rho_{fII} - (\rho_{fII} - \rho_{0II}) \exp\left(-\frac{t}{c}\right) \quad (4.41)$$

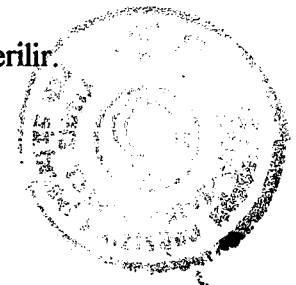
olarak verildiğinden (burada ρ_{0II} 4.40 eşitliğinin başlangıç şartı ve $\rho_{III} = P$) toplam oturma aşağıdaki gibi gösterilebilir

$$\rho = (\rho_{fI} + \rho_{fII}) - (\rho_{fI} - \rho_{0I}) \exp\left(-\frac{t}{c_1}\right) - (\rho_{fII} - \rho_{0II}) \exp\left(-\frac{t}{c}\right) \quad (4.42)$$

burada Terzaghi 'nin konsolidasyon teorisinin sonucu olan oturma I ile gösterilmiş ve eşitlik 4.20, birinci mertebe yaklaşımın denkleminin çözümü ile de açıklanabilir. Eşitlik 4.42 'deki ρ sabit katsayılı kararlı ikinci mertebeden lineer adı diferansiyel denklemin özel çözümü olduğu gözönünde tutulmalıdır. Böylece bir fark formunu ele alarak sonraki ikinci mertebe otoregresif denklem

$$\rho_j = \beta_0 + \sum_{s=1}^2 \beta_s \rho_{j-s} \quad (4.43)$$

krip faktöründe içeren oturma tahmini için uygun bir denklem olarak önerilir.

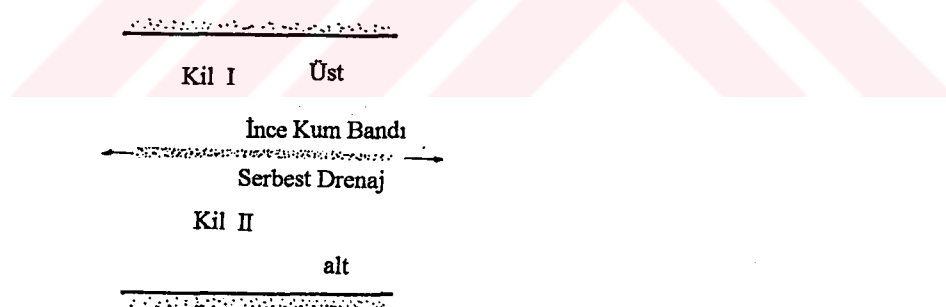


4.1.4.1.2. Kum Damarlı Kil Tabakasının Oturması

Sıradan bir zemin araştırmasında ince bir kum damarlı bazen gözden kaçırılır. Bununla beraber eğer kum damarı serbest drenaja müsade ederse bu gözden kaçırma oturma zaman tahmininde büyük bir hataya neden olur. Şekil 4.9 hem I ve hemde II tabakalarının toplam oturmalarının

$$\rho(t) = \rho_I(t) + \rho_{II}(t) \quad (4.44)$$

birimde verildiği en basit bir durum göstermektedir, burada $\rho_I(t)$ ve $\rho_{II}(t)$ sırasıyla I ve II tabakadaki oturmaları gösterir. Şekil 4.9 'daki kum damarının serbest drenaja müsade ettiğini varsayıyalım. Bundan başka, basitlik için, $\rho_I(t)$ ve $\rho_{II}(t)$ eşitlik 4.20 'nin formu ile ifade edilsin. Bu durumda, eşitlik 4.44, $\rho(t)$ toplam oturmasının kripten dolayı ikinci oturmanın konusunda verilen yollada (yani ikinci mertebe oteregresif denklemiyle) aynen tahmin edilebileceğini önerir.



Şekil 4.9. İnce kum bandından yatay drenaj durumu



4.1.5. Kum Drenlerin Oturma Tahmini

Konsolidasyon zamanını azaltmak için, düşey kum drenler bazen kullanılır. İyi bilindiği gibi, eğer eşit düşey şekil değiştirme hipotezi yaklaşık olarak gerçekleşirse konsolidasyon derecesi bir tekil model ile ifade edilebilir, yani,

$$U = 1 - \exp(-\lambda t) \quad (4.45)$$

burada λ özdegeri hem yatay konsolidasyon katsayısından ve hemde kum kazıkların geometrik boyutlarından saptanır. Zemin mühendisliği alanındaki alışla geldiği gibi oturma konsolidasyon derecesi ile doğru orantılı imiş gibi bakılabilir. Eşitlik 4.45, bundan dolayı, kum drenler ile olan oturmanın birinci mertebe otoregresif denklemi ile tahmin edilebileceğini gösterir.

4.1.5.1. Kum Drenlerin Oturma Genel Tahmin Formülü

Yukarıdaki bölümler genel bir oturma tahmin modelinin

$$\rho_j = \beta_0 + \sum_{s=1}^n \beta_s \rho_{j-s} \quad (4.46)$$

ile verildiğini anlatmaktadır. Gerçek bir oturma birçok farklı faktörün etkisindedir. Bununla beraber eğer bu faktörler bir özdeğer problemi gibi matematiksel olarak formüle edilebilirse eşitlik 4.46 tahmin formülü oldukça geneldir.

Katsayılarının fiziksel anlamlısı çok farklımasına rağmen eşitlik 4.46 eşitlik 4.17 ile aynı formda olduğu belirtilmelidir.



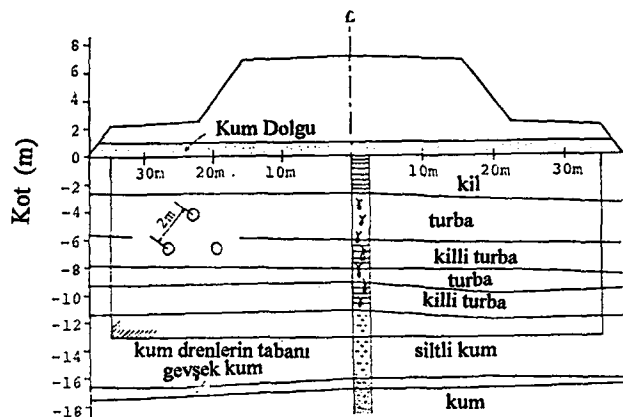
Bununla beraber, son gözlemlerden $n \geq 2$ için eşitlik 4.46 'nın istatistiksel parametre tanımı şu an için mümkün değildir, çünkü oturma işlemi kararlı, yani $E[\rho_j] \neq \text{sabit}$, değildir. Bayesian istatistikleri ile ρ_j 'nin olasılık dağılım fonksiyonunun bir tahmini için analitik bir metod, önceki bölümde $n=1$ durumu için ortaya konan aynı yolla mümkündür. Bununla beraber sonuçlar, zorlu çok katlı integraller içerir. Bundan dolayı uzun süreli gözlem mümkünse ve dikkate değer bir geniş zaman aralığı, $\Delta t = t_j - t_{j-1}$, uygulanabilirse yazar, β_0 ve β_s ($s = 1, 2, \dots$) 'nin küçük kareler metodu ile tahminlerini tavsiye eder.

Pratik olarak eşitlik 4.21 veya 27 birinci mertebe tahmin modeli öncelikle ele alınmalıdır. Sadece birtane göze çarpan özdeğer mecutsa birinci mertebe yaklaşım metodu tahmin edici sonuçlar verecektir. Eğer model gözlemlere iyi bir yaklaşım vermez ise $n=2$ için eşitlik 4.46, ikinci mertebe tahmin modeli sonradan denenmelidir.

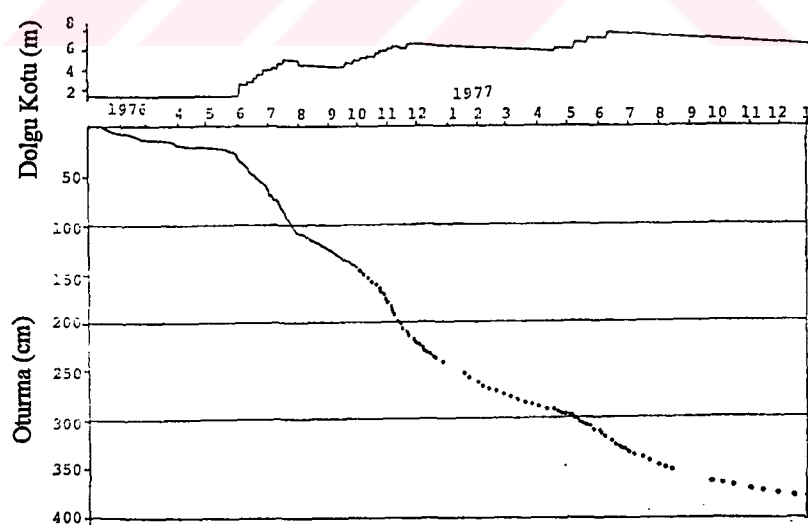
4.1.5.1.1. Bir Karmaşık Sınırdeğer Problemine Pratik bir Örnek

Ortaya konan oturma tahmini metodunun çok tabaklı bir karmaşık kil dolgusuna uygulanabilirliği Japon Devlet Karayolları Şirketi (J.H.P.C.) tarafından Do-o otobanının bir bölümü olan Hokkaido 'daki Iwamizawa 'da 1975-1978 yılları arasında inşa edilen test dolgusundan elde edilen gerçek datalar kullanılarak araştırılmıştır. Test bölümündeki zemin profili ve dolgu kesit alanı Şekil 4.10 'da görülmektedir. Şekilde görüldüğü gibi kil tabakası, kil, turba ve siltli kil tabakası içeren 7 alt zemin tabakasından meydana gelmiştir. Kazıklar boyunca düşey drenaj amacıyla, kum kazıklar -13 m kotuna kadar imal edilmiştir. Dolgu merkezi altındaki ölçülen oturmalar Şekil 4.11 'de verilmiştir. Dolgu iki kademe ile yüklenmiştir. Birincisi 1976 Kasımının sonundan 1977 Nisanının ortalarına kadar, ikincisi 1977 Mayısının sonunda başlamıştır. Ortaya konana grafiksel oturma metodu bu iki periyot süresince elde edilen gözlemlere uygulanmıştır. Sonuçlar birinci mertebe otoregresif tahmin modelinin önemli derecede uygulanabilir olduğunu gösteren





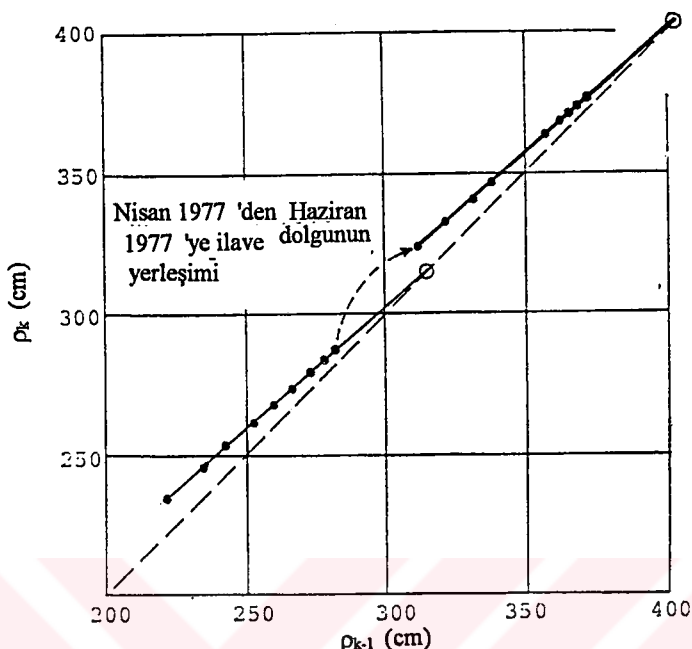
Şekil 4.10. Iwamizawa test dolgusunun enkesiti ve zemin profili



Şekil 4.11. Iwamizawa test dolgusunun kum dren kesitindeki oturma gözlemleri



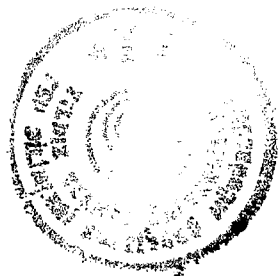
Şekil 4.12 'de verilmiştir. Şekil 4.12 'nin gösteriminde Δt zaman aralığı 15 gün olarak alınmıştır.



Şekil 4.12. Grafiksel yöntemin Iwamizawa test dolgusunun gözlemlerine uygulanması

Oturma tahmini için gözlemsel metod, yeni bir fikir olarak Asaoka (1978) tarafından ortaya konmuştur. Bir boyutlu konsolidasyon problemleri ve kum drenler için eşitlik 4.21 veya 4.27 birinci mertebe otoregresif denkleminin oturma tahmini için uygun olduğu gösterilmiştir. Bu tahmin formülü için hem grafiksel ve hem de emniyet yaklaşımları ortaya konmuştur.

Ortaya konan metod konsolidasyon katsayısının ve hem başlangıç ve hem de sınır koşullarının oldukça belirsiz olduğu durumlar altında keyfi bir gelecek zamanın oturma tahmini için büyük bir üstünlüğe sahip olduğu görülmüştür. Bu durumlar, yaygın mühendislik uygulamalarında öyle gözönüne alınabilir ki ortaya konan metod bir kesin geçerliliğe sahiptir. Bilinmeyen şartlara gelince, onlar eğer gerekirse, birinci mertebe



otoregresif denklemin tahmin edilen katsayıları kullanılarak oturma gözlemlerinden geriye doğru tahmin edilebilir.

Daha yüksek mertebeden eşitlik 4.46 otoregresif denklemi daha hassas oturma tahmini elde etmek ve biri ikincil sıkışmayla ilgili ve diğer kum damarlı çok tabakalı oturma olan bazı özel problemlere uygulanmak üzere önerilir.

4.2. Dolgu Altındaki Yumuşak Zeminin Stabilite Analizi

Yumuşak kohezyonlu zemin dayanımının önemli göstergesi olan drenajsız kayma mukavemetinin arazi veya deneyleriyle belirlenen değeri, pratikte stabilite analizlerinde direkt olarak kullanılabilirliktedir. Ancak yumuşak zemin üzerindeki dolguların göçmesine karşı yapılan birçok stabilite analizi, arazi veya deneyleriyle bulunan kayma mukavemetinin, her zaman arazideki gerçek kayma mukavemetine eşit olarak kabul edilemeyeceğini ortaya koymuştur. Analizler sonucu, veya deneyleriyle bulunan mukavemetin, arazideki gerçek zemin mukavemetinden daha büyük olduğu, bunda da zeminin anizotropik yapısının, dolgu yükleme hızının artırılması halinde zeminde plastik bölgelerin oluşmasının ve kayma (göçme) düzleminin etkili olduğu görülmüştür. Bu nedenle gerçek drenajsız kayma mukavemetine ulaşmak için arazi veya deneyleriyle ölçülen drenajsız kayma mukavemeti değerinin, plastiite indisine (Bjerrum, 1972) veya likit limite (Pilot, 1972) bağlı olan bir düzeltme faktörüyle çarpılması önerilmiştir. Daha sonra örselenmemiş numuneler üzerinde yapılan laboratuvar deneylerinden yumuşak zeminin mukavemetini belirlemek için yeni metodlar geliştirilmiştir.

Bu metodlar La Rochelle et al. (1974) tarafından önerilen Büyük Şekil Değiştirmelerde Drenajsız Mukavemet Metodu ile Ladd and Foott (1972) tarafından bulunan Gerilme Geçmişi ve Normalize Edilmiş Zemin Mühendisliği Parametreleri Metodudur. Trak et al. (1980) tarafından gerçekleştirilen diğer bir çalışma ise, dolgu altındaki yumuşak zeminin göçme anındaki dayanımının tahmininde bugüne kadar yapılan çalışmaların başını çeken ve zeminin drenajsız kayma mukavemetinin plastiite indisinden bağımsız olarak zeminin



önkonsolidasyon basıncına bağlı olarak tahminine dayanan Bjerrum verilerinin kullanıldığı Mesri (1975) tarafından yapılan çalışmanın yorumuna dayanmaktadır. Bu çalışmada yumuşak kıl yiğinlarının drenajsız kayma mukavemetinin tahmininde kullanılan diğer metodların $c_u=0.22\sigma'_p$ eşitliğindeki pratik sabit dayanım değerini kullandıkları saptanmıştır. Burada σ'_p zeminin önkonsolidasyon basıncıdır.

Pilot (1972), yumuşak zemin üzerinde bulunan dört ayrı dolgunun stabilitesini zemindeki göçme süresince arazide boşluk suyu basıncı ölçümlerini dikkate alan efektif gerilme analizini kullanarak incelemiştir. Bu çalışmada efektif gerilme analizlerinin, toplam gerilme analizlerine göre tatbik edilmesi daha zor olmasına, daha hassas deney yapılması gereği duyulmasına ve elde edilen verilerin daha kapsamlı yorumlanması ihtiyaç duyulmasına rağmen daha iyi sonuçlar verdiği görülmüştür. Bununla birlikte bu çalışma, efektif gerilme analizinin geçerli olduğunu, stabilitenin kontrolunun birincil öneme sahip olduğu durumlarda önemli avantajlar sağladığını göstermektedir. Ayrıca göçme anında, mevcut arazi boşluk basınçlarını ve dolgunun nihai geometrisini dikkate alan efektif gerilme analizlerinin, düşük plastisiteli temel zemininde tatlınkar sonuçlar verdiği görülmüştür.

4.3. Dolgu Altındaki Yumuşak Zeminin Deformasyon Analizi

Dolgu inşaatı uzun süren ve büyük yüklerin uygulandığı işlemleri içerir. Ayrıca bu süreç içerisinde önceden geniş inceleme yapılmış olsa bile etkilenen zemin kütlesinin büyük hacmi ve değişken özellikleri sebebiyle yapım sırasında gelişen şartlar önceden tatmin edilenlerden farklı olabilir. Bu durum yapım süresi içerisinde sürekli gözlem ve ölçümleri gerekli kılmaktadır ve günümüz uygulamasında aletsel gözlemlenenin gerekliliği tartışılmaz hale gelmiştir. Aletsel gözleme sonuclarının doğru tanımlanması ve yorumu, ortaya çıkan problemlere çabuk ve uygun çözümler getirme olanağını sağlayacaktır. Özellikle aşamalı inşaa edilen dolguların yapımında oturma ve yanal akma hareketlerinin takip edilmesi, tanımlanması ve oluşum sebeplerinin belirlenmesi, dolgunun



stabilitesinin korunması ve dolgu inşaatının devamı sırasında ortaya çıkan duruma göre tasarımın revize edilmesi gereklidir.

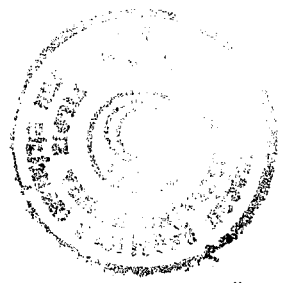
Yumuşak zeminler üzerindeki dolguların tasarımında stabilite, gözetilmesi gereken ilk kriter ise de deformasyonların oluşum, yön, şekil ve miktarının belirlenmesi ve kontrol edilmesi, hem stabilitenin kontrolü ve korunması, hem de yapının işletme yeterliliği bakımından aynı derecede öneme sahiptir. Aynı zamanda bu iki davranış biçimini birbirleriyle doğrudan ilişkilidir. Dolgu altındaki yumuşak zeminde oluşan deformasyonlar, oturmalar ve yanal deplasmanlar şeklinde oluşurlar. Yanal deplasmanlarla oturmalar arasında gözardı edilemeyecek bir ilişki vardır.

Aşamalı olarak inşa edilen dolguların yükleme devrelerinde yanal akma hareketleri yüksek değerlere ulaşabilir ve gerçek drenajsız şartlarda sabit hacim ilkesine göre bu devrede oluşan oturmalarla yanal deplasmanların hacimsel değerlerinin birbirlerini dengeleyecek büyülükté olmaları gerekdir. Halbuki konsolidasyon davranışları, zeminde üç boyutlu bir sıkışmayla artan konsolidasyon basıncı ile orantılı olarak zemin mukavemetinde artışa sebep olmaktadır. Bu sebeple bir taraftan yanal akma hareketlerine bağlı olarak oluşan oturmalar stabilitenin bozulması yönünde etkili olur, bununla birlikte konsolidasyonun ilerlemesi stabilite ve güvenliği artırmayı yönlendir. Bu bakımından dolgu inşaat programının uygulanması sırasında ölçümle belirlenen deformasyon hareketlerinin tip, şekil, gidiş ve yönlerinin tanımlanabilmesi ve oluşum sebeplerinin belirlenerek bileşenlerine ayrılabilmesi büyük önem taşımaktadır. Loganathan et al. (1993) arazide dolgu inşaatı sırasında yapılan oturma ve yanal akma ölçülerinden yararlanarak oturma hareketlerinin bileşenlerini bulmaya yarayan Arazi Deformasyon Analizi adı altında bir yöntem geliştirmiştir. Loganathan et al. (1993) 'ün önerdiği yöntem, aşamalı dolgu inşaatına uygundur ve yükleme esnasındaki oturma bileşenlerini ani oturma ve konsolidasyon oturmaları; konsolidasyon esnasındaki oturma bileşenlerini ise konsolidasyon oturmaları krip oturmaları olarak hesaplamaktadır. Bu hesaplama, yapılan ölçüler ile oturmalar arasında doğrusal bağıntılar geliştirme esasına dayalıdır ve bunun için elastik ani oturma ve krip formüllerinden yararlanılmakta, böylelikle ani

oturma ve krip bileşeni belirlendikten sonra kalan kısım konsolidasyon oturması olarak tanımlanmaktadır. Ancak bu şekilde oturma bileşenleri bulunabilse bile bulunan değerlerle tasarıma ait yükleme ve gerilme parametreleri arasında bir bağıntı kurmaya yönelik araçlar bu yöntemde mevcut değildir. Ayrıca elastik ani oturmala ait bağıntının değişik yükleme aşamalarında aynı sabit değerle kullanılmasına ait sakıncalar vardır. Bu bakımdan yapılan ölçümelerin sonuçlarını zeminin gerçek davranışını yansitan efektif gerilme ve özgül hacim ilişkileri çerçevesine aktaracak bir yöntemle deformasyon bileşenleri için daha uygun bir yorum getirilebilecektir (Toğrol, vd. 1994).

Laboratuarda örselenmemiş zemin numuneleri üzerinde yapılan ödometre deneyleri sonucu elde edilen sıkışma eğrisinden toplam oturmalar tahmin edilebilmektedir. Ancak çoğu zaman zemin tabakasının heterojen olması ve drenaj sınır koşullarının tam olarak belirlenememesi durumunda, oturma-zaman eğrisinden bu tahminleri yapmak zorlaşmaktadır. Tecrübelerin gösterdiği bu gibi durumlarda, yatay yer değiştirmelerin ve arazi oturmaların yerinde ölçülmeyeyle güvenli sonuçlara ulaşabileceğini ve arazi gözlem sonuçlarının doğru yorumlanması ile dolgu inşaatının temel zemininde sebep olduğu etkileri tanımlama ve karşılaşılabilecek problemlere doğru çözüm getirebilme olanağı sağladığını göstermektedir. Tahmin edilen oturmaların kabul edilebilir olması için komşu yapılardaki farklı sıkışmaların önlenmesi gerekmektedir. Bu koşullar gözönünde tutularak zeminde meydana gelecek ani ve zamana bağlı düşey ve yatay hareketler deformasyon analizleriyle kontrol edilmelidir (Magnan, 1994).

Londra 'da yer alan Thames nehrinde, çok yumuşak alüvyon zemine sahip nehir yatağı üzerine inşa edilen deneme dolgusunun etkisindeki temel zemini davranışları Marsland (1977) tarafından incelenmiştir. Temel zemini yer yer organik kil, silt ve kum merceklerinin bulunduğu, yumuşak alüvyondan oluşmaktadır. Yapılan araştırmalar sonucu temel zemininde yer alan kum merceklerin varlığının arazi veyn deneyleriyle belirlenen kil zemin mukavemetinin artmasına sebep olduğu anlaşılmıştır. Arazi ölçüm aletleri ile belirlenen yatay yer değiştirmelerin arazideki kritik durumun belirlenmesinde önemli rol oynadığı saptanmıştır.



4.4. Dolgu Altındaki Yumuşak Zeminin Davranışının Kontrolü

4.4.1. Ön Yükleme İle Zemin Davranışının Kontrolü

Yumuşak kil tabakalarının mukavemetini artırmak ve inşa olunacak yapı altında meydana gelecek oturmaları azaltmak için en yaygın olarak kullanılan yöntemlerden birini ön yükleme oluşturmaktadır. Bu yöntemde, esas yapının inşaasından önce inşaat sahası geçici olarak bir toprak dolgu ile kaplanmakta ve temel zeminini oluşturan tabakaların, bu dolgu ağırlığı altında konsolide olması sağlanmaktadır. Uygulanan konsolidasyon basıncına bağlı olarak zeminin mukavemeti artmaktadır. Daha sonra bu dolgu kaldırılarak yerine yapı inşaa edilmekte, bu arada zemin önkonsolidasyona uğradığı için yapıdan aktarılan yükler altında meydana gelecek oturmalar da azalmış olmaktadır.

Ön yükleme genellikle yumuşak ve permeabilitesi düşük kil tabakaları üzerinde uygulandığı için, ön yükleme sırasında temel zemininde kayma göçmeleri meydana gelmemesine ve konsolidasyonun tamamlanabilmesi için de uzun bir süre beklenilmesine dikkat etmek gerekmektedir. Ön yükleme sırasında beklemeye süresini azaltmak için zemin içine düşey kum drenaj kolonları veya bazı yapay drenaj levhaları yerleştirmek çok yararlı sonuçlar vermektedir. Bu durumda zemin içindeki su yalnız düşey yönde değil, yatay yöndede hareket edebildiği ve bu drenaj kanalları vasıtası ile zeminden dışarı çıkabildiği için tabakanın konsolidasyonu çok daha hızlı gerçekleşmektedir.

4.4.2. Düşey Drenler İle Zemin Davranışının Kontrolü

Yumuşak zeminlerin konsolidasyonunu hızlandırmak amacıyla düşey drenlerin kullanılması günümüz uygulamalarının yaygın yöntemlerinden biridir. Permeabilitesi düşük ve dokusu doğal drenajı kolaylaştıracak süreksizlikleri içermeyen nispeten homojen, kalın kil tabakalarının, önyükleme için beklemeye zamanları, pratik sınırların dışında olmaktadır. Bu gibi durumlarda zeminin konsolidasyonunu hızlandırmak ve önyükleme beklemeye zamanlarını azaltmak için düşey drenler kullanılmaktadır. Düşey

drenler drenaj yolunu kısaltarak, zemindeki boşluk suyu basınçlarının hızla sökümlenmesini sağlamaktadır.

Çinicioglu (1993) tarafından gerçekleştirilen bir çalışmada toprak dolgu altındaki yumuşak zeminde düşey drenlerin konsolidasyona etkisi ve dolayısıyla stabiliteye katkısı araştırılmıştır. Sonlu elemanlar yönteminin kullanıldığı çalışmada, birim hücre analiz yöntemiyle düşey drenlerin konsolidasyona etkisi incelenmiştir. Elde edilen konsolidasyona ilişkin sonuçlar arazi gözlemleriyle karşılaştırılmış ve oturma zaman eğrilerinin birbirine benzer olduğu fakat hesaplanan oturmaların ölçülenlere göre daha az olduğu görülmüştür. Aradaki fark birim hücresinin dolgu ve temel zemini geometrisinin sınırlı bir bölümünü gözönüne alması ve bütünsel davranış esnasında oluşabilecek yatay deformasyonların oturmalara katkısının gözardı edilmesi şeklinde açıklanmıştır.

Ayrıca, düşey band drenlerle iyileştirilmiş yumuşak kohezyonlu zemin üzerine inşa edilen dolgunun stabilité analizi Indraratna, et al (1994) tarafından yapılmıştır. Sonlu eleman yönteminin kullanıldığı analiz sonucunda düşey band drenlerin kullanılmasının yararlı olduğu görülmüş ve drenlerin konsolidasyonu hızlandırması yanında zemindeki yatay deformasyonları engelleyip, göçme riskini azalttığı, dolayısıyla yüksek dolgu inşaatının kolaylaştırıldığı saptanmıştır.

4.4.3. Kademeli Dolgu İnşaatı İle Zemin Davranışının Kontrolü

Yumuşak ve doygun zeminler üzerinde dolgu inşası sırasında karşılaşılan stabilité sorunlarının esas nedeni inşaat esnasında oluşan ilave boşluk suyu basınçlarıdır. Yüksek değerlere ulaşabilen ilave boşluk suyu basınçları, efektif gerilmeleri ve dolayısıyla mukavemeti azaltarak temel zemini içinde bölgesel kaymalara ve daha sonra göçmeye sebebiyet verebilmektedir. Bu durumun kontrol edilebilmesi için uygulanan kademeli yükleme yöntemi ile konsolidasyon devrelerinde ilave boşluk suyu basıncının sökümlenmesiyle ulaşılan zemin yoğunluğundaki ve dolayısıyla mukavemetindeki artıştan



yararlanarak tek aşamada ulaşılabilcek olandan çok daha yüksek dolgular inşa edilebilmektedir (Çinicioğlu, 1993).

Güler, vd. (1993) tarafından gerçekleştirilen çalışmada, dolgu barajların inşası kademeler halinde yapılarak, kontrollü yük uygulaması ile kohezyonlu yumuşak zeminin her yükleme aşamasında konsolidasyona bırakılarak zeminin mukavemetinin artması incelenmiştir. Sonlu elemanlar yönteminin kullanıldığı çalışmada, yumuşak kohezyonlu zemin üzerinde inşa edilecek dolgu baraj imalatının kademeler halinde yapılmasının yükleme ve su basıncı altındaki zeminin taşıma gücünü ve mukavemetini artırdığı gözlenmiştir.

Yumuşak zeminler üzerindeki dolgu barajların inşa aşamalarında oluşacak deformasyon ve çökmelere karşı stabilité analizi sonlu elemanlar metodu ile hazırlanan sayısal modelle, deformasyonlar, gerilmeler ve çökmeler yönünden incelenmektedir. Dolgu barajların tasarım ve inşaasında güvenli sonuçlar elde edilmesi gerekmektedir. Dolgu barajların içinde ve altındaki gerilmelerin hesaplanması en sağlıklı yöntem sonlu elemanlar yöntemidir. Bu yöntemle, dolgu barajın kendi ağırlığından dolayı zemine gelecek yükler kademeli olarak aktarılabilmekte ve bu yüklemeler neticesinde zeminde ortaya çıkan bölgesel plastikleşme gözönüne alınabilmektedir. Bununla birlikte sonlu eleman metodu, dolgu baraj altındaki boşluk suyu basıncı değişimlerini, düşey ve yatay yerdeğiştirmeleri ve inşaatın her aşamasındaki oturmaları verebilmektedir.

4.5. Sonlu Elemanlar Yöntemi ile Gerilme ve Deformasyon Analizi

Sonlu elemanlar yöntemi, sayısal yaklaşımların genel özelliklerinin çoğunu gözönüne almakla birlikte bilgisayar yazılımları için en uygun formülasyona sahiptir. Bunun nedeni, karmaşık sınır koşulları ve non-lineer malzeme davranışları homojen olmayan malzemeler gibi zor ve karmaşık problemlerin çözümünde sistematik bir programlamaya uygun olmasıdır.



Sonlu elemanlar yöntemi, sürekli bir sistemi problemin karakterine uygun sonlu elemanlara ayırarak elde edilen elemanlar üzerinde iç ve dış kuvvetlerin enerjisinin minimum olması ve sonra bu elemanların birleştirilmesi tarzında bir uygulama getirmektedir. Bunun sonucu olarak mesnet şartları, sisteme ait özellikler, dış yüklerin sürekli ya da ani değişimleri kolayca gözönüne alınmaktadır. Dolayısıyla sonlu elemanlar yöntemi analitik metodlarla çözülemeyen karışık problemlere uygulanabilmektedir. Ayrıca yüzeysel sistemin tipik bölgelerinde eleman boyutları küçültülerek o bölgenin daha ayrıntılı incelenmesi mümkün olmaktadır. Diğer bir avantaj da sınır şartlarının problemin çözüm sırasına göre en son adımda hesaplara dahil edilmesidir. Böylelikle çeşitli sınır şartlarını probleme uygularken baştaki yoğun hesaplara girilmez.

Yumuşak kohezyonlu zeminlerin, dolgu yükleri altındaki davranışının incelenmesi Geoteknik Mühendisliği 'nde önemli bir yer tutmaktadır. Yumuşak ve suya doygun bir kohezyonlu zemin tabakası üzerine toprak dolgu yerleştirildiğinde, göçmeye karşı güvenliğin tahkik edilmesi, zeminde meydana gelecek ani ve zamana bağlı düşey ve yatay yer değiştirmelerin hesaplanabilmesi, temel zeminde oluşacak gerilmelerin belirlenmesi için çoğunlukla sonlu eleman tekniğinden yararlanılmaktadır. Bugüne kadar birçok araştırmacı, yumuşak kohezyonlu zemin üzerine inşa edilen toprak dolgu ve barajların gerilme analizi ve dolgu altındaki zeminde meydana gelen yatay ve düşey deformasyonların hesabı için sonlu eleman yöntemini kullanmıştır. Bu çalışmalardan bazıları ve elde edilen sonuçlar şöyledir.

Hoeg (1972) tarafından yumuşak kohezyonlu zemin üzerine inşa edilen bir deneme dolgusunun iki boyutlu drenajsız analizi yapılmıştır. Von Mises ve Tresca akma kriterlerini kullanarak gerçekleştirilen elasto-plastik analiz sonucunda bulunan değerler arazi ölçüm değerlerinden daha az çıkmıştır.

Thamm (1979) tarafından gerçekleştirilen bir çalışmada, Zienkiewicz (1977) 'nin önerdiği elasto-visko-plastik bünye denklemleri kullanılmıştır. Yumuşak kıl üzerindeki dolgu için



gerçekleştirilen iki boyutlu, konsolidasyon analizi sonuçlarının arazi ölçüm sonuçlarıyla uyum içinde olduğu görülmüştür.

Bir başka çalışmada ise turba ve yumuşak kil üzerinde yer alan Makiezaats barajının iki boyutlu drenajsız analizi gerçekleştirilmiştir (Termaat et al., 1985). Elasto-plastik bünye denklemlerinin kullanıldığı bu çalışmada sonlu eleman sonuçlarıyla arazi gözlemlerinin uyumlu olduğu görülmüştür.

Yumuşak kil üzerindeki beş adet dolgunun iki boyutlu konsolidasyon analizinin gerçekleştirildiği bir çalışmada hesaplanan oturma değerleriyle ölçümelerin uyumlu olduğu, ancak dolgu altındaki zemin için hesaplanan yatay deformasyonlarla, ölçülen deformasyonların uyumlu olmadığı gözlenmiştir (Ohta, 1991).

Yumuşak suya doygun kohezyonlu zemin üzerindeki dar vadilere oturan dolguların incelendiği bir başka çalışmada ise iki boyutlu konsolidasyon analizi yapılmıştır (Kobayashi, 1991). Hesaplanan oturma değerlerinin, arazi ölçümüyle uyumlu olduğu görülmüştür. Diğer yandan dolgu altındaki yumuşak zeminde kullanılan kum drenlerin konsolidasyon hızlandırıldığı belirlenmiştir.

Indraratna, et al. (1994) tarafından yapılan bir çalışmada Malezya 'daki düşey bant drenlerle iyileştirilmiş yumuşak kohezyonlu zemin üzerine inşa edilen bir dolgunun gerilme ve deformasyon analizi yapılmıştır. Boşluk suyu basınçları, yatay ve düşey deplasmanların hesaplanabilmesi için konsolidasyon analizinin uygulandığı çalışmada düşey band drenlerin kullanılmasının yararlı olduğu görülmüş ve drenlerin konsolidasyon hızlandırması yanında zemindeki yatay deformasyonları engelleyip, göçme riskini azalttığı anlaşılmıştır. Ayrıca düşey band drenlerin varlığının yüksek dolgu inşaatını kolaylaştırdığı saptanmıştır.

Bu araştırmada toprak dolgu baraj (Alibey Barajı) altındaki yumuşak kohezyonlu zemin davranışını incelemek için ANSYS 5.0A adında bir sonlu eleman programı kullanılmıştır.



Statik ve dinamik yükler altında elastik ve elasto-plastik analizler yapılmasına imkan tanıyan bu program kendi içinde üç ana programa dayanarak çalışmaktadır.

Birincisi grafik bilgi girişine olanak tanıyan ön-işlem programıdır. Bu kısımda model geometrisi, eleman tipi ve boyutları, malzeme özellikleri belirlenerek, model sonlu sayıda elemanlara bölünmektedir.

İkincisi çözüm programıdır. Burada analiz tipi, yükler, yükleme adımları, sınır koşulları tanımlanılarak çözüm yaptırılmaktadır. Bu çalışmada kullanılan analiz tipi statik analizdir. Statik analiz, atalet etkilerinin ihmali edildiği bir yapıda, dış yük etkisi altında meydana gelen gerilme, deformasyon ve şekil değiştirmeleri belirlemektedir. Ayrıca statik analiz değişik sınır koşullarına ve malzeme özelliklerine sahip kademeli yükleme adımlarının kullanılmasına olanak vermektedir.

Çözüm yaptırıldıktan sonra sonuçların gözden geçirilmesi amacıyla son-işlem programına başvurulmaktadır. Son-işlem programı da kendi içinde iki ana gruba ayrılmaktadır:

- Genel son-işlem programı
- Zamana bağlı son-işlem programı

Genel son-işlem programı, belli bir zamanda veya yükleme adımdındaki analiz sonuçlarını bütün model için sergileyebilmektedir. Örneğin incelenen model için gerilme ve yerdeğiştirme vektörleri, deformasyona uğramış model şekilleri bu program kullanılarak elde edilmektedir.

Zamana bağlı son-işlem programı, seçilen belli bir eleman veya düğüm noktasındaki sonuçları tüm yükleme adımları için gösterebilmektedir. Ayrıca adı geçen her iki son-işlem programı da sonuçların grafik olarak gösterilmesine olanak vermektedir.

ANSYS programı gerilme-deformasyon analizi yapmak için geliştirilmiş olup, zeminin konsolidasyon davranışını modellemek için uygun değildir. Bu çalışmada, Alibey Barajı temel zeminin kademeli yükleme altında konsolidasyonu klasik analiz yöntemleri

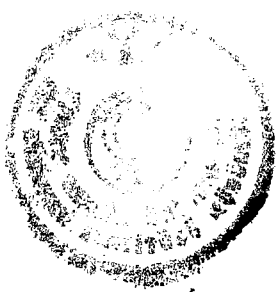


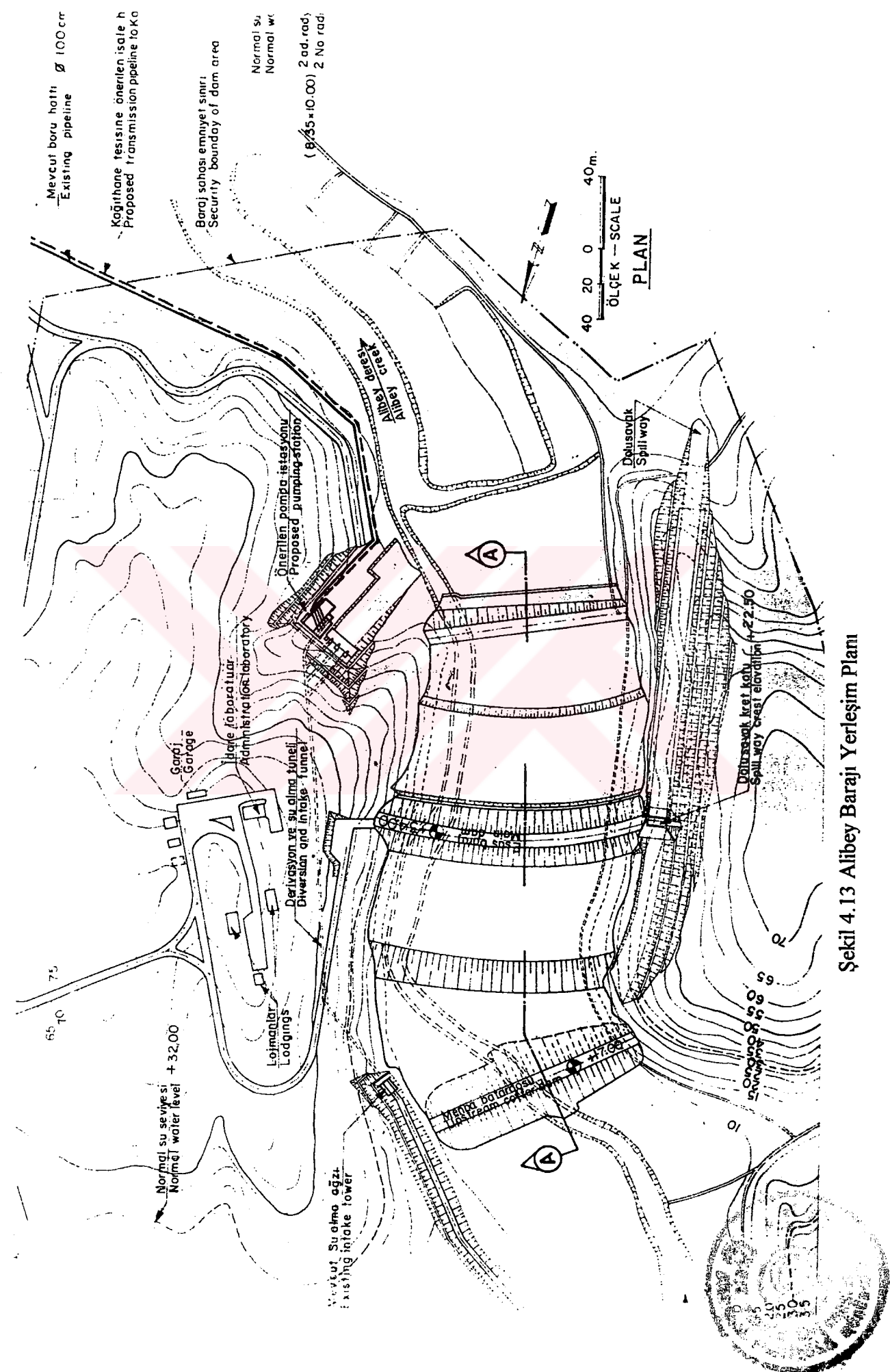
kullanılarak incelenmiş ve her yükleme kademesi sonunda konsolidasyon sonucu meydana gelen malzeme özelliklerindeki iyileşme dikkate alınmıştır.

4.5.1. Alibey Barajı Bünyesinde Yapılan Çalışmalar

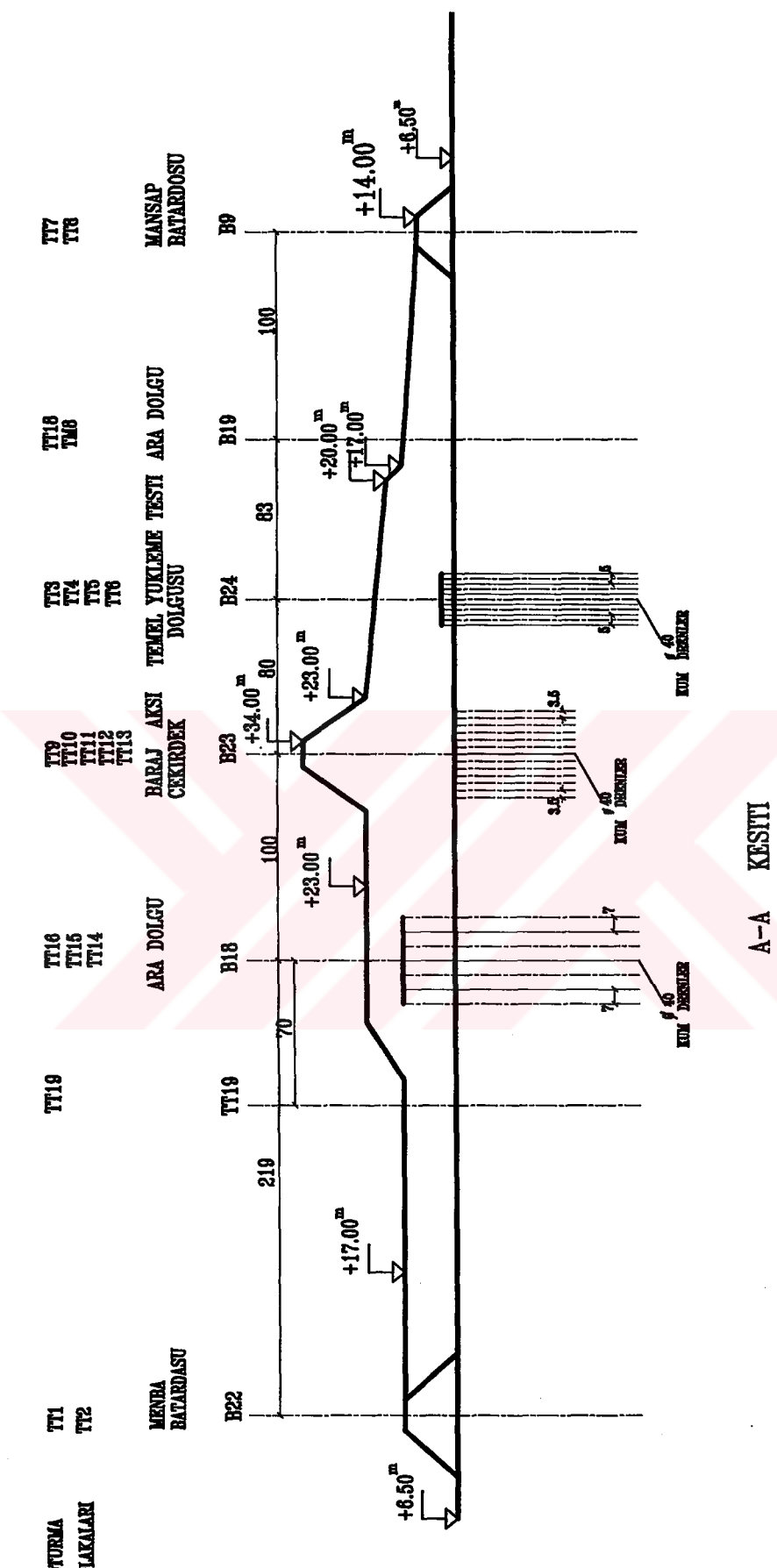
Şekil 4.13 ve Şekil 4.14 'te Yerleşim planı ve A-A kesiti görülen, Alibey Barajı 'nın inşaasına başlanması için yapılan araştırmalar sonucu düşünülen baraj yeri temelinin yumuşak kil zemin olması zorunlu stabilite problemleri yaratmış, inşaası sırasında ve sonrasında yapılan çalışmalarla temel zemininde meydana gelen deformasyonlar incelenmiştir.

Alibey Barajı menba batardosu toprak dolgusu altındaki yumuşak kohezyonlu zeminin gerilme analizi Soydemir (1970) tarafından gerçekleştirılmıştır. Dolgu yapılması sırasında oluşan yüklemeden dolayı tek boyutlu ve drenajsız yükleme oturmalarının hesabında sonlu elemanlar tekniğini kullanan bir bilgisayar programı kullanılmıştır. Bu analizde üç metrelik dolgu yüksekliği altındaki zeminin içsel bir bölgesinin drenajsız kayma mukavemetini aştığı ve bir anlamda zemininde elastik bir çevreye sahip lokal bir plastikleşme meydana geldiği gözlenmiştir. Lokal plastik bölgelerin çok büyüğü yükleme kademelerinde, boşluk suyu basınçlarının belirlenmesinde kullanılan teorik-amprik yöntemlerin uygulanabilmesi için gerekli gerilme artış değerleri, hesaplanırken elasto-plastik analiz çözümünün klasik elastik çözümden daha gerçeké yakın sonuçlar elde edildiği görülmüştür. Bir yüklemeden dolayı, zeminde drenajsız kayma mukavemetini (elastik akma sınırı paralelinde) aşıp, içsel "lokal plastikleşme" durumu gösteren bölgelerin bir oturma veya stabilité analizinde bilinmesi gereken yatay gerilme artışlarına büyük etki ettiği açıklanmaktadır (Soydemir, 1970).





Şekil 4.13 Alibey Barajı Yerleşim Planı

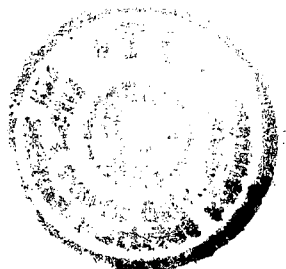


Şekil 4.14 Alibey Barajı Kesiti

Bir diğer çalışma Öntuna (1976) tarafından Alibey Barajı inşaası sırasında temel zemininde kum dren kullanılan ve kullanılmayan iki ayrı deneme dolgusu üzerinde gerçekleştirilen konsolidasyon analizleri sonucu kum dren kullanılan kesimlerde yumuşak kilde oluşan temel zeminin konsolidasyonun dren kullanılmayan kesimlere oranla daha hızlı geliştiği gösterilmiştir.

Alibey Barajı Menba Batardosu altındaki yumuşak kohezyonlu zemin için Soydemir (1970) 'in gerçekleştirdiği elasto-plastik analizde kullandığı zemin özellikleri ve kabulleri baz alarak Mercangöz (1996) 'ün yaptığı çalışma aynı parametreleri kullanılarak gerçekleştirilmiştir. Bu çalışmada öncelikle menba batardosu altında oluşan gerilme ve şekil değiştirme dağılımları için elastik ve elasto-plastik analiz sonuçları karşılaştırılmış arazi davranışları ile uyumu sağlanmıştır. İki boyutlu, drenajsız olarak gerçekleştirilen analizlerle doğrulanın zemin özellikleri kullanılarak inşaat programına uygun olarak bütün baraj kesiti için temel zeminde oluşan gerilme ve şekil değiştirmeler hesaplanmıştır. Gerçekleştirilen bütün analizlerde temel zeminin kademeli yükleme altında konsolidasyonu sonucu zemin özelliklerinde meydana gelen iyileşme dikkate alınmıştır. Ayrıca baraj altında bulunan yumuşak zeminin iyileştirilmesi için kullanılan düşey kum drenler, sonlu eleman hesabında zemin özelliklerinin iyileştirilmesi sırasında gözönüne alınmıştır.

Alibey Barajı Menba Batardosu analizleri için iki boyutlu sonlu eleman modeli geliştirilmiş ve analizler düzlem şekil değiştirme kabulüne dayandırılmıştır. Menba batardosu temel zemini önce simetrik yükleme altında incelenmiş olup, daha sonra inşaat programına uygun olarak yüklenmiş ve analiz uygulanmıştır. Temel zemini ilk olarak lineer elastik kabul edilmiş ve elde olunan gerilme sonuçlarına göre sonlu eleman modelin bazı düğüm noktalarında malzeme mukavemet değerlerinin aşıldığı gözlenmiştir. Bu sebeften dolayı hesaplar non-lineer elasto-plastik malzeme kabulune göre yeniden analiz edilmiştir.



Non-lineer elasto-plastik hesplarda Von-Mises akma kriteri esas alınmış ve malzemenin kinematik pekleşme gösterdiği kabul edilmiştir (Naylor et. al, 1981). Malzemenin akma değerine eristikten sonraki deformasyon modülünün, başlangıç deformasyon modülü değerinin 1/100 'ü kadar olduğu kabul edilmiştir (Soydemir, 1970). Analizlerde kademeli yükleme sonucu kıl tabakalarının konsolidasyonundan kaynaklanan iyileşme malzeme parametrelerine yansılmıştır.

İlk kademe yükleme, başlangıç değerlerine göre analiz edilmiştir. Her yükleme sonunda malzeme parametrelerinin (s_u , E_u) güncelleştirilmesinde Terzaghi tek boyutlu konsolidasyon teorisi kullanılıp arazi yükleme programı ile bekleme süreleri gözönüne alınmıştır.

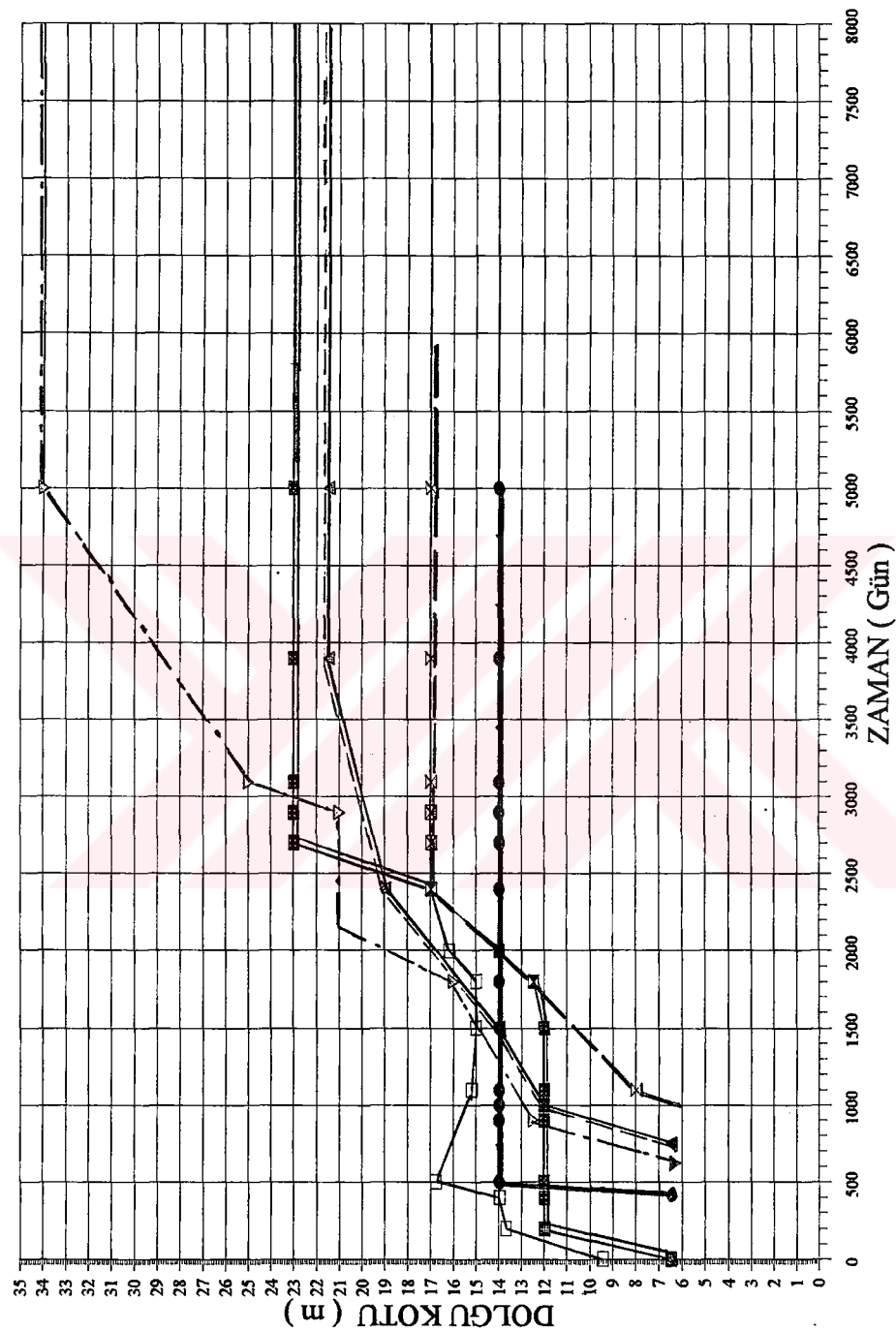
4.6. Alibey Barajının Oturma Hesapları

Alibey Barajı'nın değişik kesitleri altında, kademeli yükleme altında meydana gelecek oturmalar kademeli dolgu yükü altında meydana gelen gerilme artışları ile her yük kademesi altında bekleme süresi ve boşluk suyu basıncı sökümlenmesi dikkate alınarak hesaplanmıştır. Analizlerde dikkate alınan ve baraj dolgu yüksekliği ile temel zeminin drenaj koşulları açısından farklılıklar gösteren beş tipik kesit ile ilgili özellikler aşağıda özetlenmiştir. Bütün kesitlerde düşey yönde çift taraflı drenaj kabul edilmiştir.

Bu kesitlerde, dolgu yüksekliğinin zamana bağlı değişimi (yükleme programı) Şekil 4.15a-j 'de gösterilmiştir.

Kademeli yükleme ve konsolidasyon sonucu temel zemininde drenajsız göçmeye karşı güvenlik katsayı 1.40 ve daha büyük değerlere ulaştığı için, zeminin yanal akmasının oturmalara katkısının ihmali edilebileceği sonucuna varılmıştır (Mesri, vd., 1994).

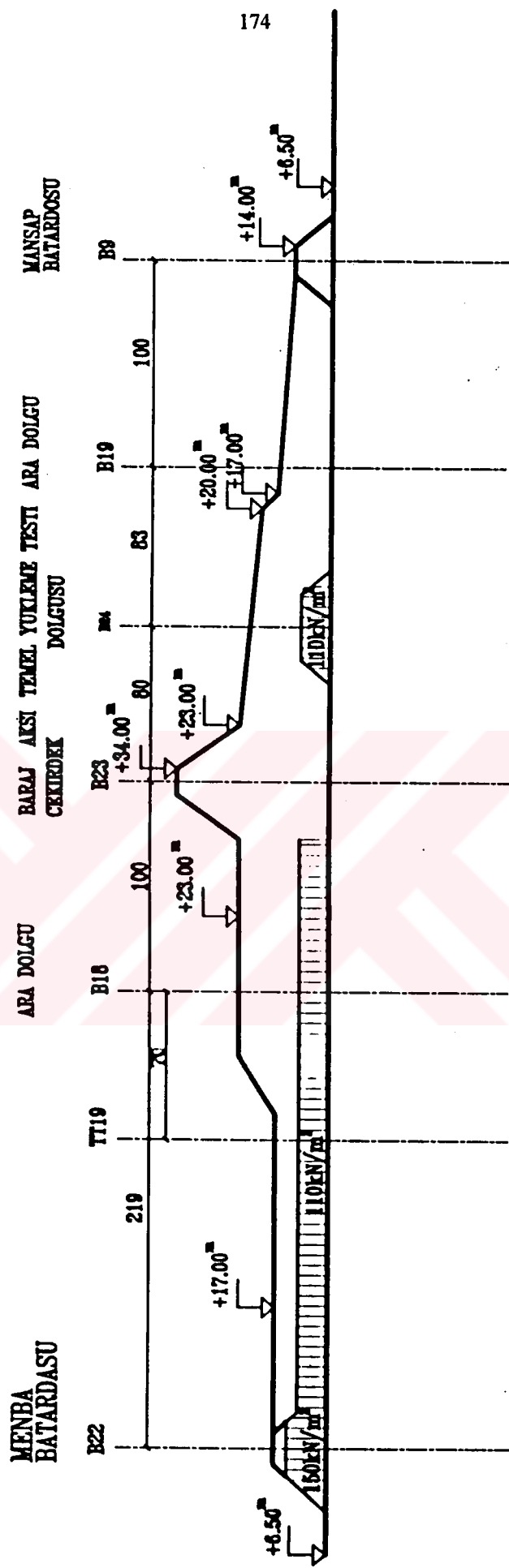




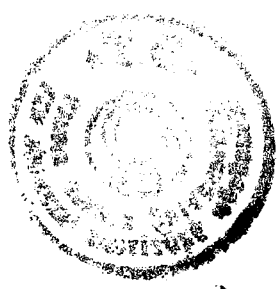
Şekil 4.15a. Alibey Barajı Dolgu İşlemleri Programı



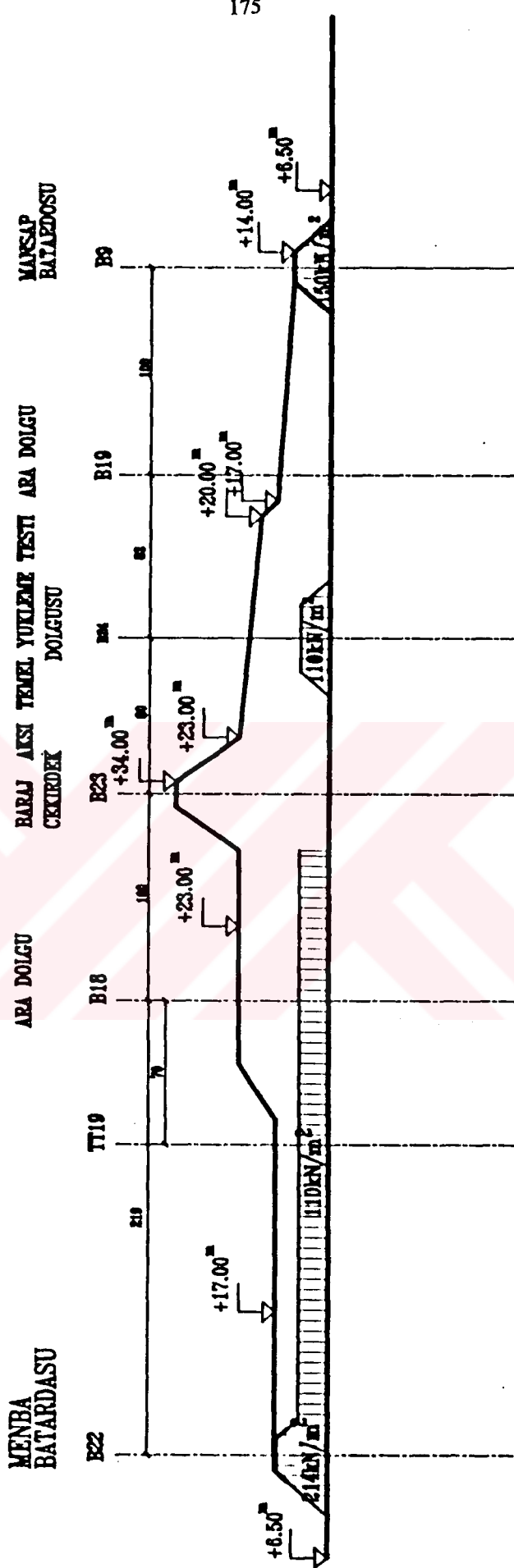
YUKLEME NO:1
 $t=0-200$ gün



Şekil 4.15b. Alibey Barajı Dolgu İşlemleri Programı

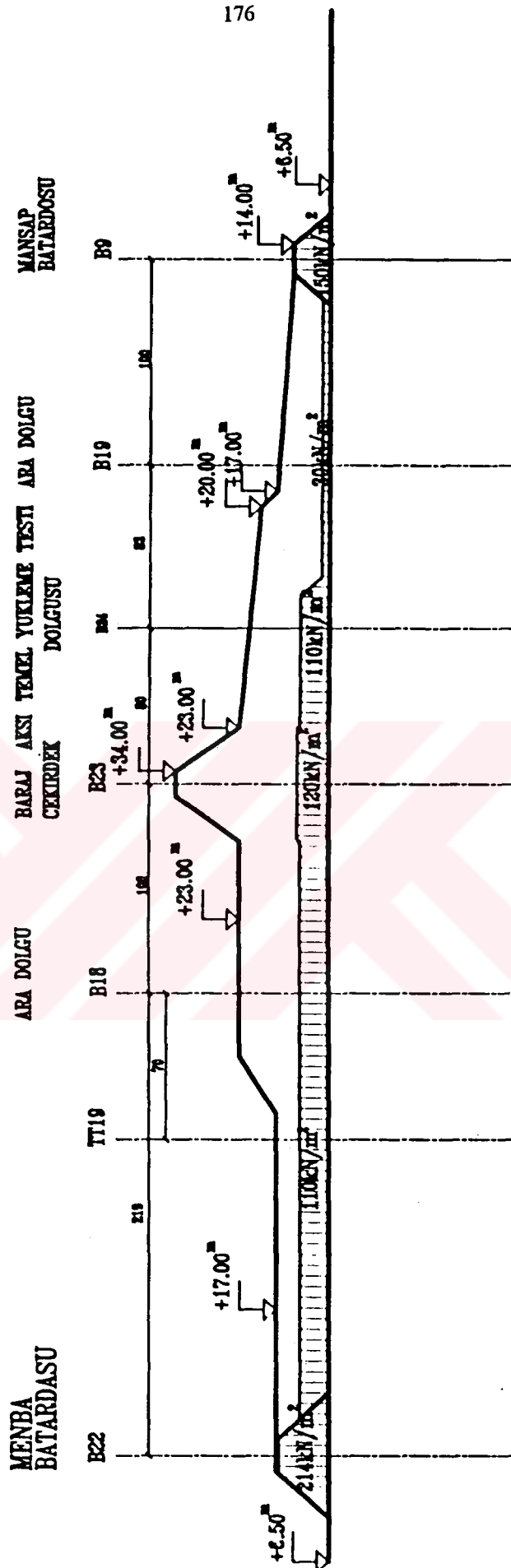


YUKLEME NO:2
t=200-400 gun

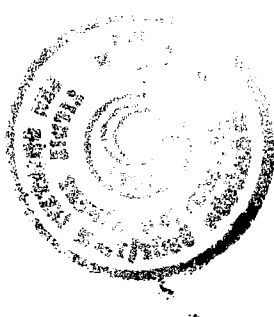


Şekil 4.15c. Alibey Barajı Dolgu İnşaa Programı

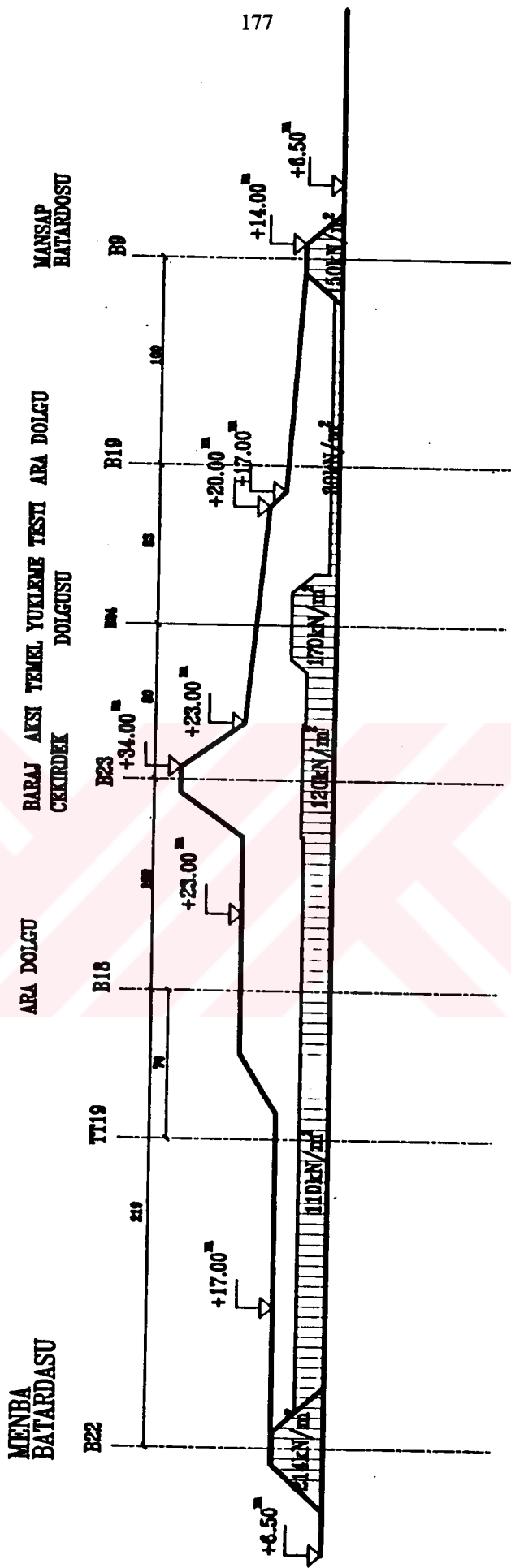
YUKLEME NO:3
t=400-1000 gun



Şekil 4.15d. Alibey Barajı Dolgu İnşaa Programı

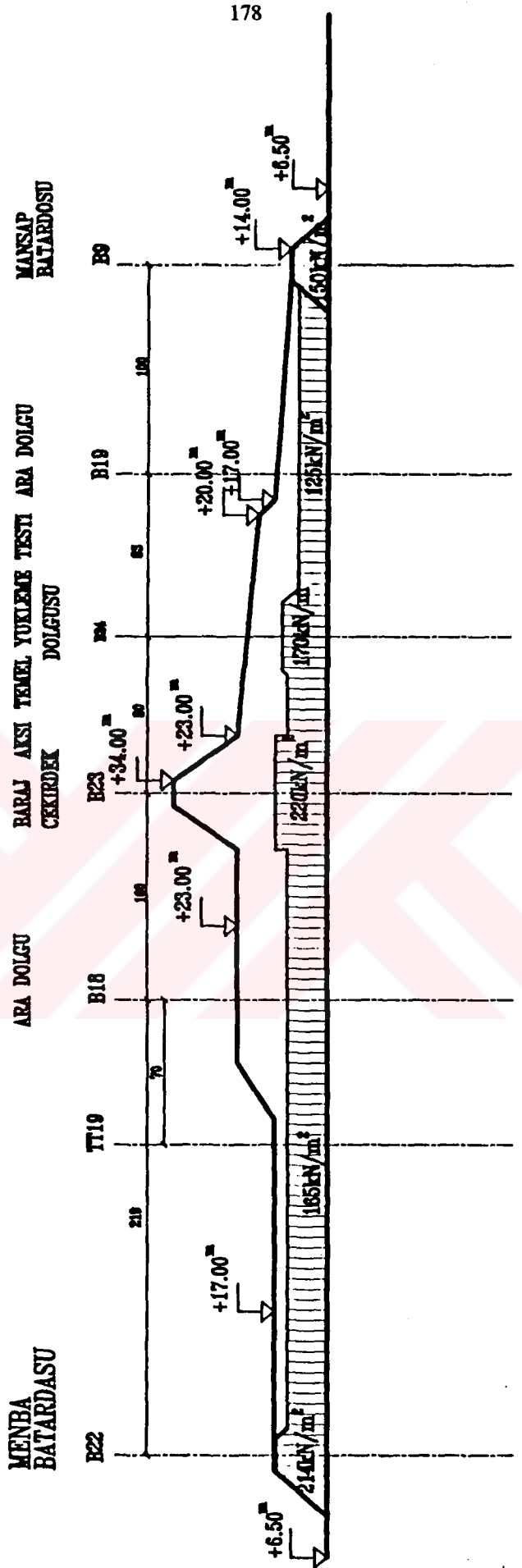


YÜKLEME NO:4
 $t=1000-1500$ gün



Şekil 4.15e. Alibey Barajı Dolgu İnşaa Programı

YUKLEME NO:5
t=1500-2000 gün

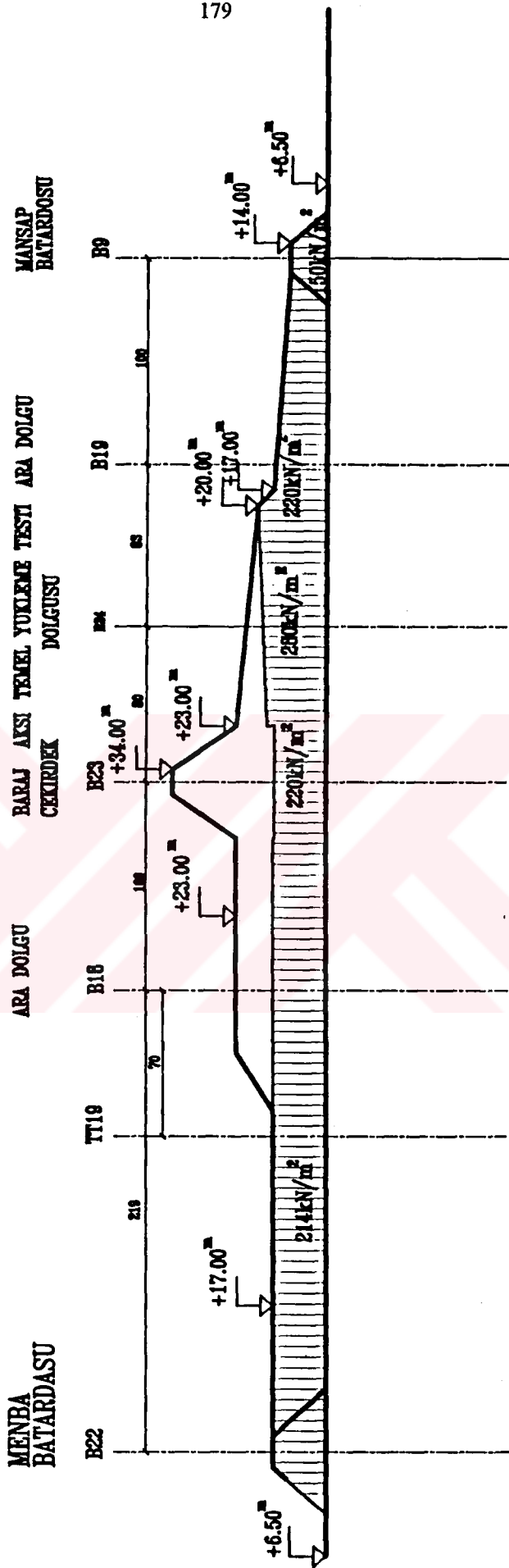


Sekil 4.15f. Alibey Barajı Dolgu İnşaa Programı



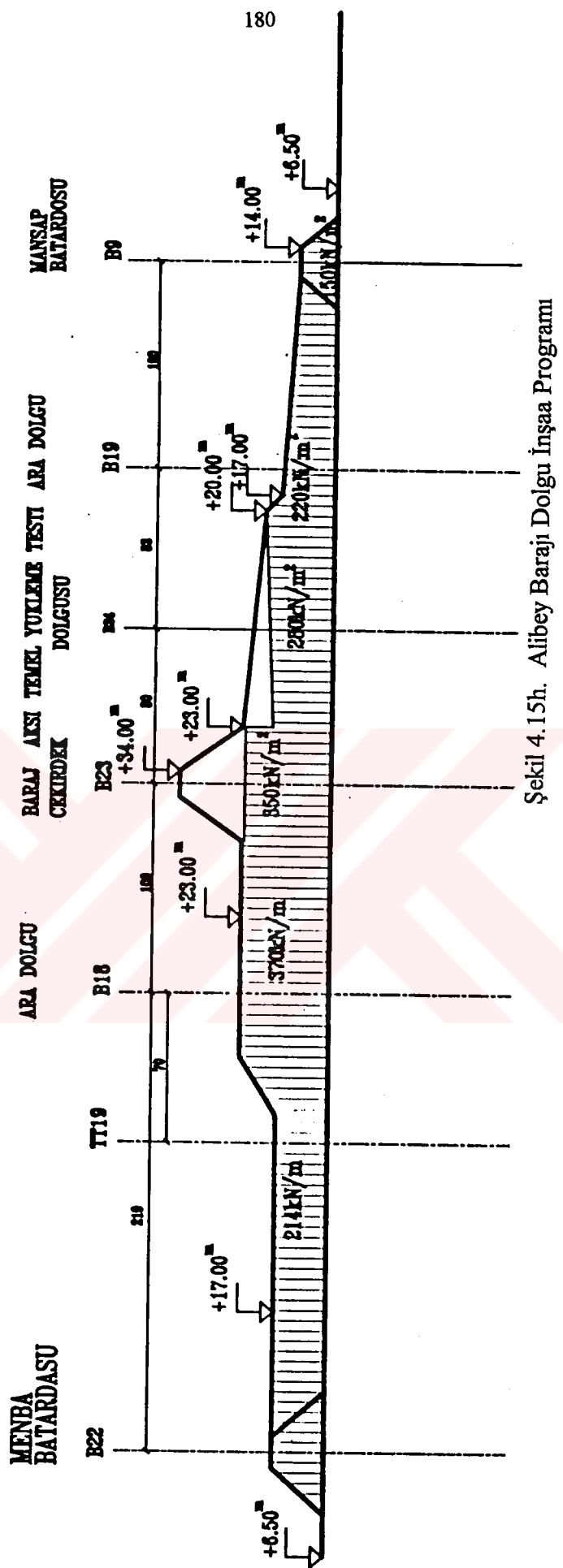
YUKLEME NO:6
t=2000-2400 gun

179

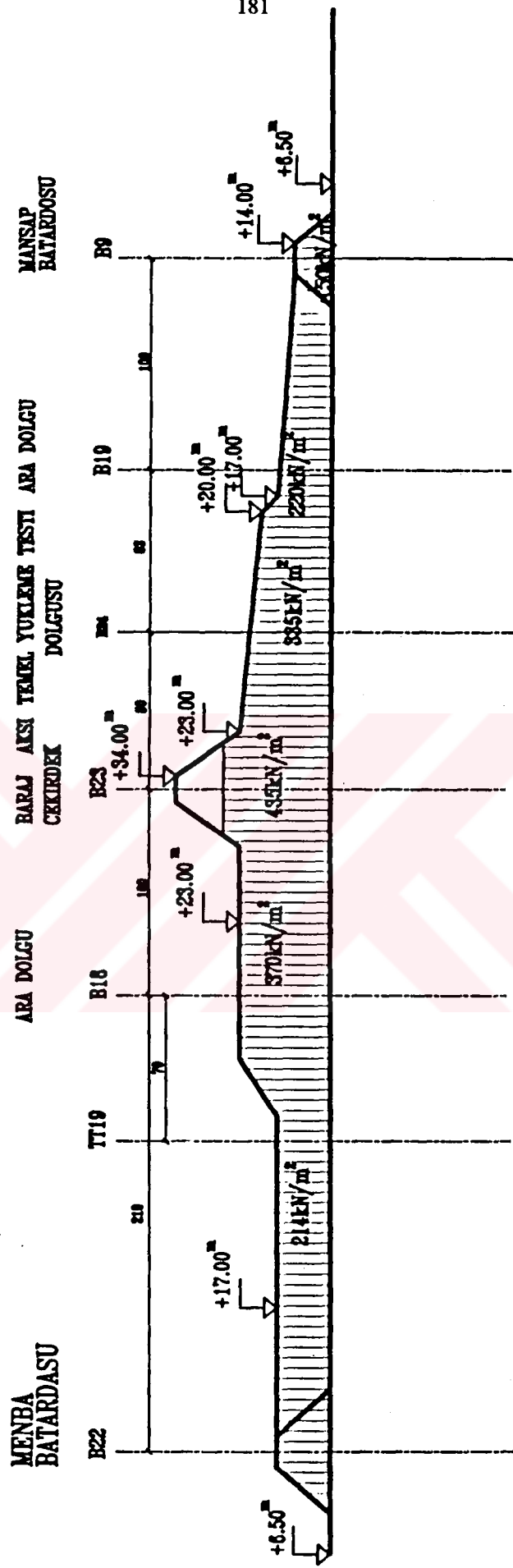


Şekil 4.15g. Alibey Barajı Dolgu İşlemleri Programı

YUKLEME NO:7
t=2400-2900 gun

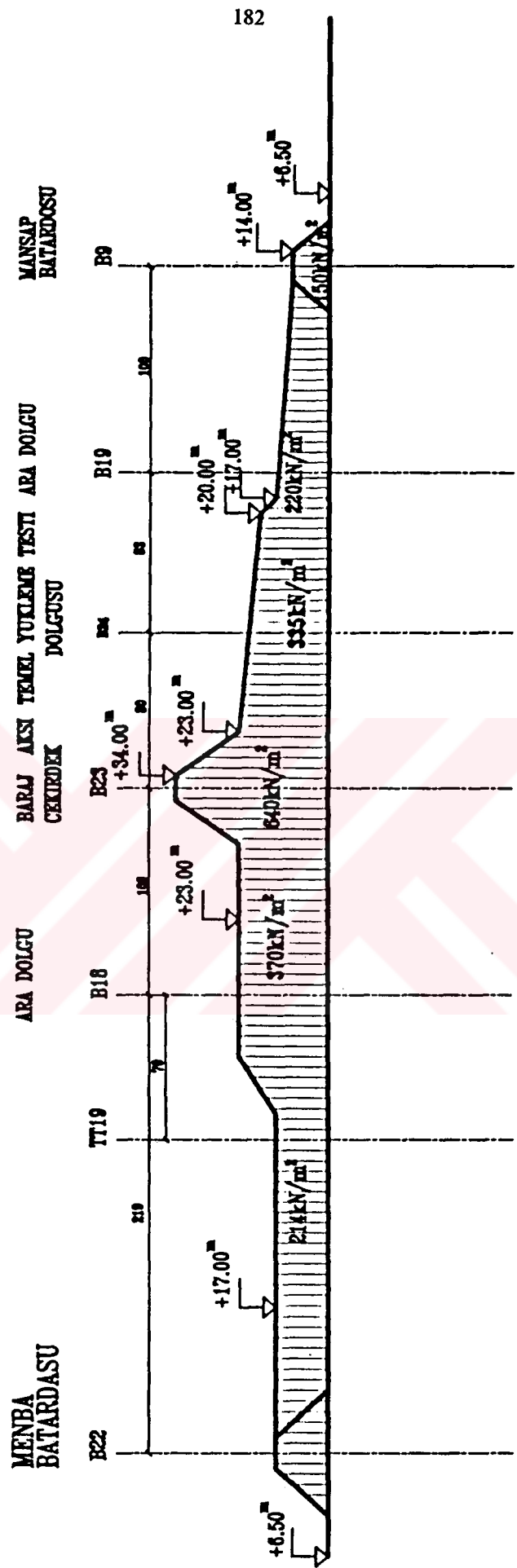


YUKLEME NO:8
 $t=2900-3100$ gün

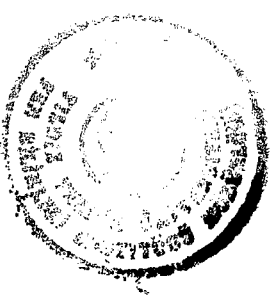


Şekil 4.15i. Alibey Barajı Dolgu İşlemleri Programı

YUKIEME NO:9
3100-5000 gun



Şekil 4.15j. Alibey Barajı Dolgu İnşaa Programı



Tablo 4.1. Alibey Barajı altındaki kum drenlerin yeri ve özellikleri

Kesit No	Konumu	Dolgu Üst Kotu	Temel Zemini Drenaj Koşulları
B-23	Kret	+34.0	$\phi=40$ cm kum drenler, temel zemini 2/3 derinliğine kadar, merkezden merkeze 3.5 m aralıklı
B-18	Menba Dolgusu	+23.0	$\phi=40$ cm kum drenler, tüm temel zemini derinliği boyunca, merkezden merkeze 7.0 m aralıklı
B-24	Mansap Dolgusu	+23.0	$\phi=40$ cm kum drenler, tüm temel zemini derinliği boyunca, merkezden merkeze 5.0 m aralıklı
B-22	Menba Batardosu	+17.0	Kum dren yok
B- 9	Mansap Dolgusu	+14.0	Kum dren yok

Toplam oturmalar (ρ), ani oturma (ρ_i), ve konsolidasyon oturmasının (ρ_c) toplamı olarak

$$\rho = \rho_i + \rho_c \quad (4.47)$$

şeklinde hesaplanmıştır. Ani oturmalar elasto-plastik sonlu elementler analizi sonuçlarından elde olunmuş, konsolidasyon oturmaları ise Terzaghi konsolidasyon teorisinden

$$\rho_c = H \left(\frac{C_s}{1+e} \right) \log \left(\frac{\sigma'_p}{\sigma'_{vo}} \right) + H \left(\frac{C_c}{1+e} \right) \log \left(\frac{\sigma'_{vo} + \Delta\sigma'_v}{\sigma'_p} \right) \quad (4.48)$$



bağıntısından yararlanılarak hesaplanmıştır. Yüklemeden kaynaklanan efektif gerilme artışlarının hesaplanmasında, boşluk suyu basıncı artışları

$$\Delta u = \Delta\sigma_3 + A(\Delta\sigma_1 - \Delta\sigma_3) \quad (4.49)$$

bağıntısı kullanılarak ve asal gerilme artışları sonlu elemanlar gerilme analizinden, A-parametresinin değeri ise gerilme analizleri sonuçları ve Şekil 4.16 'da (A ile AKO grafiği) gösterilen eğriler kullanılarak seçilmiştir.

Kademeli yükleme altında oturma hesapları yapılırken, bir önceki yük kademesi altında meydana gelen boşluk suyu basıncı artışlarının derinlik boyunca sökümlenmesi dikkate alınmış ve her noktadaki sökümlenmemiş (kalan) boşluk suyu basıncının bir sonraki kademede sökümlenmeye devam edeceği dikkate alınmıştır. Böylece, herhangi bir (i) yük kademesindeki nihai konsolidasyon oturması

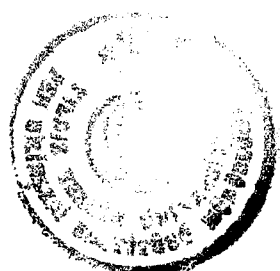
$$\rho_{ci} = H \left(\frac{C_c}{1+e} \right) \log \left(\frac{\sigma'_{vo} + \Delta\sigma_{vi}}{\sigma'_{vo} + (\Delta\sigma_{vi-1} - u_{i-1})} \right) \quad (4.50)$$

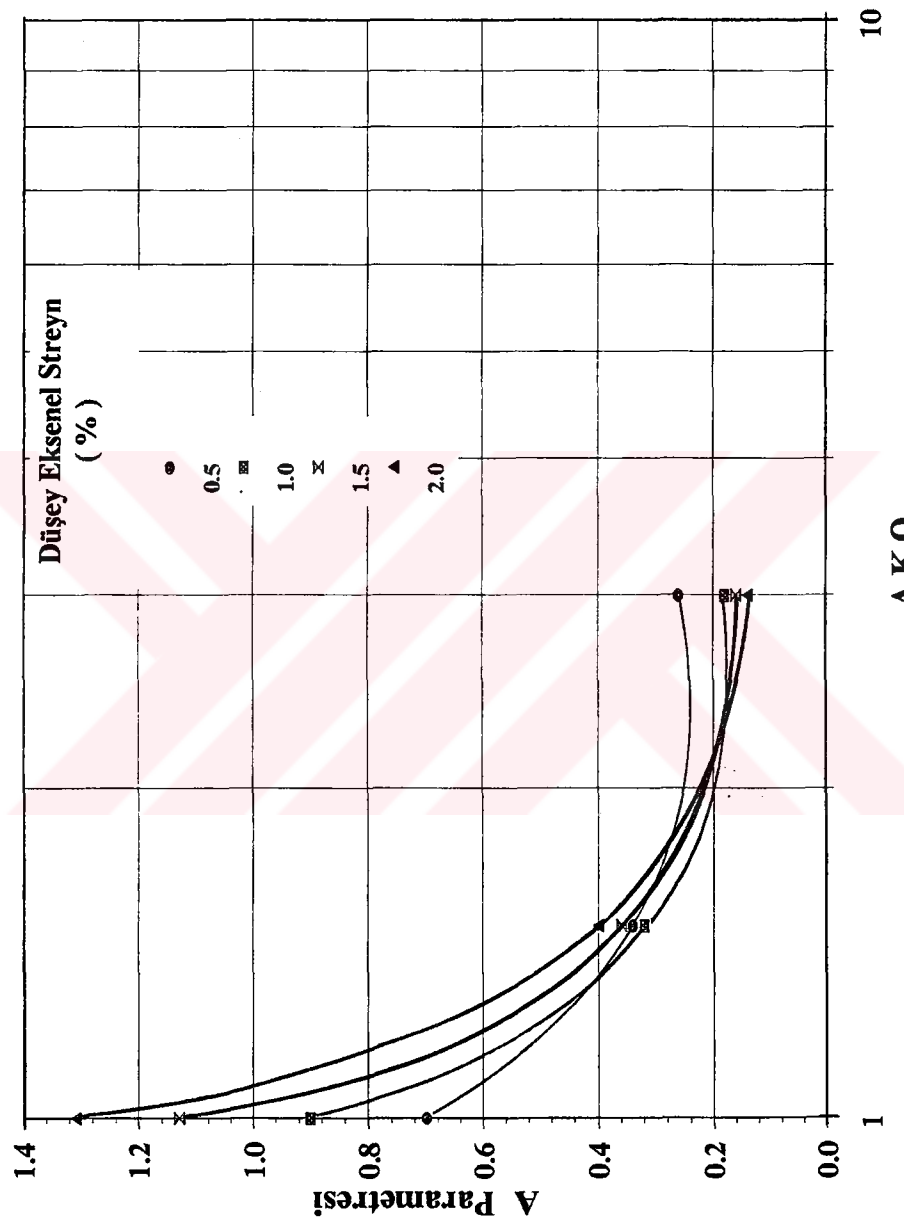
ifadeleri kullanılarak hesaplanmıştır. Herhangi bir yük kademesindeki oturma-zaman davranışısı ise

$$\rho = \rho_c * U(t) \quad U(t) = t\text{-zamanında ortalama konsolidasyon yüzdesi} \quad (4.51)$$

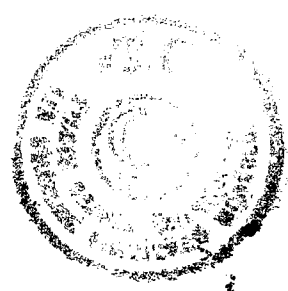
bağıntısı kullanılarak hesaplanmıştır (Şekil 4.17).

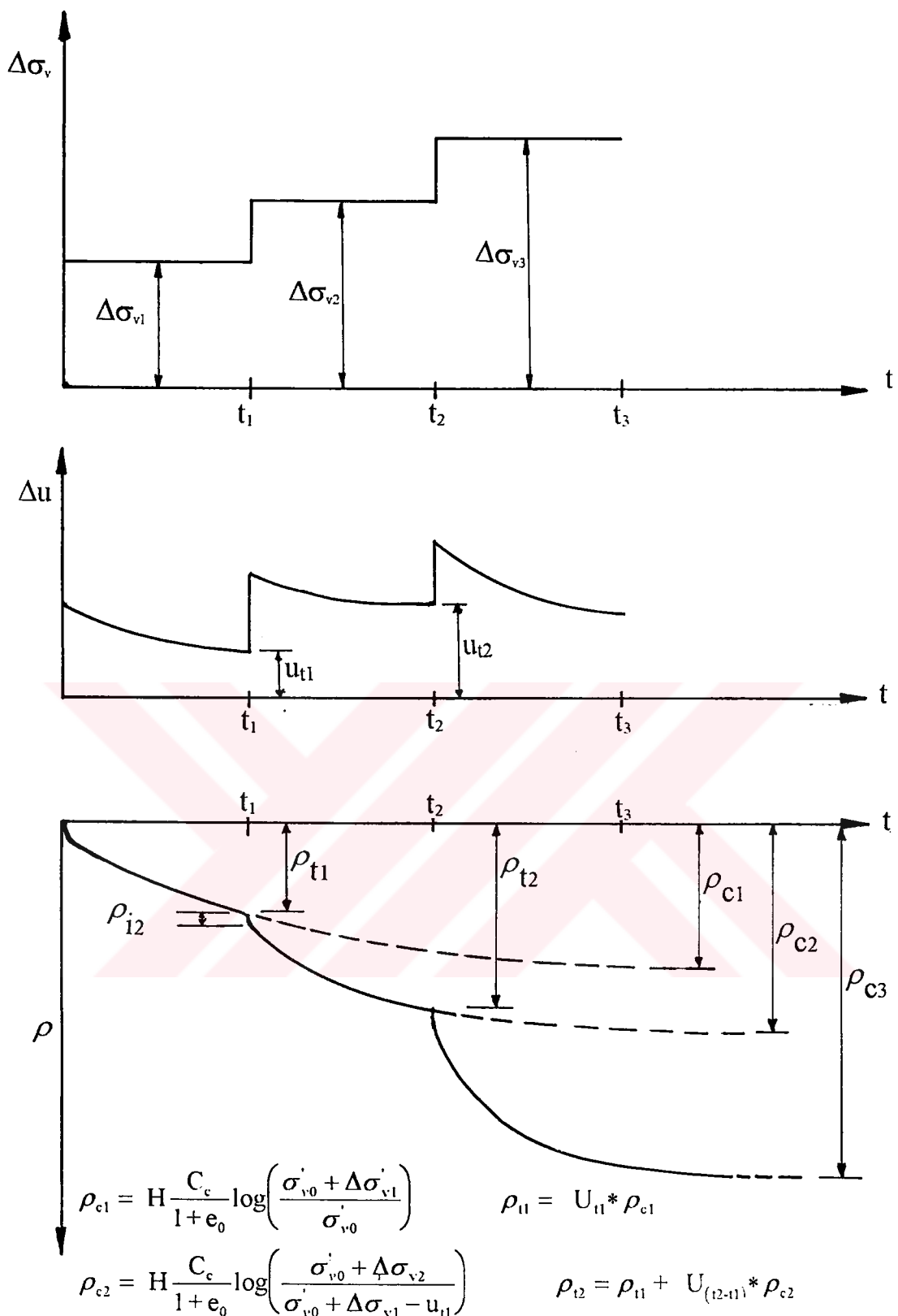
Kum drenlerin yer aldığı kesitlerde, düşey ve radyal konsolidasyonun birlikte gerçekleştiği dikkate alınarak ortalama konsolidasyon yüzdesinin hesaplanmasında (Carillo, 1942)





Şekil 4.16 Boşluk Suyu Basıncı Katsayısı A'nın Değişimi





Şekil 4.17 Kademeli Yükleme Altında Konsolidasyon Oturmalarının Hesaplanması

$$U_{vr} = 1 - (1 - U_r)(1 - U_v) \quad (4.52)$$

ifadesi kullanılmıştır. Burada U_v düşey konsolidasyon için ortalama konsolidasyon yüzdesini, U_r ise radyal konsolidasyon için ortalama konsolidasyon yüzdesini

$$U_r = 1 - \exp\left(-\frac{8T_r}{m}\right) \quad (4.53)$$

ifade etmekte olup, T_r radyal konsolidasyon zaman faktörünü (Baron, 1948), boyutsuz m katsayısı ise kum drenlerin geometrik yerleşimini göstermektedir.

$$m = \left(\frac{n^2}{n^2 - 1}\right) \ln(n) - \frac{3n^2 - 1}{4n^2}, \quad n = \frac{r_e}{z r_w}, \quad T_r = \frac{c_{vr} t}{r_e^2} \quad (4.54)$$

r_e = Kum dren efektif tesir çapı, r_w = Kum dren çapı, c_{vr} = Yatay konsolidasyon katsayısı

Arazi okumaları ile karşılaştırmalar, ortalama yatay (radyal) konsolidasyon katsayısı değerinin ortalama düşey konsolidasyon katsayısına eşit alınabileceğini göstermiştir.

4.7. Arazi Ölçümleri İle Karşılaştırmalar

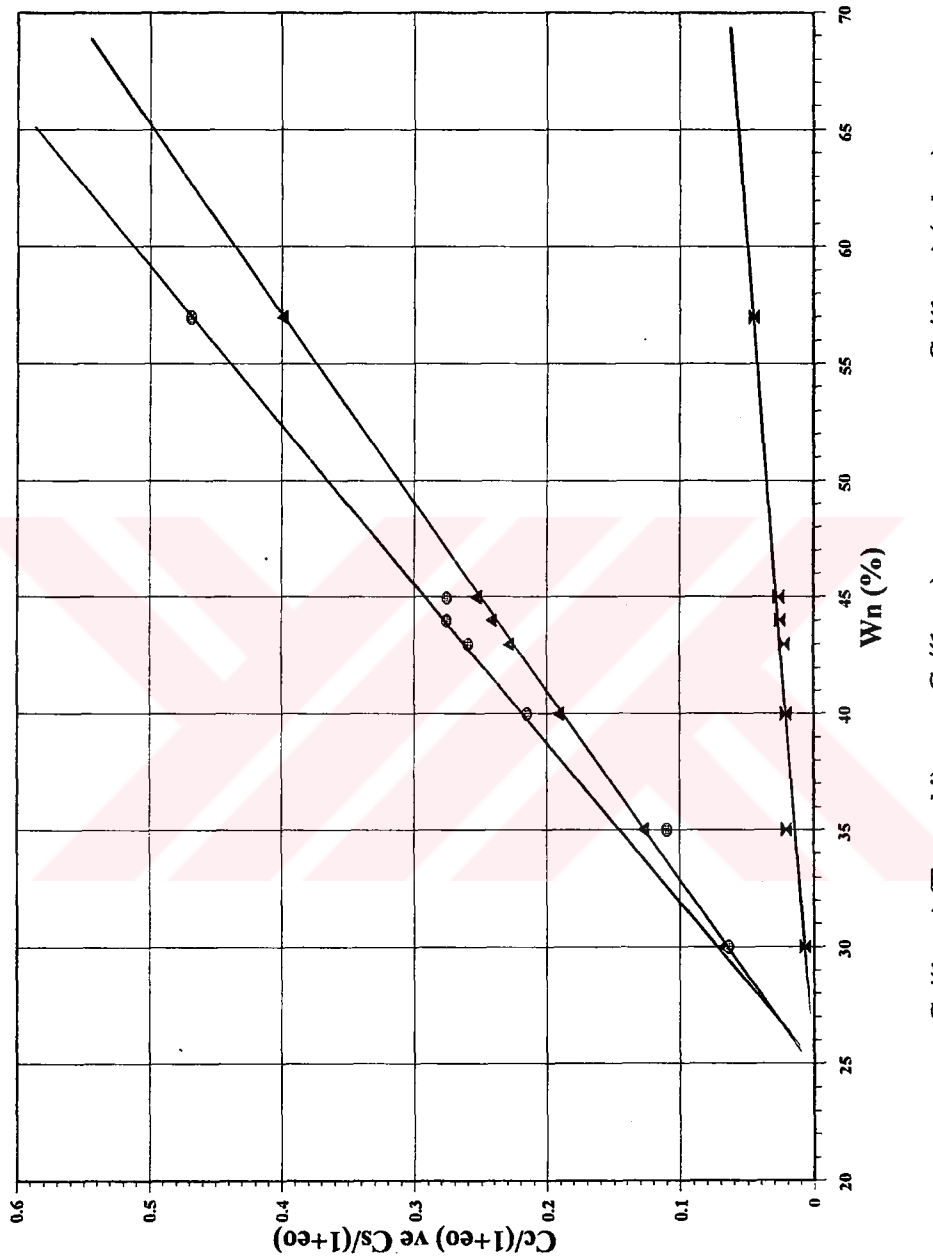
Oturma hesapları öncelikle Menba Batardosu (B-22 kesiti) için yapılmış ve hesaplanan değerler ile arazi okumaları karşılaştırılmıştır. Menba Batardosu hesaplamları ve seçilen zemin özellikleri Tablo 4.2 'de verilmiştir. Temel zeminini oluşturan tabakaların sıkışma özellikleri (C_c ve C_s) arazi su muhtevalarına göre Şekil 4.18 'den ve önkonsolidasyon basıncı profili Şekil 4.19 'den seçilerek yapılan hesaplamlarla bulunan oturma değerlerinin, arazi ölçümleri ile uyumlu olduğu saptanmıştır. Oturma-Zaman davranışından kritik olan arazideki tabakaların ortalama konsolidasyon katsayısı değerinin, laboratuar deney sonuçlarından bulunan değerlerden çok daha büyük olduğu, arazi boşluk suyu basıncı sökümllemeleri ve oturma okumalarından geri analiz (back-analysis)



Tablo 4.2. Alibey Barajı Altında Tipik Temel Zeminin Kesiti

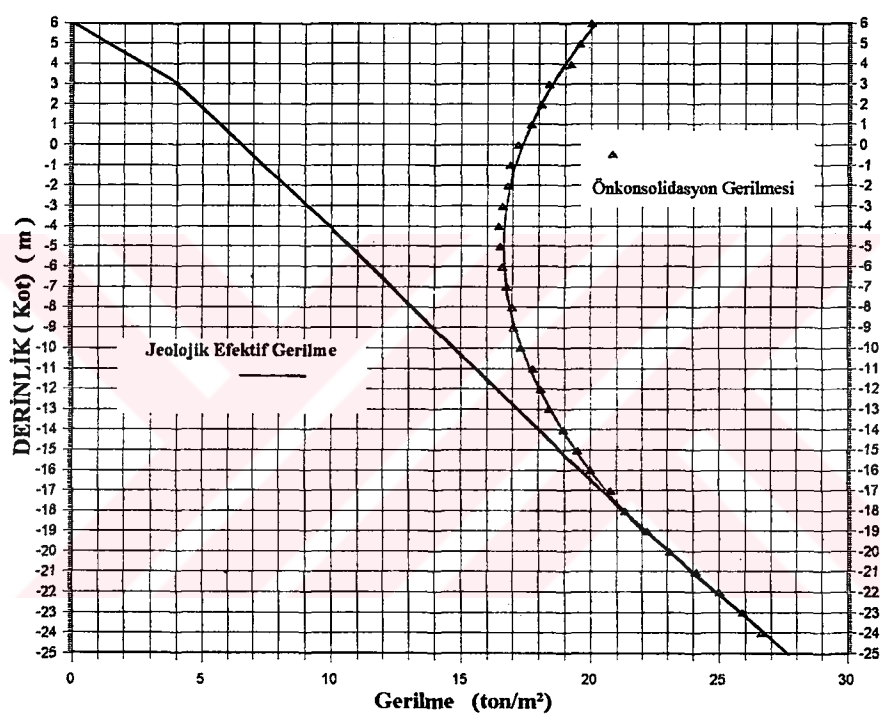
İdealize edilmiş Profil		Tanımlama	Endeks Özellikler
+5.0	YASS Kati Sarı Kil	Kati sari-kahverengi silti KIL,yer yer organik Alt bir metre genellikle kumlu ve çakılı	L.L. = 40 -60 % $\gamma_t = 2.0 \text{ ton/m}^3$
-4.0	Orta Kati Yçşil Kil	orta katı, kırılı ycşil KIL,yer yer siltli, genellikle organik orta ile yüksek arası Plastisitc. Bazı bazi kum ceplerine rastlanmaktadır.	W.C. = 52 - 40 ; 32 % L.L. = 40 - 60 ; 51 % P.I. = 25 - 35 ; 30 % $\gamma_t = 1.90 \text{ ton/m}^3$
-18.0	Orta Kati Gri Kil	orta katı, koyu gri, organik KIL genellikle midye kabuğu içermekte, yüksek plastisite. Bazı bazi ağaç parçalarına ve kum ceplerine rastlanmaktadır.	W.C. = 40 - 60 ; 49 % L.L. = 55 - 70 ; 67 % P.I. = 30 - 50 ; 42 % $\gamma_t = 1.70 \text{ ton/m}^3$
-24.0	Kaya	Çok heterojen bir tabaka, genellikle: 1- İnce silti KUM 2- Kılı KUM 3- Kumlu ve çakılı KIL 4- Koyu gri organik KIL	$\gamma_t = 1.90 \text{ ton/m}^3$ Kaya





Şekil 4.18 Sıkışma İndisi ve Tekrar Sıkışma İndisinin Su muhtevası ile Değişimi





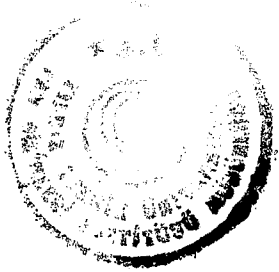
Şekil 4.19 Arazi Ön konsolidasyon Basıncı Profili

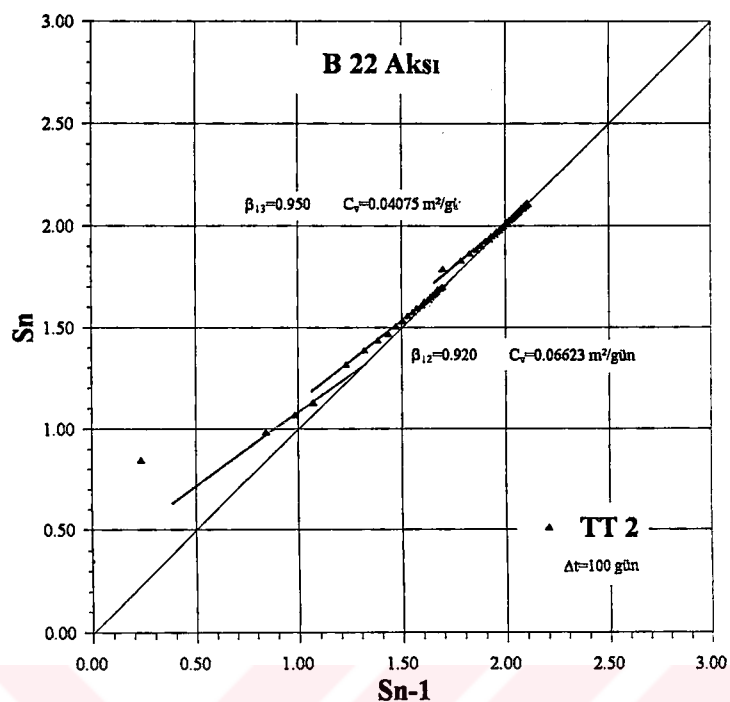
ile bulunan değerin daha gerçekçi olduğu gözlenmiştir. Arazide alüvyal çökellerin yer olması ve killi zeminler içinde kum mercekleri ve bantlarının bulunması nedeniyle laboratuar deney sonuçlarının fazla güvenilir olmamasının tabii karşılanması gerektiği düşünülmektedir. Konsolidasyon katsayısının arazi oturma okumalarından belirlenmesinde Asoaka (1978) yönteminin iyi sonuç verdiği gözlenmiştir. Şekil 4.20 'de Menba Batardosu oturma okumalarına Asoaka yönteminin uygulanması, Şekil 4.21 'de ise Menba Batardosu için hesaplanan ve arazide ölçülen oturma okumalarının karşılaştırılması gösterilmektedir.

Oturma-zaman davranışında hesaplanan ve ölçülen değerler arasında sağlanan uyum ile seçilen konsolidasyon parametrelerinin doğrulanması sağlandıktan sonra, barajın diğer kesitleri altındaki oturmalar hesaplanmış ve ölçülen değerler ile karşılaştırılmıştır. Bütün kesitler için, temel zemini tabakalaşmasının ön konsolidasyon basınçları ve sıkışma indisleri (C_c ve C_s) Şekil 4.19 ve Şekil 4.18 'den seçilmiş, ortalama konsolidasyon katsayıları ise Asoaka yöntemi kullanılarak belirlenmiştir.

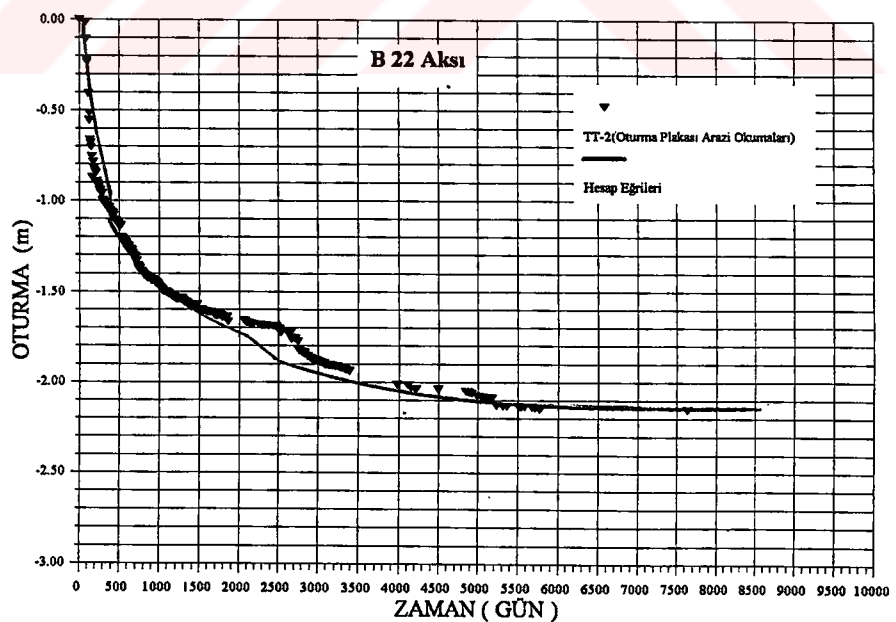
Barajın diğer kesitleri için Şekil 4.22, Şekil 4.24, Şekil 4.26 ve Şekil 4.28'de oturma okumalarına Asoaka yönteminin uygulanması; Şekil 4.23, Şekil 4.25, Şekil 4.27 ve Şekil 4.29'da ise hesaplanan ve arazide ölçülen oturma okumalarının karşılaştırılması gösterilmektedir. Baraj gövde aksı üzerinde yapılan konsolidasyon oturma hesapları Tablo 4.3a-i, boşluk suyu basınçları ve konsolidasyon yüzdesi hesapları Tablo 4.4a-i 'de verilmiştir. Bu hesaplamlarda 4.47-4.54 eşitlikleri kullanılmıştır. Zemin özelliklerinin seçiminde, yapılmış olan eski sondajlar ve bu çalışma kapsamı içinde planlanan sondajların verilerine göre hazırlanan Şekil 2.1 'de gösterilen kesitten yararlanılmıştır. Bu kesitten de görüleceği gibi menba batardosu altındaki temel zemini tipik kesitine tabakaların benzer olduğu ve aralarda yer yer kum merceklerinin varlığı görülmektedir.

Menba batardosu dışındaki akslarda oturma hesapları ve arazi okumalarının verdiği sonuçların yakınlığı görülmüştür.

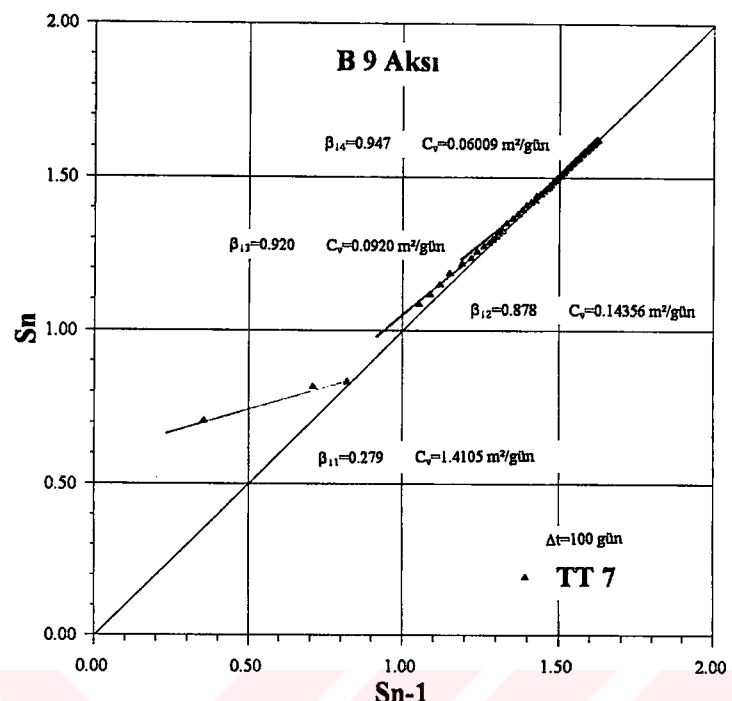




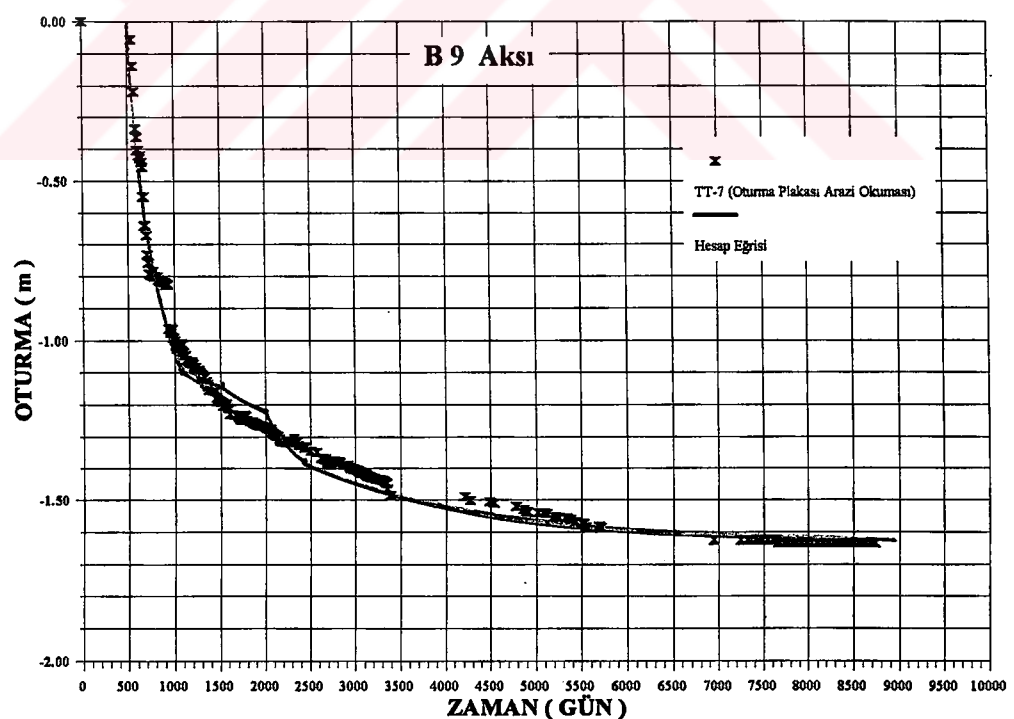
Şekil 4.20. Menba batardosu oturma okumalarına Asaoka Yönteminin uygulanması



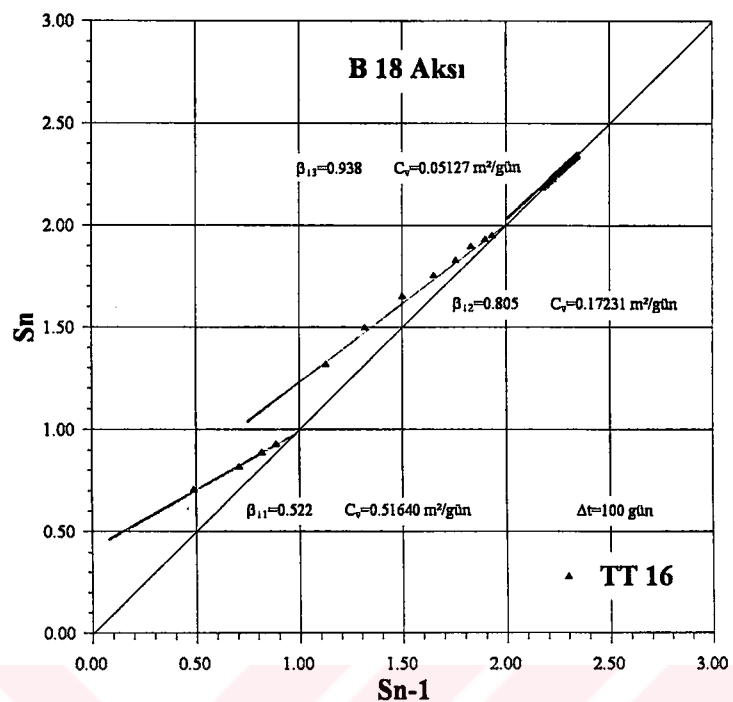
Şekil 4.21. Menba batardosu altında ölçülen ve hesaplanan oturma okumaları



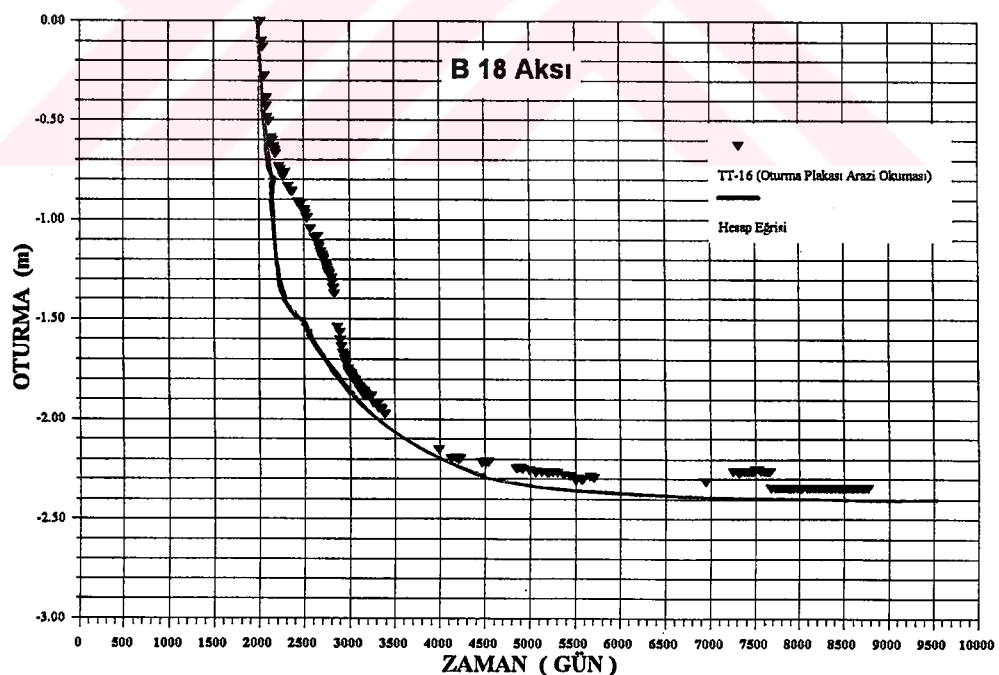
Şekil 4.22. Mansap batardosu oturma okumalarına Asaoka Yönteminin uygulanması



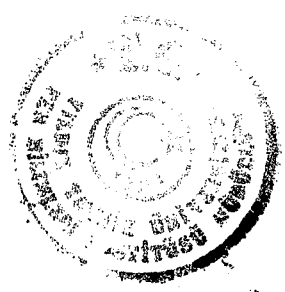
Şekil 4.23. Mansap batardosu altında ölçülen ve hesaplanan oturma okumaları

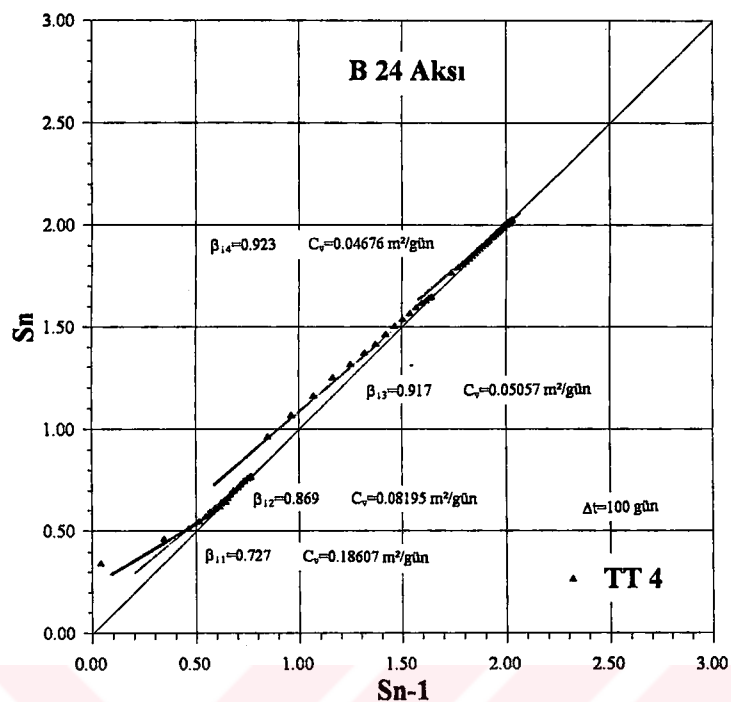


Şekil 4.24. Ara dolgu oturma okumalarına Asaoka Yönteminin uygulanması

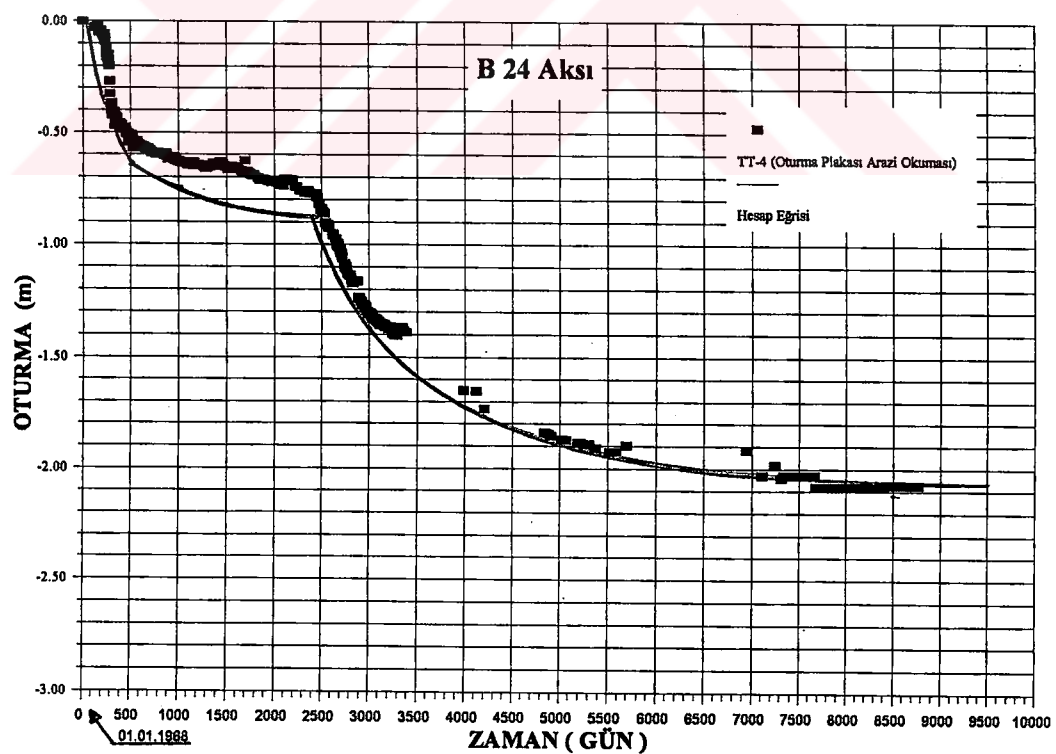


Şekil 4.25. Ara dolgu altında ölçülen ve hesaplanan oturma okumaları

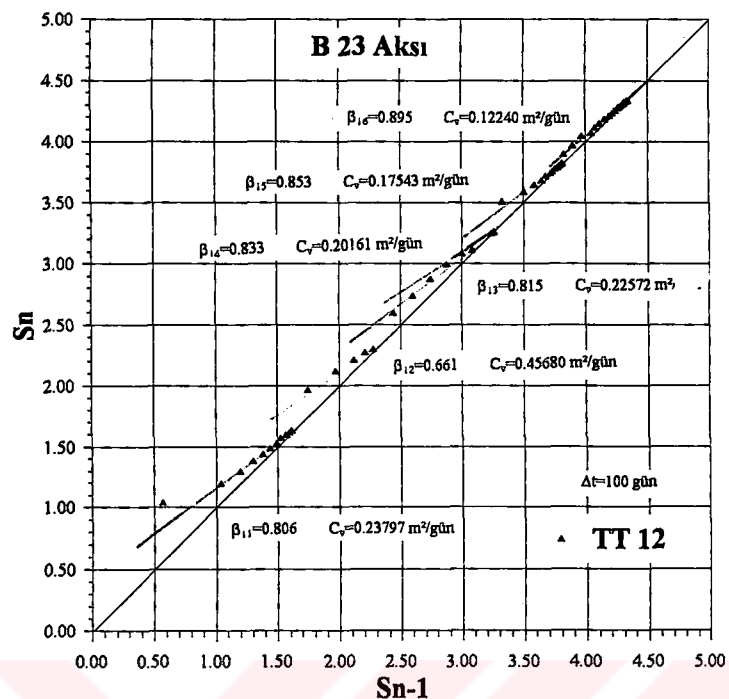




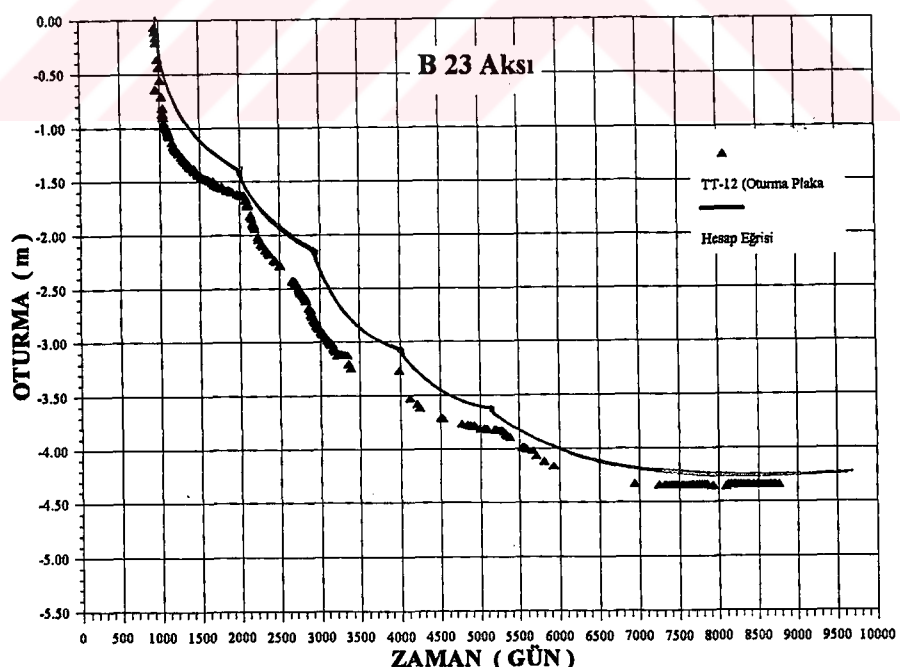
Şekil 4.26. Baraj aksi dolgusu oturma okumalarına Asaoka Yönteminin uygulanması



Şekil 4.27. Baraj aksi dolgusu altında ölçülen ve hesaplanan oturma okumaları



Şekil 4.28. Temel yükleme testi dolgusu oturma okumalarına Asaoka Yönteminin uygulanması



Şekil 4.29. Temel yükleme testi dolgusu altında ölçülen ve hesaplanan oturma okumaları

Tablo 4.3a. B24 Aksı için Konsolidasyon Analizi (Yükleme 1) Tablosu

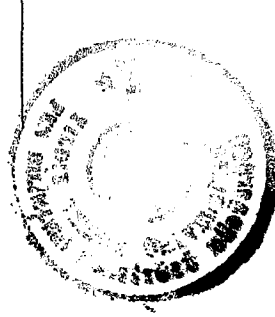
YÜKLEME No AKS No		1 B 24		Zemin Parametreleri ve Dışey Gerilimeler												Hesaplanan Konsolidasyon Otturmalan																	
Nolet No	Denitrik (m)	Kat (m)	Tabaka Kalinligi (m)	ANSYS			ANSYS			Terzaghi Cc/(1+eo)			Schm. Cc/(1+eo)			Jedelik Yatırı Svo'			Ottalama Basinci Svm'			Ottalama On Konsolidasyon Svm'			Ottalama 1 nof yüklenmeden dögu yıldı Svf = S(Svansys)*Svo' (kNm²)								
				S1	S2	S3	Wn (kNm²)	Cc/(1+eo)	Cr/(1+eo)	Svm' (%)	Cc/(1+eo)	Cr/(1+eo)	Svm' (kNm²)	Svm' (kNm²)	Svm' (kNm²)	Svf = S(Svansys)*Svo' (kNm²)	Svf = S(Svansys)*Svo' (kNm²)	Svf = S(Svansys)*Svo' (kNm²)	Svf = S(Svansys)*Svo' (kNm²)	Svf = S(Svansys)*Svo' (kNm²)	Svf = S(Svansys)*Svo' (kNm²)	Svf = S(Svansys)*Svo' (kNm²)	Svf = S(Svansys)*Svo' (kNm²)	Svf = S(Svansys)*Svo' (kNm²)	Svf = S(Svansys)*Svo' (kNm²)	Svf = S(Svansys)*Svo' (kNm²)							
1	2	3	4	5	6	7	8	9	10	11	12	13	14	15	16	17	18	19	20	21	22	23	24	25	26	27	28	29					
296	0.00	+6.00	1.00	100.840	96.592	96.288	30.00	0.068	0.007	0.064	19.620	32.884	194.037	100.840	111.340	17	1	19	20	21	22	23	24	25	26	27	28	29	30	31	32		
298	1.00	+5.00	3.00	102.220	78.625	88.455	30.00	0.068	0.007	0.064	19.620	32.884	194.037	100.840	111.340	17	1	19	20	21	22	23	24	25	26	27	28	29	30	31	32		
314	4.00	+2.00	3.00	108.050	73.005	55.821	35.00	0.128	0.021	0.110	48.107	59.351	177.443	111.975	152.157	162.801	-	-	-	-	-	-	-	-	-	-	-	-	-	-	-	-	-
305	7.00	-1.00	3.00	100.850	84.585	44.378	30.00	0.068	0.007	0.064	72.594	82.895	165.907	153.739	173.444	180.708	-	-	-	-	-	-	-	-	-	-	-	-	-	-	-	-	-
348	10.00	-4.00	3.00	94.776	53.621	31.401	44.00	0.242	0.028	0.276	103.986	103.195	161.371	163.018	187.971	189.184	-	-	-	-	-	-	-	-	-	-	-	-	-	-	-	-	-
347	13.00	-7.00	3.00	88.861	47.040	25.237	49.00	0.303	0.043	0.349	113.796	124.097	164.465	156.265	202.397	210.265	-	-	-	-	-	-	-	-	-	-	-	-	-	-	-	-	-
346	16.00	-10.00	2.00	83.735	41.191	19.835	60.00	0.438	0.062	0.511	134.397	141.264	168.065	172.754	218.132	223.134	-	-	-	-	-	-	-	-	-	-	-	-	-	-	-	-	-
345	16.00	-12.00	2.00	80.005	35.345	15.586	46.00	0.266	0.038	0.306	148.131	154.898	177.443	181.583	228.138	232.585	-	-	-	-	-	-	-	-	-	-	-	-	-	-	-	-	-
324	20.00	-14.00	2.00	75.168	32.289	17.115	40.00	0.192	0.022	0.215	161.885	170.894	185.742	190.971	237.033	243.456	-	-	-	-	-	-	-	-	-	-	-	-	-	-	-	-	-
350	22.00	-16.00	2.00	70.355	32.593	22.768	35.00	0.128	0.018	0.110	179.523	188.352	198.200	202.650	249.978	257.386	-	-	-	-	-	-	-	-	-	-	-	-	-	-	-	-	-
351	24.00	-16.00	2.00	67.712	36.691	35.406	30.00	0.068	0.007	0.064	197.181	205.719	-	-	-	-	-	-	-	-	-	-	-	-	-	-	-	-	-	-			

Toplam= 24.00

Hesaplanan Konsolidasyon Otturmalan

Svm'Svo'	(Cc/Cc)*Log(Svm'Svo')	Svf/Svm'	Log(Svf/Svm')	(Cc/Cc)*Log(Svm'Svo')	H*(Cc/H+eo)	Toplam	B24 Aksı TT4	t	Yüklemeye No	Gün	H= 24 m	An Otturma SI	Nihai Otturma Sc	Uf	Toplam Otturma Sc	H= 24 m
18	19	20	21	22	23	24	-	-	1	0	0.1096	0.535	0.9980	0.645	-	-
11.350	0.108	0.574	-0.241	0.109	0.064	0.004	2	400	2000	1000	0.0840	0.074	0.9988	0.719	210.265	210.265
4.169	0.084	0.742	-0.130	0.084	0.192	0.012	3	1500	0.0588	0.085	0.9990	0.804	-	-	-	-
2.893	0.076	0.946	-0.023	0.076	0.329	0.025	4	1500	0.1032	0.427	0.9998	1.230	-	-	-	-
1.975	0.050	1.104	0.043	0.073	0.192	0.014	5	2000	0.0798	0.036	0.9981	1.266	-	-	-	-
1.575	0.021	1.197	0.078	0.098	0.827	0.082	6	2400	0.1263	0.636	0.9980	1.919	-	-	-	-
1.340	0.018	1.285	0.102	0.120	1.046	0.126	7	2800	0.0801	0.008	0.9980	1.927	-	-	-	-
1.223	0.012	1.282	0.111	0.124	1.023	0.128	8	3400	0.1112	0.255	0.9980	2.182	-	-	-	-
1.172	0.010	1.281	0.107	0.117	0.611	0.072	9	5000	0.0970	0.013	0.9980	2.195	-	-	-	-
1.119	0.006	1.275	0.105	0.111	0.491	0.048	10	9000	0.024	-	-	-	-	-	-	-
1.076	0.005	1.270	0.104	0.108	0.219	-	-	-	-	-	-	-	-	-	-	-

Oturuma (m) = 0.535



Tablo 4.3b. B24 Aksı için Konsolidasyon Analizi (Yükleme 2) Tablosu

YÜKLEME No		2		Konsolidasyon Analizi :											
AKS No		B24		Zemin Parametreleri ve Düşey Genişimler											
ANSYS		ANSYS		Terzghi		Schm.		1Nolu		2Nolu		1 ve 2 Nolu Yüklenmeden Gelen Antk Bası. Suyu Bas.		1 Nolu Yüklenmeden gelen t = 200 gün so'ya'dan başlıktı suyu basıncı duJ1+duJ2+duJ1	
Yerinde 'den elde edilen		'den elde edilen		Cc(1+eo)		Cc(1+eo)		gelen boş. suyu bas. duJ1		gelen boş. suyu bas. duJ2		gelen boş. suyu bas. duJ1+duJ2		Gelen Toplam Bas. Suyu Bas.	
S1 S2 S3		Wn		(kNm ²)		(kNm ²)		(kNm ²)		(kNm ²)		(kNm ²)		(kNm ²)	
S1 S2 S3		Wn		(%)		%		(%)		(%)		(%)		(%)	
1	286	0.00	-46.00	102.370	101.210	99.765	30.00	0.088	0.007	0.084	97.472	100.435	2.963	0.087	3.081
	288	1.00	+55.00	105.820	84.951	78.411	30.00	0.088	0.007	0.084	77.234	85.557	8.303	0.077	8.381
	314	4.00	+22.00	109.880	69.231	61.117	35.00	0.128	0.021	0.110	68.881	66.356	-2.485	0.069	-2.416
	305	7.00	-1.00	109.050	55.632	31.859	30.00	0.088	0.007	0.084	59.525	52.750	-6.896	0.080	-6.896
	348	10.00	-4.00	104.420	41.642	14.557	44.00	0.242	0.026	0.276	49.146	42.415	-6.731	0.049	-6.682
	347	13.00	-7.00	98.136	39.191	13.838	49.00	0.303	0.043	0.349	49.349	43.342	-6.607	0.050	-6.557
	346	16.00	-10.00	94.598	38.075	14.169	60.00	0.438	0.062	0.511	54.880	48.765	-5.216	0.056	-6.160
	345	18.00	-12.00	89.663	37.095	16.035	46.00	0.266	0.038	0.306	54.882	55.810	0.929	0.055	0.984
	324	20.00	-14.00	82.787	36.268	20.835	40.00	0.192	0.022	0.216	50.786	54.909	4.123	0.051	4.174
	360	22.00	-16.00	77.685	36.406	26.322	35.00	0.128	0.018	0.110	50.844	56.632	5.788	0.051	5.839
	351	24.00	-18.00	75.041	39.543	37.937	30.00	0.068	0.007	0.064	56.082	61.634	5.602	0.000	5.602

Hesaplanmış Konsolidasyon Otturmalan															
Tablo		Jedilik Yük		Ortalama		Ortalama		2 Nolu		Ortalama		1 Nolu		Ortalama	
Kalmış (m)		Sno ['] (kNm ²)		Jedilik Yük Sno ['] (kNm ²)		Konsolidasyon Basıncı Snm ['] (kNm ²)		Yüklenmeden Dolgu Yıka Snr=Sno'+S1.2 (anneye)		Snr=Sno'+S1.2 (anneye) Snr=Snm ['] (kNm ²)		Snr=Sno'+S1.1 (anneye)-duJ1 Snr=Snm ['] (kNm ²)		1 Nolu Yüklenmeden Dolgu Yıka Snr=Snm ['] (kNm ²)	
1,00	0,00	0,000	9.810	32.664	191.974	188.200	194.037	102.370	21	22	113.905	100.743	111.253	138.925	25
3,00	46.107	59.351	177.443	171.875	155.887	155.907	159.947	161.571	163.018	160.714	152.058	152.756	162.756	173.394	26
3,00	93.185	103.496	161.571	187.615	187.615	187.615	187.615	204.774	211.832	220.464	207.922	185.134	180.653	0.00000	0.00000
3,00	113.788	124.097	164.465	188.285	188.285	188.285	188.285	210.212	223.410	228.095	202.347	218.077	210.212	0.01522	0.01522
2,00	134.387	141.284	168.085	172.754	172.754	172.754	172.754	223.078	237.824	241.238	228.081	223.532	223.532	0.01978	0.01978
2,00	148.131	154.888	177.443	181.593	181.593	181.593	181.593	244.652	250.895	257.218	249.827	257.380	257.380	0.01720	0.01720
3,00	181.885	187.523	188.352	186.200	202.680	202.680	202.680	204.720	272.222	284.683	284.683	284.683	284.683	0.00848	0.00848
2,00	187.181	209.178	209.178	209.178	209.178	209.178	209.178	209.178	209.178	209.178	209.178	209.178	209.178	0.00507	0.00507

1 ve 2 Nolu Yüklenmeden gelen Gelen Antk Bası. Suyu Bas.	1 Nolu Yüklenmeden gelen t = 200 gün so'ya'dan başlıktı suyu basıncı duJ1+duJ2+duJ1	1 ve 2 Nolu Yüklenmeden gelen Gelen Toplam Bas. Suyu Bas.
1 Nolu Yüklenmeden gelen t = 200 gün so'ya'dan başlıktı suyu basıncı duJ1+duJ2+duJ1	1 Nolu Yüklenmeden gelen t = 200 gün so'ya'dan başlıktı suyu basıncı duJ1+duJ2+duJ1	1 Nolu Yüklenmeden gelen t = 200 gün so'ya'dan başlıktı suyu basıncı duJ1+duJ2+duJ1
1 Nolu Yüklenmeden gelen t = 200 gün so'ya'dan başlıktı suyu basıncı duJ1+duJ2+duJ1	1 Nolu Yüklenmeden gelen t = 200 gün so'ya'dan başlıktı suyu basıncı duJ1+duJ2+duJ1	1 Nolu Yüklenmeden gelen t = 200 gün so'ya'dan başlıktı suyu basıncı duJ1+duJ2+duJ1
1 Nolu Yüklenmeden gelen t = 200 gün so'ya'dan başlıktı suyu basıncı duJ1+duJ2+duJ1	1 Nolu Yüklenmeden gelen t = 200 gün so'ya'dan başlıktı suyu basıncı duJ1+duJ2+duJ1	1 Nolu Yüklenmeden gelen t = 200 gün so'ya'dan başlıktı suyu basıncı duJ1+duJ2+duJ1
1 Nolu Yüklenmeden gelen t = 200 gün so'ya'dan başlıktı suyu basıncı duJ1+duJ2+duJ1	1 Nolu Yüklenmeden gelen t = 200 gün so'ya'dan başlıktı suyu basıncı duJ1+duJ2+duJ1	1 Nolu Yüklenmeden gelen t = 200 gün so'ya'dan başlıktı suyu basıncı duJ1+duJ2+duJ1

duJ1+duJ2+duJ1	duJ1+duJ2+duJ1	duJ1+duJ2+duJ1
duJ1+duJ2+duJ1	duJ1+duJ2+duJ1	duJ1+duJ2+duJ1
duJ1+duJ2+duJ1	duJ1+duJ2+duJ1	duJ1+duJ2+duJ1
duJ1+duJ2+duJ1	duJ1+duJ2+duJ1	duJ1+duJ2+duJ1
duJ1+duJ2+duJ1	duJ1+duJ2+duJ1	duJ1+duJ2+duJ1

Snr = [C _n *H/(1+eo)] ^{1/2} [C _n *log (Snm/Snr)+log (Snr/Snm)]	Snr = [C _n *H/(1+eo)] ^{1/2} [C _n *log (Snm/Snr)+log (Snr/Snm)]	Snr = [C _n *H/(1+eo)] ^{1/2} [C _n *log (Snm/Snr)+log (Snr/Snm)]
Snr = [C _n *H/(1+eo)] ^{1/2} [C _n *log (Snm/Snr)+log (Snr/Snm)]	Snr = [C _n *H/(1+eo)] ^{1/2} [C _n *log (Snm/Snr)+log (Snr/Snm)]	Snr = [C _n *H/(1+eo)] ^{1/2} [C _n *log (Snm/Snr)+log (Snr/Snm)]
Snr = [C _n *H/(1+eo)] ^{1/2} [C _n *log (Snm/Snr)+log (Snr/Snm)]	Snr = [C _n *H/(1+eo)] ^{1/2} [C _n *log (Snm/Snr)+log (Snr/Snm)]	Snr = [C _n *H/(1+eo)] ^{1/2} [C _n *log (Snm/Snr)+log (Snr/Snm)]
Snr = [C _n *H/(1+eo)] ^{1/2} [C _n *log (Snm/Snr)+log (Snr/Snm)]	Snr = [C _n *H/(1+eo)] ^{1/2} [C _n *log (Snm/Snr)+log (Snr/Snm)]	Snr = [C _n *H/(1+eo)] ^{1/2} [C _n *log (Snm/Snr)+log (Snr/Snm)]
Snr = [C _n *H/(1+eo)] ^{1/2} [C _n *log (Snm/Snr)+log (Snr/Snm)]	Snr = [C _n *H/(1+eo)] ^{1/2} [C _n *log (Snm/Snr)+log (Snr/Snm)]	Snr = [C _n *H/(1+eo)] ^{1/2} [C _n *log (Snm/Snr)+log (Snr/Snm)]

Sc, I = [C _n *H/(1+eo)] ^{1/2} [C _n *log (Snm/Snr)+log (Snr/Snm)]	Sc, II = [C _n *H/(1+eo)] ^{1/2} [C _n *log (Snm/Snr)+log (Snr/Snm)]	Sc, III = [C _n *H/(1+eo)] ^{1/2} [C _n *log (Snm/Snr)+log (Snr/Snm)]
Sc, I = [C _n *H/(1+eo)] ^{1/2} [C _n *log (Snm/Snr)+log (Snr/Snm)]	Sc, II = [C _n *H/(1+eo)] ^{1/2} [C _n *log (Snm/Snr)+log (Snr/Snm)]	Sc, III = [C _n *H/(1+eo)] ^{1/2} [C _n *log (Snm/Snr)+log (Snr/Snm)]
Sc, I = [C _n *H/(1+eo)] ^{1/2} [C _n *log (Snm/Snr)+log (Snr/Snm)]	Sc, II = [C _n *H/(1+eo)] ^{1/2} [C _n *log (Snm/Snr)+log (Snr/Snm)]	Sc, III = [C _n *H/(1+eo)] ^{1/2} [C _n *log (Snm/Snr)+log (Snr/Snm)]
Sc, I = [C _n *H/(1+eo)] ^{1/2} [C _n *log (Snm/Snr)+log (Snr/Snm)]	Sc, II = [C _n *H/(1+eo)] ^{1/2} [C _n *log (Snm/Snr)+log (Snr/Snm)]	Sc, III = [C _n *H/(1+eo)] ^{1/2} [C _n *log (Snm/Snr)+log (Snr/Snm)]
Sc, I = [C _n *H/(1+eo)] ^{1/2} [C _n *log (Snm/Snr)+log (Snr/Snm)]	Sc, II = [C _n *H/(1+eo)] ^{1/2} [C _n *log (Snm/Snr)+log (Snr/Snm)]	Sc, III = [C _n *H/(1+eo)] ^{1/2} [C _n *log (Snm/Snr)+log (Snr/Snm)]

Sc, I = [C _n *H/(1+eo)] ^{1/2} [C _n *log (Snm/Snr)+log (Snr/Snm)]	Sc, II = [C _n *H/(1+eo)] ^{1/2} [C _n *log (Snm/Snr)+log (Snr/Snm)]	Sc, III = [C _n *H/(1+eo)] ^{1/2} [C _n *log (Snm/Snr)+log (Snr/Snm)]
Sc, I = [C _n *H/(1+eo)] ^{1/2} [C _n *log (Snm/Snr)+log (Snr/Snm)]	Sc, II = [C _n *H/(1+eo)] ^{1/2} [C _n *log (Snm/Snr)+log (Snr/Snm)]	Sc, III = [C _n *H/(1+eo)]

Tablo 4.3c. B24 Aksi için Konsolidasyon Analizi (Yükleme 3) Tablosu

Konsolidation Analisi:

Konsolidasyon Analizi

卷之三

8

Volume 1-1



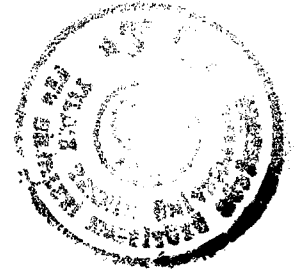
Tablo 4.3d. B24 Aksı için Konsolidasyon Analizi (Yüklemeye 4) Tablosu

YÜKLEME NO AKS NO		4 B24		Konsolidasyon Analizi :					
				Zemin Parametreleri ve Dilsey Gerilimler					
Notka No	Dereitlik (m)	Kot (m)	ANSYS 'den elde edilen elde edilen S1 S2 S3 Wn (kNm ²) (kNm ²) (%)		Terzaghi C/(1+eo) Cc/(1+eo) Cc/(1+eo)	Schm. gelen bog. suyu bas. du13 (kNm ²)	3 Nolu Yüklemeden gelen bog. suyu bas. du14 (kNm ²)	4 Nolu Yüklemeden gelen bog. suyu bas. du14+du13 (kNm ²)	3 ve 4 nolu Yüklemeden gelen bog. suyu bas. du13 (kNm ²)
			4	5			11	12	
296	0.00	+6.00	171.980	157.420	149.280	30.00	0.068	0.064	104.339
298	1.00	+5.00	170.270	139.830	132.690	30.00	0.068	0.064	93.610
314	4.00	+2.00	168.750	119.600	106.380	35.00	0.128	0.110	81.237
305	7.00	-1.00	169.140	105.660	91.026	30.00	0.068	0.064	70.884
348	10.00	-4.00	168.320	95.356	79.586	44.00	0.242	0.276	62.626
347	13.00	-7.00	165.920	94.357	76.726	49.00	0.303	0.349	64.300
346	16.00	-10.00	163.720	94.323	73.469	60.00	0.438	0.511	69.184
345	18.00	-12.00	160.600	90.647	71.070	46.00	0.268	0.398	75.221
324	20.00	-14.00	156.650	79.697	65.319	40.00	0.192	0.215	74.960
360	22.00	-16.00	163.290	77.797	68.985	35.00	0.128	0.110	77.345
351	24.00	-18.00	161.840	80.859	79.297	30.00	0.068	0.064	81.364
							125.725	118.725	44.361
									44.361

Se, I = [Cc*(H1+H2)+S1*(H1+H2)] Log (Se/H1+Se/H2)									
Se, III = [Cc*(H1+H2)+S1*(H1+H2)] Log (Se/H1+Se/H2)									

Hesaplanmış Konsolidasyon Çıkmaları		Örtedirme		4 Nolu Yüklemeden Doğu Yolu Se ^{II} = S1,4 (empv) (kNm ²)		3 Nolu Yüklemeden Doğu Yolu Se ^{III} = S1,4 (empv) (kNm ²)		3 Nolu Yüklemeden Doğu Yolu Se ^{IV} = Se ^{II} + Se ^{III} - du13 (kNm ²)	
Tablo Küçüğü (m)	Jedilik Yük Se ^d (kNm ²)	Örtedirme Se ^d (kNm ²)	On Konsolidasyon Başımı Se ^d (kNm ²)	On Konsolidasyon Başımı Se ^d (kNm ²)	4 Nolu Yüklemeden Doğu Yolu Se ^{II} = S1,4 (empv) (kNm ²)	3 Nolu Yüklemeden Doğu Yolu Se ^{III} = S1,3 (empv) - du13 (kNm ²)	3 Nolu Yüklemeden Doğu Yolu Se ^{IV} = Se ^{II} + Se ^{III} - Se _{,I} (kNm ²)	Se _{,II} > Se ^{IV} Se _{,II} > Se ^{III} Se _{,II} > Se ^{II}	Toplam Se _{,III} (m)
18	18	18	20	21	22	23	24	I	23
1.00	0.000	6.810	186.200	191.874	194.037	171.976	180.835	107.008	117.444
3.00	46.107	59.351	177.443	214.857	214.724	251.826	165.902	141.822	148.008
3.00	72.594	92.955	175.927	183.239	214.724	251.826	182.118	181.530	210.935
3.00	83.195	103.486	161.471	163.018	207.616	207.616	207.616	207.616	0.00000
3.00	115.788	124.067	164.485	168.265	279.716	288.817	219.185	228.581	0.00000
2.00	143.397	141.264	168.085	172.754	288.117	303.24	238.977	246.344	0.00000
2.00	148.131	154.368	177.443	181.583	308.731	313.623	262.712	268.253	0.00000
2.00	161.865	170.684	185.742	180.971	319.315	325.684	263.785	272.448	0.00000
2.00	178.323	188.382	186.200	202.890	340.917	349.213	280.702	288.502	0.00000
	197.181				349.021		269.301		0.01816

24.00	Seurma (m) = 0.4268
-------	---------------------



Tablo 4.3e. B24 Aksı için Konsolidasyon Analizi (Yükleme 5) Tablosu

YÜKLEMİ No	AKS No	Zemin Parametreleri ve Düşey Gerilimeler										4 ve 5 Nolu Yüklemeler	
		ANSYS			ANSYS			Schm.			Gelen Artık Bas. Sayı Bas.		Gelen Toplam Bas. Sayı Bas. t = 500 gün senarisi dJ4+dJ5+dJ4 (kNm ²)
Nokta No	Denklik (m)	Kat	'den aside 'den aside S1	S2	S3	Wh	Tenzigü Cc(1+eo)	Cc(1+eo)	dJ4	dJ5	dJ4	dJ5	
			(kNm ²)	(kNm ²)	(kNm ²)	(%)			(kNm ²)	(kNm ²)	(kNm ²)	(kNm ²)	15
1	296	0.00	+6.00	-17.360	163.250	182.810	30.00	0.068	0.007	0.064	155.182	184.773	9.591
298	1.00	+5.80	-18.770	145.530	145.430	30.00	0.068	0.007	0.064	142.461	151.758	9.298	9.302
314	4.00	+2.00	-169.120	127.180	126.650	35.00	0.128	0.021	0.110	122.596	137.592	15.098	15.100
305	7.00	-1.00	-168.980	108.350	108.860	30.00	0.068	0.007	0.064	112.117	123.632	11.516	11.520
348	10.00	-4.00	-168.560	89.502	87.143	44.00	0.242	0.026	0.276	106.206	110.760	4.554	4.558
347	13.00	-7.00	-167.940	88.978	86.279	49.00	0.303	0.043	0.349	115.972	114.044	-1.929	-1.924
346	16.00	-10.00	-170.850	89.318	84.347	60.00	0.438	0.062	0.611	130.323	124.138	-6.185	-6.179
345	18.00	-12.00	-170.600	89.016	83.736	46.00	0.266	0.038	0.306	135.532	130.643	-4.889	-4.883
324	20.00	-14.00	-167.000	88.464	85.751	40.00	0.192	0.022	0.215	119.551	130.438	14.887	14.891
360	22.00	-16.00	-166.680	88.716	86.344	35.00	0.128	0.018	0.110	118.725	133.924	15.199	15.203
351	24.00	-18.00	-166.540	89.210	86.344	30.00	0.058	0.007	0.064	125.725	138.389	12.665	12.665

Hesaplananlı Konsolidasyon Otturumaları

Otunna (m) = 0.0389

Tabello 4.3h. B24 Aksi için Konsolidasyon Analizi (Yükleme 8) Tablosu

YÜKLEME No AKS No	8 B24	Konsolidasyon Analizi ve Düşey Garantimeler									
		Zemin Parametrelerini ve Düşey Garantimeler					7 Nolu Yüklendemedi gelen bos. suyu bas. duB (kN/m ²)	7 ve 8 Nolu Yüklendemedi Gelen Artık Baş. Suyu Bas. gelen bos. suyu bas. duT (kN/m ²)	7 Nolu Yüklendemedi gelen bos. suyu bas. duU (kN/m ²)	7 Nolu Yüklendemedi gelen bos. suyu bas. duT (kN/m ²)	
Notka No	Birimlik (m)	Kot (m)	ANSYS 'den elde edilen S1 S2 S3	ANSYS 'den elde edilen Wn Cf/(1+eo)	Terzaghi Cf/(1+eo)	Schm. Cf/(1+eo)	7 Nolu Yüklendemedi gelen bos. suyu bas. duT (kN/m ²)	7 Nolu Yüklendemedi gelen bos. suyu bas. duB (kN/m ²)	7 ve 8 Nolu Yüklendemedi Gelen Artık Baş. Suyu Bas. gelen bos. suyu bas. duT (kN/m ²)	7 Nolu Yüklendemedi gelen bos. suyu bas. duU (kN/m ²)	
1	2	3	4	5	6	7	8	9	10	11	12
296	0.00	+6.00	334.9320	321.050	320.250	30.00	0.068	0.007	0.064	272.125	322.631
298	1.00	+5.00	334.950	286.540	286.010	30.00	0.068	0.007	0.064	250.693	294.765
314	4.00	+2.00	334.420	251.690	250.470	35.00	0.128	0.021	0.110	228.857	272.297
305	7.00	-1.00	334.460	220.750	219.580	30.00	0.068	0.007	0.064	207.391	249.449
348	10.00	-4.00	334.230	189.750	188.490	44.00	0.242	0.026	0.276	183.762	230.755
347	13.00	-7.00	334.060	190.050	187.820	49.00	0.303	0.043	0.349	200.090	252.168
346	16.00	-10.00	334.680	192.880	186.360	60.00	0.438	0.062	0.511	219.710	281.285
345	18.00	-12.00	334.910	193.350	186.370	46.00	0.266	0.038	0.306	228.888	317.085
324	20.00	-14.00	334.680	199.550	186.380	40.00	0.192	0.022	0.215	222.576	319.457
360	22.00	-16.00	335.000	207.960	205.330	35.00	0.128	0.018	0.110	225.875	280.539
351	24.00	-18.00	335.200	208.250	205.410	30.00	0.058	0.007	0.064	233.435	288.476
$Se_{III} = [(C_e^*H_1^* + \omega_1^*)^2 \log (Sw^*/Sw_{III})] \log (Sw^*/Sw_{III})$											
$Se_{II} = [(C_e^*H_1^* + \omega_1^*)^2 \log (Sw^*/Sw_{II})] \log (Sw^*/Sw_{II})$											
$Se_{I} = [(C_e^*H_1^* + \omega_1^*)^2 \log (Sw^*/Sw_{I})] \log (Sw^*/Sw_{I})$											
$Se_{II,I} = [Se^*H_1^* + \omega_1^*] \log (Sw^*/Sw_{II,I})$											
$Se_{III,I} = [Se^*H_1^* + \omega_1^*] \log (Sw^*/Sw_{III,I})$											
$Se_{II,II} = [Se^*H_1^* + \omega_1^*] \log (Sw^*/Sw_{II,II})$											
$Se_{III,II} = [Se^*H_1^* + \omega_1^*] \log (Sw^*/Sw_{III,II})$											
$Se_{II,III} = [Se^*H_1^* + \omega_1^*] \log (Sw^*/Sw_{II,III})$											
$Se_{I,II} = [Se^*H_1^* + \omega_1^*] \log (Sw^*/Sw_{I,II})$											
$Se_{I,III} = [Se^*H_1^* + \omega_1^*] \log (Sw^*/Sw_{I,III})$											
$Se_{II,III} = [Se^*H_1^* + \omega_1^*] \log (Sw^*/Sw_{II,III})$											
$Se_{I,II,III} = [Se^*H_1^* + \omega_1^*] \log (Sw^*/Sw_{I,II,III})$											
$Se_{I,II,III} = [Se^*H_1^* + \omega_1^*] \log (Sw^*/Sw_{I,II,III})$											
$Se_{I,II,III} = [Se^*H_1^* + \omega_1^*] \log (Sw^*/Sw_{I,II,III})$											
$Se_{I,II,III} = [Se^*H_1^* + \omega_1^*] \log (Sw^*/Sw_{I,II,III})$											
$Se_{I,II,III} = [Se^*H_1^* + \omega_1^*] \log (Sw^*/Sw_{I,II,III})$											
$Se_{I,II,III} = [Se^*H_1^* + \omega_1^*] \log (Sw^*/Sw_{I,II,III})$											
$Se_{I,II,III} = [Se^*H_1^* + \omega_1^*] \log (Sw^*/Sw_{I,II,III})$											
$Se_{I,II,III} = [Se^*H_1^* + \omega_1^*] \log (Sw^*/Sw_{I,II,III})$											
$Se_{I,II,III} = [Se^*H_1^* + \omega_1^*] \log (Sw^*/Sw_{I,II,III})$											
$Se_{I,II,III} = [Se^*H_1^* + \omega_1^*] \log (Sw^*/Sw_{I,II,III})$											
$Se_{I,II,III} = [Se^*H_1^* + \omega_1^*] \log (Sw^*/Sw_{I,II,III})$											
$Se_{I,II,III} = [Se^*H_1^* + \omega_1^*] \log (Sw^*/Sw_{I,II,III})$											
$Se_{I,II,III} = [Se^*H_1^* + \omega_1^*] \log (Sw^*/Sw_{I,II,III})$											
$Se_{I,II,III} = [Se^*H_1^* + \omega_1^*] \log (Sw^*/Sw_{I,II,III})$											
$Se_{I,II,III} = [Se^*H_1^* + \omega_1^*] \log (Sw^*/Sw_{I,II,III})$											
$Se_{I,II,III} = [Se^*H_1^* + \omega_1^*] \log (Sw^*/Sw_{I,II,III})$											
$Se_{I,II,III} = [Se^*H_1^* + \omega_1^*] \log (Sw^*/Sw_{I,II,III})$											
$Se_{I,II,III} = [Se^*H_1^* + \omega_1^*] \log (Sw^*/Sw_{I,II,III})$											
$Se_{I,II,III} = [Se^*H_1^* + \omega_1^*] \log (Sw^*/Sw_{I,II,III})$											
$Se_{I,II,III} = [Se^*H_1^* + \omega_1^*] \log (Sw^*/Sw_{I,II,III})$											
$Se_{I,II,III} = [Se^*H_1^* + \omega_1^*] \log (Sw^*/Sw_{I,II,III})$											
$Se_{I,II,III} = [Se^*H_1^* + \omega_1^*] \log (Sw^*/Sw_{I,II,III})$											
$Se_{I,II,III} = [Se^*H_1^* + \omega_1^*] \log (Sw^*/Sw_{I,II,III})$											
$Se_{I,II,III} = [Se^*H_1^* + \omega_1^*] \log (Sw^*/Sw_{I,II,III})$											
$Se_{I,II,III} = [Se^*H_1^* + \omega_1^*] \log (Sw^*/Sw_{I,II,III})$											
$Se_{I,II,III} = [Se^*H_1^* + \omega_1^*] \log (Sw^*/Sw_{I,II,III})$											
$Se_{I,II,III} = [Se^*H_1^* + \omega_1^*] \log (Sw^*/Sw_{I,II,III})$											
$Se_{I,II,III} = [Se^*H_1^* + \omega_1^*] \log (Sw^*/Sw_{I,II,III})$											
$Se_{I,II,III} = [Se^*H_1^* + \omega_1^*] \log (Sw^*/Sw_{I,II,III})$											
$Se_{I,II,III} = [Se^*H_1^* + \omega_1^*] \log (Sw^*/Sw_{I,II,III})$											
$Se_{I,II,III} = [Se^*H_1^* + \omega_1^*] \log (Sw^*/Sw_{I,II,III})$											
$Se_{I,II,III} = [Se^*H_1^* + \omega_1^*] \log (Sw^*/Sw_{I,II,III})$											
$Se_{I,II,III} = [Se^*H_1^* + \omega_1^*] \log (Sw^*/Sw_{I,II,III})$											
$Se_{I,II,III} = [Se^*H_1^* + \omega_1^*] \log (Sw^*/Sw_{I,II,III})$											
$Se_{I,II,III} = [Se^*H_1^* + \omega_1^*] \log (Sw^*/Sw_{I,II,III})$											
$Se_{I,II,III} = [Se^*H_1^* + \omega_1^*] \log (Sw^*/Sw_{I,II,III})$											
$Se_{I,II,III} = [Se^*H_1^* + \omega_1^*] \log (Sw^*/Sw_{I,II,III})$											
$Se_{I,II,III} = [Se^*H_1^* + \omega_1^*] \log (Sw^*/Sw_{I,II,III})$											
$Se_{I,II,III} = [Se^*H_1^* + \omega_1^*] \log (Sw^*/Sw_{I,II,III})$											
$Se_{I,II,III} = [Se^*H_1^* + \omega_1^*] \log (Sw^*/Sw_{I,II,III})$											

Tablo 4.3i. B24 Aksi için Konsolidasyon Analizi (Yükleme 9) Tablosu

2



Tablo 4.4a. B24 Aksi için Boşluk Suyu Basıncı Artışları ve Konsolidasyon

Yüzdesi Hesabı (Yükleme 1) Tablosu

Yaklaşım No 1 'den Gelen Dolgu Yoku Altında Oluşan Skempston - Bjerrum Metoduna Göre Hesaplanmış Böslü

Tablo 4.4b. B24 Aksı için Boşluk Suyu Basıncı Artışları ve Konsolidasyon
Yüzdesi Hesabı (Yükleme 2) Tablosu

YÜKLEME No 2 AKS No B24												YÜZDESİ Hesabı (Yükleme 2) Tablosu																	
Nokta No	Demişlik (m)	Kot (m)	Tabaka Kalmışlığı (m)	Q.C.R.	Şeyrin (%)	2 Nolu Yüklemeli			2 Nolu Yüklemeli			1 Nolu Yüklemeli			1 Nolu Yüklemeli t=400 Gln			1 Nolu Yüklemeli Gelen ve t= 600 Gln sonuc değeri (kNm ²)											
						Dolgu Yıktı ds1 (kNm ²)	dS3 (kNm ²)	A ^Y (ds1-dS3) (kNm ²)	dU2=ds3+A ^Y (ds1-dS3) (kNm ²)	dU1 (kNm ²)	(dU2-dU1) dU1+(dU2-dU1) (%)	Uyf (%)	1-Uyf (%)	Gelen değeri (kNm ²)	Gelen değeri (kNm ²)	Sonuç antik BSB (%)	600 Gln (%)	600 Gln (%)											
1	286	0.00	+8.00	1.00	0.12	0.280	0.118	0.250	102.370	88.735	2.815	0.080	100.435	97.472	2.883	3.081	0.0898	0.000	0.000	0.000	0.000	0.000							
288	1.00	+5.00	3.00	0.75	0.13	0.280	0.260	0.250	105.620	78.411	27.409	7.128	85.537	77.234	8.381	8.381	0.0898	0.000	0.000	0.000	0.000	0.000							
314	4.00	+2.00	3.00	3.65	0.245	0.280	0.280	0.270	109.050	51.117	56.763	15.278	66.385	-2.416	66.385	66.385	0.000	-0.007	-0.007	-0.007	-0.007	-0.007							
305	7.00	-1.00	3.00	2.28	0.280	0.280	0.280	0.270	109.050	31.889	77.151	20.831	52.730	-8.838	59.625	59.625	0.001	-0.001	-0.001	-0.001	-0.001	-0.001							
348	10.00	-4.00	3.00	1.73	0.286	0.310	0.310	0.310	104.420	14.557	68.983	27.858	42.415	-9.731	48.148	-9.731	-9.731	-0.001	-0.001	-0.001	-0.001	-0.001	-0.001						
347	13.00	-7.00	3.00	1.45	0.278	0.350	0.350	0.350	98.158	13.838	84.288	26.504	43.342	-8.607	48.949	-8.607	-8.607	-0.001	-0.001	-0.001	-0.001	-0.001	-0.001						
346	16.00	-10.00	2.00	1.28	0.288	0.430	0.430	0.430	94.568	14.189	80.409	34.576	48.795	-9.215	54.980	-9.215	-9.215	-0.001	-0.001	-0.001	-0.001	-0.001	-0.001						
345	18.00	-12.00	2.00	1.20	0.248	0.540	0.540	0.540	89.683	16.035	73.058	39.775	55.810	0.984	54.882	0.984	0.984	0.000	0.000	0.000	0.000	0.000	0.000						
324	20.00	-14.00	2.00	1.15	0.189	0.590	0.590	0.590	82.787	20.835	61.652	34.074	54.986	50.788	4.123	4.174	0.988	0.000	0.000	0.000	0.000	0.000							
380	22.00	-16.00	2.00	1.09	0.157	0.590	0.590	0.590	77.685	26.322	61.373	30.310	56.632	50.344	5.788	6.639	0.988	0.000	0.000	0.000	0.000	0.000							
351	24.00	-18.00	1.08	0.135	0.640	0.640	0.640	0.640	75.041	37.937	37.104	23.747	61.884	56.082	5.802	5.802	1.0000	0.000	0.000	0.000	0.000	0.000							
YÜKLEME No 2 AKS No B24												Konsolidasyon Yüzdesi Hesabı																	
Nokta No	Demişlik (m)	Kot (m)	Tabaka Kalmışlığı (m)	Tabelası Kalmışlığı (m)	t= 400 Gln sonradı dU (kNm ²)	Ortalaması dU (kNm ²)	Zhilou yüklemeli dU (kNm ²)	t= 600 Gln dU (kNm ²)	Ortalaması dU (kNm ²)	(A1+A2) dU/Tabaka Kal. (%)	dU/Tabaka Kal. (%)	A1 (%)	A1/(1+2) (%)	Uz2 Uz2	Uz1 Uz1	Uz1 Uz1	Uz2 Uz2	Uz1 Uz1	Uz2 Uz2	Uz1 Uz1	Uz2 Uz2	Uz1 Uz1	Uz2 Uz2	Uz1 Uz1	Uz2 Uz2	Uz1 Uz1			
1	286	0.00	+6.00	1.00	0.00	0.00	0.00	0.00	0.00	0.000	0.000	5.721	0.0006	5.721	0.0006	5.721	0.0013	5.721	0.000	5.721	0.000	5.721	0.000						
288	1.00	+5.00	3.00	0.381	0.00	0.00	0.00	0.00	0.00	0.0004	0.0004	12.571	0.000	12.571	0.000	12.571	0.000	12.571	0.000	12.571	0.000	12.571	0.000						
314	4.00	+2.00	3.00	0.000	0.000	0.000	0.000	0.000	0.000	0.0000	0.0000	0.000	0.0000	0.000	0.0000	0.000	0.000	0.000	0.000	0.000	0.000	0.000	0.000						
305	7.00	-1.00	3.00	0.000	0.000	0.000	0.000	0.000	0.000	0.0000	0.0000	0.000	0.0000	0.000	0.0000	0.000	0.000	0.000	0.000	0.000	0.000	0.000	0.000						
348	10.00	-4.00	3.00	0.000	0.000	0.000	0.000	0.000	0.000	0.0000	0.0000	0.000	0.0000	0.000	0.0000	0.000	0.000	0.000	0.000	0.000	0.000	0.000	0.000						
347	13.00	-7.00	3.00	0.000	0.000	0.000	0.000	0.000	0.000	0.0000	0.0000	0.000	0.0000	0.000	0.0000	0.000	0.000	0.000	0.000	0.000	0.000	0.000	0.000						
346	16.00	-10.00	2.00	0.000	0.000	0.000	0.000	0.000	0.000	0.0000	0.0000	0.000	0.0000	0.000	0.0000	0.000	0.000	0.000	0.000	0.000	0.000	0.000	0.000						
345	18.00	-12.00	2.00	0.000	0.000	0.000	0.000	0.000	0.000	0.0000	0.0000	0.000	0.0000	0.000	0.0000	0.000	0.000	0.000	0.000	0.000	0.000	0.000	0.000						
324	20.00	-14.00	2.00	0.000	0.000	0.000	0.000	0.000	0.000	0.0000	0.0000	0.000	0.0000	0.000	0.0000	0.000	0.000	0.000	0.000	0.000	0.000	0.000	0.000						
380	22.00	-16.00	2.00	0.000	0.000	0.000	0.000	0.000	0.000	0.0000	0.0000	0.000	0.0000	0.000	0.0000	0.000	0.000	0.000	0.000	0.000	0.000	0.000	0.000						
351	24.00	-18.00	1.08	0.000	0.000	0.000	0.000	0.000	0.000	0.0000	0.0000	0.000	0.0000	0.000	0.0000	0.000	0.000	0.000	0.000	0.000	0.000	0.000	0.000						
Toplam= 24.00												Toplam= 24.00												45.885	0.004	45.881	0.999	0.999	0.999

Tablo 4.4c. B24 Aksi için Boşluğ Suyu Basıncı Artışları ve Konsolidasyon

Total = 24.00

Tablo 4.4d. B24 Aksi için Boşluk Suyu Basıncı Artışları ve Konsolidasyon

Yüzdesi Hesabı (Yükleme 4) Tablosu

Yüzdəsi Həssabı (Yükleme 4) Tablosu											
YÜKLEME No AKŞ No	Yükleme № 4 'dən Gelen Doğru Yüklü Altıñ Oluşan Skempton - Bjerrum Metoduna Göre Həssablanmış Başlıq Suyu Basinq Arxivşan Yükləmədeid										
	4 Nolu Yükləmədeid Doqquz Yükn Dəqiqi Yükn			4 Nolu Yükləmədeid Doqquz Yükn Dəqiqi Yükn			3 Nolu Yükləmədeid Gelen			3 Nolu Yükləmədeid te 500 Gün Səmərə Antik İSB te 500 Gün	
	Kot (m)	Kot (m)	Tabaka (m)	Kot (m)	Kot (m)	Strayn (%)	A (G51-453) (kNm ²)	A (G44-G52-4X)(G51-453) (kNm ²)	dE3 (A44-A43) (kNm ²)	(A44-A43) (kNm ²)	(A44-A43) (kNm ²)
Nekta No	Dərinlik (m)	5 2	6 3	7 4	8 5	9 6	10 7	11 8	12 9	13 10	14 11
286	0.00	+8.00	1.00	0.063	0.260	0.167	0.260	0.260	0.260	0.260	0.260
288	1.00	+5.00	3.00	0.78	0.300	0.300	0.300	0.300	0.300	0.300	0.300
314	4.00	+2.00	3.00	3.65	0.260	0.260	0.260	0.260	0.260	0.260	0.260
325	7.00	-1.00	3.00	2.29	0.374	0.270	0.140	0.120	0.114	0.117	0.117
348	10.00	-4.00	3.00	1.73	0.447	0.300	0.320	0.320	0.320	0.320	0.320
347	13.00	-7.00	3.00	1.45	0.456	0.440	0.440	0.440	0.440	0.440	0.440
348	16.00	-10.00	2.00	1.25	0.484	0.650	0.650	0.650	0.650	0.650	0.650
345	18.00	-12.00	2.00	1.20	0.455	0.720	0.620	0.620	0.620	0.620	0.620
324	20.00	-14.00	2.00	1.15	0.340	0.650	0.650	0.650	0.650	0.650	0.650
360	22.00	-16.00	2.00	1.09	0.278	0.580	0.580	0.580	0.580	0.580	0.580
351	24.00	-18.00	2.00	1.05	0.259	0.640	0.640	0.640	0.640	0.640	0.640

Konsolidasyon Yüzdesi Hesabı

Tablo 4.4e. B24 Aksi için Boşluk Suyu Basıncı Artışları ve Konsolidasyon**YÜKLEME No 5
AKS No B24**Yükeme No 5 'den Gelen Dolgu Yolu Altında Oluşan
Sıkılaşma - Sıvısal Metoduna Göre Hesaplaması: Boşluk Suyu Basıncı Artışları

Nokta No	Derinlik (m)	Kot (m)	Tabaka Kalanlığı (m)	O.C.R.	Shreyn (%)	A	5 Nolu Yüklemesinde Dolgu Yoku (dS1-dS3) (kNm ²)			5 Nolu Yüklemesinde dU15-dS3-NAY(dS1-dS3) (kNm ²)			4 Nolu Yüklemesinden Gelen dU14 (kNm ²)			4 Nolu Yüklemesinden Gelen dU15-dS3-NAY(dS1-dS3) (kNm ²)			4 vs 5 Nolu Yüklemesinden Gelen ve İ _c = 500 Gın sonradan [dU14+d (d15 - d14)]/2 (1-Lz) değer Uygun (kNm ²)		
							1	2	3	4	5	6	7	8	9	10	11	12			
298	0,00	+8,00	1,00	0,079	0,269	170,360	182,810	7,550	1,863	184,773	155,162	8,591	9,598	0,009	0,001	0,010	0,009				
298	1,00	+5,00	3,00	0,778	0,126	189,770	145,430	24,340	6,328	151,758	142,461	8,288	9,302	0,009	0,001	0,015	0,015				
314	4,00	+2,00	3,00	3,85	0,228	169,120	128,650	42,470	11,042	137,692	122,586	15,100	15,086	0,009	0,001	0,012	0,012				
305	7,00	-1,00	3,00	2,29	0,276	27,070	169,930	62,120	19,772	123,532	115,117	11,520	11,520	0,009	0,001	0,005	0,005				
348	10,00	-4,00	3,00	1,73	0,325	0,290	168,580	97,143	81,497	23,617	110,760	108,208	4,554	4,558	0,009	0,001	0,005	0,005			
347	13,00	-7,00	3,00	1,45	0,324	0,340	187,940	88,278	81,861	27,785	114,044	115,972	-1,929	-1,924	0,009	0,001	-0,002	-0,002			
348	16,00	-10,00	2,00	1,25	0,334	0,460	84,347	170,350	88,503	38,781	124,138	130,323	-8,185	-8,179	0,009	0,001	-0,006	-0,006			
345	16,00	-12,00	2,00	1,20	0,337	0,540	170,860	83,758	88,864	48,907	130,843	138,532	-8,889	-8,883	0,009	0,001	-0,005	-0,005			
324	20,00	-14,00	2,00	1,15	0,289	0,550	167,100	85,751	31,249	44,987	130,338	115,551	14,887	14,881	0,009	0,001	0,015	0,015			
360	22,00	-16,00	2,00	1,09	0,276	0,560	168,880	88,787	79,883	47,137	133,824	118,725	15,189	15,189	0,009	0,001	0,015	0,015			
351	24,00	-18,00	1,08	0,273	0,540	193,240	88,344	78,196	50,045	136,389	128,885	12,885	12,885	0,009	0,000	0,000	0,000				

**YÜKLEME No 5
AKS No B24**

Konsolidasyon Yüzdesi Hesabı

4 nolu Yüklemesinden

Tabakta
Kalanlığı
(m)dU1
(kNm²)Ortalama
dU1
(kNm²)t= 400 Gın
Ortalama
dUf
(kNm²)dUf
(kNm²)

(A1+A2)

A1
A1/(A1+A2)

Toplam= 24,00

Nokta No	Derinlik (m)	Kot (m)	Tabakta Kalanlığı (m)	dU1 (kNm ²)	dU1 (kNm ²)	Ortalama dU1 (kNm ²)	t= 400 Gın Ortalama dUf (kNm ²)	dUf (kNm ²)	(A1+A2)	A1 A1/(A1+A2)
296	0,00	+6,00	1,00	9,596	9,449	0,010	0,009	9,449	0,009	9,440 0,999
298	1,00	+5,00	3,00	9,302	12,201	0,009	0,012	36,604	0,037	36,567 0,999
314	4,00	+2,00	3,00	15,100	13,310	0,015	0,013	39,930	0,040	39,890 0,999
305	7,00	-1,00	3,00	11,520	8,039	0,012	0,008	24,116	0,024	24,092 0,999
348	10,00	-4,00	3,00	4,558	2,279	0,005	0,002	6,837	0,007	6,830 0,999
347	13,00	-7,00	3,00	0,000	0,000	0,000	0,000	0,000	0,000	0,000 0,000
346	16,00	-10,00	2,00	0,000	0,000	0,000	0,000	0,000	0,000	0,000 0,000
345	18,00	-12,00	2,00	0,000	7,445	0,000	0,007	14,891	0,015	14,876 0,999
324	20,00	-14,00	2,00	14,891	15,047	0,015	0,015	30,094	0,030	30,064 0,999
360	22,00	-16,00	2,00	15,203	13,934	0,015	0,008	27,868	0,015	27,853 0,999
351	24,00	-18,00	1,08	12,665	0,000	0,000	0,000	0,000	0,000	0,000 0,000

Toplam= 24,00

189,789 0,177 189,612 0,999

Tablo 4.4f. B24 Aksi için Boşluk Suyu Basıncı Artışan ve Konsolidasyon

YÜKLEME No AKS No		6 B24		Yoldeme No 6 'den Geleñ Dolgu Yoluñ Akında Olusun Skempton - Bjerrum Metoduna Göre Hesaplaması Boşluk Suyu Basıncı Artışan Yüzdesi Hesabı (Yüklemeye 6) Tablosu																								
Nokta No	Derinlik (m)	Kot (m)	Tabaka Kalinligi (m)	O.C.R.	Stres (%)	6 Nolu Yüklendemedi Dolgu Yolu (dS1-dS2) (kNm ²)		6 Nolu Yüklendemedi Dolgu Yolu (dS1-dS2) (kNm ²)		5 Nolu Yüklendemedi Gelen A*(dS1-dS2) A*(dS1-dS2) (kNm ²)		5 Nolu Yüklendemedi Gelen dU15*(dS1-dS2) (kNm ²)		5 Nolu Yüklendemedi Gelen dU15*(dS1-dS2) (kNm ²)		5 Nolu Yüklendemedi Gelen dU15*(dS1-dS2) (kNm ²)		5 Nolu Yüklendemedi Gelen dU15*(dS1-dS2) (kNm ²)		5 Nolu Yüklendemedi Gelen dU15*(dS1-dS2) (kNm ²)								
						8	7	8	9	10	11	12	13	14	15	16	17	18	19	20	21	22	23	24				
296	0.00	+6.00	1.00	0.088	0.140	270.870	253.910	25.980	3.634	257.544	164.773	82.781	0.001	0.001	0.001	0.001	0.001	0.001	0.001	0.001	0.001	0.001	0.001	0.001				
298	1.00	+5.00	3.00	9.78	0.205	270.670	227.650	52.070	9.373	236.973	151.758	85.214	0.001	0.001	0.001	0.001	0.001	0.001	0.001	0.001	0.001	0.001	0.001	0.001	0.001			
314	4.00	+2.00	3.00	3.85	0.341	270.230	278.230	78.280	20.353	221.303	137.692	63.611	0.001	0.001	0.001	0.001	0.001	0.001	0.001	0.001	0.001	0.001	0.001	0.001	0.001			
326	7.00	-1.00	3.00	2.26	0.427	199.190	279.910	195.750	19.787	222.637	123.632	78.916	0.001	0.001	0.001	0.001	0.001	0.001	0.001	0.001	0.001	0.001	0.001	0.001	0.001	0.001		
348	10.00	-4.00	3.00	1.73	0.508	0.290	278.610	168.850	108.960	31.568	201.248	110.780	50.463	0.001	0.001	0.001	0.001	0.001	0.001	0.001	0.001	0.001	0.001	0.001	0.001	0.001	0.001	
347	13.00	-7.00	3.00	1.45	0.508	0.430	270.050	168.010	168.050	46.882	215.802	114.044	101.858	0.001	0.001	0.001	0.001	0.001	0.001	0.001	0.001	0.001	0.001	0.001	0.001	0.001	0.001	
346	16.00	-10.00	2.00	1.25	0.542	0.630	168.530	278.580	111.860	70.346	237.276	124.158	113.137	0.001	0.001	0.001	0.001	0.001	0.001	0.001	0.001	0.001	0.001	0.001	0.001	0.001	0.001	
345	18.00	-12.00	2.00	1.20	0.534	0.720	278.650	168.830	111.120	80.006	246.838	130.843	116.284	0.001	0.001	0.001	0.001	0.001	0.001	0.001	0.001	0.001	0.001	0.001	0.001	0.001	0.001	0.001
324	20.00	-14.00	2.00	1.15	0.474	0.620	168.530	278.510	98.198	109.880	234.718	130.458	104.280	0.001	0.001	0.001	0.001	0.001	0.001	0.001	0.001	0.001	0.001	0.001	0.001	0.001	0.001	0.001
360	22.00	-16.00	2.00	1.09	0.542	0.580	278.270	163.720	112.550	68.404	230.125	133.924	98.214	0.001	0.001	0.001	0.001	0.001	0.001	0.001	0.001	0.001	0.001	0.001	0.001	0.001	0.001	0.001
351	24.00	-16.00	1.06	0.453	0.560	0.580	275.350	153.870	112.460	71.897	235.857	139.398	97.488	0.001	0.001	0.001	0.001	0.001	0.001	0.001	0.001	0.001	0.001	0.001	0.001	0.001	0.001	0.001

**YÜKLEME No
AKS No** 6
B24 Konsolidasyon Yüzdeleri Hesabı

5 nolu Yüklendemedi Ortalama dU15*(dS1-dS2) (kNm ²)		5 nolu Yüklendemedi Ortalama dU15*(dS1-dS2) (kNm ²)		(A1+A2)		Uf6	
Nokta No	Derinlik (m)	Kot (m)	Kalınlığı (m)	dU1 (kNm ²)	dUf (kNm ²)	dU15 (kNm ²)	A1 A1/(A1+A2)
296	0.00	+3.00	1.00	92.781	89.002	0.093	0.089
298	1.00	+5.00	3.00	85.224	84.425	0.085	0.084
314	4.00	+2.00	3.00	83.626	81.271	0.084	0.081
305	7.00	-1.00	3.00	78.916	84.705	0.079	0.085
348	10.00	-4.00	3.00	90.493	96.175	0.090	0.096
347	13.00	-7.00	3.00	101.856	107.494	0.102	0.107
346	16.00	-10.00	2.00	113.131	114.710	0.113	0.115
345	18.00	-12.00	2.00	116.289	110.292	0.116	0.110
324	20.00	-14.00	2.00	104.255	109.255	0.104	0.100
360	22.00	-16.00	2.00	96.216	96.842	0.096	0.048
351	24.00	-18.00	0.00	97.468	0.000	0.000	0.000
Toplam=		2295.404		2.198		2293.206	
						0.999	



Tablo 4.4g. B24 Aksı için Boşluk Suyu Basıncı Artışları ve Konsolidasyon Yüzdesi Hesabı (Yükleme 7) Tablosu

YÜKLEME No AKS No		7	Yükleme No 7'den Geçen Dolgu Yolu Altında Olgan Sistemler - Bileşen Metoduna Göre Hesaplanan Böşlik Suyu Basıncı Artışları													
		B24	Kat	Katlılığı (m)	O.C.R.	Sistem (%)	A	Değin Yolda ds1 (kNm ²)	Değin Yolda ds3 (kNm ²)	A(GS1-4S3) dU7=dS3+A(GS1-4S3) (kNm ²)	dU6 (dU7 - dU8)	dU6 (dU7 - dU8)	6 Noktalarla Yüklenmeden Gelen dU6=dU7 - dU8 (%)	6 Noktalarla Yüklenmeden Gelen dU6=dU7 - dU8 (%)	6 Noktalarla Yüklenmeden Gelen dU6=dU7 - dU8 (%)	6 Noktalarla Yüklenmeden Gelen dU6=dU7 - dU8 (%)
1	2	3	4	5	6	7	8	9	10	11	12	13	14	15	16	
288	0.00	+6.00	1.00	0.031	0.280	279.840	268.400	10.480	2.725	272.125	257.544	14.673	14.580	14.673	0.015	
289	1.00	+5.00	3.00	0.778	0.134	279.890	249.380	39.280	10.213	250.993	238.973	13.620	13.705	13.620	0.014	
314	4.00	+2.00	3.00	3.85	0.238	278.510	211.060	68.450	17.787	226.857	221.303	7.554	7.638	7.554	0.008	
305	7.00	-1.00	3.00	2.20	0.262	279.420	160.750	98.970	26.941	207.591	202.537	4.854	4.853	4.854	0.005	
348	10.00	-4.00	3.00	1.73	0.345	278.030	150.280	128.740	33.472	163.762	201.248	-17.488	-17.398	-17.488	-0.017	
347	13.00	-7.00	3.00	1.45	0.345	278.880	147.710	128.180	50.380	200.960	215.802	-15.811	-15.709	-15.811	-0.018	
348	16.00	-10.00	2.00	1.25	0.350	280.850	147.820	133.130	71.880	218.710	237.276	-17.588	-17.452	-17.588	-0.017	
345	18.00	-12.00	2.00	1.20	0.350	280.920	147.980	133.440	81.398	228.888	246.938	-18.048	-17.932	-18.048	-0.018	
324	20.00	-14.00	2.00	1.15	0.369	278.870	150.930	127.940	71.846	222.978	224.718	-12.141	-12.037	-12.141	-0.012	
360	22.00	-16.00	2.00	1.08	0.381	278.820	152.780	128.060	73.115	225.675	230.125	-4.280	-4.153	-4.280	-0.004	
351	24.00	-18.00	1.08	0.381	0.640	278.820	152.750	128.070	50.885	223.435	233.857	-2.422	-2.422	-2.422	0.000	
															0.000	

**YÜKLEME No
AKS No** 7
B24 Konsolidasyon Yüzdesi Hesabı:

6 nolu Yüklenmeden Tabata Kot (m)		Ortalama dU1 (kNm ²)		dU6 (kNm ²)		Ortalama dU6 (kNm ²)		(A1+A2)		dU6 Tabata Kal. (A1/(A1+A2))		A1 A1/(A1+A2)		Uf6
1	2	3	4	5	6	7	8	9	10	11	12	13	14	15
286	0.00	+6.00	1.00	14.673	14.189	0.015	0.014	14.189	0.014	0.014	0.014	14.175	0.999	
288	1.00	+5.00	3.00	13.705	10.672	0.014	0.011	32.015	0.032	0.032	0.032	31.983	0.999	
314	4.00	+2.00	3.00	7.638	6.285	0.008	0.006	18.856	0.019	0.019	0.019	18.837	0.999	
305	7.00	-1.00	3.00	4.933	2.467	0.005	0.002	7.400	0.007	0.007	0.007	7.392	0.999	
348	10.00	-4.00	3.00	0.000	0.000	0.000	0.000	0.000	0.000	0.000	0.000	0.000	0.000	
347	13.00	-7.00	3.00	0.000	0.000	0.000	0.000	0.000	0.000	0.000	0.000	0.000	0.000	
346	16.00	-10.00	2.00	0.000	0.000	0.000	0.000	0.000	0.000	0.000	0.000	0.000	0.000	
345	18.00	-12.00	2.00	0.000	0.000	0.000	0.000	0.000	0.000	0.000	0.000	0.000	0.000	
324	20.00	-14.00	2.00	0.000	0.000	0.000	0.000	0.000	0.000	0.000	0.000	0.000	0.000	
360	22.00	-16.00	2.00	0.000	0.000	0.000	0.000	0.000	0.000	0.000	0.000	0.000	0.000	
351	24.00	-18.00	0.000	0.000	0.000	0.000	0.000	0.000	0.000	0.000	0.000	0.000	0.000	

Toplam= 24.00

72.460 0.072 72.388 0.9990

Tablo 4.4h. B24 Aksı için Boşluk Suyu Basıncı Artışları ve Konsolidasyon

Yüzdesi Hesabı (Yükleme 8) Tablosu

Konsolidasyon Yüzdesi: Hesabı

Nokta No	Derinlik (m)	Kat (m)	Tabaka			Ortalama dÜj (kNm ³)	dÜj (kNm ²)	t= 500 Gün Ortalama dÜj (kNm ²)	(A1+A2)			A1 A1/(A1+A2)
			Kalinlığı (m)	dÜj (kNm ³)	dÜj (kNm ²)				dÜj [*] Tabaka Kai. (kNm ²)	dÜj [*] Tabaka Kai. (kNm ²)	A1	
1	2	3	4	5	6	7	8	9	10	11	12	
296	0.00	+6.00	1.00	50.521	47.363	0.051	0.047	47.353	0.047	47.306	0.999	
298	1.00	+5.00	3.00	44.186	43.817	0.044	0.044	131.451	0.131	131.319	0.999	
314	4.00	+2.00	3.00	43.448	42.755	0.043	0.043	128.266	0.128	128.137	0.999	
305	7.00	-1.00	3.00	42.083	44.519	0.042	0.045	133.556	0.134	133.423	0.999	
348	10.00	-4.00	3.00	46.975	49.497	0.047	0.050	148.552	0.149	148.403	0.999	
347	13.00	-7.00	3.00	52.080	56.808	0.052	0.057	170.425	0.170	170.255	0.999	
346	16.00	-10.00	2.00	61.557	74.968	0.062	0.075	149.736	0.150	149.586	0.999	
345	18.00	-12.00	2.00	88.179	92.529	0.088	0.093	185.057	0.185	184.872	0.999	
324	20.00	-14.00	2.00	96.873	75.769	0.097	0.076	151.538	0.152	151.387	0.999	
360	22.00	-16.00	2.00	54.680	54.850	0.085	0.027	109.700	0.055	109.646	1.000	
351	24.00	-18.00		55.041		0.000		0.000	0.000	0.000	0.000	

Toplam = 24.00

Tablo 4.4i. B24 Aksı için Boşluk Suyu Basıncı Artıları ve Konsolidasyon

YÜKLEME No 9 AKS No B24										Yüzdelenme No 9 'den Gelen Dolgu Yolu Altında Olan Sistempon - Bleturn Metotuna Göre Hesaplamaları Başlangıç Antlaşmaları									
No	Nokta No	Derinlik (m)	Kot (m)	Tabaka Kalanlığı (m)	O.C.R.	Streyen (%)	A (kNm ²)	9 Nokta Yüklemesinde Doğu Yolcu ds1 (kNm ²)	9 Nokta Yüklemesinde Doğu Yolcu ds3 (kNm ²)	8 Nokta Yüklemesinden Gelen ve İ= 1600 Gün Sonra dUf=dUf=dS1=dS3=dS1+dS3 (kNm ²)					8 Nokta Yüklemesinden Gelen ve İ= 1000 Gün Sonra dUf=dUf=dS1=dS3 (kNm ²)				
										dUf (kNm ²)	dUf+dS1 (kNm ²)	dUf+dS3 (kNm ²)	dUf+dS1+dS3 (kNm ²)	Uv,r (%)	1-Uv,r (%)	8 Nokta Yüklemesinden Gelen ve İ= 1600 Gün Sonra dUf=dUf=dS1=dS3 (kNm ²)			
1	296	0.00	+6.00	1.00	0.006	0.280	343.620	332.230	11.390	2.861	335.191	322.631	12.661	1.000	0.000	17	18	-18	-18
298	1.00	+5.00	3.00	9.78	0.120	0.260	324.700	295.900	39.800	10.114	305.914	294.765	11.149	1.000	0.000	0.000	0.000	0.000	0.000
314	4.00	+2.00	3.00	3.45	-0.238	0.260	334.880	258.970	75.910	19.737	278.707	272.267	8.410	6.453	1.000	0.000	0.000	0.000	
305	7.00	-1.00	3.00	2.28	0.267	0.260	325.100	222.030	113.070	31.860	253.680	248.449	4.241	4.283	1.000	0.000	0.000	0.000	
348	10.00	-4.00	3.00	1.73	0.358	0.290	335.270	185.130	150.140	43.541	228.671	230.755	-2.084	-2.037	1.000	0.000	0.000	0.000	
347	13.00	-7.00	3.00	1.45	0.359	0.440	325.880	184.530	151.360	66.558	251.128	262.168	-1.037	-0.985	1.000	0.000	0.000	0.000	
348	16.00	-10.00	0.00	1.25	0.384	0.560	336.160	163.350	154.230	90.986	274.948	281.285	-6.339	-6.278	1.000	0.000	0.000	0.000	
345	18.00	-12.00	2.00	1.20	0.387	0.730	339.500	163.270	156.230	114.048	297.318	317.085	-18.979	-18.979	1.000	0.000	0.000	0.000	
324	20.00	-14.00	2.00	1.15	0.416	0.550	339.570	194.450	145.120	78.818	274.268	318.457	-45.104	-45.104	1.000	0.000	0.000	0.000	
360	22.00	-16.00	2.00	1.09	0.475	0.590	340.840	205.540	135.300	79.827	285.367	280.539	-4.853	-4.853	1.000	0.000	0.000	0.000	
351	24.00	-18.00	1.00	0.99	0.480	0.640	341.490	205.320	139.080	87.078	282.508	288.478	-4.023	-4.023	1.000	0.000	0.000	0.000	

**YÜKLEME No 9
AKS No B24** Konsolidasyon Yüzdesi Hesabı

Nokta No	Derinlik (m)	Köt (m)	Tabaka Kalanlığı (m)	8 nolu Yüklemesinden Ortalama dUf (kNm ²)					1600 Gün Ortalama dUf (kNm ²)					(A1+A2) dUf Tabaka Kal. dUf Tabaka Kal.			
				1	2	3	4	5	6	7	8	9	10	11	12	A1	A1/(A1+A2)
296	0.00	+6.00	1.00	12.611	11.902	0.000	0.000	11.902	0.000	0.000	11.902	0.000	11.902	1.000			
298	1.00	+5.00	3.00	11.193	8.823	0.000	0.000	26.469	0.000	0.000	26.469	0.000	26.469	1.000			
314	4.00	+2.00	3.00	6.453	5.368	0.000	0.000	16.104	0.000	0.000	16.104	0.000	16.104	1.000			
305	7.00	-1.00	3.00	4.283	2.141	0.000	0.000	6.424	0.000	0.000	6.424	0.000	6.424	1.000			
348	10.00	-4.00	3.00	0.000	0.000	0.000	0.000	0.000	0.000	0.000	0.000	0.000	0.000	0.000	0.000		
347	13.00	-7.00	3.00	0.000	0.000	0.000	0.000	0.000	0.000	0.000	0.000	0.000	0.000	0.000	0.000		
346	16.00	-10.00	2.00	0.000	0.000	0.000	0.000	0.000	0.000	0.000	0.000	0.000	0.000	0.000	0.000		
345	18.00	-12.00	2.00	0.000	0.000	0.000	0.000	0.000	0.000	0.000	0.000	0.000	0.000	0.000	0.000		
324	20.00	-14.00	2.00	0.000	2.442	0.000	0.000	4.883	0.000	0.000	4.883	0.000	4.883	1.000			
360	22.00	-16.00	2.00	4.883	4.458	0.000	0.000	8.916	0.000	0.000	8.916	0.000	8.916	1.000			
351	24.00	-18.00	1.00	4.033	0.000	0.000	0.000	0.000	0.000	0.000	0.000	0.000	0.000	0.000	0.000		
															74.698	0.000	74.698
															Toplam=	24.00	



BÖLÜM 5.

5. SONUÇLAR ve ÖNERİLER

5.1. GİRİŞ

Yumuşak zeminler üzerine inşa edilen dolguların tasarımda stabilitenin korunması ve deformasyonların oluşum, yön, miktar, gidiş ve şeğillerinin belirlenmesi birincil öneme sahip ölçütlerdir.

Dolgu altındaki yumuşak zeminde oluşan deformasyonlar, oturmalar ve yanal deplasmanlar şeklinde iki tipte genellenebilir. Yanal deplasmanlarla oturmalar doğrudan ilişkilidir ve ayrıca yanal deplasmanlar stabilitenin dolaylı göstergeleridir.

Aşamalı olarak inşa edilen dolguların, birbirini takip eden yükleme ve konsolidasyon aşamalarında oluşan oturmalar, tip ve oluşum sebepleri bakımından farklılık gösterirler ve bu farklılıktan yararlanılarak değişik oturma bileşenlerinin miktarları tayin edilebilir.

Yükleme devrelerinde oluşan oturmaların bileşenleri, ani oturmalar, konsolidasyon oturmaları ve krip oturmaları olabilir. Bunlardan ani oturmalar zeminde oluşan drenajsız kayma hareketlerini neticesidir. Yükleme devrelerinde kaçınılmaz olarak bir miktar konsolidasyonun gelişmesi sebebi ile konsolidasyon oturmaları oluşur ve yükleme süresi yeterli uzunluktaysa drenajsız krip hareketleri de etkili olabilir, fakat hesapları daha fazla zorlaştırmamak amacıyla yükleme devrelerindeki krip etkisi genellikle ihmal edilir. Konsolidasyon devrelerinde ise oturmalar konsolidasyon ve krip etkisiyle oluşurlar. Dolgu yükleme devrelerinde oluşan kayma davranışının etkisi, hem oturmaları hem de yanal akma artırıcı yönindedir. Krip etkisi de oturmaları ve özellikle yanal deformasyonları artırıcı niteliktedir. Diğer taraftan doygun normal konsolide zeminde konsolidasyon her yönde sıkışmayı sağlar, böylece oturmalar artar, fakat yanal akma azalır.



Loganathan et al. , (1993) 'ün önerdiği Arazi Deformasyon Analizi oturma ve yanal akma için arazide yapılan ölçüm sonuçlarından yararlanarak oturma bileşenlerini aşamalı dolgu inşa programına uygun bir sistemle hesaplama olanağı getirmiştir. Söz konusu yöntem, değişik aşamalarda yapılan ölçümler ile oturma bileşenleri arasında doğrusal bağıntılar geliştirmeye dayalıdır ve bu özelliği sebebiyle teorik sakincalar vardır. Ayrıca bu yöntemle bulunan oturma bileşenleri ile tasarıma ait yükleme ve gerilme parametreleri arasında bağıntı kurmaya yönelik araçlar bu yöntemde mevcut değildir.

Arazi ölçüm sonuçlarının, dolgu tasarımının arazide kontrol edilmesine ve yeni şartlara uyarlanması olanak verecek bir biçimde yorumlanması ve analizinin yapılmasını sağlayabilecek yöntemlere gereksinim duyulmaktadır. Böyle bir yöntemin deformasyon bileşenleri için uygun yorum getirebilmesi, yöntemin gerçek zemin davranışını yansıtma derecesine bağlıdır.

Alibey Barajı örneğinde olduğu gibi kalın yumuşak zemin tabakaları üzerinde inşa olunan toprak dolgularda, temel zemininin davranışının önceden öngörülebilmesi büyük önem taşımaktadır. İnşa olunacak dolgudan aktarılacak yükler altında temel zemininde oluşacak gerilmelerin ve zemin hareketlerinin gerçekye yakın olarak tahmin edilebilmesi projelendirme ve inşaat programının belirlenmesi için mutlaka gereklidir. Bunun sağlıklı olarak yapılabilmesi için teorik hesaplamalarla birlikte ölçüm ve gözlemlerinin yapılması ve öngörülen davranış ile arazide ortaya çıkan davranış arasındaki benzerlik veya farklılıkların dikkate alınması sıkça başvurulan bir yöntem olmaktadır.

5.2. Sonuçların Değerlendirilmesi

Bu tez çalışmasında, İstanbul Haliç yöresinde 35 m 'ye varan kalınlıkta yumuşak alüvyon kil tabakaları üzerinde inşa edilen Alibey Barajı bir vaka analizi olarak incelenmiştir. Bu barajın planlama ve projelendirme aşamalarında, değişik alternatifler incelendikten sonra (temel zemininin değiştirilmesi veya iyileştirilmesi gibi) barajın oldukça olağan dışı bir

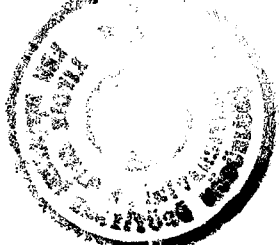


kesite sahip olacak şekilde 15 yıla yayılan kademeli dolgu inşaat yöntemi ile inşa edilmesine karar verilmiştir. Toprak dolgu inşası sırasında temel zemininde drenajsız göçmeye karşı yeterli güvenliğin sağlanması ve zemin hareketlerinin kontrol altında tutulabilmesi için geniş kapsamlı arazi ölçümleri yapılması kararlaştırılmıştır. Çok sayıda oturma plakası, boşluk suyu basıncı ölçer (piezometre) ve yanal deplasman ölçer (inklinometre) temel zemini içine yerleştirilerek oluşturulan bu monitoring sistemi ile uygulanan dolgu yükleri altında temel zemini davranışını sürekli olarak izlenmiştir. Baraj kesitinin farklı noktaları altında değişik uygulamalar ile (farklı uzunlukta kum drenler kullanarak veya kum drensiz) önce menba batardosu dolgusu ve test dolgusu altında zemin davranışını gözlenmiş, arazi davranışını ile uyumlu yükleme ve dolgu inşa programı oluşturularak barajın güvenli bir şekilde tamamlanması sağlanmıştır. Baraj inşaat bittikten sonra arazi ölçümlerine uzun yıllar devam edilmiş ve geoteknik bilimi için çok önemli bir bilgi birikimi sağlanmıştır.

Bu tez çalışmasında öncelikle 25 yıl süre ile (1968-1983 yılları arası) kaydı tutulan çok geniş hacimli arazi ölçümleri DSİ yetkililerinden temin edilmiş, bunlar bilgisayar ortamında depolanmış ve tasnif edilmiştir. Bu çalışmalar sırasında en düzgün kayıtların oturma plakası okumaları olduğu gözlenmiştir. Piezometre ölçüm kayıtlarının ilk yıllara ait olanları (1968-1973) maalesef bulunamamış ve bu aletlerin önemli bir kısmının zaman içinde işlerliğini yitirdiği tesbit edilmiştir. Çalışmanın esas amacının temel zemini oturmalarının analizi olarak belirlenmesi nedeni ile inklinometre okumaları ayrıntılı değerlendirme kapsam dışında tutulmakla birlikte, bu kayıtların incelenmesinden baraj temel zeminde büyük çaplı yanal akımaların ortaya çıkmasına izin verilmediği ve oturmaların tek boyutlu konsolidasyon teorisi ile açıklanabilmesi olanağı bulunduğu tesbit edilmiştir.

5.2.1. Gerilme Analizi Sonuçları

Alibey Barajı temel zeminde kademeli dolgu inşaatından kaynaklanan gerilme artışları ve yer değiştirmelerin hesaplanması için sonlu elemanlar yöntemi kullanılmıştır.

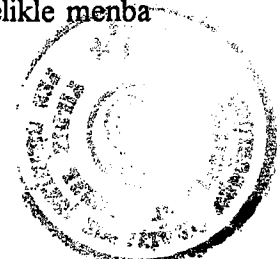


Analizlerde arazi kayıtlarının çok dikkatle incelenmesi sonucu çıkarılan ve basitleştirilmiş dokuz yükleme adımdan oluşan bir yükleme (dolgu) programı kullanılmış, zeminin elasto-plastik davranışını dikkate alınmıştır. Kullanılan sonlu eleman paket programı gerilme-deformasyon analizi için geliştirilmiş olup konsolidasyon davranışını modellemek için uygun değildir. Drenajsız yükleme sırasında her yükleme kademesi için temel zeminde meydana gelen gerilme artıları ve yer değiştirmeler hesaplanmış ve plastikleşme bölgeleri belirlenmiştir. Yükleme kademelerinin (inşaat adımlarının) programlanması temel zeminde aşırı plastikleşmeye ve akmaya yolaçmayacak şekilde seçildiği tesbit edilmiştir. Yükleme kademeleri sırasında bekleme sürelerinde temel zeminin konsolidasyonu Terzaghi konsolidasyon teorisi ile modellenmiş ve her kademe sonunda temel zeminde meydana gelen iyileşme bir sonraki yük kademesi altında gerilme-deformasyon analizi yaparken dikkate alınmıştır.

5.2.2. Oturma Analizi Sonuçları ve Arazi Okumaları İle Karşılaştırılması

Bu çalışmada, baraj temel zeminde meydana gelen oturmalar hesaplanarak ölçülen değerler ile karşılaştırılmıştır. Temel zemini tabakalarının sıkışma özellikleri ve arazi önkonsolidasyon basıncı profiliin ayrıntılı arazi etüdleri ve laboratuar araştırmaları ile belirlendiği bu projede, kademeli yükleme altında zemin tabakalarında konsolidasyon sonucu yeterli mukavemet artışı sağlanması ve taşıma gücü açısından yeterli güvenlik sayılarına ulaşılması ile baraj inşaatının güvenli bir şekilde tamamlanması mümkün olmuştur. Bu koşullar altında baraj temel zeminde meydana gelen oturma-zaman davranışının Terzaghi konsolidasyon teorisi ile hesaplanabileceği arazi ölçümü ile karşılaştırılarak gösterilmiştir.

Alibey Barajı temel zeminde meydana gelen oturmaların analizi için Terzaghi konsolidasyon teorisi kullanılmıştır. Kum drenlerin mevcut olduğu kesitler altında radyal konsolidasyon dikkate alınmış diğer kesitlerde tek-boyutlu konsolidasyon analizi yapılmıştır. Zemin özelliklerinin seçilmesinde baraj etüdleri aşamasında gerçekleştirilen laboratuar deney sonuçlarının yanında inşaat programına uygun olarak, öncelikle menba



batardosu altında meydana gelen oturmalar analiz edilmiş ve arazi davranışları ile uyum sağladıkten sonra, elde edilen parametreler diğer kesitlerin analizinde kullanılmıştır. Arazi okumalarının değerlendirilmesi ve bundan geri-analiz yolu ile konsolidasyon parametrelerinin belirlenmesinde Asaoka (1978) yönteminin güvenilir sonuçlar verdiği gözlenmiştir. Özellikle, oturma-zaman davranışının modellenmesinde büyük önem taşıyan konsolidasyon katsayısının Asaoka (1978) yöntemi ile belirlenmesinin laboratuar sonuçlarına göre çok daha gerçekçi olduğu sonucuna varılmıştır. Her yük kademesi için elasto-plastik gerilme-deformasyon analizi ile belirlenen ani (drenajsız) oturma miktarı ve konsolidasyon teorisi ile belirlenen oturmalar birlikte dikkate alınarak, baraj kesitinin değişik noktaları altındaki oturma-zaman ilişkileri hesaplanmıştır. Kullanılan hesap yöntemleri ve hesap düzenini gösteren tablolar Bölüm 4 'de verilmiştir(Tablo 4.3a-j).

Bu araştırmayı oluşturan kesitler menba batardosu(B22), mansap batardosu (B9), temel yükleme testi dolgusu (B24), ara dolgu (B18) ve kum drenler üzerine yükleme testi dolgusu (baraj gövdesi, B23) olarak isimlendirilmiş kesitlerdir.

Şekil 4.21, Şekil 4.23, Şekil 4.25, Şekil 4.27 ve Şekil 4.29 'da hesaplanan oturma-zaman eğrileri ile arazi ölçümüleri birlikte gösterilmiştir. Hesaplanan değerler ile ölçülen oturmalar arasında oldukça iyi bir uyum olduğu gözlenmekle birlikte, bazı farklılıklarda göze çarpmaktadır.

Baraj taban zemini içine yerleştirilmiş oturma plakalarının akslara göre dağılımı ve ölçülen oturma miktarları Tablo 5.1 'de verilmiştir. Tez çalışmasında değerlendirilen tüm akslar üzerindeki oturma plakalarının arazi ölçümüleri ile Asaoka (1978) metodunun uygulanması sonucunda bulunan farklı yükleme kademeindeki konsolidasyon katsayılarının değerleri Şekil 4.20, Şekil 4.22, Şekil 4.24, Şekil 4.26 ve Şekil 4.28 'deki grafikler üzerinde gösterilmiştir.



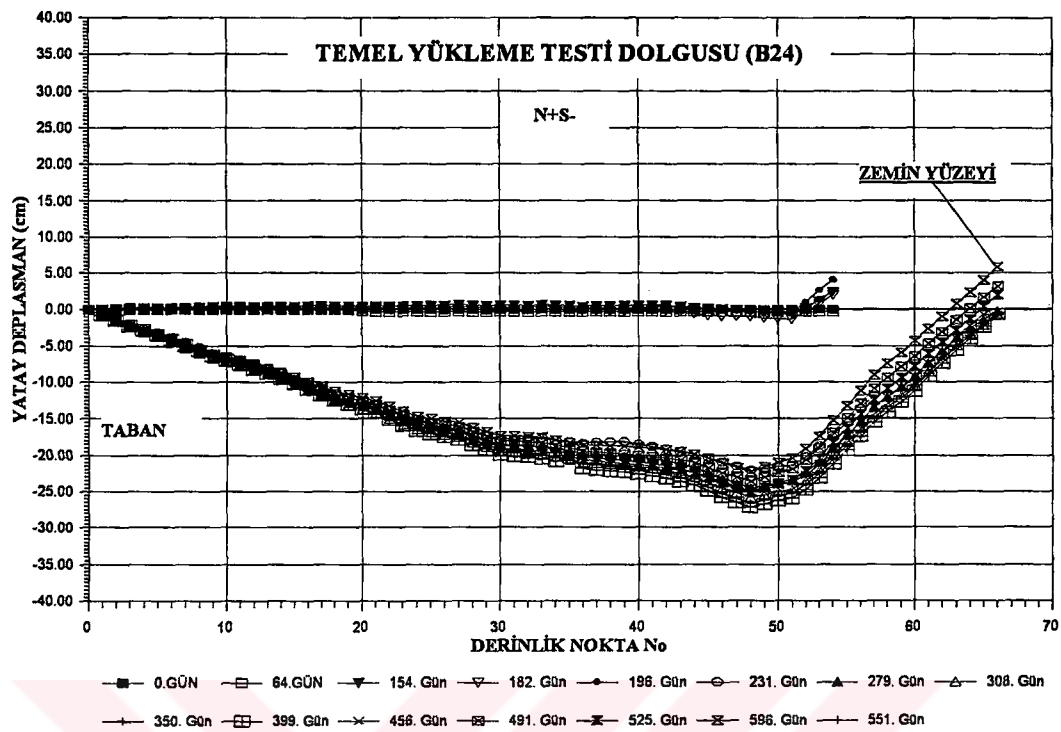
Tablo 5.1 Oturma plakalarının baraj akşlarına göre yerlerinin dağılımı

Aks No	Oturma Plaka No	Oturma Plakası Yerleştirme Kotu (m)	Tabii Zemin Üst Kotu (m)	Kaya Üst Kotu (m)	Dolgu Üst Kotu (m)	Dolgu Kalınlığı (m)	Tabii Zemin Kalınlığı (m)	Oturmaya Maruz Kalan Tabaka Kalınlığı (m)	Ölçülen Toplam Oturma (m)
B23	TT-9	6.206	6.50	-8.50	34.00	27.50	15.00	14.71	1.396
B23	TT-10	5.904	6.50	-16.00	34.00	27.50	22.50	21.90	3.300
B23	TT-11	6.055	6.50	-25.00	34.00	27.50	31.50	31.06	4.872
B23	TT-12	5.928	6.50	-27.00	34.00	27.50	33.50	32.93	4.338
B23	TT-13	6.329	6.50	-27.50	34.00	27.50	34.00	33.83	3.424
B24	TT-3	5.322	7.00	-4.50	22.00	15.00	11.50	9.82	1.307
B24	TT-4	4.892	7.00	-19.00	22.00	15.00	26.00	23.89	2.072
B24	TT-5	4.753	7.00	-26.00	22.00	15.00	33.00	30.75	3.263
B24	TT-6	4.913	7.00	-26.25	22.00	15.00	33.25	31.16	3.533
B18	TT-14	11.876	6.50	-19.00	23.00	16.50	25.50	30.88	2.396
B18	TT-15	11.643	6.50	-27.00	23.00	16.50	33.50	38.64	2.713
B18	TT-16	11.564	6.50	-16.50	23.00	16.50	23.00	28.06	2.344
B9	TT-7	6.484	6.50	-27.00	14.00	7.50	33.50	33.12	1.634
B9	TT-8	6.123	6.50	-20.00	14.00	7.50	26.50	26.48	1.323
B19	TM-8	10.746	6.50	-27.50	17.00	10.50	34.00	38.25	1.876
B19	TT-18	11.698	6.50	-14.00	17.00	10.50	20.50	25.70	0.812
B22	TT-1	5.464	6.50		17.00				2.008
B22	TT-2	5.000	6.50		17.00				2.442

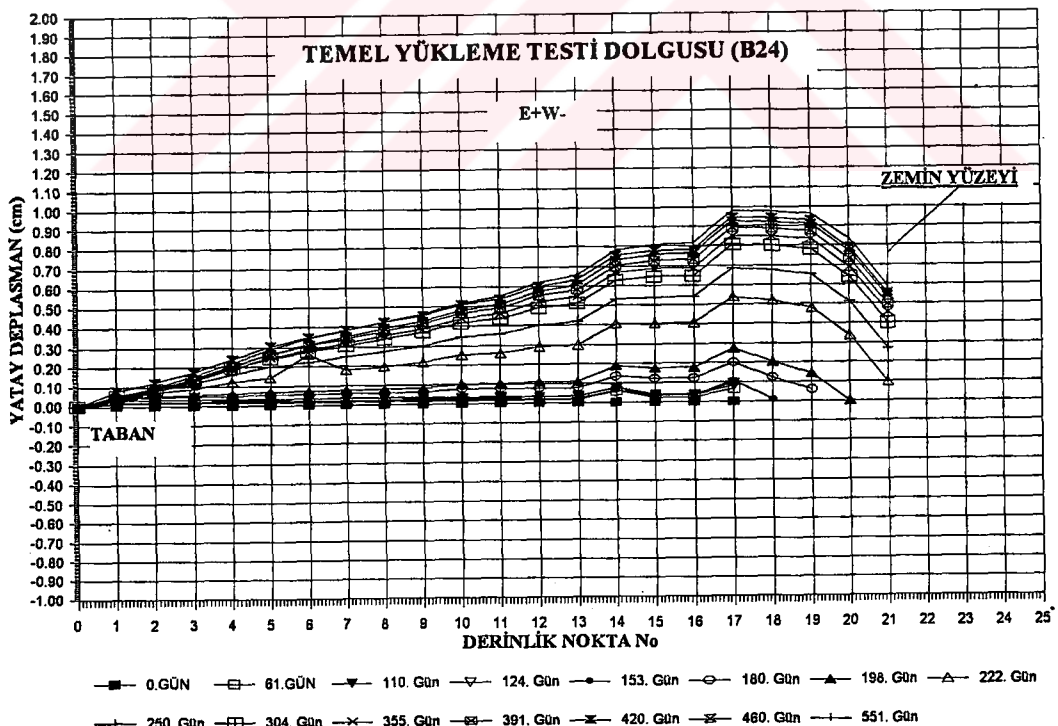
5.2.3. Arazi Yatay Yerdeştirme Ölçümlerinin Değerlendirilmesi

Alibey barajı altında temel zemininde yanal deformasyonların kontrolü için dolgu inşası öncesi test dolgusu altına anakaya 'ya kadar inen inklinometreler yerleştirilmiştir. Yerleştirilen bu entrümantasyon ile yapılan zemin hareketi ölçümleri günlük okumalarla yükleme öncesi ve sonrasında tesbit edilmiştir. Bu ölçümlerden yararlanılarak yüklemenin yanal akmaya sebeb olup olmadığı güvenlik sınırları içinde belirlenmiştir. Yükleme programının devamına düşey oturma ve yatay deplasman ölçümleri ile kontrollü olarak karar verilmiştir. İnşaat öncesi yapılmış olan geoteknik etüdlerin ve test dolgusunun arazi ölçümleri ile belirlenen inşaa programı 15 yıllık bir süre ortaya koymuştur. Test dolgusu altında ve dolgu şevi dışına beş adet inklinometre yerleştirilmiştir. İnklinometre okumalarının değerlendirildiği grafik Şekil 5.1a ve Şekil 5.1b 'de verilmiştir. İnklinometre okumaları N-S ve E-W yönlerinde alınmıştır. Baraj inşaatı süresince meydana gelen





Şekil 5.1a. Test dolgusu altındaki yatay yerdeğiştirmelerin Kuzey-Güney doğrultusunda derinlikle değişimi



Şekil 5.1b Test dolgusu altındaki yatay yerdeğiştirmelerin Doğu-Batı doğrultusunda derinlikle değişimi

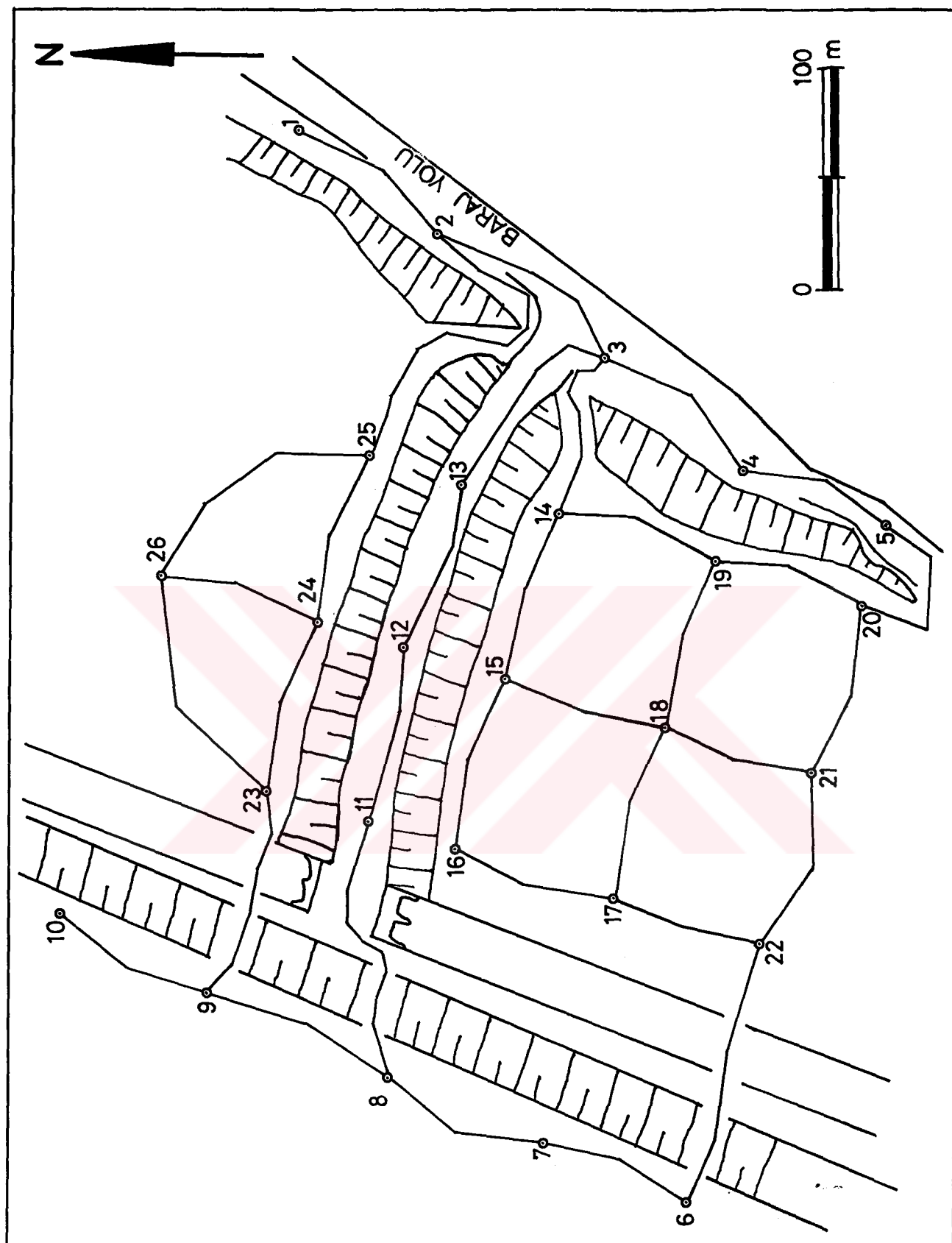
düşey ve yatay zemin hareketlerinin yerleştirilmiş olan entrümantasyonlar ile ölçülmesi dışında, jeodezik ölçümelerden yararlanarak ve sabit röper noktaları teşkil edilerek baraj gövdesinin ve diğer dolguların yatay ve düşey hareketleride ölçülmüştür. Bu ölçümelerin vektörel olarak çizilmiş grafiği Şekil 5.2b, Şekil 5.2c, Şekil 5.2d ve Şekil 5.2e'de verilmiştir. Bu ölçümeler önceleri DSİ ekipleri tarafından yapılmış, daha sonra üniversitelerin Jeodezi bölümleri tarafından yapılmıştır. Bu ölçümelerin sonuçlarından baraj gövdesi ve diğer dolguların halen çok küçükte olsa bir hareketinin mevcut olduğu belirlenmiştir. İnklinometreler üzerinde yapılan okuma çalışmaları altı yıl kadar verimli olarak devam etmiştir. Dolgu sıkıştırmaları sırasında yerleştirilmiş olan bazı aletler hasar görmüş ve yerlerine yenileri takılmıştır.

5.2.4. Boşluk Suyu Basıncı Ölçümlerinin Değerlendirilmesi

Alibey Barajı temel zeminine farklı noktalar altında değişik derinliklerde çok sayıda piezometre yerleştirilmiştir. Değişik tipte piezometreler kullanılarak ölçülen değerlerin güvenirliliği araştırılmıştır. Boşluk suyu basıncı ölçümlerinden özellikle inşaat sırasında temel zemininde stabilité sorunlarına yolaçacak seviyede boşluk suyu basınçları oluşmasına engel olmak ve inşaat programını buna göre ayarlamak için yararlanılmıştır. Fakat maalesef inşaatın ilk beş yılı süresince tutulan kayıtlar temin edilememiştir. Daha sonraları da bu piezometrelerin bir çoğunun işlerliğini kaybettiği gözlenmiştir. Mevcut boşluk suyu basıncı kayıtlarının değerlendirilmesinde, rezervuar su seviyesi (ve buna bağlı hidrostatik su seviyesi) değişimlerinin değerlendirilmelerde dikkate alınmasında güçlükler yaşanmıştır.

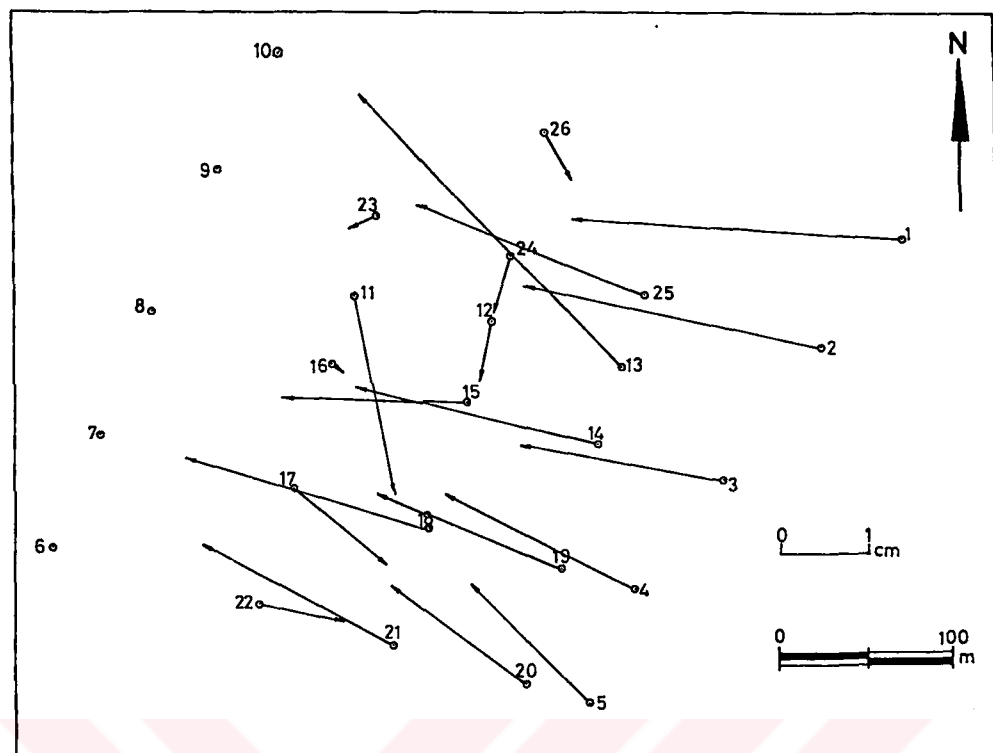
Baraj kesitindeki bir nokta altında (B24 kesiti) değişik derinliklerde ölçülen boşluk suyu basınçlarının zamanla değişimi Şekil 5.3a, Şekil 5.3b, Şekil 5.3c, Şekil 5.3d ve Şekil 5.3e 'de gösterilmiştir. Nihai yük kademesinden sonra temel zeminindeki artık boşluk suyu basınçlarının zamanla sönümlendiği gözlenmektedir. Bu kayıtlar, konsolidasyon analizinde kil tabakası ile taban kayası arasında bir çakılı tabaka olmasından dolayı kabul edilen çift taraflı drenaj varsayımini doğrulamaktadır. Şekil 5.4 'de ise, bütün dolgu



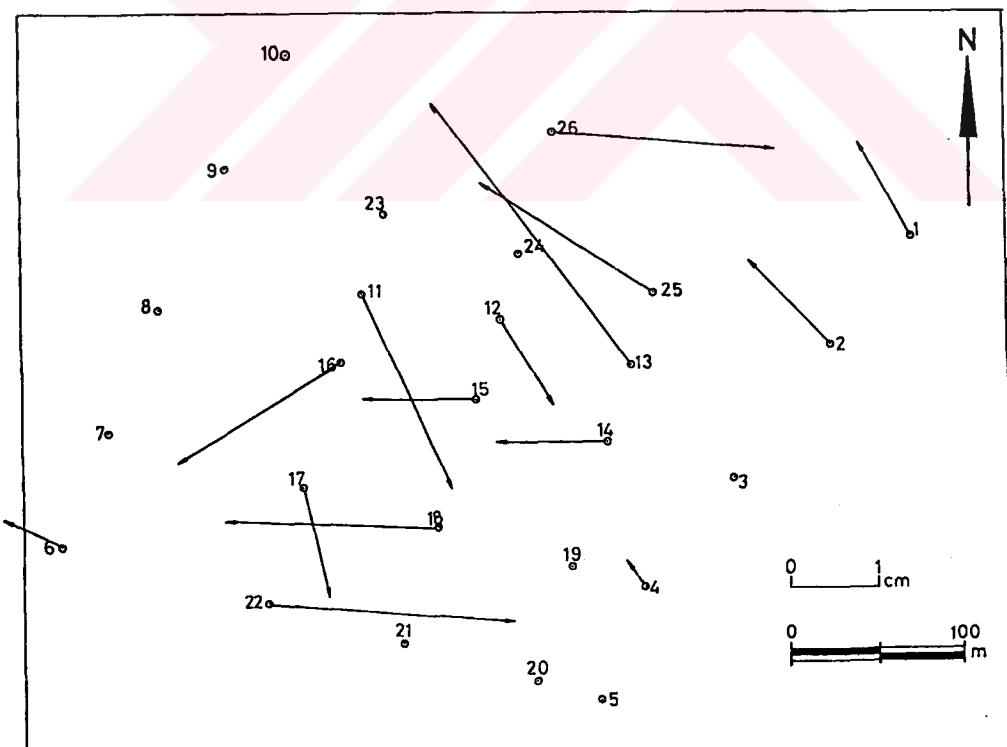


Şekil 5.2a. Yükseklik farkı ölçmelerinin planı



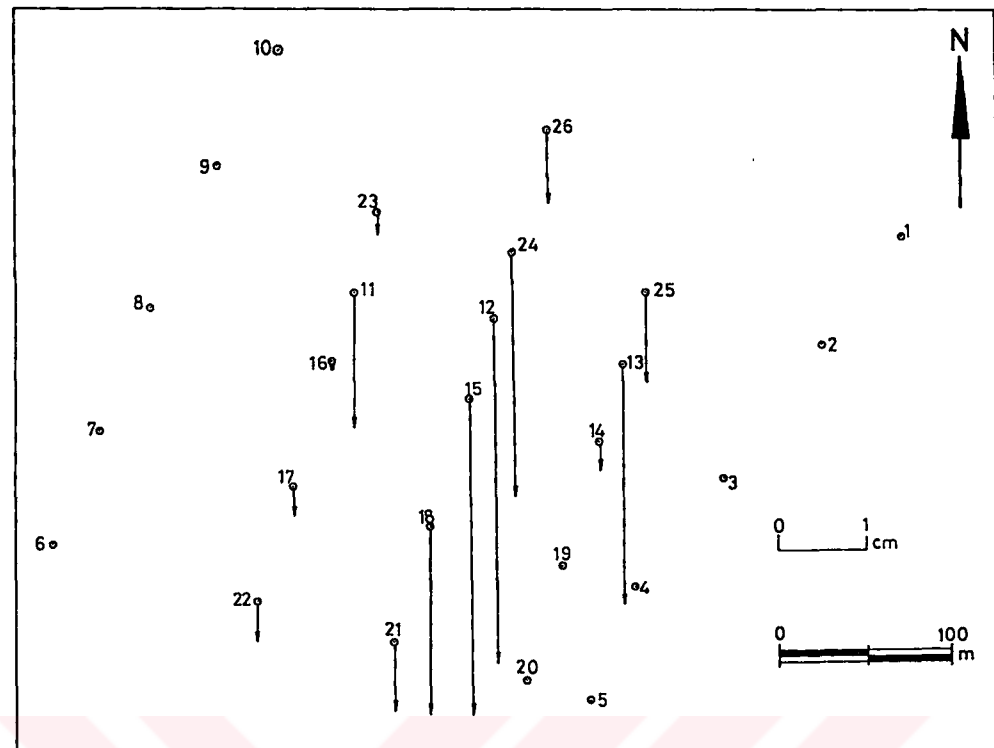


Şekil 5.2b. Yatay Hareket Vektörleri (1987-1991)

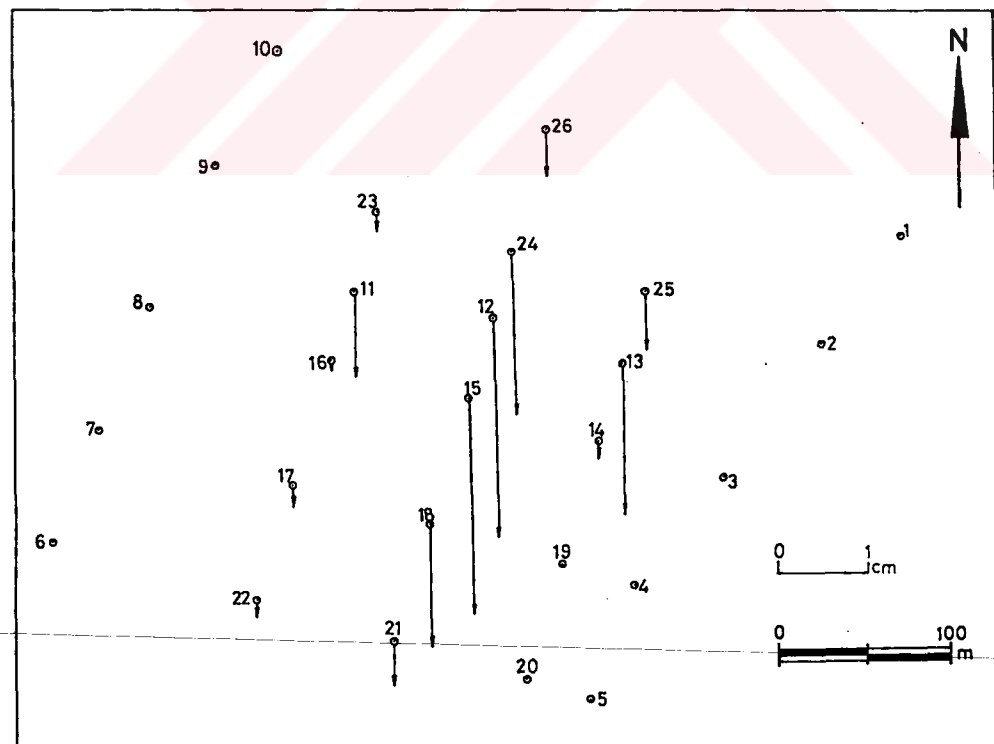


Şekil 5.2c. Yatay Hareket Vektörleri (1991-1996)

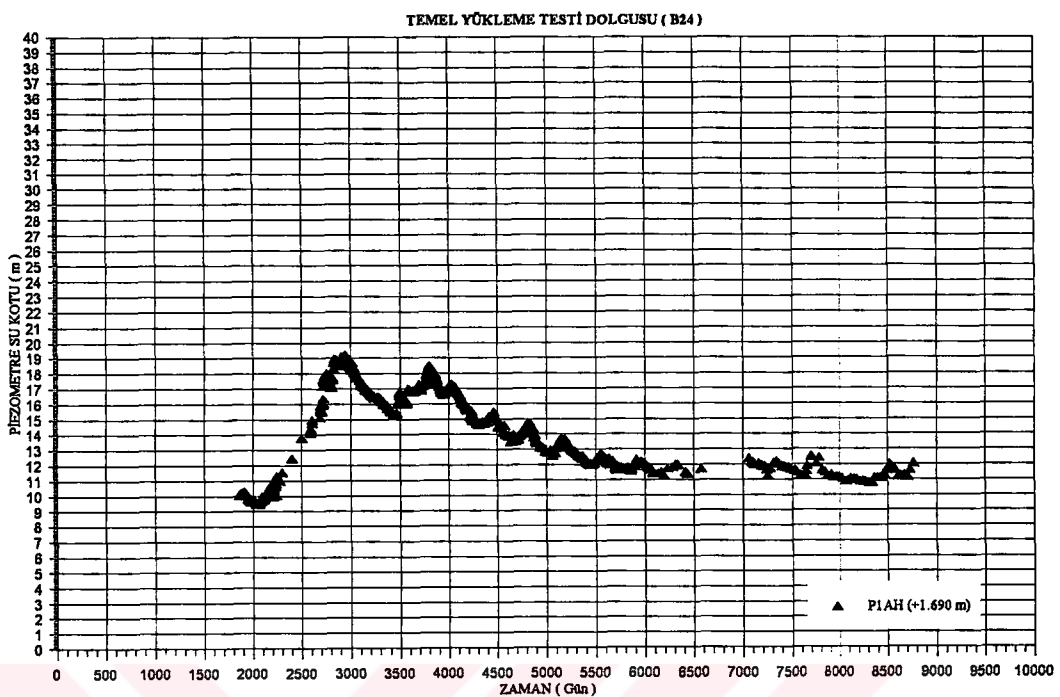




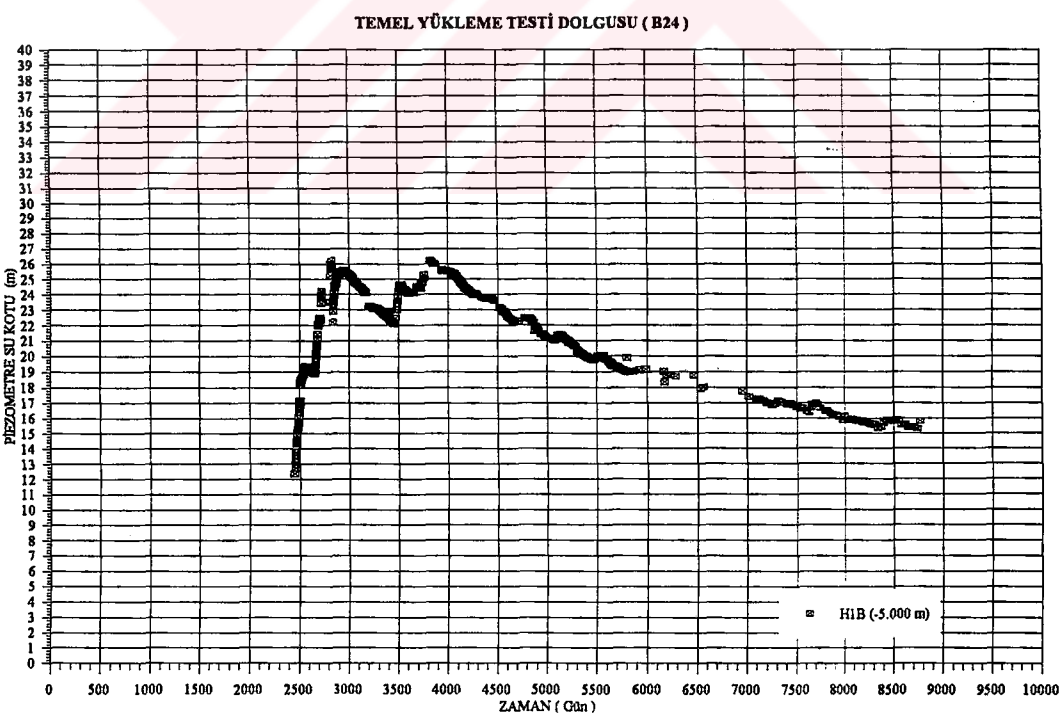
Şekil 5.2d. Düşey Hareket Vektörleri (1987-1994)



Şekil 5.2e. Düşey Hareket Vektörleri (1991-1994)



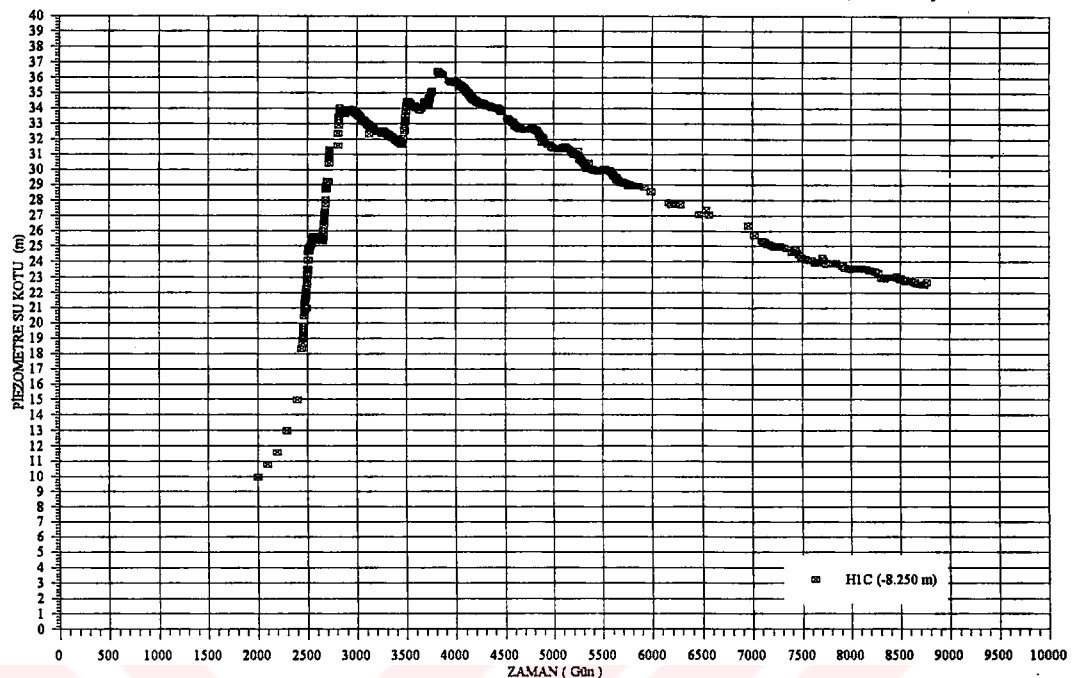
Şekil 5.3a. Boşluk suyu basınçlarının zamanla değişimi (+1.69m kotu)



Şekil 5.3b. Boşluk suyu basınçlarının zamanla değişimi (-5.00m kotu)

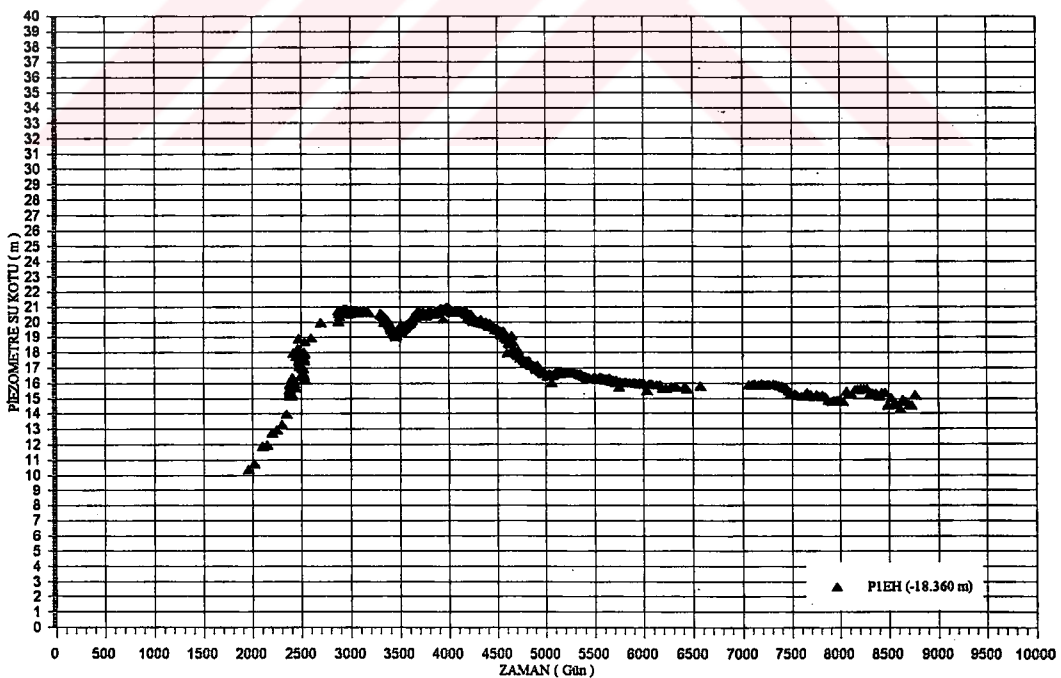


TEMEL YÜKLEME TESTİ DOLGUSU (B24)



Şekil 5.3c. Boşluk suyu basınçlarının zamanla değişimi (-8.25m kotu)

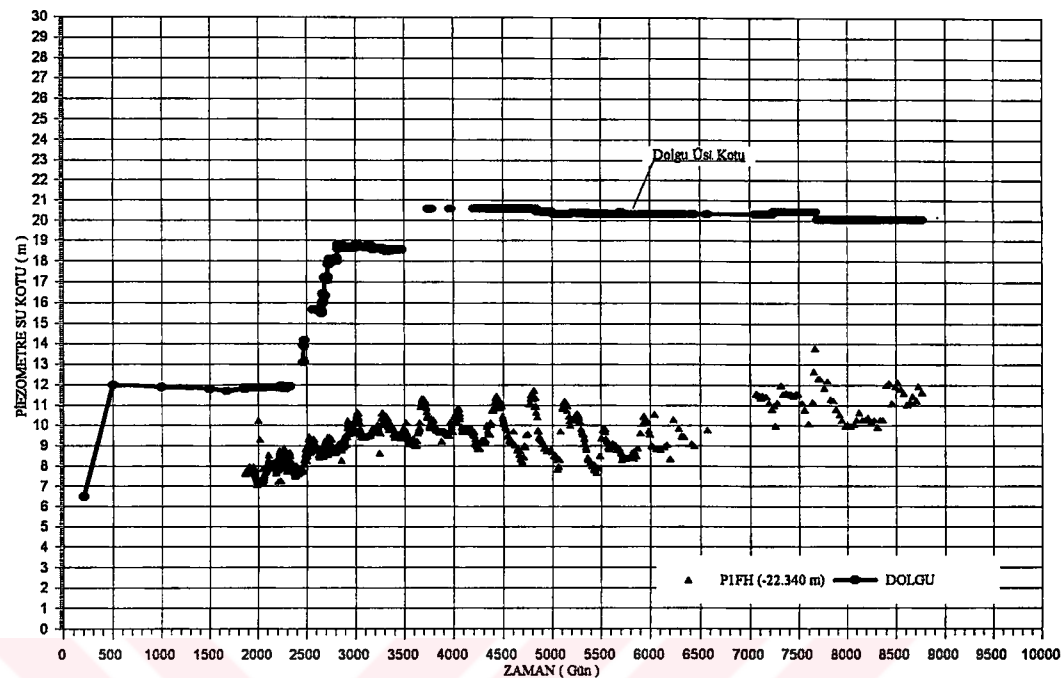
TEMEL YÜKLEME TESTİ DOLGUSU (B24)



Şekil 5.3d. Boşluk suyu basınçlarının zamanla değişimi (-18.36m kotu)

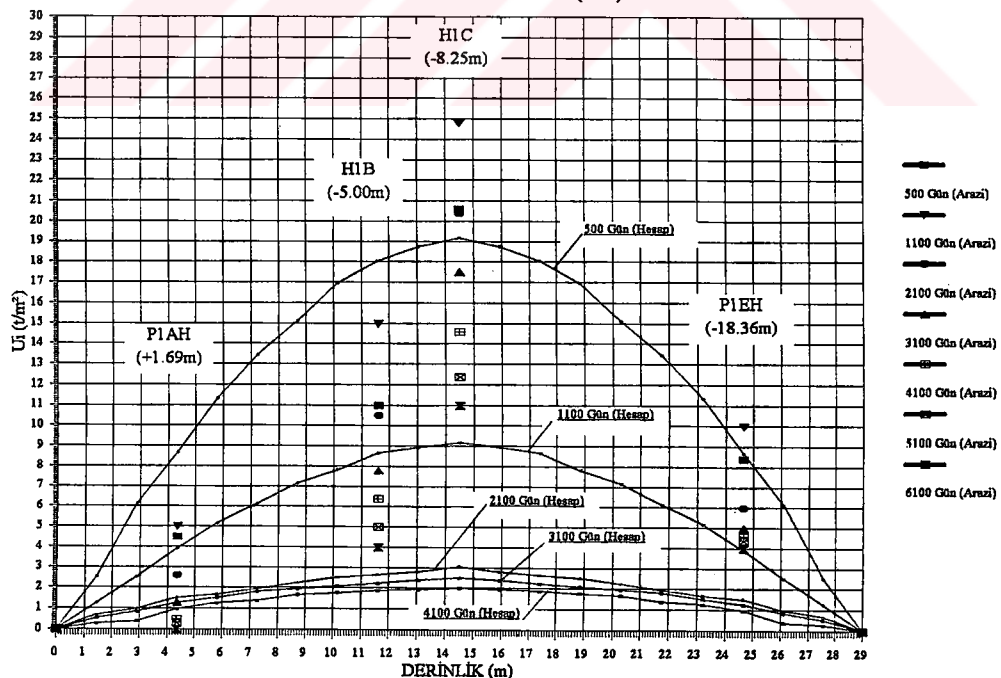


TEMEL YÜKLEME TESTİ DOLGUSU (B24)



Şekil 5.3e. Boşluk suyu basınçlarının ve dolgu üst kotunun zamanla değişimi (-22.34m kotu)

TEMEL YÜKLEME TESTİ DOLGUSU (B24)



Şekil 5.4. Dolgu yükü altında artık boşluk suyu basıncının sönmelenme eğrileriyle arazi ölçümlerinin karşılaştırılması

yükünün aynı anda uygulanmış olması durumunda beklenilen artık boşluk suyu basıncı sökümlenme eğrileri ile arazi ölçümlerinin karşılaştırılması görülmektedir. Beklenildiği üzere hesap eğrileri ile ölçülen değerler arasında bazı önemli farklılıklar olmakla birlikte genel davranış açısından uyumlu oldukları gözlenmektedir. Boşluk suyu basıncı-zaman eğrilerinde gözlenen bir diğer önemli husus, inşaatın bitiminden (bu kesitteki dolgu tamamlandıktan) 13-14 yıl sonra bile temel zemininin orta seviyelerinde artık boşluk suyu basınçlarının tamamen sökülmemiş olmasıdır. Oturma-zaman eğrileri ile uyumsuz gibi görünen bu hususun, zeminde bu kadar süre sonra dahi ikincil konsolidasyonun devam ettiği şeklinde yorumlanabileceği düşünülmektedir.

Piezometre ölçümlerinden elde edilen boşluk suyu basıncı dağılımı baraj inşaatı süresinde yükleme programının uygulanması ve kontrolünde efektif gerilmeler ile çalışma imkanı vermiştir.

5.3. Gelecekteki Araştırmalar İçin Öneriler

Bu tez çalışmasında Alibey Barajı temel zemininin konsolidasyon davranışları Terzaghi konsolidasyon teorisi ile açıklanmaya çalışılmıştır. Konsolidasyona yolaçan gerilme artıları elasto-plastik gerilme-deformasyon analizi ile belirlenmiş bu analiz sırasında konsolidasyon davranışları dikkate alınmamıştır. Bu araştırmayı daha ileri bir aşamaya götürmek için gerilme-deformasyon analizi sırasında boşluk suyu basınçlarını ve konsolidasyon davranışını birlikte dikkate alan bir coupled-analiz yapılması yararlı olacaktır. İleri nümerik modelleme teknikleri gerektiren bu tür bir analiz sonucu elde olunacak toplam zemin yer değiştirmelerinin (düşey ve yatay) oturma plakası ve inklinometre okumaları ve hesaplanacak boşluk suyu basıncı değerlerinin piezometre okumaları ile karşılaşılmasının çok ilginç sonuçlar verebileceği düşünülmektedir. Bu tür bir analizde zemin davranışını modellemek için Cam-Clay bünye denklemi kullanılabilir.

Oturmaların analizi için klasik Terzaghi konsolidasyon teorisi dışında efektif gerilme-şekil değiştirme-şekil değiştirme hızı arasındaki ilişkiyi ve krip etkilerini dikkate alan yeni



konsolidasyon teorilerinin kullanılması ve sonuçların arazi okumaları ve Terzaghi teorisi sonuçları ile karşılaştırılmasının gelecekteki araştırmalar için ilginç olacağı düşünülmektedir.

Bu tez çalışmasında gerçekleştirilen türde araştırmaların devam etmesinin, geoteknik mühendisliğinin önemli bir konusunun (yumuşak zeminlerin yük altında davranışı) daha iyi anlaşılmasına yolaçacağı ve arazi uygulamaları için çok yararlı sonuçlar vereceğine inanılmaktadır.



KAYNAKLAR

- Aboshi, H., 1969. "Soil Mechanics, Chap. 4, Tokyo, Gihido, pp. 464-465 (in Japanese).
- Asaoka, A., 1978. "Observational Procedure of Settlement Prediction", Soils and Foundations, Vol. 18, No. 4, pp. 87-101.
- Azzouz, A. S., R. J. Krizek, and R. B. Corotis, 1976. "Regression Analysis of Soil Compressibility", Soils Found., Tokyo, vol. 16, no. 2, pp. 19-29.
- Barron, P., 1948. "Consolidation of Fine Grained Soils by Drain Wells", Trans. ASCE, Vol. 113, pp. 718-734.
- Bjerrum, L., 1967. "Engineering Geology of Norwegian Normally Consolidated Marine Clays and Related to settlements of Buildings", Geotechnique, vol. 17, pp. 81-118.
- Bjerrum, L., 1972. " Embankments of Soft Ground", Proc. Specialty Conf. Perform. Earth and Earth-Supported Struct., ASCE, vol. 2, pp. 1-54.
- Boussinesq, J., 1883. "Application des Potentials a L'Etude de L 'Equilibre et due Mouvement des Solides Elastiques", Gauthier-Villars, Paris.
- Burmister, D. M., 1951 "The Application of Controlled Test methods in consolidation testing ", Symp. Consol. Test. Soils, ASTM Spec. Tech. Pub., vol. 126, pp. 83.
- Carillo, N., 1942. "Simple Two and three Dimensional Cases in the Theory of Consolidation of Soils ", J. Math. Phys., Vol. 21, No. 1, pp. 1-5.
- Casagrande, A., 1936. "The Determination of The Preconsolidation Load and Its Practical Significance", Proc. 1st Int. Conf. Soil Mech. Found. Eng., pp. 60.

Casagrande, A., and Fadum, R. E., 1940. "Notes on Soil Testing for Engineering Purposes", Harvard Univ. Graduate School of Engineering, Publication No. 8.

Crawford, C. B., and Sutherland, J. G., 1971. "The Empress Hotel, Victoria, British Columbia, Sixty-five Years of Foundation Settlements", Can. Geotech. J., vol. 8, no. 1 pp. 77-93.

Çinicioglu, F. Ö., 1993. "Dolgu Altındaki Yumuşak Zeminde Düşey Drenlerin Etkisinin Analizi", Dolgu Barajlar Yönünden Zemin Mekanığı Problemleri Sempozyumu, DSİ Gn. Müd. Gümüldür İzmir, pp. 67-79.

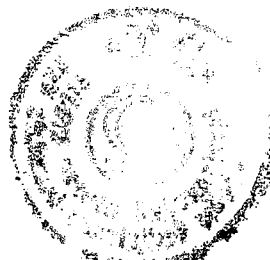
Çinicioglu, F. Ö., Toğrol, E., 1994. "Yüklenmiş Yumuşak Zeminlerin Davranışı Üzerine", Zemin Mekanığı ve Temel Mühendisliği 5'inci Ulusal Kongresi, ODTÜ, Ankara, pp. 36-46.

Güler, E., Erdinçliler, A., 1993. "Dolgu Barajların Stabilite Problemlerinin Sonlu Elemanlar Metodu ile İncelenmesi", Dolgu Barajlar Yönünden Zemin Mekanığı Problemleri Sempozyumu, DSİ Gn. Müd. Gümüldür İzmir, pp. 37-45.

Henkel, D. J., 1960. "The Shear Strength of Saturated Remoulded Clay", Proc. Res. Conf. Shear Strength Cohesive Soils, ASCE, pp. 533-554.

Hoeg, K., 1972. "Finite Element Analysis of Strain-Softening Clay", J. Of the Soil Mech. And Foundation Eng. Div., ASCE, 98(SMI), pp. 43-58.

Horn, H. M., and Lambe, T. W., 1964. "Settlement of Buildings on the MIT Campus", J. Soil Mech. Found. Div., ASCE, vol. 90. no. SM5, pp. 181-195.



Indraratna, B., Balasubramaniam, A.S., and Ratnayake, P., 1994. "Performance of Embankment Stabilized with Vertical Drains on Soft Clay.", J. Geotech. Eng., ASCE, Vol. 120, pp. 257-273.

Johnson, S. J., 1970. " Precompression for Improving Foundation Soils", J. Soil Mech. Found. Div., ASCE, vol. 96. no. SM1, pp. 111-144.

Kenney, T. C., 1964. "Sea Level Movements and the Geologic Histories of the Post-Glacial Marine Soils at Boston, Nicolet, Ottawa and Oslo", Geotechnique, vol. 14, pp. 203-230.

Kobayashi, M., 1991."Finite Element Analysis of the Effectiveness of Sand Drains", Proceedings International Conference on Geotechnical Engineering for Coastal Development, Yokohama, pp. 213-218.

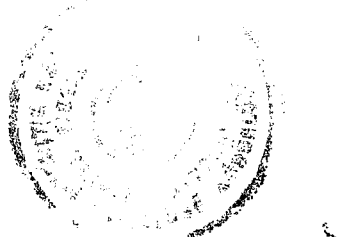
Ladd, C.C., and Foot, R., 1972. "New Design Procedure for stability of soft clays", ASCE J. Geotech. Eng. Div., 100(GT7), pp. 763-786.

Lambe, T. W. , 1958. "The structure of compacted clay and the engineering behavior of compacted clay ", J. Soil Mech. Found. Div., ASCE, vol. 84, no. SM2, pp. 68.

La Rochelle, P., Trak, B., Tavenas, F., and Roy, M., 1974. "Failure of a Test Embankment on a Sensitive Champlain Clay Deposit", Canadian Geotechnical Journal, 11, pp. 142-164.

Leonards, G. A., and Ramiah, B. K., 1960. "Time effects in the consolidation of clays", ASTM Special Technical Publ. 254, pp. 116-130.

Leonards, G.A., and Altschaeffl, A. G., 1964. " compressibility of clay", J. Soil Mech. Found. Div., ASCE, vol. 90. no. SM5, pp. 133-156.



Leornards, G. A., 1976. "Estimating Consolidation Settlement of Shallow Foundations on Overconsolidated Clay", Transportation Research Board, Special Report 163, Washington, D.C., pp. 13-16.

Longanathan, N., Balasubramaniam, A.S., and Bergado, D.T., 1993. "Deformation Analysis of Embankments", J. Geotech. Eng., ASCE, Vol. 119, pp. 1185-1206.

Lowe, J. III., Jonas, E., and Obrian, V., 1969. " Controlled Gradient Consolidation Test", J. Soil Mech. Found. Div., ASCE, vol. 95. no. SM1, pp. 77-98.

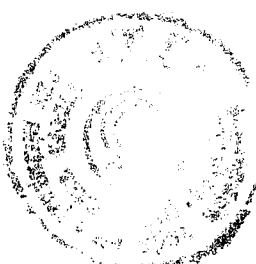
Lowe, J., 1974. "New Concepts In Consolidation and Settlement Analysis", J. Geotech. Eng. Div., ASCE, vol.100, no. GT6, pp. 574-612.

Magnan, J.P., 1994. "Methods to Reduce the Settlement of Embankments on Soft Clay", A Review Vertical and Horizontal Deformations of Foundations and Embankments, Geotechnical Special Publication No. 40, Vol. 1, pp. 77-89.

Marsland, A., and Powell, J.J.M., 1977. "The Behaviour of a Trial Bank Constructed to Failure on Soft Alluvium of the River Thames", Proceedings of the International Symposium on Soft Clay, Bankok, Thailand, pp. 505-526.

Mercangöz, B., 1996."Yumuşak Kohezyonlu Zeminlerin Kademeli Yükleme Altındaki Davranışının Nümerik Analizi", Y. Lisans Tezi, YTÜ, İstanbul.

Mesri, G., 1973. " Coefficient of Secondary Compression ", J. Soil Mech. Found. Div., ASCE, vol. 99. no. SM1, pp. 123-137.



Mesri, G., Lo, D.O.K., and Feng, T.W., 1994. "Settlement of Embankments on Soft Clay", Proc. Spec. Conf. on Vertical and Horizontal Deformations of Foundation and Embankments, ASCE, College Staion, Texas, Vol.1 pp.8-56.

Mesri, G., Choi, Y.K., 1985." The Uniqueness of the End-Of-Primary (EOP) Void Ratio-Effective Stress Relationship", Proceedings of the Eleventh International Conference on Soil Mechanics and Foundation Engineering, San Francisco, Vol. 2, pp. 587-590.

Mikasa, M., 1963. "Consolidation of Soft Clay", Tokyo, Kajima shuppan kai (in Japanese).

Nacci, V. A., M. C. Wang, and K. R. Demars, 1975 ."Engineering Behavior of Calcareous Soils", Proc. Civil Eng. Oceans III, ASCE, vol. 1, pp. 380-400.

Naylor, D.J., and Pande, G.N., 1981."Finite Elements in Geotechnical Engineering, Pineridge Press, Swansea, U.K..

Ohta, H., 1991."Performance of Soft Clay Foundations under Construction", Proc. 1st. Asian Young Geotechnical Engineering Conference, AIT, Bangkok, Thailand, pp. 17-35.

Olson,R. E.,1977. " Consolidation Under Time-Dependent Loading", J. Geotech. Eng. Div., ASCE, vol.103, no. GT1, pp. 55-60

Öntuna, A.K., 1976."A case study on the soil problems encountered on Alibey Dam", A Master Thesis, METU, Ankara.

Özaydin, İ.K., Berilgen, M., ve Mercangöz, B., 1996. "Yumuşak Kohezyonlu Zeminlerin Kademeli Yükleme Altında Davranışının Nümerik Analizi" Zemin Mekaniği ve Temel Mühendisliği Altıncı Ulusal Kongresi, İzmir.

Pilot, G., 1972. "Study of Five Embankment Failures on Soft Soils", Proceedings of the ASCE Specialty Conf. On Performance of Earth and Earth-Supported Structures, Purdue University, West Lafayette, IN, Vol. 1, pp. 81-100.

Raju, A. A., 1956. "The preconsolidation pressure in clay soils", M.S. thesis, Purdue Univ.

Rendulic, L., 1935. "Der Hydrodynamische Spannungsaugleich in Zentral Entwässerten Tonzyllindern", Wasserwirtsch. Tech., vol. 2, pp. 250-253, 269-273.

Richart, F. E., 1959. "Review of the Theories for Sand Drains", Trans. ASCE, vol. 124, pp. 709-736.

Schmertman, J. H., 1953. "Undisturbed Laboratory Behavior of Clay", Trans. ASCE, vol. 120, pp. 1201.

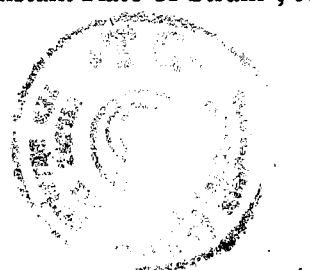
Scott, R.F., 1963. "Principles of Soil Mechanics", Addison-Wesley, Reading, Mass.

Sivaram, B., and Swamee, P., 1977. "A Computational Method for Consolidation Coefficient", Soils Found., Tokyo, Jpn., vol. 17, no. 2, pp. 48-52.

Skempton, A. W., 1954. "The Pore Pressure Coefficients A and B", Geotechnique, vol. 4, pp. 143-147.

Skempton, A. W., and Bjerrum, L., 1957. "A Contribution to Settlement Analysis of Foundations in Clay", Geotechnique, vol. 7, pp. 168.

Smith, R. E., and Wahls, H. E., 1969. "Consolidation Under Constant Rate of Strain", J. Soil Mech. Found. Div., ASCE, vol. 95, no. SM2, pp. 519-539.



Soydemir, Ç., 1970. "Alibey Toprak Barajı Menba Batardosu Oturma ve Stabilite Etüdü", İnşaat Mühendisleri Odası, V. Teknik Kongresi, Ankara.

Su, H. H., and Prysock, R. H., 1972. " Settlement Analysis of Two Highway Embankments", Proc. Specialty Conf. Perform. Earth and Earth Supported Struct., ASCE, vol. 1, pp. 465-488.

Su, H. L., 1958. "Procedure for Rapid Consolidation Test", J. Soil Mech. Found. Div., ASCE, vol. 95. Proc. Paper 1729.

Taylor, D. W., 1942. "Research on Consolidation of Clays", Massachusetts Institute of Technology, Publication No. 82.

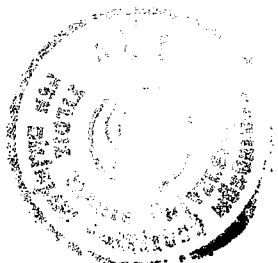
Terzaghi, K., 1925. " Erdbaumechanik auf Boden-Physicalichen Grundlagen ", Deuticke, Vienna.

Terzaghi, K., 1943. "Theoretical Soil Mechanics ", Wiley, New York.

Terzaghi, K., and R. B. Peck, 1967. " Soil Mechanics in Engineering Practice ", 2d ed., Wiley, New York.

Thamm, B.R., 1979."Numerical Analyses of Embankments Over Soft Subsoils", Proc. 3rd. Int. Conf. On Numerical Methods in Geotechnical Eng., Aachen, pp. 725-731.

Termaat, R.J., Vermeer, P.A., and Verger, G.J.H., 1985." Failure by Large Plastic Deformations", Proceedings of the Eleventh International Conference on Soil Mechanics and Foundation Engineering, San Francisco, pp. 2045-2048.



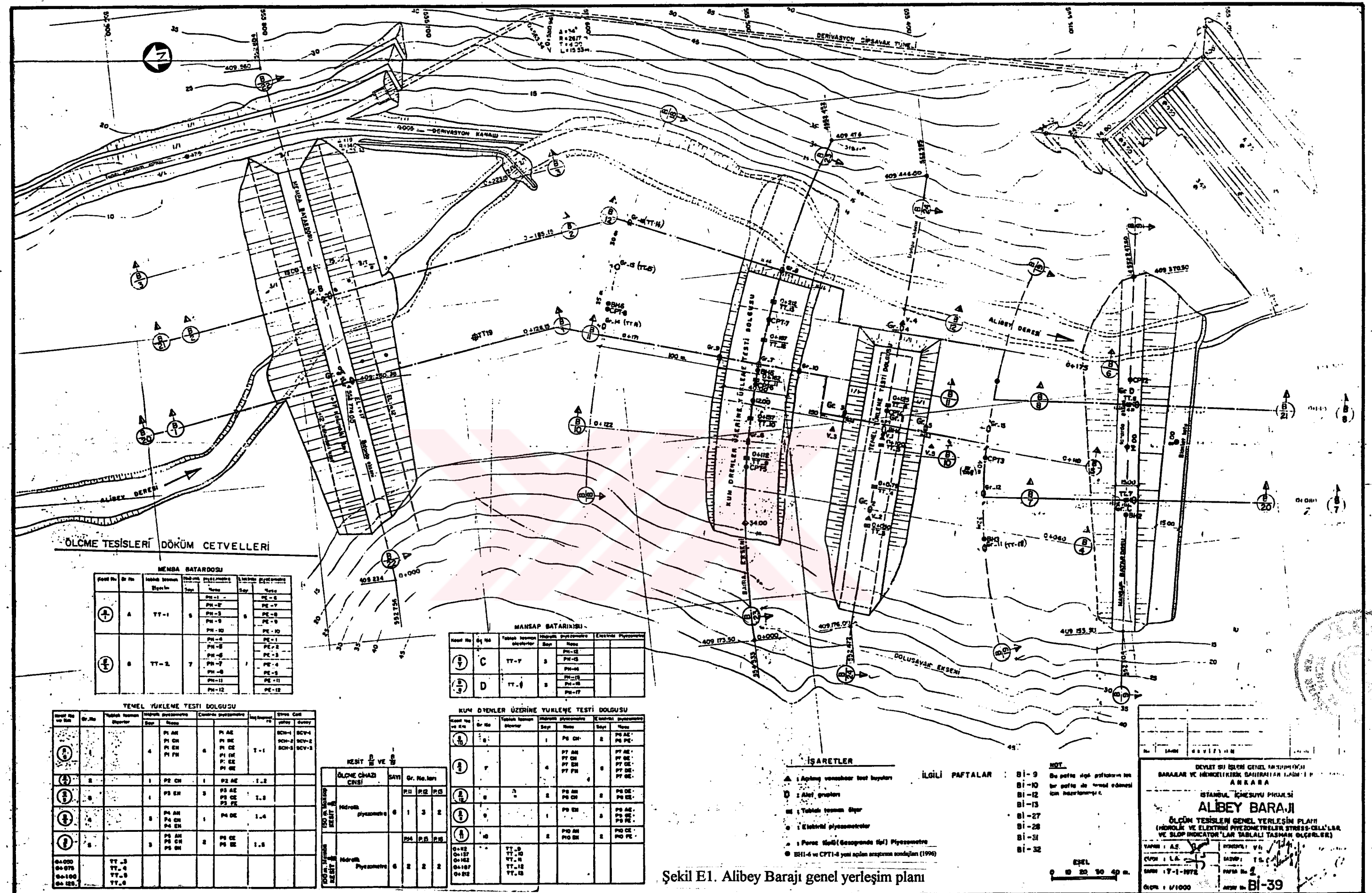
Trak, B., LaRochelle, P., Tavenas, F., Leroueil, S., and Roy, M., 1980. "A new approach to the stability analysis of embankments on sensitive clays", Canadian Geotechnical Journal, vol. 17, pp. 526-544.

Yıldırım, M., Özaydin, İ.K., Erguvanlı, A., 1992." İstanbul Boğazı Güneyi ve Haliç 'in Jeolojik Yapısı ve Geoteknik Özellikleri", Jeoloji Mühendisliği TMMOB Jeoloji Mühendisleri Odası Yayın Organı, Sayı 40, sayfa 5-14.

Zienkiewicz, O.C., 1977."The Finite Elements Method", McGraw Hill, 3rd.Edition

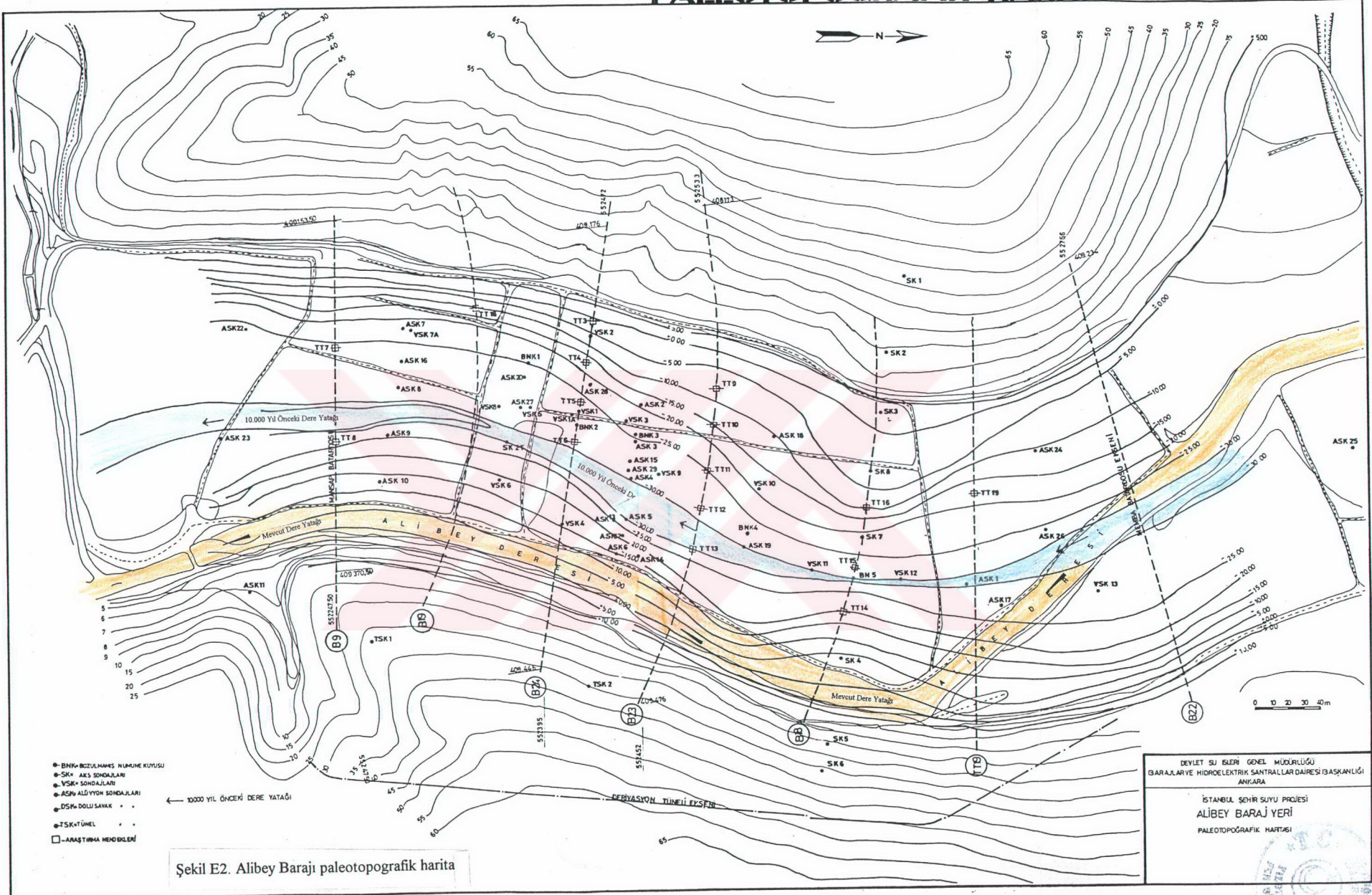
E K L E R





Şekil E1. Alibey Barajı genel yerleşim planı

PALÆOTOPOGRAFİK HARİTA



Şekil E2. Alibey Barajı paleotopografik harita

ÖZGEÇMİŞ

Araştırmacı 1958 yılında Gaziantep 'de doğmuştur. İlk öğrenimini İstanbul, Üsküdar İcadiye İlkokulunda tamamlamış. Orta öğrenimini Üsküdar Cumhuriyet Ortaokulunda devam etmiş ve Öğreniminin lise kısmını İstanbul Haydarpaşa Erkek Lisesinde tamamlamıştır. 1979 yılında İstanbul Teknik Üniversitesi İnşaat Fakültesi, İnşaat Mühendisliği Bölümünde öğrenimine devam ederek 1984 yılı kış döneminde Mühendislik ünvanını almıştır. Aynı yıl sonbaharında İstanbul Teknik Üniversitesi Fen Bilimleri Enstitüsü, İnşaat Anabilim Dalı, Geoteknik Programında yüksek lisans eğitimi başlamıştır. Aynı Dönemde İTÜ. Yabancı Diller Yüksek okulunda bir yıl hazırlık okumuştur. 1988 yılında Yüksek Lisans eğitimini bitirerek Yüksek Mühendis ünvanını almıştır. 1986 yılında Yıldız Teknik Üniversitesi Geoteknik Anabilim Dalında Araştırma Görevlisi olarak görev'e başlamış ve halen devam etmektedir. 1988 yılı aralık dönemin de askerlik görevine başlamış ve 1990 Nisanında Üniversitedeki görevine dönmüştür. 1990-1991 yılında Yıldız Teknik Üniversitesi, Fen Bilimleri Enstitüsü, İnşaat Anabilim Dalı, Geoteknik Programında Doktora eğitimi'ne başlamıştır.

